

**BIBLIOTEKA GŁÓWNA
POLITECHNIKI WROCŁAWSKIEJ**

3009
4126 III

TEORIA PŁYT

PROSTOKĄTNIE-RÓŻNOKIERUNKOWYCH

WRAZ Z TECHNICZNYMI ZASTOSOWANIAM I DO PŁYT

BETONOWYCH, KRAT BELKOWYCH I T. P.

NAPISAŁ

MAKSYMILIAN T. HUBER

Z 29 rysunkami w tekście



Praca wykonana z zasiłkiem Ministerstwa W. R. i O. P.

WE LWOWIE
NAKŁADEM TOWARZYSTWA NAUKOWEGO
DRUKARNIA UNIwersytetu Jagiellońskiego pod zarządem J. Filipowskiego
1921.



Jos. 4126.

ak. 4126/49K

Maksymilian T. Huber.

Teoria płyt.

Ważniejsze omyłki druku.

- Na str. 16 [74] we wzorze (7) zamiast $\frac{2C}{D}$ ma być $\frac{D}{2C}$
- " " 25 [83] " " (10*) zamiast $-\frac{\partial^2 \zeta}{\partial x^2}$ ma być $-B_1 \frac{\partial^2 \zeta}{\partial x^2}$
- " " 27 [85] wiersz 2 od dołu zamiast α ma być a
- " " 35 [93] w drugim z wzorów (19) symbol po pierwszym znaku równości ma wyglądać: $-(V_2)_{y=0}$
- " " 36 [94] na końcu drugiego z wzorów [20] (dla R_2) zamiast α ma być a
- " " 38 [96] we wzorze (25) (dla \hat{R}) zamiast π ma być π^2
- " " 40 [98] pierwszy z wzorów (31) ma mieć postać:

$$|R_1| = |R_1|_{\max} \cdot \cos \frac{\pi y}{b}$$

- " " 56 [114] na dole w równaniu dla $2L$ należy znaki całek opatrzyć granicami θ do a i θ do b jak powyżej.
- " " 60 [118] we wzorze (49) zamiast α ma być a
- " " 64 [122] w wierszach 9, 12, 15 i 16 zamiast μ_r , ma być μ_{r1}
- " " 71 [129] wiersz 2 z góry, w mianowniku ułamka, którego licznikiem jest b ... zamiast B_1 ma być \bar{B}_1
- " " 73 [131] w pierwszym z wzorów (77. I.) pod ostatnim znakiem pierwiastka... zamiast $\frac{\bar{B}_1}{\bar{B}_2}$ ma być $\frac{\bar{B}_2}{\bar{B}_1}$
- " " 77 [135] wiersz 1 od góry zamiast $(V_2)_{y=\frac{b}{2}}$ ma być $(V_2)_{y=\frac{b}{2}}$
- " " " koniec wzoru (82. I) należy zamknąć klamrą]
- " " 79 [137] w pierwszym z wzorów (77, II) ma być wykładnik potęgowy liczby e opatrzony znakiem $-$, czyli: $e^{-\frac{nx}{\gamma}}$; w drugim z wzorów (78. II) zamiast $\frac{\bar{B}_1}{\bar{B}_2} \sum_n \frac{(n_1)}{n^2}$ ma być $\frac{\bar{B}_2}{\bar{B}_1} \sum_n \frac{(n_1)}{n^2}$
- " " 98 [156] wiersz 5 od góry zamiast iob , ma być (ob) .
- " " 99 [157] wiersz 7 od góry ma być pod obu znakami pierwiastka ułamek $\frac{\bar{B}_2}{\bar{B}_1}$

- " " 101 [159] we wzorze (109. III) zamiast $4qb^2$ ma być $4qb^4$

- " " 109 [167] wiersz 7 od góry zamiast $\int_{-\frac{a}{2}}^{-\frac{b}{2}}$ ma być $\int_{-\frac{b}{2}}^{+\frac{b}{2}}$

Na str. 109 [167] w równaniu $F_2 = F_{2b} + n \cdot F_{2f}$ ma być n tłuste dla odróżnienia od $n = 1, 2, 3, \dots$

" " 110 [168] wiersz 4 od góry po prawej stronie znaku = ma być górną granicą całki nie $-\frac{b}{2}$ lecz $+\frac{b}{2}$

" " 111 [169] wiersz 4 od góry zamiast ε_2 ma być ε_n

" " 117 [175] w pierwszym z wzorów (139.I) zamiast m_1 ma być m_2 ; w pierwszym wierszu drugiego z wzorów (139.I) t. j. wzoru dla V_2 zamiast $\frac{\pi^2 \beta^2}{b^2}$ ma być $\frac{\pi^2 a^2}{b^2}$; we wzorze (140) w mianowniku ułamek pod znakiem sumy zamiast π^2 ma być n^2 ; we wzorze (141) zamiast R ma być R_1

" " 118 [176] na końcu wzoru (143.I), ma być wykładnik potęgowy liczby e opatrzony znakiem $-$, czyli $e^{-\frac{nx}{\beta}}$

" " 122 [180] wiersz 7 od dołu zamiast c' ma być c'_n

" " 125 [183] w pierwszym wierszu wzoru (150.I) zamiast

$$\left(1 - \frac{1}{m_1 \pi^2 \beta^2}\right) \text{ ma być } \left(1 - \frac{b^2}{m_1 \pi^2 \beta^2}\right)$$

" " 127 [185] wiersz 7 od góry (w samym środku strony) w trzecim wierszu równania zamiast $v+b$ ma być $v-b$

" " 128 [186] we wzorze (154.II) po prawej stronie znaku = zamiast $-\frac{b^2}{\pi^2}$ ma być $+\frac{b^2}{\pi^2}$

" " 134 [192] wiersz 2 od dołu zamiast 0,3011 ma być 0,0311

" " 136 [194] we wzorze (161.I) po prawej stronie znaku = zamiast b^3 ma być b^4

" " " " wiersz 5 od góry zamiast § 14 ma być § 18

" " 137 [195] w pierwszym wierszu wzoru (163.I) zamiast

$$\left[\frac{a}{2}(\dots \text{ ma być } \left[\frac{a}{2}(\dots$$

" " 139 [197] wiersz 3 od dołu zamiast $-\alpha_{an} Ch \frac{nx}{\beta}$ ma być $-\alpha_{an} Ch \frac{nx}{a}$

" " 148 [206] w pierwszym z wzorów (177.1) zamiast α_{an} ma być α_{an}

" " 148 [206] w drugim wierszu pierwszego z wzorów (180.I) t. j. wzoru dla V_1 zamiast B_1 ma być \bar{B}_1

" " 149 [207] we wzorze (184.I) zamiast α_{an} ma być α_{an}

" " 154 [214] we wzorze (197) zamiast $\frac{\sigma x^2}{\mathcal{Q}_1} + \frac{\sigma y^2}{\mathcal{Q}_2}$ ma być $\frac{\sigma_x^2}{\mathcal{Q}_1} + \frac{\sigma_y^2}{\mathcal{Q}_2}$

" " 156 [214] wiersz 2 od góry zamiast $\mathcal{Q} =$ ma być $\mathcal{Q}_0 =$

" " 172 [230] pierwszy wyraz wiersza 13 od góry ma brzmieć: ściskania.

Na str. 187 [245] w trzecim z wzorów (213. II) t. j. we wzorze dla μ_{12} po prawej stronie znaku równości:

zamiast $\frac{4}{\pi^3}$ ma być $\frac{2}{\pi^3}$

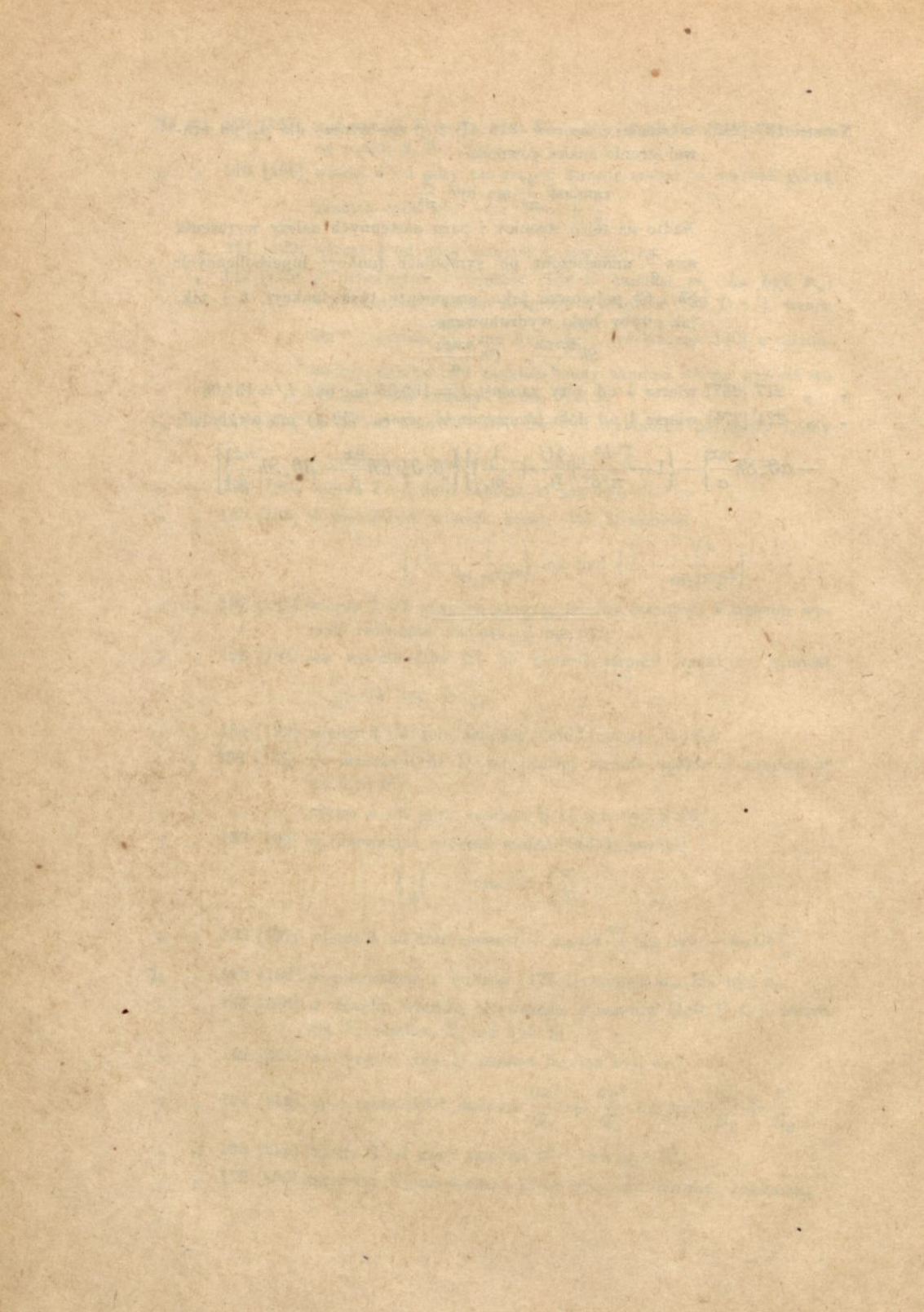
Nadto na tejże stronie i paru następnych należy wyrażenia $n\pi\varepsilon \frac{x}{a}$ umieszczone po symbolach funkcji hiperbolicznych Sh i Ch pojmować jako argumenty tych funkcji, t. j. tak, jak gdyby było wydrukowane;

$$Sh \frac{n\pi\varepsilon x}{a}, \quad Ch \frac{n\pi\varepsilon x}{a}.$$

" " 217 [267] wiersz 4 od góry zamiast $I_1 = 152,06$ ma być $I_1' = 152,06$

" " 224 [274] wiersz 1 od dołu (druga część wzoru 242. I) ma wyglądać:

$$-a\vartheta_n Sh \frac{nx}{a} \left\{ 1 - \frac{b^2}{\pi^2\beta^2} \left(\frac{4C}{B_2} + \frac{1}{m_1} \right) \right\} \left\{ (\beta, \vartheta_n) Ch \frac{nx}{\beta} - \beta \vartheta_n Sh \frac{nx}{\beta} \right\}$$



Teorya płyt prostokątne-różnokierunkowych wraz z technicznymi zastosowaniami do płyt żelazno-betonowych, krat belkowych i t. p.

Napisał

Maksymilian T. Huber.

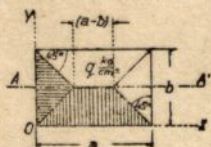
Wstęp.¹

Przy obliczeniu płyt żel.-betonowych stosowano pierwiej powszechnie rozkład płyty na równoległe skrawki i traktowano te ostatnie jak zwykle belki. Ten sposób obliczenia daje jak wiadomo, wyniki dostatecznie dokładne tylko w jedynym praktycznie ważnym przypadku płyty całkowicie równomiernie obciążonej o postaci bardzo długiego prostokąta, albowiem warunki podporowe krótkich boków tego prostokąta mogą mieć oczywiście tylko bardzo mały wpływ na stan odkształcenia i napięcia w środkowej części płyty. Poczawszy od wielkości stosunku boków $a:b = 3$ zbliża się istotnie stan napięcia w środkowej, najbardziej wyężonej części płyty, do stanu, jaki panuje w płycie „nieskończenie długiej“ ($a:b = \infty$), tak, iż powyższy sposób obliczenia jest teoretycznie i praktycznie dopuszczalny. Atoli przy mniejszych wartościach stosunku $a:b$ daje ten sposób w przypadku wszechstronnego podparcia brzegów płyty wyniki zbyt niekorzystne, które nawet u płyty

¹ Część pracy była pierwotnie przeznaczona do publikacji technicznych i tem się tłumaczy syntetyczny, elementarny charakter ogólnej teoryi, traktowanej, jak się później okazało, już przez J. Boussinesq'a inną metodą, bardziej ściśłą. (Ob. uwaga w § 5).

kwadratowej ($a: b = 1$) prowadzą do trzykrotnego przecenienia wy-
 tężenia materiału. Nieco lepsze wyniki daje sposób, zalecany przez
 Bach'a, polegający na tem, że nader łatwo obliczyć ściśle średnią
 wartość momentu zginającego w przekątnym przekroju płyty pro-
 stopadłej, dokoła swobodnie podpartej i symetrycznie obciążonej.
 Ale ta wartość średnia może różnić się bardzo znacznie od warto-
 ści największej, pomijając już tę okoliczność, że wyteżenie ele-
 mentu płyty, ograniczonego dwiema parami przekrojów wzajemnie
 prostokątnych, nie jest jeszcze określone podaniem wartości mo-
 mentu zginającego w jednej tylko płaszczyźnie przekroju¹.

¹ Jeszcze korzystniejszym okazuje się prosty przybliżony sposób, jaki
 podałem słuchaczom moich wykładów mechaniki technicznej już około r. 1913.
 Sposób ten opiera się na przyjęciu, że reakcje brzegów płyty równomiernie
 obciążonej rozkładają się w przybliżeniu według schematu
 uwidocznionego na rys. 1., jeżeli sztywność
 przy zginaniu płyty jest jednakowa w obu kierun-
 kach X i Y . Stosownie do tego wypadu dla średniej
 wartości momentu zginającego w niebezpiecznym prze-
 kroju podłużnym AA'



Rys. 1.

$$M = \frac{1}{24} \left(3 - 2 \frac{b}{a} \right) b^2 q \quad (a)$$

i można okazać, że ta wartość średnia o wiele mniej się różni od dokładnej
 największej wartości momentu zginającego, aniżeli średnia wartość w przekroju
 przekątnym:

$$M = \frac{1}{12} \frac{b^2 q}{1 + \frac{b^2}{a^2}} \quad (b)$$

Tylko dla płyty kwadratowej dają oba wzory to samo, a mianowicie:

$$\frac{1}{24} b^2 q$$

W innym krańcowym przypadku $a = \infty$ wypada z przybliżonego wzoru
 a): $\frac{1}{12} b^2 q$, a więc dokładnie, zaś ze wzoru (b): $\frac{1}{12} b^2 q$, czyli o jedną trzecią za
 mało. Wywód wzoru (a), na podstawie powyższego przybliżonego rozkładu re-
 akcyi, jest nadzwyczaj prosty. Można go zresztą znaleźć w artykule ogłoszo-
 nym w Czasop. techn. z r. 1919, str. 53.

Ta okoliczność, że w doświadczeniach Bacha z płytami kwadratowymi
 pęknięcie zachodziło w istocie wzdłuż przekątnego przekroju, nie jest zgoda
 w sprzeczności z oczywistym wynikiem teorii, wedle której we wszystkich
 przekrojach elementarnych w środku równokierunkowej płyty kwadratowej pa-

Wobec tego próbowano w nowszych czasach zwiększyć dokładność obliczenia, rozkładając płytę na dwa, albo też trzy układy skrawków krzyżujących się nawzajem¹. Ten drugi sposób stosował już, mówiąc nawiasem, młodszy Jakób Bernoulli w roku 1788 do nieudanej teorii doświadczeń Chladni'ego nad drganiem płyt. Tutaj przyjmowano, że wszystkie poszczególne skrawki są narażone tylko na zginanie i ścinanie, jakkolwiek elementy płyty są w rzeczywistości poddane także skręcaniu, co można pominąć wobec zginania tylko u istotnych krat belkowych, a i w tym przypadku tylko pod pewnymi warunkami. To pominięcie pracy skręcenia, jakoteż i zwięzienia poprzecznego mogłoby wprawdzie często okazać się praktycznie dopuszczalnym, albowiem przez to zwiększa się wogóle pewność obliczenia; atoli nie podlega wątpliwości, że zarówno w interesie nauki jak i praktyki, leży możliwie dokładne zbadanie warunków rzeczywistych. To uda się w zupełności dopiero po licznych, bardzo starannych doświadczeniach, któremi jednak powinna kierować ściśle naukowa teoria². Posiadamy ją od dawna dla płyt jednolitych i równokierunkowych, a wyniki teorii zgadzają się bardzo dobrze z doświadczeniami³.

nuje ten sam stan napięcia. To potwierdza tylko pewien wynik z teorii płyt, głoszący, iż momenty zgięcia są najrównomierniej rozłożone w przekroju przekątnym, a w innych przekrojach środkowych spadają ich wartości szybko w miarę zbliżenia ku brzegom płyty.

¹ Por. prace inżyniera Danusso A. we włoskiem piśmie *Il Cemento* z r. 1911, albo niemiecką przerwóbkę w *Forscherarb. auf d. Gebiete. des Eisenbetons*, XXI, Berlin 1913 (Dipl.-Ing. H. v. Bronneck). Nadto *Calcul des hourdis en béton armé. Ann. d. Ponts et Ch.* 1912, IV, pag. 469—529. Dr. Ing. Stephan, *Ueber die Berechnung der homogenen quadratischen Platte...* Berlin—Steglitz.

² W toku niniejszej pracy nie można było niestety użytkować ważnych wyników doświadczeń z płytami, wykonanych staraniem „Niemieckiego Wydż. żel.-betonowego“ w latach 1912 do 1914, a ogłoszonych drukiem przez C. v. Bacha i O. Grafa w r. 1915. Dopiero po powrocie z rosyjskiej niewoli, w jesieni r. 1918, dołączyłem niektóre porównawcze rozważania w odpowiadających miejscach pracy. Tak powstał między innymi cały § 24a.

³ Föppl A. *Mitt. aus d. mech.-techn. Labor. d. kön. Tech. Hochschule, München.* J. 1900, H. 27; Estanave E., *Contribution à l'étude de l'équilibre élastique d'une plaque rectangulaire...* Thèse. Paris 1900; Ensslin M., *Studien über die Beanspruchung und Formänderung kreisförmiger Platten.* Dingl. Polyt. Journ. 1904, Bd. 319; Dr.-Ing. Nádai A., *Die Formänderungen und die Spannungen von rechteckigen elastischen Platten.* Berlin 1915. *Forschungs-*

Ale ta teorya nie da się wogóle stosować do płyt żel.-betonowych, ponieważ sztywność przy zginaniu takiej płyty może zależnie od uzbrojenia mieć bardzo różne wartości w przekrojach o rozmaitych kierunkach. Z tego powodu rozwinę w niniejszej pracy ogólną teorię płyt żel.-betonowych drogą możliwie elementarną i zastosuję ją w niektórych praktycznie ważnych przypadkach płyty prostokątnej. Szczególną uwagę poświęcę nadto ważnej kwestyi „współdziałania płyty“ u belek o przekroju T (belek płytowych, lub płyt z żebrami), ponieważ to zagadnienie nie było, jak się zdaje, dotychczas traktowane ani teoretycznie¹⁾, ani też doświadczalnie²⁾. Teoretyczne badania, rozwinięte w §§ 16, 19 i 23 pozwalają oświetlić krytycznie odpowiadające miejsca w urzędowych przepisach dla żel.-betonu i mogą posłużyć, w połączeniu z przysłanymi doświadczeniami, do ustanowienia nowych reguł, naukowo uzasadnionych. Podobnież wypada się spodziewać, że i inne tutaj podane rozwiązania, uwzględniające możliwie dokładnie nierównokierunkowość właściwą płycie żel.-betonowej, wyrugują prędzej czy później niejedną z najrozmaitszych „praktycznych“ wzorów. Te ostatnie należy uważać za tymczasowe środki pomocnicze,

arb. herausg. v. V. d. I. Heft 170—171. Z nowszych prac czysto teoretycznych, traktujących ściśle ważne praktycznie zagadnienia płyt równokierunkowych, przytoczymy tutaj następujące: Dr.-Ing. Hencky H., Der Spannungszustand in rechteckigen Platten, München 1913, (R. Oldenbourg); Dr.-Ing. Leitz H., Berechnung der frei aufliegenden rechteckigen Platten, Berlin 1914; Mesnager M., Moments et flèches des plaques rectangulaires minces, Ann. d. P. et. Ch. 1916—III. Nadto w języku rosyjskim: Bubnow I. G., Mechanika budowlana okrętu. Część II, str. 465. Timoszenko S. P., Teorya sprężystości. Petrograd 1916, t. II, str. 285; Galjerkin B. G., Płyty prostokątne, swobodnie podparte. Petrograd 1915; Tenże. Zgięcie prostokątnych płyt i ścian. Petrograd 1917. Rozwiązaniami przybliżonemi zajmują się następujące prace: Dr. Simič J., Zeit. d. öst. Ing. u. Arch.-Ver. 1908; Öst. Woch. f. d. öff. Baud. 1909; Hager K., Berechnung ebener rechteckiger Platten mittels trigonometrischen Reihen, 1911; Huber M. T., O wytrzymałości płyty prostokątnej.. Przegl. techn. LII. 1914, str. 261; Galjerkin B. G., Pręty i płyty. (Po rosyjsku). Petrograd 1915; Föppl A. i L., Drang und Zwang. Eine höhere Festigkeitslehre für Ingenieure, München u. Berlin 1920. R. Oldenbourg.

¹⁾ Praca inż. Eggenschwyler'a A. w „Eisenbau“ z r. 1917, str. 229, traktująca jeden szczególnie przypadek, doszła do moich rąk dopiero po powrocie z Rosyi w jesieni r. 1918. Ob. odpowiadający odsyłacz w § 21.

²⁾ Interesująca pod wielu względami praca Bacha i Grafa z r. 1910, Mitteil. ü. Forschungsarb. H. 90 u. 91, nic niestety w tej sprawie nie wyjaśnia.

dopóki ściśle badanie nie dostarczy czegoś lepszego. W przypadku uzbrojenia jednakowego w obu kierunkach głównych przyniosły już liczne nowsze prace o płytach prostokątnych równokierunkowych rozwiązania praktycznie zadowalające; to jednak nie przeszkadzało, ażeby nawet w najnowszych podręcznikach technicznych umieszczano na pierwszym miejscu wzory, zalecane przez dawniejsze książki i urzędowe przepisy, przytaczając natomiast dopiero na miejscu drugim współczynniki, wyprowadzone ze ścisłych rozwiązań, obok wzorów interpolacyjnych, bez słowa krytycznej uwagi¹.

Zboczenia od prawa Hooke'a, właściwe betonowi, można oczywiście w teorii płyt uwzględnić tylko w przybliżeniu, wprowadzając w konkretnych przypadkach dla stałych sprężystości betonu: E_b (rozciąganie i ściskanie), G_b (odkształcenie postaciowe) i m_b (liczba Poisson'a), średnie wartości, odpowiadające wynikom doświadczeń. Przyjęcie: $(E_b)_{br} = 200.000$, kg/cm^2 ($m_b)_{br} = 6$, jakie zaproponowałem w pierwszym opracowaniu teorii², odpowiada $G_b = \sim \frac{3}{4} E_b$ i $n = E_s : E_b = 10$ do 11, jeżeli E_s oznacza moduł sprężystości żelaznych prętów uzbrojenia. Mniejsza wartość n odpowiada żelazu spawalnemu, większa zaś żelazu zlewnemu lub stali. To jednak nie wystarcza do wyznaczenia sprowadzonych momentów bezwładności przekroju z jaką taką dokładnością, jak już dowiodły liczne doświadczenia z uzbrojonymi belkami betonowymi. Ta ważna kwestya będzie poniżej przedmiotem szczegółowego rozważania.

Pożądanem byłoby oczywiście potwierdzenie teoretycznych wywodów wynikami doświadczeń, atoli tego nie można było na razie dokonać już z tego powodu, ponieważ cała praca zawdzięcza swoje powstanie przymusowym wyczasom po trudach wojennych w rosyjskiej niewoli. Nie uważałem za wskazane zwlekać z ogłoszeniem badań teoretycznych aż do czasu, kiedy się zbierze potrzebny materiał doświadczalny, gdyż teoretyczne wyniki mogą posłużyć

¹ Ob. np. Beton-Kalender na rok 1916.

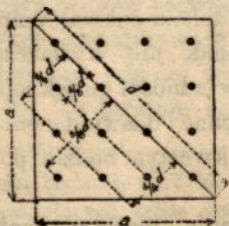
² Huber M. T., Ogólna teoria płyt żel.-betonowych i jej praktyczne zastosowanie do płyty prostokątnej podpartej wzdłuż całego obwodu. Czas. techn. Lwów 1914. Albo też: Die Grundlagen einer rationellen Berechnung der kreuzweise bewehrten Eisenbetonplatten. Zeitschr. d. öster. Ing. u. Arch.-Ver. 1914. nr. 30. Ogólna teoria w tych publikacjach rozwinięta będzie w niniejszej pracy zasadniczo ulepszone i uproszczone.

z pożytkiem wielu badaczom doświadczalnym jednocześnie, co przyspieszy ostateczne rozwiązanie niejednego ważnego zagadnienia¹.

Wyprzedzenie badań doświadczalnych przez teorię przedstawia jeszcze pewne inne korzyści, które oświetlą bliżej następujące rozważania.

Nauka o wytrzymałości ma bez wątpienia bardzo wiele do zwdzięczenia nowoczesnym badaniom doświadczalnym, nie można

¹ Wspomniane powyżej doświadczenia „Niemieckiego Wydziału żel.-betonowego“ dostarczają obfitego materiału do porównania z teoretycznymi wynikami niniejszej pracy. Przytem jednakże trzeba mieć przedewszystkiem na oku tę ważną okoliczność, że w owych doświadczeniach urzeczywistniono równomierne obciążenie tylko w przybliżeniu. Mianowicie w przypadku płyty kwadratowej składało się obciążenie z 16 równych sił skupionych, o wielkości $\frac{P}{16}$, rozłożonych równomiernie w obu kierunkach głównych. Wprawdzie ten



Rys. 29.

sposób obciążenia prowadzi dla podłużnych i poprzecznych skrawków płyty, traktowanych jako belki, do zupełnie tych samych wartości największych momentów zgięcia, co przy ciąglem równomiernie rozłożonem obciążeniu, atoli w przekrojach przekątnych ma się rzecz niewątpliwie inaczej. Jakoż otrzymujemy dla całkowitego momentu zgięcia w przekroju przekątnym o długości d (ob. rys. 29) wartość:

$$\frac{P}{4} \cdot \frac{d}{4} + \frac{P}{4} \cdot \frac{d}{4} - \frac{P}{16} \cdot \frac{3}{8} d - \frac{2P}{16} \cdot \frac{2}{8} d - \\ - 3 \frac{P}{16} \cdot \frac{1}{8} d = \frac{3}{64} Pd,$$

zamiast $\frac{1}{24} Pd$ w przypadku obciążenia P , równomiernie rozłożonego w sposób ciągły, a więc około 12,5% więcej. Z tego powodu należy się spodziewać, że współczynniki wzorów dla momentów, wyprowadzone z doświadczeń, wypadną nieco za wielkie w porównaniu do współczynników teoretycznych. To przewidywanie sprawdziło się w istocie, jak zobaczymy poniżej. Obciążenie rozłożone równomiernie w sposób ciągły można, jak się zdaje, urzeczywistnić bez szczególnych trudności zapomocą naporu hydrostatycznego, w naczyniu z dnem z materiału szczelnego a wiotkiego i nierozciągliwego o rozmiarach obciążonego pola. Jakkolwiek w omawianych doświadczeniach tego sposobu nie użyto, to jednak na podstawie rozwiązania w § 24 dla przypadku siły skupionej w dowolnym punkcie płyty da się wcale dobrze przeprowadzić dokładne porównanie z teorią. O innych mniej lub więcej ważnych zboczeniach warunków doświadczeń od założeń, uczynionych przy wywodzie najprostszycy ścisłych wzorów teoretycznych, będzie mowa w dodatkowym § 24a.

jednakże przemilczeć faktu, stwierdzonego wielokrotnie, że niektórzy, nawet bardzo zasłużeni, badacze doświadczalni zaniedbują zbyt często naukową teorię, zadawalając się wyprowadzeniem z wyników doświadczeń empirycznych reguł, które nierzadko kolidują z podstawowymi prawami ogólnej teorii sprężystości, ugruntowanej całowiekowym doświadczeniem. Klasycznym przykładem zagmatwania pojęć, wywołanego przez to w szerokich warstwach inżynierów, jest bardzo rozpowszechnione nierozróżnianie dwu rodzajów wytrzymałości, na które Niemcy posiadają nazwy: „die Schubfestigkeit“ i „die Scherfestigkeit“. U nas niestety używa się dotąd najczęściej jednej nazwy „wytrzymałość na ścinanie“, co oczywiście nader sprzyja utożsamieniu obu, tak wielce różnych pojęć. Ja sam, lubo od dawna zwróciłem uwagę na tę sprawę, używałem w moich wykładach i pracach tej jednej nazwy, podkreślając jednak starannie obadwa znaczenia. Atoli teraz widzę, jak dalece pożytecznym byłoby wprowadzenie obu nazw odrębnych. Tylko tym sposobem będzie można z czasem wykorzenieć dotyczące błędne poglądy.

Pierwszy z wymienionych rodzajów wytrzymałości określa się jako ta graniczna wartość naprężenia przy prostym odkształceniu postaciowym (albo przy prostym posunięciu), której przekroczenie prowadzi do pęknięcia, lub niedopuszczalnego trwałego odkształcenia materiału. Tę wielkość można uważać praktycznie za stałą materiału, gdyż jest w bardzo obszernych granicach z wielkiem przybliżeniem niezależna od postaci i rozmiarów badanego ciała. Proponuję dla niej nazwę: „prosta wytrzymałość postaciowa“, jako wygodny skrót zamiast: „wytrzymałość przy prostym odkształceniu postaciowym“, albo też: „teoretyczna wytrzymałość na ścinanie“.

Drugi z wymienionych rodzajów wytrzymałości pojmujemy jako wielkość, mierzoną ilorazem siły w technologicznym procesie cięcia (ścinania) przez ścięte pole, która to wielkość musi być widocznie zależną nie tylko od materiału badanego ciała (próbki), lecz także od jego postaci, oraz od materiału i postaci organów tnących. Wobec tego nie można ją żadną miarą uważać za stałą materiału i wiązać z wartością fikcyjnych naprężeń ścinających w przekroju ścinania. Stosowną nazwą dla tego rodzaju wytrzymałości byłaby: „technologiczna wytrzymałość na ścinanie“.

Z niesłusznego utożsamienia obu powyższych pojęć wynika

bardzo rozpowszechniony błąd w interpretacji kierunku powierzchni pęknięcia przy niektórych doświadczeniach. Skoro np. zaobserwowano po powstaniu pęknięcia wzajemne przesunięcie obu rozdzielonych pęknięciem części wzdłuż powierzchni pęknięcia, co z natury rzeczy zwykle nastąpić musi, to wypowiada się jako coś oczywistego zdanie, że pęknięcie powstało wskutek ścięcia w owej powierzchni, mając przytem najczęściej na myśli przewyciężenie teoretycznej wytrzymałości na ścinanie. Natychmiast oblicza się w przybliżeniu naprężenia ścinające (styczne), które prawie zawsze odnaleźć można, gdyż znikają tylko w trzech płaszczyznach głównych i takim pozorem dowodu okrywa się zupełnie błędne tłumaczenie zjawiska. A przecież niezliczone doświadczenia ze zginaniem belek żel.-betonowych o przekroju prostokątnym, jakoteż doświadczenia ze skręcaniem walców betonowych, pouczają, że pierwsze rysy nigdzie nie mają kierunku największych naprężeń stycznych, a tam, gdzie jedno z naprężeń głównych jest ciągnieniem, są doń prostopadłe. W miejscach, gdzie niema ciągnięć, pojawiają się pierwsze rysy w kierunku ciśnień głównych, ale tylko przy wysokim stopniu jednolitości materiału; inaczej mają przebieg dość nieregularny tak, iż obraz zniszczenia przedstawia się rozmaicie, zależnie od przypadkowego rozkładu miejscowych niejednorodności i od rodzaju pola naprężeń. Te reguły doświadczalne można zebrać w jedną następującą: Pierwsze pęknięcia w obciążonem ciele z betonu (lub innego kruchego i w przybliżeniu jednolitego materiału) są prostopadłe do algebraicznie największego wydłużenia głównego.

Należy zwrócić uwagę, że ta reguła nie daje jeszcze odpowiedzi na bardzo ważne pytanie, czem się mierzy wyteżenie materiału w ogólnym stanie napięcia (czyli co jest ogólną miarą niebezpieczeństwa pęknięcia, względnie przekroczenia granicy sprężystości). Jak dotychczas badania doświadczalne dały zadawalającą odpowiedź na to pytanie tylko dla plastycznych metali. Miarą wyteżenia jest dla nich największa różnica naprężeń głównych¹.

¹ Teorii tem zdaniem wyrażonej niewiele ustępuje hipoteza autora ogłoszona częściowo w § 1904 („O podstawach teorii wytrzymałości“, Prace mat.-fiz., abo: „Właściwa praca odkształcenia jako miara wyteżenia materiału“, Czas. tech.), a omówiona wyczerpująco w dziele Föppl'a A. i L.: Drang u. Zwang, Monachium 1920.

Według tego będzie np. proste naprężenie ścinające równie niebezpieczne, jak dwa razy tak wielkie proste ciągnięcie, lub ciśnienie. Materiały kruche nie stosują się do tego prawidła, jak to widać już stąd, że ich wytrzymałość przy rozciąganiu jest o wiele mniejszą od wytrzymałości przy ściskaniu.

Prawie nie potrzeba zaznaczać, że ewentualne rysy skurezowe (Schwindrisse), lub grube błędy materiału, mogą nierzadko spowodować mniej lub więcej znaczne zboczenia od powyższych reguł. Ta okoliczność w połączeniu z tem, że po ukazaniu się pierwszych pęknięć rozkład naprężeń ulega natychmiastowej, zwykle znacznej, zmianie, nawołuje do jak największej ostrożności przy wysnuwaniu wniosków z końcowych obrazów zniszczenia, gdyż w stadium końcowem jest stan napięcia prawie nieznan.

Dość często także spotyka się w literaturze technicznej z mylną interpretacją wzajemnego oddziaływania sąsiednich elementów ciała i przeniesienia sił przez wewnętrzne naprężenia. Pewien wielce zasłużony badacz niemiecki pisze np., że poszczególne włókna pręta, narażonego na proste rozciąganie działają na siebie nawzajem także przy zupełnie równomiernym rozkładzie naprężeń w przekrojach poprzecznych rozpatrywanej części i wnioskuje stąd, że postać przekroju musi mieć wpływ na stałe sprężystości i wytrzymałości. Pozostawiwszy tymczasem na boku część tego wniosku, odnoszącą się do stałych wytrzymałości, musielibyśmy, gdyby reszta była prawdą, odrzucić całą teorię sprężystości. A przecież ta teoria oddaje zawsze znakomite usługi, przy rozwiązaniu zagadnień nauki o wytrzymałości. Nawet dla materiałów niepodlegających dokładnie prawu Hooke'a, przyjętemu za podstawę teorii sprężystości, daje ta teoria w wielu wypadkach wcale dobre wyniki. Wystarczy wskazać na historyczny rozwój teorii sklepień, którą doprowadzono dopiero wówczas do zgodności z doświadczeniem, gdy ją oparto na teorii sprężystości. Nikomu przeto nie przyjdzie na myśl, aby wyrugować klasyczną teorię sprężystości z technicznej nauki o wytrzymałości. Ta teoria jest po dziś dzień i pozostanie nadal jedyną pewną przewodniczką, która umożliwi naukową, a więc najprostszą, słuszną interpretację wyników doświadczalnych i jeżeli w pewnych, co prawda, dość częstych przypadkach nie prowadzi do celu, to tylko z powodu trudności matematycznych, któremi droga do rozwiązania jest najeżona.

Lecz w czemże tkwi błąd przytoczonego powyżej wniosku?

Wszak z filozoficznego stanowiska nie można oczywiście zaprzeczyć, że sąsiednie włókna pręta działają na siebie nawzajem siłami cząsteczkowymi (molekularnemi). Otóż miara tego działania, t. zn. naprężenie w przekrojach podłużnych, musi w tym przypadku, według fundamentalnych praw statyki być równe zeru i dlatego to działanie nie może mieć żadnych skutków. Praktycznie biorąc, nie ma go zatem i jak długo ciągnięcia są we wszystkich przekrojach poprzecznych równe i równomiernie rozłożone, nie może powstać przekroju mieć żadnego wpływu na wydłużenia i co zatem idzie, na moduł wydłużenia E . Inaczej przedstawia się sprawa, skoro w jakimkolwiek miejscu pręta rozpocznie się tworzyć zwięźenie, czyli t. zw. „szyjka“. Atoli wtedy niema już mowy o równomiernym rozkładzie ciągnięć; także w pierwotnych przekrojach podłużnych powstają naprężenia, których przedtem nie było; krótko mówiąc: działanie się pojawia. Całkiem podobnie ma się rzecz z często mylnie interpretowanem wzajemnem działaniem podłużnych włókien belki zginanej.

Powyższe wywody mają nie tylko na celu podkreślenie rozpowszechnionych błędów w interesie nauki, lecz także służą do tego, aby wykazać wielką ważność praktyczną teoretycznej podstawy dla każdego badania doświadczalnego na polu technicznej nauki o wytrzymałości. Jesteśmy w położeniu o wiele korzystniejszym, jeżeli przed wykonaniem seryi doświadczeń rozporządzamy pewną teoretyczną podstawą, albowiem wtedy wystarczy znacznie mniejsza liczba doświadczeń do otrzymania zadowalającej odpowiedzi na pytanie, stawiane przyrodzie w każdym naukowem doświadczeniu. Bez teoretycznej wskazówki pracujemy prawie zawsze po omacku, dochodząc w końcu, po wielkiej liczbie doświadczeń do wzoru empirycznego, który można stosować tylko w bardzo zbliżonych warunkach i to bez ekstrapolacji. Natomiast sprawdzenie wzoru teoretycznego wymaga tylko niewielkiej liczby doświadczeń, a w przypadku potwierdzenia teorii dostarcza pewnej podstawy obliczenia w całym zakresie ważności założeń teorii, dających się zawsze określić jasno i niedwuznacznie.

I. Ogólna teoria.

§ 1. Proste zgięcie belki i płyty.

Rozpatrzmy najpierw przypadek czystego zgięcia belki jednolitej i równokierunkowej o przekroju prostokątnym $ABCD$ (rys. 2). Niech będzie XZ płaszczyzną zgięcia, a M_1 momentem zginającym pary sił, leżącej w tej płaszczyźnie. Odpowiadający stan napięcia jest, jak wiadomo, określony jednym tylko równaniem:

$$(a) \quad \sigma_x = \frac{M_1}{I_1} \cdot z$$

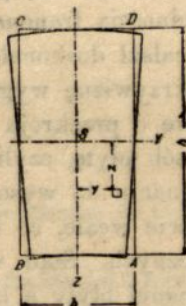
w którym σ_x oznacza naprężenie normalne w dowolnym punkcie przekroju (y, z) , zaś I_1 moment bezwładności przekroju względem osi Y -ów, jako linii obojętnej. Drugie równanie:

$$(b) \quad \rho_1 = \frac{EI_1}{M_1}$$

wyznacza promień krzywizny osi belki OX po zgięciu. Ale oba równania wystarczają do dokładnego opisanie stanu napięcia tylko przy niezbyt wielkich wartościach stosunku $b:h$. Rozkład naprężeń, przedstawiony równaniem (a), warunkuje nie tylko krzywiznę $1/\rho_1$ w płaszczyźnie XZ , lecz także krzywiznę $1/\rho_2$ w płaszczyźnie przekroju poprzecznego, równoległej do YZ . Każdy bowiem element belki $dx dy dz$ doznaje według prawa sprężystości następujących właściwych wydłużeń głównych:

$$(c) \quad \lambda_x = \frac{\sigma_x}{E}, \quad \lambda_y = -\frac{1}{m} \frac{\sigma_x}{E}, \quad \lambda_z = -\frac{1}{m} \frac{\sigma_x}{E}$$

a podobnie, jak wydłużenia λ_x wywołują wzajemne nachylenie przekrojów poprzecznych, pierwotnie równoległych do YZ , tak też wydłużenia λ_y powodują odpowiadające nachylenia podłużnych przekrojów XZ (zawartych między dwoma sąsiednimi przekrojami poprzecznymi). Jedyna różnica między obu odkształceniami polega na tem, że krzywizna poziomych włókien poprzecznych, czyli „krzywizna poprzeczna“ $1/\rho_2$, jest mniejszą od krzywizny podłużnej



Rys. 2.

i ma kierunek przeciwny tej ostatniej. Pierwszą określa widocznie równanie:

$$(d) \quad \frac{1}{\varrho_2} = \frac{1}{m\varrho_1} = \frac{1}{m} \cdot \frac{M_1}{EI_1}$$

znane wprawdzie od dawna, lecz pomijane pierwiej w technicznej nauce o sprężystości. W teorii płyt gra ono wybitną rolę.

Krzywiznę poprzeczną przy zgięciu mierzył już z wielką dokładnością francuski fizyk A. Cornu¹ na beleczkach szklanych i znalazł doskonałą zgodność z równaniem (d); gołem okiem można tę krzywiznę wygodnie obserwować, zginając grube pręty kauczukowe o przekroju prostokątnym. Skoro jednak zginamy w ten sam sposób płytę, czyli belkę o wielkiej szerokości przekroju b w porównaniu do wysokości h , to krzywizna poprzeczna nie pojawi się prawie wcale, co łatwo przewidzieć na podstawie rozważań geometrycznych. Stąd wypływa ważna różnica między stanem napięcia zginanej płyty a belki. Przy zgięciu płyty powstają oprócz naprężeń σ_x jeszcze naprężenia σ_v , które w przypadku nieskończonej (lub praktycznie bardzo wielkiej) szerokości b nader łatwo obliczyć z warunku $\lambda_x = 0$. Ten sam stan napięcia panuje oczywiście także i w tych elementach skończonej płyty, które doznają walcowego zginania. Zamiast równania (c) musimy teraz napisać:

$$\lambda_x = \frac{1}{E} \left(\sigma_x - \frac{1}{m} \sigma_v \right), \quad \lambda_v = \frac{1}{E} \left(\sigma_v - \frac{1}{m} \sigma_x \right) = 0.$$

Stąd

$$\sigma_v = \frac{1}{m} \sigma_x, \quad \lambda_x = \frac{m^2 - 1}{m^2 E} \sigma_x,$$

albo

$$(e) \quad \lambda_x = \frac{\sigma_x}{E'};$$

jeżeli dla skrócenia wprowadzimy oznaczenie:

$$(f) \quad E' = \frac{m^2}{m^2 - 1} \cdot E$$

Ponieważ równanie (a) nie traci swej ważności, a wogóle jest

$$\frac{1}{\varrho_1} = \frac{\lambda_1}{z},$$

¹ C. R. 1869, 69, S. 333.

więc otrzymujemy zamiast równania (b):

$$(g) \quad \varrho_1 = \frac{E' I_1}{M_1} = \frac{m^2 E}{m^2 - 1} \cdot \frac{I_1}{M_1}$$

Siły wewnętrzne w przekrojach XZ dają wskutek związku

$$\sigma_v = \frac{1}{m} \sigma_x$$

także wypadkowy moment zginający o wartości:

$$(h) \quad M_2 = \frac{1}{m} M_1$$

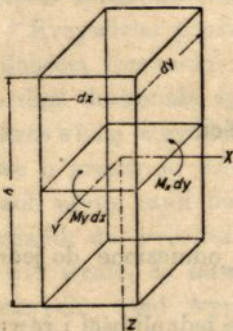
jeżeli obie wielkości M_1 i M_2 pojmujemy jako odniesione do jednostki szerokości przekroju.

Odrzuciwszy teraz ograniczające założenie jednolitości i równokierunkowości materiału, oraz przyjąwszy w płycie dwa wybitne kierunki, zgodne z osiami współrzędnych i odznaczające się różnymi własnościami sprężystymi, dostrzeżemy łatwo, że w związku (h) zmieni się tylko fizyczne znaczenie współczynnika $1/m$. Ten współczynnik nie będzie teraz więcej określać stosunku poprzecznego skurczenia do podłużnego rozszerzenia dowolnego elementu materiału płyty, lecz będzie określać ogólnie stosunek $M_2 : M_1$, odpowiadający walcowemu zgięciu w płaszczyźnie momentu M_1 . Przy przejściu do drugiego kierunku głównego, t. j. do walcowego zginania w płaszczyźnie YZ , przybierze przeto analogiczny stosunek $M_1 : M_2$, inną wartość stałą. Z tego powodu napiszemy w pierwszym przypadku $1/m_1$ zamiast $1/m$, a w drugim $1/m_2$. Prócz tego należy uwzględnić, że i sztywność zginania, odniesiona do jednostki szerokości przekroju, może mieć dla obu kierunków głównych różne wartości w rozpatrywanym uogólnionym przypadku prostokątnej nierównokierunkowości materiału płyty, która to nierównokierunkowość odpowiada dobrze strukturze płyty betonowej, równomiernie w obu kierunkach głównych uzbrojonej. Dlatego oznaczymy odpowiednio przez B_1 i B_2 „sztywność belkową“ w płaszczyznach XZ i YZ , to znaczy sztywność odpowiadających skrawków elementarnych płyty przy ich zginaniu jako belki. Dla płyty równokierunkowej będzie oczywiście

$$B_1 = B_2 = \frac{E h^3}{12}$$

§ 2. Ogólne czyste zgięcie elementu płyty.

Przechodzimy teraz do rozpatrzenia elementu płyty, na którego boczne ściany (rys. 3) działają same tylko momenty zginające.



Rys. 3

Y. odróżnia wskaźnik 2¹.

Moment zginający M_1 wywołuje w pionowej płaszczyźnie XZ krzywiznę M_1/B_1 , a w płaszczyźnie YZ krzywiznę $-\frac{1}{m_1} \cdot \frac{M_1}{B_1}$; odpowiadające zaś krzywizny, wywołane przez moment M_2 są $-\frac{1}{m_2} \cdot \frac{M_2}{B_2}$ i $\frac{M_2}{B_2}$. Na zasadzie superpozycji² wynikają stąd dwa równania:

$$\frac{1}{\varrho_1} = \frac{M_1}{B_1} - \frac{1}{m_2} \frac{M_2}{B_2}, \quad \frac{1}{\varrho_2} = \frac{M_2}{B_2} - \frac{1}{m_1} \frac{M_1}{B_1}$$

Rozwiązawszy je względem M_1 i M_2 otrzymamy:

$$(1) \quad M_1 = \frac{m_1 m_2}{m_1 m_2 - 1} B_1 \left(\frac{1}{\varrho_1} + \frac{1}{m_2} \frac{1}{\varrho_2} \right), \quad M_2 = \frac{m_1 m_2}{m_1 m_2 - 1} B_2 \left(\frac{1}{\varrho_2} + \frac{1}{m_1} \frac{1}{\varrho_1} \right).$$

Wielkości:

$$(2) \quad \bar{B}_1 = \frac{m_1 m_2}{m_1 m_2 - 1} \cdot B_1, \quad \bar{B}_2 = \frac{m_1 m_2}{m_1 m_2 - 1} B_2$$

¹ Ta zasada oznaczania, odmienna od użytej w pierwszym opracowaniu teorii (por. cytat na str. 7), okazała się dogodniejszą od poprzedniej.

² Zasada superpozycji stosuje się, biorąc ściśle, tylko do przypadku zakrzywień nieskończenie małych. Wtedy byłyby powyższe równania zupełnie ściśle. W przypadku obu krzywizn skończonych będą te równania przybliżone i to tem więcej, im mniejsze są krzywizny.

mają znaczenie „sztywności płytowych“ przy walcowym zginaniu w płaszczyźnie XZ , względnie YZ .

Dla płyty betonowej, uzbrojonej równomiernie w obu kierunkach X i Y , można sztywności belkowe przedstawić wyrażeniami:

$$B_1 = E_b I_{1b} + E_f I_{1f}, \quad B_2 = E_b I_{2b} + E_f I_{2f}.$$

Tutaj oznaczają E_b i E_f moduły wydłużenia dla betonu i żelaza, zaś I_{1b} , I_{2b} , I_{1f} , I_{2f} są momentami bezwładności przekrojów betonu, względnie żelaza, względem odpowiadających obu osi obrotowych, które leżą w ogóle w różnej wysokości. Po wprowadzeniu znanej liczby stosunkowej

$$(3) \quad n = \frac{E_f}{E_b}$$

wyrazimy sztywności belkowe w postaci:

$$(4) \quad B_1 = E_b (I_{1b} + n I_{1f}) = E_b I_1, \quad B_2 = E_b (I_{2b} + n I_{2f}) = E_b I_2.$$

Wielkości I_1 i I_2 mają tutaj zwykłe znaczenie sprowadzonych (zredukowanych, lub też „idealnych“) momentów bezwładności takichże przekrojów żel.-betonu o polach:

$$(5) \quad F_1 = F_{1b} + n F_{1f}, \quad F_2 = F_{2b} + n F_{2f}.$$

Wartości sprowadzonych liczb Poisson'a $1/m_1$ i $1/m_2$ muszą przypuszczalnie leżeć pomiędzy $1/m_b$ (dla betonu) a $1/m_f$ (dla żelaza). Im mniejszym będzie wpływ uzbrojenia X , lub Y , na odpowiadającą sztywność zginania, tem bardziej zbliży się wartość m_1 , względnie m_2 do m_b i naodwrot. Można by zatem przyjąć w przybliżeniu:

$$(6) \quad \frac{1}{m_1} = \frac{1}{m_b} \frac{I_{1b}}{I_1} + \frac{1}{m_f} n \frac{I_{1f}}{I_1}, \quad \frac{1}{m_2} = \frac{1}{m_b} \frac{I_{2b}}{I_2} + \frac{1}{m_f} n \frac{I_{2f}}{I_2},$$

o ile skrajne warstwy betonu przenoszą ciągnięcia. Na razie wystarczy zapewne uproszczone przyjęcie: $m_1 = m_2 = 6$, a więc:

$$(2a) \quad \bar{B}_1 = \frac{36}{35} E_b I_1, \quad \bar{B}_2 = \frac{36}{35} E_b I_2,$$

dopóki wyniki doświadczeń nie pozwolą na dokładniejsze wyznaczenie wartości m_1 i m_2 .

Dla płyty uzbrojonej w dwu do siebie prostopadłych kierunkach i narażonej w tych obu kierunkach na proste zginanie momentami M_1 i M_2 (odniesionemi do jednostki szerokości przekroju),

mamy tedy. w związku z powyższymi formułami pomocniczymi, następujące równania zgięcia:

$$(1') \quad \bar{M}_1 = \bar{B}_1 \left(\frac{1}{\rho_1} + \frac{1}{m_2} \frac{1}{\rho_2} \right), \quad M_2 = \bar{B}_2 \left(\frac{1}{\rho_2} + \frac{1}{m_1} \frac{1}{\rho_1} \right).$$

§ 3. Skręcenie elementu płyty.

Rozpatrując teraz działanie momentów skręcających na dwie przecinające się boczne ściany elementu płyty, należy najpierw uwzględnić, że podług twierdzenia o równości odpowiadających sobie naprężeń stycznych (działających na tychże ścianach równoległe do płaszczyzny płyty), różnią się wartości obu tych momentów tylko znakiem (rys. 4). To pozostaje ważnym także w przypadku prostokątnej nierównokierunkowości materiału płyty, gdyż wtedy zmienić się może rozkład naprężeń stycznych (skręcających) tylko w kierunku grubości płyty (kierunku Z), przedstawiając być liniowym. Działanie tych momentów skręcających o wielkości D (odniesionej do jednostki szerokości przekroju) na element płyty jest

wogóle statycznie równoważne działaniu dwu równych i wprost przeciwnych momentów zginających, o bezwzględnej wartości

$$|M| = |D|,$$

na dwa pionowe przekroje nachylone odpowiednio pod kątem 45° względem osi X i Y . Z tego powodu da się sztywność skręcenia $2C$ płyty żel.-betonowej (lub wogóle prostokątnie nierównokierunkowej) wyrazić przez sztywność belkową B' w obu tychże przekrojach widocznie równą. Odpowiadające krzywizny główne różnią się tylko znakiem, a ich wielkość zależy od kąta skręcenia elementu płyty. Oznaczywszy przez $\frac{\partial \vartheta_1}{\partial x} dx$ względny kąt skręcenia obu pierwotnie równoległych boków dy elementu pola $dx dy$, obranego w odpowiadającej warstwie obojętnej (rys. 5), a przez $\frac{\partial \vartheta_2}{\partial y} dy$ względny kąt skręcenia drugiej pary boków tegoż elementu, można okazać, że wspólną wartością powyższych krzywizn głównych jest:

$$(7) \quad \frac{\partial \vartheta_1}{\partial y} = \frac{\partial \vartheta_2}{\partial x} = \frac{1}{\rho_a} = \vartheta = \frac{\lambda C}{D} \cdot \frac{D}{2C}$$

Istotnie, jeżeli poprowadzimy przez wierzchołki odkształconego elementu pola $A'B'C'D'$, leżące na jednej przekątnej, t. j. przez A' i C' , oraz przez B' i D' , po dwie płaszczyzny prostopadłe do boków, pierwotnie równoległych o wielkości dx , oraz dy , t. j. do boków $A'B'$ i $C'D'$, oraz $A'D'$ i $B'C'$, to te płaszczyzny przecinają się w dwu prostych, leżących po obu stronach płaszczyzny AB CD i zamykają przytem odpowiednio kąt $\frac{\partial \vartheta_1}{\partial x} dx$

i $\frac{\partial \vartheta_2}{\partial y} dy$. Rys. 5 uzmysławia

tylko prostą przecięcia się EF płaszczyzny $A'D'$ FO prostopadłej do $A'B'$ z płaszczyzną $B'C'OE$ prostopadłą do $D'C'$. Na tej prostej leży środek krzywizny O zgiętej przekątnej $A'SC'$, a ponieważ obie płaszczyzny tworzą kąt $\frac{\partial \vartheta_2}{\partial y} dy$, więc:

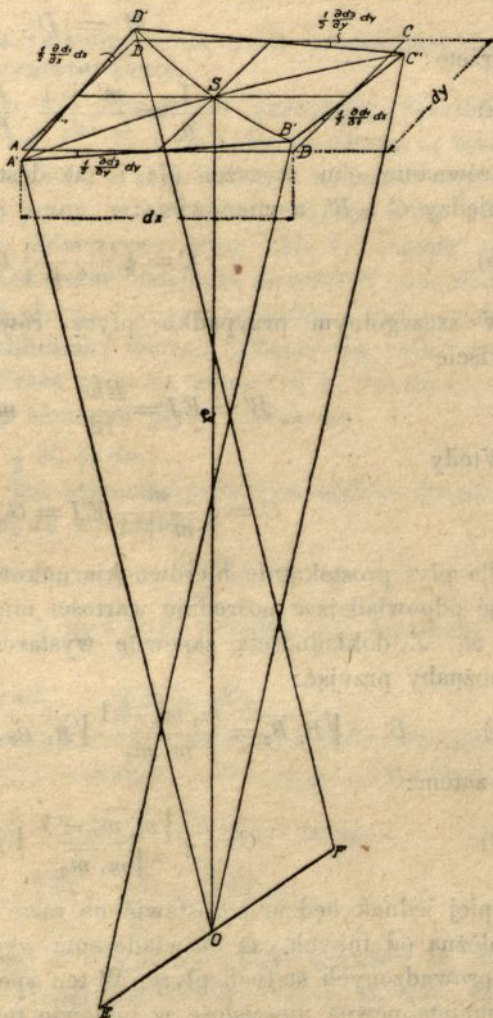
$$\frac{\partial \vartheta_2}{\partial y} dy = \frac{dx}{\rho_a}$$

Podobnie otrzymujemy dla promienia krzywizny drugiej przekątnej:

$$\frac{\partial \vartheta_1}{\partial x} dx = \frac{dy}{\rho_a}$$

Jeżeli przekroje przekątne są nawzajem prostopadłe, to $dx=dy$ i dochodzimy bezpośrednio do związku (7). Z drugiej strony wyznacza, według poprzedniego rozważania, tę samą krzywiznę wyrażenie:

$$\frac{1}{\rho_a} = \frac{M}{B'} + \frac{1}{m'} \frac{M}{B'}$$



Rys. 5.

skoro M i $-M$ oznacza momenty zginające w przekrojach przekątnych, wzajemnie prostopadłych, a m' odpowiadającą sprowadzoną liczbę Poisson'a. Ponieważ przytem jest:

$$|M| = |D|,$$

przeto:

$$(a) \quad \frac{1}{\rho_a} = \frac{m' + 1}{m'} \cdot \frac{D}{B'}.$$

Zrównanie obu wyrażeń (7) i (a) dostarcza szukanego związku między C i B' , a mianowicie:

$$(b) \quad C = \frac{1}{2} \frac{m'}{m' + 1} B'.$$

W szczególnym przypadku płyty równokierunkowej jest oczywiście

$$B' = EI = \frac{Eh^3}{12}, \quad m' = m.$$

Wtedy

$$C = \frac{1}{2} \frac{m}{m + 1} EI = GI = \frac{Gh^3}{12}.$$

Dla płyt prostokątnie nierównokierunkowych muszą B' i m' przyjąć odpowiadające pośrednie wartości między B_1 i B_2 , względnie m_1 i m_2 . Z dokładnością zapewne wystarczającą dla naszych celów możnaby przyjąć:

$$(c) \quad B' = \sqrt{B_1 B_2} = \frac{m_1 m_2 - 1}{m_1 m_2} \sqrt{B_1 B_2}, \quad m' = \sqrt{m_1 m_2},$$

a zatem:

$$(d) \quad C = \frac{1}{2} \frac{\sqrt{m_1 m_2} - 1}{\sqrt{m_1 m_2}} \sqrt{B_1 B_2};$$

lepiej jednak będzie pozostawić na razie wielkość C jako stałą niezależną od innych, aż doświadczenia wyjaśnią związek wszystkich wprowadzonych stałych płyty. W ten sposób będzie także zapewne usunięta pewna nieścisłość w budowie teorii¹, polegająca na przyjęciu, że przy czystym skręcaniu kwadratowego elementu płyty obadwa przekątne przekroje zlewają się z płaszczyznami głównych krzywizn odpowiadającego elementu powierzchni ugięcia, co jest

¹ Ta nieścisłość nie wywarła na szczęście wpływu na główny wynik teorii, t. j. na postać równania różniczkowego powierzchni ugięcia (Ob. § 5).

oczywistem tylko w przypadku równości głównych sztywności ($\bar{B}_1 = \bar{B}_2$), względnie w przypadku równokierunkowości materiału płyty.

§ 4. Energia potencjalna (wewnętrzna praca odkształcenia) wygiętej płyty.

Elementy płyty są w najogólniejszym przypadku narażone nadto na siły poprzeczne V_1, V_2 i na siły podłużne; atoli te ostatnie nie wchodzi w rachubę w zagadnieniach rozpatrywanych w dalszym ciągu niniejszej pracy, w których występują tylko siły zewnętrzne prostopadłe do płaszczyzny płyty. Ale i działanie sił poprzecznych można pominąć wobec działania momentów przy obliczeniu energii potencjalnej płyty, i to przynajmniej z tem samem przybliżeniem, z jakim obliczamy energię potencjalną belki, pomijając energię ścinania. Praca zginania momentu $M_1 dy$, działającego na ścianę boczną $h dy$ elementu płyty, równa się:

$$\frac{1}{2} M_1 dy d\alpha_1,$$

jeżeli $d\alpha_1 = dx/\varrho_1$ oznacza kąt zginania; podobnie będzie określać pracę zginania momentu $M_2 dx$ wyrażenie:

$$\frac{1}{2} M_2 dx d\alpha_2 = \frac{1}{2} M_2 \frac{dx dy}{\varrho_2}.$$

Prace skręcenia momentami $D \cdot dy$ i $D \cdot dx$ przedstawia odpowiednio iloczyny:

$$\frac{1}{2} D dy \cdot d\vartheta_1, \quad \frac{1}{2} D dx \cdot d\vartheta_2.$$

Całkowita energia potencjalna nagromadzona w elemencie płyty objętości $h dx dy$ będzie tedy, z uwzględnieniem związku (7), równa:

$$dL_i = \frac{1}{2} M_1 \frac{dx dy}{\varrho_1} + \frac{1}{2} M_2 \frac{dx dy}{\varrho_2} + D \cdot \vartheta dx dy,$$

albo (8)
$$dL_i = \frac{1}{2} \left(\frac{M_1}{\varrho_1} + \frac{M_2}{\varrho_2} + \frac{2D}{\varrho_4} \right) dx dy.$$

Skoro jeszcze wstawimy z równań (1') i (7) wartości M_1, M_2 i D , tudzież zcałkujemy na całej powierzchni płyty, to wzór dla energii potencjalnej płyty betonowej, równomiernie na krzyż uzbrojonej (lub wogóle płyty prostokątnie nierównokierunkowej podobnego rodzaju), przybierze postać następującą:

$$(9) \quad L_i = \frac{1}{2} \iint \left[\bar{B}_1 \left(\frac{1}{\varrho_1^2} + \frac{1}{m_2 \varrho_1 \varrho_2} \right) + \bar{B}_2 \left(\frac{1}{\varrho_2^2} + \frac{1}{m_1 \varrho_1 \varrho_2} \right) + 4C \cdot \frac{1}{\varrho_4^2} \right] dx dy.$$

Wielkości ϱ_1 , ϱ_2 i ϱ_a są wyznaczone kształtem powierzchni ugięcia. Do ich analitycznego przedstawienia obierzemy jakąkolwiek płaszczyznę środkową płyty za płaszczyznę XY , np. jedną z obu płaszczyzn obojętnych. Oznaczywszy przez ζ ugięcie punktu (x, y) tej płaszczyzny, czyli spódrzędną z powierzchni ugięcia, można z takim samym, jak w teorii belek, przybliżeniem napisać:

$$(a) \quad \frac{1}{\varrho_1} = -\frac{\partial^2 \zeta}{\partial x^2}, \quad \frac{1}{\varrho_2} = -\frac{\partial^2 \zeta}{\partial y^2}$$

Ponieważ dalej prostokąt elementarny $dx dy$, leżący w tej płaszczyźnie, zamienia się na czworokąt przestrzenny o prawie tym samym rzucie poziomym, więc pochodne cząstkowe $\frac{\partial \zeta}{\partial x}$, $\frac{\partial \zeta}{\partial y}$ wyznaczają kąty nachylenia boków tego prostokąta, wychodzących z punktu (x, y) , względem płaszczyzny XY . Zmiany, jakich doznają te kąty przy przesunięciu o dy , względnie dx , są oczywiście, z wyjątkiem znaku, identyczne z odpowiadającymi kątami skręcenia, a mianowicie:

$$-\frac{\partial}{\partial y} \left(\frac{\partial \zeta}{\partial x} \right) dy = d\vartheta_2, \quad -\frac{\partial}{\partial x} \left(\frac{\partial \zeta}{\partial y} \right) dx = d\vartheta_1.$$

Stąd bezpośrednio wynika:

$$(b) \quad \vartheta' = \frac{1}{\varrho_a} = \frac{d\vartheta_1}{dx} = \frac{d\vartheta_2}{dy} = -\frac{\partial^2 \zeta}{\partial x \partial y}$$

Po wstawieniu wartości z obu równań (a) i (b) we wzór dla energii (9), otrzymamy go w następującej postaci:

$$(9') \quad L_1 = \frac{1}{2} \iint \left[\bar{B}_1 \left(\frac{\partial^2 \zeta}{\partial x^2} \right)^2 + \bar{B}_2 \left(\frac{\partial^2 \zeta}{\partial y^2} \right)^2 + \left(\frac{\bar{B}_1}{m_1} + \frac{\bar{B}_2}{m_2} \right) \frac{\partial^2 \zeta}{\partial x^2} \cdot \frac{\partial^2 \zeta}{\partial y^2} + 4C \left(\frac{\partial^2 \zeta}{\partial x \partial y} \right)^2 \right] \partial x \partial y$$

To samo podstawienie przekształca równanie zgięcia (1') równanie skręcenia (7) na

$$(10) \quad M_1 = -\bar{B}_1 \left(\frac{\partial^2 \zeta}{\partial x^2} + \frac{1}{m_2} \frac{\partial^2 \zeta}{\partial y^2} \right), \quad M_2 = -\bar{B}_2 \left(\frac{\partial^2 \zeta}{\partial y^2} + \frac{1}{m_1} \frac{\partial^2 \zeta}{\partial x^2} \right), \\ D = -2C \frac{\partial^2 \zeta}{\partial x \partial y}$$

W szczególnym przypadku płyty jednolitej i równokierunkowej, czyli dla

$$\bar{B}_1 = \bar{B}_2 = E'I, \quad C = GI = \frac{1}{2} \frac{m}{m+1} EI = \frac{1}{2} \frac{m-1}{m} E'I, \quad I = \frac{h^3}{12},$$

upraszczają się powyższe wzory i przybierają znaną postać:

$$(11) \quad \left\{ \begin{aligned} L_1 &= \frac{1}{2} \int \int E'I \left[\left(\frac{\partial^2 \zeta}{\partial x^2} \right)^2 + \left(\frac{\partial^2 \zeta}{\partial y^2} \right)^2 + \frac{2}{m} \frac{\partial^2 \zeta}{\partial x^2} \cdot \frac{\partial^2 \zeta}{\partial y^2} + \right. \\ &\quad \left. + 2 \frac{m-1}{m} \left(\frac{\partial^2 \zeta}{\partial x \partial y} \right)^2 \right] dx dy, \\ M_1 &= -E'I \left(\frac{\partial^2 \zeta}{\partial x^2} + \frac{1}{m} \frac{\partial^2 \zeta}{\partial y^2} \right), \quad M_2 = -E'I \left(\frac{\partial^2 \zeta}{\partial y^2} + \frac{1}{m} \frac{\partial^2 \zeta}{\partial x^2} \right), \\ D &= -\frac{m-1}{m} E'I \frac{\partial^2 \zeta}{\partial x \partial y} \end{aligned} \right.$$

§ 5. Siły poprzeczne i równanie różniczkowe powierzchni ugięcia.

Odniesione do jednostki szerokości przekroju siły poprzeczne V_1 i V_2 są związane warunkami równowagi z momentami zgięcia i skręcenia. Do obliczenia V_1 posłuży warunek momentów względem jakiegokolwiek osi równoległej do kierunku Y . Poprowadziwszy tę oś przez środek elementu płyty, znajdziemy:

$$M_1 dy - \left(M_1 + \frac{\partial M_1}{\partial x} dx \right) dy + D dx - \left(D + \frac{\partial D}{\partial y} dy \right) dx + V_1 dy \cdot \frac{dx}{2} + \left(V_1 + \frac{\partial V_1}{\partial x} dx \right) dy \cdot \frac{dx}{2} = 0,$$

a stąd otrzymamy pierwsze z równań:

$$(12) \quad V_1 = \frac{\partial M_1}{\partial x} + \frac{\partial D}{\partial y}, \quad V_2 = \frac{\partial M_2}{\partial y} + \frac{\partial D}{\partial x}$$

Drugie z tych równań wynika analogicznie z warunku momentów względem osi równoległej do X . Obadwa mają widocznie znaczenie ogólne, są zatem ważne także i dla rozpatrywanych płyt nierównokierunkowych, względnie żel.-betonowych. Po wprowadzeniu w równanie (12) wartości z równań (10), otrzymamy dla sił poprzecznych płyty nierównokierunkowej tego rodzaju wzory następujące:

$$(12') \quad V_1 = -\bar{B}_1 \frac{\partial^3 \zeta}{\partial x^3} - \left(\frac{\bar{B}_1}{m_2} + 2C \right) \frac{\partial^3 \zeta}{\partial x \partial y^2},$$

$$V_2 = -\bar{B}_2 \frac{\partial^3 \zeta}{\partial y^3} - \left(\frac{\bar{B}_2}{m_1} + 2C \right) \frac{\partial^3 \zeta}{\partial x^2 \partial y}$$

Jako jedyna niewiadoma we wszystkich dotychczasowych wyrażeniach dla momentów, sił poprzecznych i energii potencjalnej występuje jeszcze ugięcie ζ . To ugięcie należy obliczyć z niewyżyśkanego dotąd warunku równowagi, a mianowicie z warunku rzutów na oś Z . Oznaczywszy przez p (w kg/cm^2) ciśnienie obciążenia na powierzchnię płyty, mamy tedy według warunku rzutów:

$$p dx dy - V_2 dx + \left(V_2 + \frac{\partial V_2}{\partial y} dy \right) dx - V_1 dy + \left(V_1 + \frac{\partial V_1}{\partial x} dx \right) dy = 0,$$

czyli

$$(a) \quad p + \frac{\partial V_1}{\partial x} + \frac{\partial V_2}{\partial y} = 0$$

Stąd, po wstawieniu wartości z równań (12'), wypływa równanie różniczkowe powierzchni ugięcia płyty betonowej, równomiernie na krzyż uzbrojonej, lub też wogóle płyty prostokątne nierównokierunkowej podobnego rodzaju, w postaci:

$$(13) \quad \bar{B}_1 \frac{\partial^4 \zeta}{\partial x^4} + 2H \frac{\partial^4 \zeta}{\partial x^2 \partial y^2} + \bar{B}_2 \frac{\partial^4 \zeta}{\partial y^4} = p^1$$

jeżeli dla skrócenia wprowadzimy oznaczenie:

$$(13a) \quad 2H = \frac{\bar{B}_1}{m_2} + \frac{\bar{B}_2}{m_1} + 4C.$$

W szczególnym przypadku płyty jednolitej i równokierunkowej, t. j. dla

$$\bar{B}_1 = \bar{B}_2 = E'I, \quad m_1 = m_2 = m, \quad C = \frac{1}{2} \frac{m-1}{m} E'I,$$

¹ Z ogólnych badań Boussinesq'a J., ogłoszonych już w roku 1879 w Journ. de Math. t. V, str. 329—344, okazuje się, że wyprowadzone tutaj równanie różniczkowe (13) jest ściśle ważne pod warunkiem, że osie współrzędnych są głównymi osiami sprężystości nierównokierunkowego materiału płyty.

przybiera to równanie znaną postać następującą:

$$(14) \quad \frac{\partial^4 \zeta}{\partial x^4} + 2 \frac{\partial^4 \zeta}{\partial x^2 \partial y^2} + \frac{\partial^4 \zeta}{\partial y^4} = \frac{p}{E'I}.$$

§ 6. Warunki krańcowe. Płyty z blachy falistej, żel.-betonowe stropy żebrowane i kraty belkowe.

Pozostaje jeszcze rozpatrzeć kwestyę warunków krańcowych. Ale widać odrazu, że te warunki są zupełnie niezależne od struktury płyty i że się nie zmieniają, jeżeli przechodzimy od płyty równokierunkowej do nierównokierunkowej. Ponieważ tę ważną i nader interesującą kwestyę traktowano już wyczerpująco w nowszej literaturze płyt równokierunkowych, więc nie ma koniecznej potrzeby rozpatrywania jej tutaj. Czytelnik nieobznajomiony z przedmiotem, zechce przestudyować np. odpowiadające miejsce w cennej monografii dra A. Nádaí'a, przytoczonej już powyżej.

Podobnie jak teorię cienkich prętów przyrzątecznych uogólniono w technicznej nauce o sprężystości i wytrzymałości z praktycznie wystarczającym przybliżeniem dla prętów o słabo zmiennym przekroju, tak też można ustawione powyżej równania płyty prostokątnej nierównokierunkowej o stałej grubości zastosować do przypadku grubości słabo zmiennej (względnie zmiennego uzbrojenia). Trzeba tylko współczynniki B_1, B_2, \dots , uważane dotychczas za stałe, traktować jako funkcye miejsca na płaszczyźnie XY . — Uzbrojenie płyty żel.-betonowej nie jest zwykle rozłożone zupełnie równomiernie na całej płycie, już z powodu odginania prętów w miejscach, gdzie momenty zginające zmieniają znak. Atoli z tego tylko powodu nie należy powątpiewać w stosowność ogólnej teorii przy upraszczającym założeniu równomierności uzbrojenia, byleby tylko części prętów w obszarze ujemnych momentów były tak samo ułożone względem rozciąganej warstwy betonu, jak części leżące w obszarze momentów dodatnich (do czego oczywiście praktyka zdąża), a nadto, o ile obciążenie, przyjęte za podstawę obliczenia, warunkuje w przybliżeniu to samo rozgraniczenie obu obszarów, jakie odpowiada konstrukcyjnemu wykonaniu. Doświadczenia ze statycznie niewyznaczalnemi belkami żel.-betonowemi potwierdziły, jak wiadomo, weale dobrze odpowiadające wywody teoretyczne, chociaż przy obliczeniu odpowiadających statycznie niewyznaczalnych sił i momentów zakładano stałość wielkości prze-

krojowych wzdłuż belki. To nie było jednakże całkiem zgodne z rzeczywistością, gdyż podłużne uzbrojenie obiektów doświadczalnych było, jak zwykle, dostosowane do linii momentów¹.

Podobnie należy się spodziewać, że i doświadczenia z żel.-betonowymi płytami potwierdzą główne wyniki dalszych teoretycznych wywodów niniejszej pracy, bez względu na pewne zboczenia rzeczywistych płyt od uproszczonych założeń rachunku. A już zgoła podrzędne znaczenie ma np. fakt, iż w obszarach dodatnich i ujemnych momentów zgięcia mogą odpowiadające warstwy obojętne leżeć w różnej wysokości i nie będą wogóle zlewać się z płaszczyzną XY . To oczywiście nie będzie miało żadnego dostrzegalnego wpływu na obliczenie ugięć ζ . Przy pomiarze ugięcia jest bowiem praktycznie wszystko jedno, czy wyznaczymy pionowe przesunięcie punktu górnej czy też odpowiedniego punktu dolnej powierzchni płyty, ponieważ zmiany grubości wskutek obciążenia można zawsze pominąć w porównaniu do ugięć u płyt niezbyt grubych.

Jak w odpowiadających miejscach zaznaczono, są podstawowe równania teorii płyt żel.-betonowych ogólnie ważne dla wszelkich płyt nierównokierunkowych o prostokątnej symetrii struktury, a więc np. dla płyt drewnianych i szyb ze szkła drutowego. Podobnie da się ogólna teoria zastosować dobrze i do odpowiednio zbudowanych płyt z materiału równokierunkowego, jakimi są płyty z blachy falistej i dostatecznie gęste kraty belkowe. Potrzeba tylko w każdym szczególnym przypadku przypisać stałym \bar{B}_1 , \bar{B}_2 , m_1 , .. odpowiadające wartości, wyznaczone teoretycznie lub doświadczalnie.

Jeżeli np. w przypadku blachy falistej obierzemy kierunek tworzących powierzchni blachy za oś Y , to z zupełnie wystarczającą dokładnością będzie płytowa sztywność zginania

$$\bar{B}_2 = EI_2,$$

przyczem E oznacza moduł sprężystości materiału blachy, a I_2 moment bezwładności przekroju jednej fali, podzielony przez jej długość. Albowiem zgięcie w płaszczyźnie XZ ma teraz bardzo mały wpływ na zgięcie w płaszczyźnie YZ , o ile grubość blachy jest dość mała w porównaniu do wysokości fali. Płytowa sztywność

¹ Prof. Dr Ing. E. Mörsch, „Der Eisenbetonbau“, wyd. IV, 1912, str. 349 do 361.

zginania B_1 będzie oczywiście mniejsza od takiejże sztywności płaskiej blachy o tej samej grubości δ , a mianowicie w stosunku rzeczywistej długości fali do długości jej krzywej linii środkowej. Jeżeli przez a_0 oznaczymy pierwotną długość prostokątnej płaskiej blachy, którą zamieniono następnie przez pofałdowanie w kierunku szerokości na blachę falistą o długości a (bez zmiany grubości blachy δ), to

$$\bar{B}_1 = \frac{a}{a_0} \cdot \frac{m^2 E}{m^2 - 1} \cdot \frac{\delta^3}{12}$$

Dokładność tego wyrażenia dla \bar{B}_1 jest widocznie tem większa, im mniejsze jest δ w porównaniu do promienia krzywizny ρ_m fali. Natomiast sztywność skręcania będzie większa od tej, która odpowiada płaskiej płycie o grubości δ , a mianowicie mniej więcej w stosunku $a_0 : a$ i to znowu tem dokładniej, im mniejsze jest $\delta : \rho_m$. A zatem:

$$C = \frac{a_0}{a} G \frac{\delta^3}{12},$$

jeżeli $G = \frac{1}{2} \frac{m}{m+1} E$ oznacza moduł sprężystości postaciowej materiału blachy. Związki między momentami zgięcia i promieniami krzywizny powierzchni ugięcia (rów. 1, wzgl. 10), przybierają teraz następującą uproszczoną postać:

$$(10^*) \quad M_1 = \frac{\bar{B}_1}{\rho_1} = -\bar{B}_1 \frac{\partial^2 \xi}{\partial x^2}, \quad M_2 = \frac{\bar{B}_2}{\rho_2} = -\bar{B}_2 \frac{\partial^2 \xi}{\partial y^2}$$

Dodawszy do tego wyrażenie dla momentu skręcania w zmienionej widocznie postaci:

$$D = -2C \frac{\partial^2 \xi}{\partial x \partial y},$$

łatwo zrozumieć, że we wzorach ogólnej teorii trzeba przyjąć $1/m_1 = 1/m_2 = 0$, aby otrzymać odpowiadające wzory dla płyt z blachy falistej. W szczególności będzie stała

$$H = 2C.$$

Z wystarczającym dla wszelkich praktycznych celów przybliżeniem można ogólną teorię zastosować także bezpośrednio do zwykłych żel.-betonowych stropów żebrowanych i t. p., o ile odstęp

żeber jest dość mały w porównaniu do ich rozpiętości. Wtedy jednakże trzeba uwzględnić tę okoliczność, że średnia sztywność zginania płyty \bar{B}_1 w płaszczyźnie XZ , prostopadłej do żeber, musi być większa, aniżeli odpowiadająca sztywność zginania \bar{B}_1^p , samej płyty. Oznaczywszy przez a odstęp żeber w świetle, przez g (górną) szerokość żebra, a przez \bar{B}_1^r odniesioną do jednostki szerokości przekroju sztywność zginania pomysłanej płyty, utworzonej ze zsuniętych razem żeber, znajdziemy jako wartość kąta zgięcia na długości $a + g$, odpowiadającą stałemu momentowi zgięcia $M_1 = 1$:

$$\alpha = \frac{a + g}{B_1} = \frac{a}{\bar{B}_1^p} + \frac{g}{\bar{B}_1^r},$$

a stąd

$$\bar{B}_1 = \bar{B}_1^p \cdot \frac{a + g}{a + \frac{\bar{B}_1^r}{\bar{B}_1^p} g}$$

Ponieważ w przybliżeniu jest $\bar{B}_1^p : \bar{B}_1^r = h^3 : h_r^3$, jeżeli h_r oznacza wysokość żeber, więc można pominąć w mianowniku wielkość $\bar{B}_1^p g : \bar{B}_1^r$ wobec a i napisać z dostateczną dokładnością:

$$(14,1) \quad \bar{B}_1 = \sim \bar{B}_1^p \left(1 + \frac{g}{a} \right)$$

Nietrudno ocenić średnią wartość \bar{B}_1 także w przypadku, gdy grubość płyty między żebrami się zmienia.

Uogólnione liczby Poisson'a $\frac{1}{m_1}$ i $\frac{1}{m_2}$ będą oczywiście w obu przypadkach wcale małe, podobnie jak dla płyt z blachy falistej, i można je w przybliżeniu przyjąć równe zero.

Chcąc rachować dokładniej, musimy obrać tę samą drogę, co w § 2, a mianowicie: Przy działaniu momentu zginającego M_1 na element samej płyty, powstałaby w płaszczyźnie XZ krzywizna $\frac{M_1}{B_1^p}$ (jeżeli B_1^p oznacza belkową sztywność zginania skrawków X płyty), a w płaszczyźnie YZ krzywizna $-\frac{1}{m_1} \cdot \frac{M_1}{B_1^p}$. (Wszystkie wielkości odnoszące się do samej płyty odróżnimy tutaj wskaźnikiem P u góry). Połączenie z żebrami ma ten skutek, że dla płyty żebrowanej zmniejsza się pierwsza krzywizna w stosunku B_1^p do B_1 ,

czyli przybiera wartość $\frac{M_1}{B_1}$. Na krzywiznę poprzeczną mają żebra wpływ znacznie silniejszy, redukując ją mianowicie w stosunku $B_2^r : B_2$. Ta krzywizna przybiera tedy wartość

$$-\frac{1}{m_1^r} \cdot \frac{B_2^r}{B_2} \cdot \frac{M_1}{B_1} = -\frac{1}{m_1^r} \cdot \frac{B_2^r}{B_2} \cdot \frac{a+g}{a} \cdot \frac{M_1}{B_1}.$$

Działanie momentu zginającego M_2 wywołuje w płaszczyźnie YZ krzywiznę płyty żebrowanej o wielkości $\frac{M_2}{B_2}$, a w płaszczyźnie XZ krzywiznę $-\frac{1}{m_2} \cdot \frac{M_2}{B_2}$. Ale z momentu M_2 przenosi się widocznie

tylko część o wielkości $\frac{B_2^r}{B_2} M_2$ na płytę, a tej części odpowiada poprzeczna krzywizna płyty $-\frac{1}{m_2^r} \cdot \frac{B_2^r}{B_2} \cdot \frac{M_2}{B_2} = -\frac{1}{m_2^r} \cdot \frac{M_2}{B_2}$. Dla odpowiadającej krzywizny poprzecznej płyty żebrowanej wypada podobnie jak powyżej przyjąć wartość $\frac{1}{m_2^r} \cdot \frac{a}{a+g} \cdot \frac{M_2}{B_2}$. Stąd wypływają dla płyty żebrowanej w kierunku Y następujące przybliżone wartości uogólnionych liczb Poisson'a:

$$\frac{1}{m_1} = \frac{1}{m_1^r} \cdot \frac{B_2^r}{B_2} \cdot \frac{a+g}{a}, \quad \frac{1}{m_2} = \frac{1}{m_2^r} \cdot \frac{a}{a+g}.$$

Z nich, jak widać odrazu, tylko właściwie $\frac{1}{m_1}$ można pominąć bez skrupułów wobec 1, podczas gdy $\frac{1}{m_2}$ bywa nie wiele mniejsze od odpowiadającej uogólnionej liczby Poissona dla gładkiej płyty.

Pozostaje jeszcze wyrazić średnią sztywność skręcania $2C$ płyty żebrowanej przez sztywność skręcania $2C^p$ samej płyty (bez żeber) i takąż sztywność żebra C^r (odniesioną podobnie jak C , \bar{B}_1 , $\bar{B}_2 \dots$ do jednostki szerokości przekroju). Otóż po prostu możemy napisać z wystarczającym przybliżeniem

$$2C = \frac{2C^p \cdot a + C^r \cdot g}{a+g} = 2C^p + \frac{g}{a+g} C^r = 2C^p + \frac{C_r}{a+g},$$

jeżeli C_r oznacza bezwzględną sztywność skręcania jednego żebra.

Zagadnienie gęstych prostokątnych krat belkowych traktowano już dawno, ale z pominięciem pracy skręcenia, t. j. na podstawie równania różniczkowego równowagi o postaci:

$$(15) \quad \bar{B}_1 \frac{\partial^4 \zeta}{\partial x^4} + \bar{B}_2 \frac{\partial^4 \zeta}{\partial y^4} = p.$$

Odpowiadające rozwiązania zastosowano w nowszych czasach do płyt betonowych uzbrojonych na krzyż¹. Dość grube przybliżenie wyników, otrzymanych tym sposobem w niektórych zadaniach, nie odpowiada jednakże matematycznemu aparatowi, jakiego wypadło użyć. Prawda, że rozwiązanie powyższego równania różniczkowego zgadza się z rozwiązaniem ogólnego równania (13) w trywialnym przypadku walcowego zgięcia w jednej z płaszczyzn głównych, a im mniejszą rolę grają momenty skręcające, tem mniejszą wogóle będzie liczbowa różnica obu rozwiązań, atoli ta różnica osiąga w praktycznych przypadkach najczęściej zbyt wielkie wartości, aby usprawiedliwić ogólne stosowanie równania różniczkowego (15).

§ 7. Kwestya stosowalności dotychczasowych rozwiązań równania różniczkowego płyty równokierunkowej. Ściślejsze traktowanie zagadnienia krat belkowych. Trudności przy zastosowaniu ogólnej teorii do płyt żel.-betonowych.

Równanie różniczkowe równowagi płyty jednolite i równokierunkowej ma, jak wiadomo, postać:

$$(14') \quad \frac{\partial^4 \zeta}{\partial x^4} + 2 \frac{\partial^4 \zeta}{\partial x^2 \partial y^2} + \frac{\partial^4 \zeta}{\partial y^4} = \frac{p}{B},$$

jeżeli

$$\bar{B} = \frac{m^2 E}{m^2 - 1} \cdot \frac{h^3}{12}$$

oznacza płytową sztywność przy (walcowem) zginaniu. Nasuwa się pytanie, pod jakimi warunkami można rozwiązanie tego równania różniczkowego zużytkować do rozwiązania ogólniejszego równania

¹ Calcul des hourdis en béton armé. Note jointe à l'avis du Conseil Général des Ponts et Chaussées. Ann. d. P. et Ch. 1912, VI.

różniczkowego (13). Łatwo się przekonać, że, skoro między stałymi \bar{B}_1 , \bar{B}_2 i H zachodzi prosty związek:

$$(a) \quad H = \sqrt{\bar{B}_1 \bar{B}_2},$$

to równanie różniczkowe (13) przekształca się na postać (14') za pomocą podstawienia:

$$x = x' \sqrt[4]{\frac{\bar{B}_1}{\bar{B}}}, \quad y = y' \sqrt[4]{\frac{\bar{B}_2}{\bar{B}}}.$$

W tym więc przypadku zachodzi związek pokrewieństwa między powierzchniami ugięcia płyty nierównokierunkowej i odpowiadającej płyty równokierunkowej. Tak np. odpowiada kulistemu zgięciu płyty równokierunkowej, elipsoidalne zgięcie płyty nierównokierunkowej, o ile zachodzi związek (a). Dla równomiernie obciążonej płyty prostokątnej o wymiarach a i b wypada, jak zobaczymy poniżej, rozwiązanie równania różniczkowego (14) w postaci:

$$\zeta = \frac{q b^4}{\bar{B}} \Psi\left(\frac{b}{a}, \frac{x}{a}, \frac{y}{b}\right).$$

Gdy warunek (a) jest spełniony, to można stąd według powyższego otrzymać wprost odpowiadające rozwiązanie ogólniejszego równania (13). Wystarczy w tym celu zastąpić \bar{B} przez \bar{B}_2 , a przez $a \sqrt[4]{\frac{\bar{B}_2}{\bar{B}_1}}$ i x przez $x \sqrt[4]{\frac{\bar{B}_2}{\bar{B}_1}}$. Skoro obliczono liczebne wartości funkcji Ψ przy różnych wielkościach argumentów $\frac{b}{a}$, $\frac{x}{a}$, $\frac{y}{b}$ dla płyty równokierunkowej, to te wartości pozostają ważne i dla równych odpowiadających wielkości $\frac{b}{a \sqrt[4]{\frac{\bar{B}_1}{\bar{B}_2}}}$, $\frac{x}{a}$, $\frac{y}{b}$ danej płyty nierównokierunkowej o wymiarach a i b .

Powyzsza okoliczność jest doniosłego znaczenia dla teorii płyt żel.-betonowych. albowiem związek (a) zachodzi zapewne przynajmniej w przybliżeniu, w licznych praktycznych przypadkach. Ostatniego słowa w tej sprawie należy oczywiście oczekiwać od wyników doświadczeń.

Na podstawie przyjęcia zrobionego w § 3 co do sztywności skręcania płyty żel.-betonowej, wynika łatwo związek:

$$(b) \quad H = \sqrt{\bar{B}_1 \bar{B}_2} + \frac{1}{2} \left(\sqrt{\frac{\bar{B}_1}{m_2}} - \sqrt{\frac{\bar{B}_2}{m_1}} \right)^2.$$

Stosownie do tego byłoby wogóle

$$H > \sqrt{\bar{B}_1 \bar{B}_2},$$

a tylko w szczególnym przypadku, gdy spełnia się warunek

$$\frac{\bar{B}_1}{m_2} = \frac{\bar{B}_2}{m_1},$$

będzie jednocześnie $H = \sqrt{\bar{B}_1 \bar{B}_2}$.

Inaczej ma się rzecz u prostokątnych krat z belek nitowanych i t. p., ponieważ takie belki objawiają z reguły tylko małą sztywność skręcania w porównaniu do sztywności zginania, jakoteż znikomo małe sprowadzone liczby Poisson'a $\frac{1}{m_1}$ i $\frac{1}{m_2}$. W tym przypadku jest

$$H < \sqrt{\bar{B}_1 \bar{B}_2}$$

i może będzie przyjąć, tak samo, jak dla płyt z blachy falistej

$$H = 2C.$$

Jeżeli $2C_1$ i $2C_2$ oznacza odpowiednio sztywność skręcania belek X i Y kraty, odniesioną do jednostki szerokości przekroju, to trzeba oczywiście przyjąć:

$$2C = C_1 + C_2.$$

Już teraz widać, że stosunek $H: \sqrt{\bar{B}_1 \bar{B}_2}$ musi w ogólnej teorii grać ważną rolę. Nazwiemy go charakterystyką (sztywności) płyty i wprowadzimy dlań oznaczenie:

$$\frac{H}{\sqrt{\bar{B}_1 \bar{B}_2}} = \eta.$$

Dla płyt żel.-betonowych będzie najczęściej $\eta > 1$, w przypadku równokierunkowości materiału płyty staje się $\eta = 1$ a dla płyt z blachy falistej, krat belkowych i t. d. będzie $\eta < 1$.

Główną trudność, jaką napotykamy przy stosowaniu ogólnej teorii do uzbrojonych płyt betonowych, nastęrczają, jak już zaznaczyłem powyżej, znaczne zboczenia betonu od prawa Hooke'a. Ta trudność wychodziła na jaw już przy licznych doświadczeniach ze zginaniem żel.-betonowych belek; obserwowane ugięcia pod obciążeniami

zeniem 1 do 2 razy większem od użytkowego były bowiem 3 do 2 razy mniejsze od obliczonych, skoro, jak to się czyni w praktyce, wyznaczono sztywność zgięcia na podstawie tych założeń upraszczających, jakie z wystarczającą dokładnością odpowiadają dopiero tak zwanej fazie II b. przy zginaniu. Do tych założeń należą, jak wiadomo:

- 1) Pominięcieciągnięć w betonie;
- 2) liniowy rozkład ciśnień;
- 3) $n = 15$ jako średnia wartość stosunku $E_s : E_c$.

Samemu obciążeniu użytkowemu będzie niewątpliwie odpowiadać lepiej przyjęcie fazy I, atoli przy zwiększaniu obciążenia nie może żadne z obu powyższych założeń uczynić zadość najskromniejszym wymaganiom co do dokładności, ponieważ przejście między warunkami obu faz, tak znacznie różniącymi się nawzajem, zachodzi naturalnie w sposób ciągły. Zadowalająca do pewnego stopnia zgodność obliczonych i obserwowanych wielkości dałaby się może osiągnąć przez przyjęcie zmiennej i od naprężenia skrajnego w betonie zależnej średniej wartości E_c w całym przekroju belki. Jeszcze bardziej wikła się sprawa u uzbrojonych płyt betonowych, po części z powodu dwu wymiarowego stanu napięcia, częścią zaś wskutek nieskończenie wielokrotnej statycznej niewyznaczalności działania płytowego. Doświadczenia muszą przedewszystkiem wyjaśnić, czy w elemencie płyty, narażonym na momenty M_1 i M_2 , faza II b warunkuje zawsze obie sztywności zginania jednocześnie, albo też, czy jest możliwem, aby sztywność zginania, odpowiadająca większemu, względnie niebezpieczniejszemu momentowi, osiągnęła już fazę II b, a druga pozostała równocześnie jeszcze w fazie wcześniejszej. Jest bowiem rzeczą jasną, że odpowiedź na to pytanie będzie miała wielki wpływ na znaczenie działania płytowego, ponieważ sztywność zginania ubywa znacznie w po sobie następujących fazach.

W fazie I określa sprowadzony moment bezwładności przy jednostronnem uzbrojeniu łatwy do wyprowadzenia wzór:

$$(16) \quad I' = \frac{h}{12} \left[h^2 + 12 \left(\frac{h}{2} - c \right)^2 \frac{nf'}{h + nf'} \right]^1,$$

¹ Biorąc ściśle, należy tutaj zastąpić n przez $(n - 1)$, albowiem w przekroju nie ma betonu tam, gdzie znajduje się żelazo. Powyższy wzór wyprowadza się najprościej, obliczając najpierw moment bezwładności I' względem prostej połowiącej grubość płyty h . Oznaczywszy przez z_0 odległość tej linii od środka ciężkości sprowadzonego przekroju F , mamy, jak wiadomo:

w którym c oznacza osiową odległość prętów uzbrojenia od krawędzi przekroju a f' pole przekroju tych prętów, przypadające na jednostkę szerokości przekroju. Odpowiadającą odległość z osi obojętnej od ściskanej warstwy skrajnej (po nieuzbrojonej stronie przekroju) daje równanie:

$$z - \frac{h}{2} = \left(\frac{h}{2} - c\right) \frac{h}{h + nf'}$$

Natomiast dla fazy IIb jest, jak wiadomo:

$$z = nf' \left(\sqrt{1 + \frac{2h_1}{nf'}} - 1 \right)$$

$$(17) \quad I^{(IIb)} = \frac{z^3}{3} + nf' (h_1 - z)^2, \quad ^1$$

jeżeli $h_1 = h - c$.

Ta wartość I musi być zawsze o wiele mniejszą od poprzedniej, a nadto odpowiada fazie IIb mniejsza wartość E_b niż fazie I. Np. dla obu głównych przekrojów płyty na krzyż uzbrojonej, przedstawionych na rys. 6, otrzymujemy według wzoru (16) przy wartości $n = 10$:

$$I_1 = 147,65 \text{ cm}^3, \quad I_2 = 155,86 \text{ cm}^3, \quad I_2 : I_1 = 1,06;$$

$$I = I' - Fz_0^2$$

Tym sposobem znajdujemy najpierw:

$$I' = \frac{h^3}{12} + (n-1)f' \left(\frac{h}{2} - c\right)^2,$$

następnie

$$z_0 = \frac{(n-1)f' \left(\frac{h}{2} - c\right)}{h + (n-1)f'},$$

tudzież

$$I = \frac{h^3}{12} + (n-1)f' \left(\frac{h}{2} - c\right)^2 - \frac{(n-1)^2 f'^2 \left(\frac{h}{2} - c\right)^2}{h + (n-1)f'},$$

a stąd po uproszczeniu wzór (16) z wielkością $(n-1)$ zamiast n .

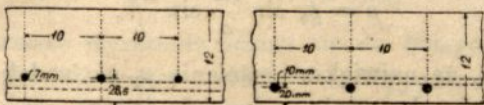
¹ Po wstawieniu powyższej wartości z i uproszczeniu przybierze ten wzór następującą postać:

$$(17') \quad I^{IIb} = \frac{nf'}{3} \left[3(h_1 + nf')^2 - 2(2h_1 + nf') \sqrt{nf'(2h_1 + nf') - n^2 f'^2} \right]$$

a według wzoru (17) przy $n = 15$:

$$I_1 = 30,27, \quad I_2 = 63,84, \quad I_2 : I_1 = 2,11.$$

Wpływ uzbrojenia na sztywność zginania jest zatem z początku stosunkowo mały i rośnie dopiero silnie ze zbliżeniem do fazy IIb, t. zn. z powiększeniem obciążenia.



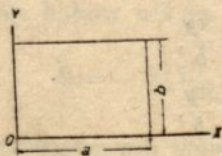
Rys. 6.

Gdyby było możliwem, ażeby B_2 już się zbliżało do fazy IIb podczas gdy B_1 pozostaje jeszcze w pobliżu fazy I, to stosunek $I_2 : I_1$ mógłby osiągnąć nawet wartości, graniczące z $63,8 : 147,7 = 0,43$. Tak wielkie wahania stosunku $I_2 : I_1$, względnie $\bar{B}_2 : B_1$ grającego widocznie w teorii płyt żel.-betonowych nader ważną rolę, powinnyby przy doświadczeniach wyjść na jaw bardzo wyraźnie; w § 10 będzie jeszcze o tem mowa.

II. Płyta prostokątna swobodnie podparta na całym obwodzie.

§ 8. Ściste rozwiązanie w przypadku obciążenia sinusowego.

Obrawszy odpowiednio boki a i b prostokątnego konturu płyty za osie OX i OY układu współrzędnych (rys. 7), przyjmiemy jako równanie powierzchni ugięcia prostą funkcję:



Rys. 7

$$\zeta = f \cdot \sin \frac{\pi x}{a} \sin \frac{\pi y}{b},$$

czyniącą zadość warunkom krańcowym:

$$\zeta = 0 \text{ dla } x = 0, x = a; y = 0, y = b \text{ i}$$

$$\frac{\partial^2 \zeta}{\partial x^2} = 0, \quad \frac{\partial^2 \zeta}{\partial y^2} = 0, \text{ a więc } M_1 = 0, M_2 = 0 \text{ dla}$$

$$x = 0, x = a; y = 0, y = b.$$

Po wstawieniu w równanie różniczkowe (13) znajdujemy

$$\pi^4 \left(\frac{\bar{B}_1}{a^4} + \frac{2H}{a^2 b^2} + \frac{\bar{B}_2}{b^4} \right) f \sin \frac{\pi x}{a} \sin \frac{\pi y}{b} = p$$

jako równanie odpowiadającej powierzchni obciążenia. To równanie można napisać w postaci:

$$p = p_0 \sin \frac{\pi x}{a} \sin \frac{\pi y}{b},$$

z której widać, że największe ciśnienie p_0 na środek płyty określa zupełnie ciśnienie obciążenia w każdym innym punkcie powierzchni płyty. Z porównania obu powyższych wyrażeń dla p wypada dla strzałki ugięcia f wzór:

$$(a) \quad f = \frac{a^2 b^2 p_0}{\pi^4 \left(\frac{b^2}{a^2} \bar{B}_1 + 2H + \frac{a^2}{b^2} \bar{B}_2 \right)}$$

Przy pomocy oznaczeń

$$\frac{a}{b} \sqrt{\frac{\bar{B}_2}{\bar{B}_1}} = \varepsilon, \quad \frac{H}{\sqrt{\bar{B}_1 \bar{B}_2}} = \eta$$

przekształci się wzór powyższy na następujący:

$$(a') \quad f = \frac{1}{\pi^4} \frac{\varepsilon^4}{\varepsilon^4 + 2\varepsilon^2 \eta + 1} \frac{p_0 b^4}{\bar{B}_2}$$

Nowo wprowadzona wielkość ε gra w teorii płyt nierównokierunkowych tę samą rolę, co stosunek $a:b$ dla płyt równokierunkowych. Dlatego nazwiemy ε sprowadzonym stosunkiem boków. Dla momentów i sił poprzecznych otrzymamy podług wzorów (10) wyrażenia:

$$(18) \quad \begin{cases} M_1 = \pi^2 \bar{B}_1 \left(\frac{1}{a^2} + \frac{1}{m_2 b^2} \right) f \sin \frac{\pi x}{a} \sin \frac{\pi y}{b}, \\ M_2 = \pi^2 \bar{B}_2 \left(\frac{1}{m_1 a^2} + \frac{1}{b^2} \right) f \sin \frac{\pi x}{a} \sin \frac{\pi y}{b}, \\ D = -2\pi^2 C \frac{f}{ab} \cos \frac{\pi x}{a} \cos \frac{\pi y}{b}, \\ V_1 = \pi^3 \left[\frac{\bar{B}_1}{a^2} + \frac{1}{b^2} \left(\frac{\bar{B}_1}{m_2} + 2C \right) \right] \frac{f}{a} \cos \frac{\pi x}{a} \sin \frac{\pi y}{b}, \\ V_2 = \pi^3 \left[\frac{1}{a^2} \left(\frac{\bar{B}_2}{m_1} + 2C \right) + \frac{\bar{B}_2}{b^2} \right] \frac{f}{b^2} \sin \frac{\pi x}{a} \cos \frac{\pi y}{b} \end{cases}$$

Reakcje podporowe, identyczne z odpowiadającymi siłami poprzecznymi na brzegach płyty są następujące:

$$(19) \begin{cases} R'_1 = -(V_1)_{x=0} = (V_1)_{x=a} = -\pi^3 \left[\frac{\bar{B}_1}{a^2} + \frac{1}{b^2} \left(\frac{\bar{B}_1}{m_2} + 2C \right) \right] \frac{f}{a} \sin \frac{\pi y}{b} \\ R'_2 = -(V_2)_{y=0} = (V_2)_{y=b} = -\pi^3 \left[\frac{1}{a^2} \left(\frac{\bar{B}_2}{m_1} + 2C \right) + \frac{\bar{B}_2}{b^2} \right] \frac{f}{b} \sin \frac{\pi x}{a} \end{cases}$$

przyczem pierwsze wyrażenie odnosi się do brzegów płyty o długości b , a drugie do brzegów o długości a . Wypadkowa tych reakcyj

$$2 \int_0^a R'_2 dx + 2 \int_0^b R'_1 dy = -4\pi^2 abf \left(\frac{\bar{B}_1}{a^4} + \frac{2H}{a^2 b^2} + \frac{\bar{B}_2}{b^4} \right) = -\frac{4}{\pi^2} ab p_0$$

znosi się wprawdzie z całkowitem obciążeniem

$$P = \int_0^a \int_0^b p_0 \sin \frac{\pi x}{a} \sin \frac{\pi y}{b} dx dy = \frac{4}{\pi^2} ab p_0,$$

ale ponieważ momenty skręcające D nie znikają na podpartych brzegach płyty, więc muszą powstać jeszcze reakcje dodatkowe, tworzące dla siebie układ sił w równowadze. Według twierdzenia Kelvin'a i Tait'a¹ ten układ składa się z rozmieszczonych wzdłuż brzegu reakcyj dodatkowych o wielkości

$$R''_1 = -\left(\frac{\partial D}{\partial y} \right)_{x=0} = \left(\frac{\partial D}{\partial y} \right)_{x=a}$$

dla boków b ,

$$R''_2 = -\left(\frac{\partial D}{\partial x} \right)_{y=0} = \left(\frac{\partial D}{\partial x} \right)_{y=b}$$

dla boków a i ze skupionych reakcyj narożnych

$$\hat{R} = -2(D)_{\substack{x=0 \\ y=0}} = 2(D)_{\substack{x=a \\ y=b}} = -2(D)_{\substack{x=a \\ y=0}} = 2(D)_{\substack{x=0 \\ y=b}} = 4\pi^2 C \frac{f}{ab},$$

skierowanych pionowo w dół. W przypadkach konkretnych, kiedy brzegi płyty wystają poza proste podporowe, można te narożne reakcje zastąpić statycznie równoważnymi siłami i momentami, roz-

¹ Wyczerpujący wykład tego nader ważnego twierdzenia teorii płyt znajdzie czytelnik w powyżej przytoczonej pracy Á. Nádai'a.

mieszczonemi w pobliżu rogów płyty w nieskończenie różnorodny sposób. Całkowite reakcje przedstawiają przeto następujące wzory:

$$(20) \left\{ \begin{array}{l} R_1 = R'_1 + R''_1 = -\pi^3 \left[\frac{\bar{B}_1}{a^2} + \frac{1}{b^2} \left(\frac{\bar{B}_1}{m_2} + 4C \right) \right] \frac{f}{a} \sin \frac{\pi y}{b}, \\ \quad \text{(właściwa reakcja podporowa brzegów } b), \\ R_2 = R'_2 + R''_2 = -\pi^3 \left[\frac{1}{a^2} \left(\frac{\bar{B}_2}{m_1} + 4C \right) + \frac{\bar{B}_2}{b^2} \right] \frac{f}{b} \sin \frac{\pi x}{a}, \\ \quad \text{(właściwa reakcja podporowa brzegów } a), \\ \hat{R} = 4\pi^2 C \frac{f}{ab} \\ \quad \text{(reakcja narożna).} \end{array} \right.$$

Istnienie narożnej reakcji jest, jak widać uwarunkowane sztywnością skręcenia płyty. Te reakcje znikłyby przy dowolnem obciążeniu, gdyby było $C = 0$, nie wystąpiłyby zatem u krat belkowych, dla których obowiązuje, co prawda tylko w przybliżeniu, równanie różniczkowe (15). Ale i u płyt podpartych na obwodzie w zwykły sposób, t. j. tylko od spodu, nie mogą oczywiście powstać narożne reakcje; wtedy jednak muszą rogi płyty podnieść się wskutek obciążenia. To pociągnie za sobą małe zwiększenie strzałki ugięcia i największych momentów (w środku płyty), ale za to dość znaczną zmianę charakteru powierzchni ugięcia i rozkładu, oraz wielkości reakcyj podporowych brzegów płyty.

Z równań (18) znajdujemy z uwzględnieniem poprzedniego wyrażenia dla f następujące wzory dla największych wartości momentów zginających w środku płyty¹:

$$(21) \left\{ \begin{array}{l} M_{1max} = \frac{p_0}{\pi^2} \frac{\frac{(a^2 + b^2) \bar{B}_1}{m_2} B_1}{\frac{a^2}{b^2} \bar{B}_1 + 2H + \frac{a^2}{b^2} \bar{B}_2} = \frac{1 + \frac{\varepsilon^2}{m_2} \sqrt{\frac{\bar{B}_1}{\bar{B}_2}}}{1 + 2\varepsilon^2 \eta + \varepsilon^4} \frac{p_0 a^2}{\pi^2}, \\ M_{2max} = \frac{p_0}{\pi^2} \frac{\frac{(a^2 + \frac{b^2}{m_1}) \bar{B}_2}{m_1} \bar{B}_2}{\frac{b^2}{a^2} \bar{B}_1 + 2H + \frac{a^2}{b^2} \bar{B}_2} = \frac{\varepsilon^2 \left(\varepsilon^2 + \frac{1}{m_1} \sqrt{\frac{\bar{B}_2}{\bar{B}_1}} \right)}{1 + 2\varepsilon^2 \eta + \varepsilon^4} \frac{p_0 b^2}{\pi^2} \end{array} \right.$$

¹ Aby nie zwiększać zbyttno objętości publikacji i uczynić ją bardziej przejrzystą, opuszczono po największej części rachunki pomocnicze; wszystkie

Największe reakcje podporowe, a zarazem największe (bezwzględnie biorąc) siły poprzeczne, panują w środkach boków prostokąta, t. j. w punktach $\left(\frac{a}{2}, 0\right)$ i $\left(0, \frac{b}{2}\right)$. Ich wartości są według równań (20):

$$|R_1|_{max} = \frac{p_0}{a\pi} \cdot \frac{\left(\frac{a^2}{m_2} + b^2\right) \bar{B}_1 + 4a^2 C}{\frac{b^2}{a^2} \bar{B}_1 + 2H + \frac{a^2}{b^2} \bar{B}_2}$$

(22)

$$|R_2|_{max} = \frac{p_0}{b\pi} \cdot \frac{\left(a^2 + \frac{b^2}{m_1}\right) \bar{B}_2 + 4b^2 C}{\frac{b^2}{a^2} \bar{B}_1 + 2H + \frac{a^2}{b^2} \bar{B}_2}$$

albo po wprowadzeniu sprowadzonego stosunku boków ε i charakterystyki sztywności płyty η , tudzież przy uwzględnieniu związku (13a) między stałymi płyty:

$$|R_1|_{max} = \frac{p_0 a}{\pi} \cdot \left\{ 1 - \frac{\varepsilon^2 \left(\varepsilon^2 + \frac{1}{m_1} \sqrt{\frac{\bar{B}_2}{\bar{B}_1}} \right)}{1 + 2\varepsilon^2 \eta + \varepsilon^4} \right\},$$

(22')

$$|R_2|_{max} = \frac{p_0 \cdot b}{\pi} \cdot \left\{ 1 - \frac{1 + \frac{\varepsilon^2}{m_2} \sqrt{\frac{\bar{B}_1}{\bar{B}_2}}}{1 + 2\varepsilon^2 \eta + \varepsilon^4} \right\}$$

W dowolnym punkcie boków b i a mamy tedy:

$$(23) \quad R_1 = - |R_1|_{max} \cdot \sin \frac{\pi y}{b}, \quad R_2 = - |R_2|_{max} \cdot \sin \frac{\pi x}{a},$$

z czego znajdziemy wartości całkowitego obciążenia \bar{R}_1 i \bar{R}_2 prostych podporowych b i a przez całkowanie, a mianowicie:

wyprowadzone wzory kontrolowano zato różnemi drogami, tak iż mogą zawierać chyba tylko błędy drukarskie. Tym sposobem można było objętość pracy zredukować co najmniej do połowy.

$$(24) \quad \bar{R}_1 = \int_0^a R_1 dy = -\frac{2b}{\pi} |R_1|_{\max}, \quad \bar{R}_2 = \int_0^a R_2 dx = -\frac{2a}{\pi} |R_2|_{\max}$$

Nakoniec narażna reakcyę

$$(25) \quad \hat{R} = \frac{4ab}{\pi^2} \cdot \frac{p_0 C}{b^2 B_1 + 2H + \frac{a^2}{b^2} B_2}$$

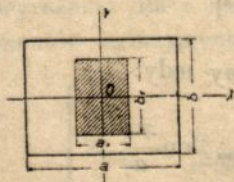
albo, ze względu na związek (13a):

$$(25') \quad \hat{R} = \frac{p_0 ab}{\pi^2} \cdot \frac{2\eta - \frac{1}{m_1} \sqrt{\frac{B_2}{B_1}} - \frac{1}{m_2} \sqrt{\frac{B_1}{B_2}}}{\varepsilon^2 + 2\eta + \frac{1}{\varepsilon^2}}$$

Na podstawie powyższych wzorów można, w razie potrzeby, wykonać wszystkie obliczenia wytrzymałości.

§ 9. Przybliżone rozwiązanie w przypadku obciążenia równomiernie rozłożonego. Zwiększenie odporności płyty wskutek wystawania poza linie podporowe.

Tem rozwiązaniem zajmowało się już pierwsze opracowanie ogólnej teorii, cytowane powyżej. Ono polega na przyjęciu, że sinusowa powierzchnia ugięcia jest w przybliżeniu ważna także dla rozpatrywanego przypadku, przyczem strzałkę ugięcia oblicza się z warunku równości energii potencjalnej i pracy sił wewnętrznych. Równie łatwo da się załatwić przypadek nieco ogólniejszy, w którym obciążenie pokrywa równomiernie tylko prostokąt $a_1 b_1$, spółśrodkowy i równoległy względem obwodu płyty (rys. 8). Przesu-



Rys. 8.

nawszy teraz dla wygody początek spółrzędnych do środka płyty, i zmieniawszy, stosownie do tego, równanie powierzchni ugięcia na

$$(26) \quad \zeta = f \cos \frac{\pi x}{a} \cos \frac{\pi y}{b}$$

znajdziemy

$$(27) \quad f = \frac{16}{\pi^6} \cdot \frac{a^2 b^2 q \cdot \sin \frac{a_1 \pi}{a} \cdot \sin \frac{b_1 \pi}{b}}{a^2 B_1 + 2H + \frac{a^2}{b^2} B_2}$$

albo, po wprowadzeniu wielkości ε i η :

$$(27') \quad f = \frac{16}{\pi^6} \cdot \frac{\varepsilon^4 \sin \frac{a_1 \pi}{a} \cdot \sin \frac{b_1 \pi}{b}}{\varepsilon^4 + 2\varepsilon^2 \eta + 1} \cdot \frac{qb^4}{B_2}$$

W przypadku całkowitego obciążenia płyty ($a_1 = a$, $b_1 = b$) staje się wyrażenie

$$\sin \frac{a_1 \pi}{a} \cdot \sin \frac{b_1 \pi}{b}$$

równem 1. (W ogólnym przypadku niechaj je oznacza dla skrótowania symbol $[a_1, b_1]$). Wtedy wypada, przy równych wartościach f z wzoru (17) i odpowiadającego wzoru w § 8:

$$(28) \quad p_0 = \frac{16}{\pi^2} q$$

co można także wyprowadzić¹ z warunku, aby powierzchnia obciążenia

$$p = p_0 \cos \frac{\pi x}{a} \cos \frac{\pi y}{b}$$

zastępowała jak najlepiej powierzchnię

$$p = q = \text{const.},$$

jeżeli jako ten warunek przyjmiemy, że całka

$$\int \int \left(p_0 \cos \frac{\pi x}{a} \cos \frac{\pi y}{b} - q \right)^2 dy dx$$

ma być minimum. — Dalsze wzory przybliżonego rozwiązania w przypadku prostokątnego obciążenia $a_1 b_1 q$, potrzebne do obliczeń praktycznych, są następujące:

¹ Szczegół podkreślony już przy rozpatrywaniu analogicznego zadania płyty równokierunkowej przez Dra Á. Nádaia (ob. str. 46 cytowanej pracy).

$$(29) \quad \left\{ \begin{aligned} M_{1\max} &= \frac{16}{\pi^4} \cdot q \frac{\left(\frac{a^2}{m_2} + b^2\right) \bar{B}_1 [a_1, b_1]}{b^2 \bar{B}_1 + 2H + \frac{a^2}{b^2} \bar{B}_2}, \\ M_{2\max} &= \frac{16}{\pi^4} \cdot q \frac{\left(a^2 + \frac{b^2}{m_1}\right) \bar{B}_2 [a_1, b_1]}{b^2 \bar{B}_1 + 2H + \frac{a^2}{b^2} \bar{B}_2}, \\ (D)_{\frac{a}{2}, \frac{b}{2}} &= -\frac{32}{\pi^4} q \frac{ab C [a_1, b_1]}{b^2 \bar{B}_1 + 2H + \frac{a^2}{b^2} \bar{B}_2}. \end{aligned} \right.$$

$$(30) \quad \left\{ \begin{aligned} |R_1|_{\max} &= \frac{16}{\pi^3} \frac{q}{a} \cdot \frac{\left(\frac{a^2}{m_2} + b^2\right) \bar{B}_1 + 4a^2 C}{b^2 \bar{B}_1 + 2H + \frac{a^2}{b^2} \bar{B}_2} [a_1, b_1], \\ |R_2|_{\max} &= \frac{16}{\pi^3} \frac{q}{b} \cdot \frac{\left(a^2 + \frac{b^2}{m_1}\right) \bar{B}_2 + 4b^2 C}{b^2 \bar{B}_1 + 2H + \frac{a^2}{b^2} \bar{B}_2} [a_1, b_1] \end{aligned} \right.$$

$$(31) \quad \left\{ \begin{aligned} |R_1| &= |R_2|_{\max} \cdot \cos \frac{\pi y}{b}, \quad |R_2| = |R_1|_{\max} \cdot \cos \frac{\pi x}{a}; \\ |\bar{R}_1| &= \frac{2b}{\pi} |R_1|_{\max}, \quad |\bar{R}_2| = \frac{2a}{\pi} |R_2|_{\max}; \\ \hat{R} &= \frac{64}{\pi^4} \cdot q \cdot \frac{ab C [a_1, b_1]}{b^2 \bar{B}_1 + 2H + \frac{a^2}{b^2} \bar{B}_2} \end{aligned} \right.$$

przyczem

$$(32) \quad [a_1, b_1] = \sin \frac{a_1 \pi}{a} \sin \frac{b_1 \pi}{b}$$

Wprowadziwszy znowu wielkości ε i η , oraz uwzględnivszy równanie (13a), przekształcimy niektóre z powyższych wzorów na następujące:

¹ Moment skręcający w rogach płyty.

$$(29) \quad M_{1\max} = \frac{16}{\pi^4} \cdot \frac{\left(1 + \frac{\varepsilon^2}{m_2} \sqrt{\frac{B_1}{B_2}}\right) [a_1, b_1]}{1 + 2\varepsilon^2 \eta + \varepsilon^4} \cdot qa^2,$$

$$M_{2\max} = \frac{16}{\pi^4} \cdot \frac{\varepsilon^2 \left(\varepsilon^2 + \frac{1}{m_1} \sqrt{\frac{B_2}{B_1}}\right) [a_1, b_1]}{1 + 2\varepsilon^2 \eta + \varepsilon^4} \cdot qb^2$$

$$(30') \quad |R_1|_{\max} = \frac{16}{\pi^3} qa [a_1, b_1] \left\{ 1 - \frac{\varepsilon^2 \left(\varepsilon^2 + \frac{1}{m_1} \sqrt{\frac{B_2}{B_1}}\right)}{1 + 2\varepsilon^2 \eta + \varepsilon^4} \right\},$$

$$|R_2|_{\max} = \frac{16}{\pi^3} qb [a_1, b_1] \cdot \left\{ 1 - \frac{1 + \frac{\varepsilon^2}{m_2} \sqrt{\frac{B_1}{B_2}}}{1 + 2\varepsilon^2 \eta + \varepsilon^4} \right\}$$

$$(31') \quad \hat{R} = -2(D)_{\frac{x}{2}, \frac{y}{2}} = \frac{16}{\pi^4} q ab [a_1, b_1] \frac{2\eta - \frac{1}{m_1} \sqrt{\frac{B_2}{B_1}} - \frac{1}{m_2} \sqrt{\frac{B_1}{B_2}}}{\varepsilon^2 + 2\eta + \frac{1}{\varepsilon^2}}$$

Stoień przybliżenia wzorów dla momentów, zawierających drugie pochodne ζ nie będzie mógł być tak wysoki, jak u wzorów dla ugięcia. Jeszcze niższego stopnia przybliżenia należy się spodziewać u wzorów dla reakcyj podporowych. Jakoż łatwo się przekonać, że suma algebraiczna wszystkich reakcyj nie daje $-a_1 b_1 q$ jak wymagają warunki równowagi, lecz, że ta suma:

$$2\bar{R}_1 + 2\bar{R}_2 + 4\hat{R} = -\frac{64}{\pi^4} abq [a_1, b_1]$$

W przypadku całkowitego obciążenia jest różnica obu powyższych wartości bardzo znaczna; zamiast $-abq$ wypada, po prawej stronie ostatniego równania $-0,657 abq$. Różnica zmniejsza się, gdy zmniejszamy wielkość obciążonego pola prostokątnego i znika nawet zupełnie przy

$$a_1 : a = b_1 : b = \sim 0,748,$$

aby przy dalszem ubywaniu obciążonego pola zmienić znak i znowu wzrastać co do bezwzględnej wartości. Stąd można wnosić, że roz-

patrywane przybliżone rozwiązanie odpowiada najlepiej przypadkowi obciążenia pola prostokątnego o wymiarach

$$a_1 = 0,748 a \quad \text{i} \quad b_1 = 0,748 b.$$

W tym szczególnym przypadku jest

$$\frac{a_1 \pi}{a/2} = \frac{b_1 \pi}{b/2} = \text{arc } 67^\circ 19', 2, \quad \sin \frac{a_1 \pi}{a/2} = \sin \frac{b_1 \pi}{b/2} = 0,92267;$$

$$[a_1, b_1] = 0,8513, \quad a_1 b_1 = 0,5595 ab, \quad Q = a_1 b_1 q = 0,5595 abq,$$

a wzory dla obliczeń przybierają postać:

$$(33) \quad f = \frac{1}{39,49} \cdot \frac{Qab}{b^2 B_1 + 2H + \frac{a^2}{b^2} B_2} = \frac{1}{39,49} \cdot \frac{\varepsilon^4}{\varepsilon^4 + 2\varepsilon^2 \eta + 1} \cdot \frac{Qb^2}{\bar{B}_2 a}$$

$$(34) \quad \left\{ \begin{aligned} M_{1max} &= \frac{1}{4} \frac{Q}{ab} \cdot \frac{\left(\frac{a^2}{m_2} + b^2\right) B_1}{b^2 \bar{B}_1 + 2H + \frac{a^2}{b^2} B_2} = \frac{1}{4} \frac{Q}{b} \frac{a}{\varepsilon^4 + 2\varepsilon^2 \eta + 1} \frac{1 + \frac{\varepsilon^2}{m_2} \sqrt{\frac{B_1}{\bar{B}_2}}}{\bar{B}_2} \\ M_{2max} &= \frac{1}{4} \frac{Q}{ab} \cdot \frac{\left(a^2 + \frac{b^2}{m_1}\right) \bar{B}_2}{a^2 \bar{B}_1 + 2H + \frac{a^2}{b^2} B_2} = \frac{1}{4} \frac{Q}{a} \frac{b}{\varepsilon^4 + 2\varepsilon^2 \eta + 1} \frac{\varepsilon^2 \left(\varepsilon^2 + \frac{1}{m_1} \sqrt{\frac{\bar{B}_2}{B_1}}\right)}{\bar{B}_1} \end{aligned} \right.$$

$$(35) \quad (D)_{\frac{a}{2}, \frac{b}{2}} = -\frac{\frac{1}{2} b^2 CQ}{a^2 B_1 + 2H + \frac{a^2}{b^2} B_2} =$$

$$= -\frac{1}{8} \frac{Q}{\varepsilon^2 + 2\eta + \frac{1}{\varepsilon^2}} \left(2\eta - \frac{1}{m_1} \sqrt{\frac{\bar{B}_2}{B_1}} - \frac{1}{m_2} \sqrt{\frac{B_1}{\bar{B}_2}} \right) = -\frac{1}{8} \hat{R}$$

$$(36) \quad \left\{ \begin{aligned} |R_1|_{max} &= 0,7852 \frac{Q}{a^2 b} \cdot \frac{\left(\frac{a^2}{m_2} + b^2\right) \bar{B}_1 + 4a^2 C}{b^2 \bar{B}_1 + 2H + \frac{a^2}{b^2} B_2} = \\ &= 0,7852 \frac{Q}{b} \left[1 - \frac{\varepsilon^2 \left(\varepsilon^2 + \frac{1}{m_1} \sqrt{\frac{\bar{B}_2}{B_1}}\right)}{\varepsilon^4 + 2\varepsilon^2 \eta + 1} \right], \end{aligned} \right.$$

$$(36) \quad \left\{ \begin{aligned} R_{2\max} &= 0,785 \frac{Q}{ab^2} \frac{(a^2 + \frac{b^2}{m_1}) \bar{B}_2 + 4b^2 C}{\frac{b^2}{a^2} \bar{B}_1 + 2H + \frac{a^2}{b^2} \bar{B}_2} = \\ &= 0,785 \cdot \frac{Q}{a} \left\{ 1 - \frac{1 + \frac{\varepsilon^2}{m_2} \sqrt{\frac{\bar{B}_1}{\bar{B}_2}}}{\varepsilon^4 + 2\varepsilon^2 \eta + 1} \right\} \end{aligned} \right.$$

$$(37) \quad \left\{ \begin{aligned} \bar{R}_1 &= \frac{1}{2} \frac{Q}{a^2} \frac{(\frac{a^2}{m_2} + b^2) \bar{B}_1 + 4a^2 C}{\frac{b^2}{a^2} \bar{B}_1 + 2H + \frac{a^2}{b^2} \bar{B}_2} = \\ &= \frac{1}{2} Q \left\{ 1 - \frac{\varepsilon^2 \left(\varepsilon^2 + \frac{1}{m_1} \sqrt{\frac{\bar{B}_2}{\bar{B}_1}} \right)}{\varepsilon^4 + 2\varepsilon^2 \eta + 1} \right\}, \end{aligned} \right.$$

$$\left\{ \begin{aligned} \bar{R}_2 &= \frac{1}{2} \frac{Q}{b^2} \frac{(a^2 + \frac{b^2}{m_1}) \bar{B}_2 + 4b^2 C}{\frac{b^2}{a^2} \bar{B}_1 + 2H + \frac{a^2}{b^2} \bar{B}_2} = \\ &= \frac{1}{2} Q \left\{ 1 - \frac{1 + \frac{\varepsilon^2}{m_2} \sqrt{\frac{\bar{B}_1}{\bar{B}_2}}}{\varepsilon^4 + \varepsilon^2 \eta + 1} \right\} \end{aligned} \right.$$

$$\left(R_{1\max} = 1,57 \frac{\bar{R}_1}{b}, \quad R_{2\max} = 1,57 \frac{\bar{R}_2}{a} \right)$$

Tutaj nasuwa się myśl, aby do praktycznych obliczeń na podstawie równomiernego obciążenia całej płyty polecić wzory (27) i (29) dla strzałki ugięcia i momentów zginających, a wzory (36) i (37) dla reakcji i momentów skręcających (podstawivszy w ostatnich wzorach $Q = abq$). Tym sposobem będą obliczone wielkości najczęściej przecenione (na korzyść pewności), atoli popełnione błędy nie będą przekraczać paru odsetek, o ile wartości stosunków $a : b$ i $\bar{B}_1 : \bar{B}_2$ nie zbaczają zbyt wiele od 1. W szczególnym przypadku $\bar{B}_1 = \bar{B}_2$ wystarczy takie obliczenie zapewne dla

$$1 \leq \frac{a}{b} \leq 1,5,$$

ponieważ np. odpowiadający wzór dla strzałki ugięcia płyty jedno-

litej i równokierunkowej daje przy $a : b = 1,5$ wartości za duże o 2,5%, a dopiero przy $a : b = 2$ dochodzi błąd (tego samego znaku) do 5,2%¹.

Poza temi granicami stosunku $a : b$ rośnie błąd bardzo znacznie. Jeżeli jednak $\bar{B}_1 \neq \bar{B}_2$, to w myśl poprzednich wywodów (w § 7) warunkuje „działanie płytowe“ nie stosunek $a : b$, lecz sprowadzony stosunek $\varepsilon = \frac{a}{b} \sqrt[4]{\frac{\bar{B}_2}{\bar{B}_1}}$. Z tego powodu należy się spodziewać tej samej, co w poprzednim szczególnym przypadku, dokładności, gdy ten stosunek leży między granicami 1 a 1,5, czyli, gdy:

$$1 \leq \varepsilon \leq 1,5.$$

Wyrażenie „działanie płytowe“ ma tutaj znaczenie rozpowszechnione i oznacza niejako działanie podłużnych skrawków płyty, zmniejszające moment zgięcia w skrawkach poprzecznych, traktowanych jako belki. Tak określone działanie płytowe zależy także od sposobu obciążenia i występuje najdobitniej przy obciążeniu siłami skupionemi. Przy równomiernem obciążeniu płyty prostokątnej gra działanie płytowe większą rolę tylko w powyższych granicach stosunku ε i dalej jeszcze, aż do wartości $\varepsilon = \sim 2$. Poza temi granicami maleje działanie płytowe bardzo szybko i wyjąwszy części płyty przylegające do krótkich boków b , zachodzi zgięcie poprzecznych skrawków, praktycznie biorąc, dokładnie tak samo, jak układu belek równoległych o tej samej rozpiętości b .

To jest przyczyną, dla której obowiązujące przepisy dla żelbetonu, dyktowane roztropną troską o pewność budowli, ograniczają uwzględnianie korzystnego działania płytowego, nawet w przypadku uzbrojenia „na krzyż“ płyty betonowej: nie da się jednak zaprzeczyć, że odnośne przepisy, po największej części pozbawione naukowej podstawy, posuwają ostrożność zbyt daleko i udaremniają przez to racjonalne wyzyskanie materiału. Tak np. czytamy w pruskich przepisach ministeryalnych z r. 1907 (§ 14, p. 7):

„Płyty dokoła podparte, opatrzone krzyżującymi się wkładkami żelaznemi, można przy równomiernie rozłożonem obciążeniu

¹ Por. Huber M. T., Die Grundlagen...

obliczać według wzoru $M = \frac{qb^2}{12}$, jeżeli ich długość a nie dochodzi 1,5-krotnej szerokości b^4 .

W przeciwstawieniu do tego zalecają francuskie przepisy z r. 1906 w tym samym przypadku wogóle użycie wzoru

$$M_{max} = \frac{1}{8} qb^2 \frac{a^4}{a^4 + 2b^4}$$

z jedynym ograniczającym warunkiem: $a > b$, co daje dla płyty kwadratowej (w obu kierunkach jednakowo uzbrojonej)

$$M_{max} = \frac{1}{24} qb^2,$$

a więc dokładnie połowę wartości, przepisanej w Prusiech! Jak widać, zadowalają się we Francji z dobrym skutkiem już drugi dziesiątek lat dwa razy słabszymi płytami (w tym szczególnym przypadku), niż w Prusiech, oraz licznych innych krajach wzorujących swoje przepisy na pruskich. W rzeczywistości, jak się okaże w dalszym ciągu, ścisła teoretyczna wartość momentu zginającego zbliża się w rozpatrywanym przypadku daleko więcej do wartości unormowanej przepisami francuskimi, jakkolwiek i odpowiadający wzór francuski ma właściwie charakter praktycznej reguły lub „półempirycznego“ wzoru interpolacyjnego, a nadto nie uwzględnia zupełnie ewentualnych różnic w obu uzbrojeniach.

Pewien postęp wykazują niemieckie przepisy z r. 1915, prowadzące do obliczenia największego momentu podług wzoru:

$$M_{max} = \frac{1}{8} qb^2 \frac{a^4}{a^4 + b^4} \quad (a > b)$$

Stąd wypada w szczególnym przypadku płyty kwadratowej ($a = b$):

$$M_{max} = \frac{1}{16} qb^2$$

Ta wartość leży dokładnie w pośrodku między wpływającą z dawniejszych pruskich przepisów, a unormowaną francuskimi przepisami z r. 1906 i jest jeszcze około 1,5 razy większą od prawdziwej wartości największego momentu.

Jedynie urzędowe przepisy, które uwzględniają obadwa uzbrojenia, są, jak się zdaje, austriackie (z r. 1911), jednakowoż podany tam sposób obliczenia nie ma także pretensji do naukowego uzasadnienia. Ten sposób prowadzi w przypadku płyty kwadratowej do wartości:

$$M_{max} = \frac{1}{16} qb^2;$$

leżącej dokładnie w środku między dawniejszą pruską a francuską normą. Tenże sam wynik dają praktyczne wzory przepisów szwajcarskich.

Na „płytkowe działanie“ pozwalają zresztą liczyć tak austriackie, jak i (dawniejsze) pruskie przepisy, tylko wtedy, gdy

$$1 \leq \frac{a}{b} < 1,5$$

Jak z poprzednich rozważań wynika, powinien tutaj właściwie stać, zamiast $a : b$ sprowadzony stosunek boków

$$\varepsilon = \frac{a}{b} \sqrt[4]{\frac{\bar{B}_2}{\bar{B}_1}}.$$

W praktyce muszą brzegi płyty wystawać nieco poza proste podporowe, przez co jej sztywność i wytrzymałość ulegają zwiększeniu podobnie, jak się rzecz ma z płytami okrągłymi. Przy interpretacji wyników doświadczeń zachodzi potrzeba wyznaczenia tego zwiększenia na drodze teoretycznej. Z wystarczającym najczęściej przybliżeniem można tego dokonać w ten sposób, że przy wyznaczaniu f z warunku pracy:

$$L_i = \frac{\pi^4}{8} \frac{f^2}{a^3 b^3} (\bar{B}_2 a^4 + 2Ha^2 b^2 + \bar{B}_1 b^4) = \frac{1}{2} \iint q \zeta dx dy = L$$

dodaje się po lewej stronie wyraz ΔL_i , przedstawiający pracę odkształcenia wystającej części. Przyjąwszy stosunkowo małą szerokość Δa i Δb wystających skrawków płyty, można widocznie pominąć bardzo małe momenty zginające i napisać

$$\Delta L_i = \frac{1}{2} \iint 4C \left(\frac{\partial^2 \zeta}{\partial x \partial y} \right)^2 dx dy,$$

przyczem całkowanie rozpościera się na wystające pole. Uważając

nadto w przybliżeniu momenty skręcające za niezmiennie w kierunku poprzecznym wystających skrawków, napiszemy wyrażenie dla ΔL , w postaci:

$$\Delta L_i = 4 \cdot \frac{1}{2} \int_{-\frac{b}{2}}^{\frac{a+\Delta a}{2}} 4C \left(\frac{\partial^2 \zeta}{\partial x \partial y} \right)^2 \Delta b \cdot dx + 4 \cdot \frac{1}{2} \int_0^{\frac{a+\Delta a}{2}} 4C \left(\frac{\partial^2 \zeta}{\partial x \partial y} \right)^2 \Delta a \cdot dy$$

Po wstawieniu wartości $\zeta = f \cos \frac{\pi x}{a} \cos \frac{\pi y}{b}$ i wykonaniu całkowań otrzymujemy:

$$\Delta L_i = \frac{1}{2} 4C \frac{\pi^4}{a^2 b^2} f^2 [(a + \Delta a) \Delta b + (b + \Delta b) \Delta a],$$

albo

$$\Delta L_i = 2C \cdot \frac{\pi^4}{a^2 b^2} f^2 \cdot \frac{\Delta F}{2},$$

jeżeli ΔF oznacza całkowite pole wystającej części płyty. Wyrażenie dla energii potencjalnej przybiera teraz postać:

$$L_i = \frac{\pi^4}{8} \cdot \frac{f^2}{a^3 b^3} (\bar{B}_2 a^4 + 2Ha^2 b^2 + \bar{B}_1 b^4 + 8Cab \Delta F).$$

Z tego wynika, że strzałka ugięcia f zmniejsza się wskutek wystawiania płyty w stosunku

$$(\bar{B}_2 a^4 + 2Ha^2 b^2 + \bar{B}_1 b^4) : (\bar{B}_2 a^4 + 2Ha^2 b^2 + \bar{B}_1 b^4 + 8Cab \Delta F)$$

i w tymże stosunku zmniejszają się momenty zgięcia M_1 , M_2 , jakoteż pozostałe wielkości statyczne. Odpowiadający współczynnik zmniejszenia

$$1 + \frac{8Cab \Delta F}{\bar{B}_2 a^4 + 2Ha^2 b^2 + \bar{B}_1 b^4} = \frac{1}{1 + \frac{8Cab \Delta F}{\bar{B}_1 b^4} \cdot \frac{1}{\varepsilon^4 + 2\varepsilon^2 \eta + 1}}$$

ubywa z powiększeniem sprowadzonego stosunku boków ε , zdążając, jak było do przewidzenia, do granicy 1, gdy ε staje się bardzo wielkie. Największą wartość osiąga ten współczynnik dla $\varepsilon = 1$; w przypadku $a = b$, $\bar{B}_1 = \bar{B}_2$, $m_1 = m_2 = m$, otrzymujemy dlań wyrażenia:

$$1 + \frac{2C}{\bar{B}} \frac{\Delta F}{a^2} \quad \text{albo} \quad \frac{1}{1 + \frac{m-1}{m} \frac{\Delta F}{a^2}}$$

§ 10. Jeszcze o trudnościach przy stosowaniu wzorów teoretycznych do płyt żel.-betonowych. Warunki powstania ujemnych momentów zginających i narożnych reakcyj. Krytyka urzędowych przepisów i niektórych wzorów.

Wracając teraz do końcowych rozważań §-u 7-go, weźmy jako przykład płytę prostokątną o stosunku boków $a:b = 1,3$, uzbrojoną w kierunku a według rysunek 6, fig. (a), w kierunku zaś b według rysunku 6, fig. (b). Największe momenty zginające obliczymy według przybliżonych wzorów (29), przyjmawszy w przybliżeniu $H = \sqrt{\bar{B}_1 \bar{B}_2}$, $m_1 = m_2 = 6$. Po obliczeniu liczbowego współczynnika i drobnem przekształceniu będzie zatem wogóle:

$$(38) \quad M_{1max} = qb^2 \cdot \frac{1 + \frac{1}{m} \frac{a^2}{b^2}}{\frac{a^2 \bar{B}_2}{b^2 \bar{B}_1} + 2 \sqrt{\frac{\bar{B}_2}{\bar{B}_1} + \frac{b^2}{a^2}}}$$

$$M_{2max} = qb^2 \cdot \frac{\frac{a^2}{b^2} + \frac{1}{m}}{\frac{a^2}{b^2} + 2 \sqrt{\frac{\bar{B}_1}{\bar{B}_2} + \frac{b^2}{a^2} \frac{\bar{B}_1}{\bar{B}_2}}}$$

Dla fazy I będzie, przy $n = 10$:

$$I_1 = 147,65 \text{ cm}^3, \quad I_2 = 155,86, \quad I_2 : I_1 = 1,056,$$

$$\sqrt{\frac{I_2}{I_1}} = 1,028, \quad \sqrt[4]{\frac{I_2}{I_1}} = 1,014, \quad \frac{a}{b} \sqrt[4]{\frac{I_2}{I_1}} = 1,32.$$

Dla fazy IIb wypada przy $n = 15$:

$$z_1 = 2,71 \text{ cm}, \quad z_2 = 3,83, \quad I_1 = 30,27, \quad I_2 = 63,84 \text{ cm}^3,$$

$$\frac{I_2}{I_1} = 2,109, \quad \sqrt{\frac{I_2}{I_1}} = 1,452, \quad \sqrt[4]{\frac{I_2}{I_1}} = 1,205, \quad \frac{a}{b} \sqrt[4]{\frac{I_2}{I_1}} = 1,57.$$

Przyjmawszy jako trzecią alternatywę, że dla \bar{B}_2 już zachodzi faza IIb, podczas gdy \bar{B}_1 pozostaje jeszcze w fazie I, mamy, przy użyciu odpowiadających wartości I_1 i I_2 :

$$\frac{I_2}{I_1} = 0,432, \quad \sqrt{\frac{I_2}{I_1}} = 0,658, \quad \sqrt[4]{\frac{I_2}{I_1}} = 0,811, \quad \varepsilon = 1,05.$$

Przyjawszy jeszcze w przybliżeniu równe wartości E , w obu odpowiadających sobie sztywnościach zgięcia, mamy:

$$\bar{B}_2 : \bar{B}_1 = I_2 : I_1,$$

a równania (38) dają odpowiednio przy pierwszym, drugim i trzecim z powyższych założeń:

$$\frac{M_{1max}}{qb^2} = \frac{1}{21,1}, \quad \frac{1}{33,6}, \quad \frac{1}{12,5} (?);$$

$$\frac{M_{2max}}{qb^2} = \frac{1}{13,8}, \quad \frac{1}{11,0}, \quad \frac{1}{20,0} (?).$$

Trzecia para wartości stanowi najwidoczniej wynik sprzeczny, ponieważ jest niemożliwym, aby przy większej wartości momentu zginającego w przekroju słabiej uzbrojonym panowała jeszcze faza I, a w przekroju silniej uzbrojonym, przy mniejszej wartości momentu, już faza IIb. Dlatego trzecie przypuszczenie trzeba w tym przypadku bezwarunkowo odrzucić. Przemieniwszy jednak obadwa uzbrojenia, otrzymamy przy pierwszym założeniu (fazy I w obu przekrojach):

$$\frac{I_2}{I_1} = 0,947, \quad \sqrt{\frac{I_2}{I_1}} = 0,973, \quad \varepsilon = 1,28;$$

przy drugim założeniu (fazy IIb w obu przekrojach):

$$\frac{I_2}{I_1} = 0,474, \quad \sqrt{\frac{I_2}{I_1}} = 0,689, \quad \varepsilon = 1,08;$$

przy trzecim założeniu:

$$\frac{I_2}{I_1} = 0,194, \quad \sqrt{\frac{I_2}{I_1}} = 0,440, \quad \varepsilon = 0,86,$$

a wzory dla momentów dają odpowiednio:

$$\frac{M_{1max}}{qb^2} = \frac{1}{19,7}, \quad \frac{1}{13,2}, \quad \frac{1}{8,09};$$

$$\frac{M_{2max}}{qb^2} = \frac{1}{14,4}, \quad \frac{1}{19,2}, \quad \frac{1}{30,5}.$$

Teraz nie natrafiamy już na żadną sprzeczność, mimo to jednak wydaje się, że tak wielkie różnice w fazach obu sztywności

zachodzić nie mogą. Tę kwestyę mogą rozstrzygnąć tylko doświadczenia; tymczasem można polecić zastosowanie wyprowadzonych wzorów teoretycznych tylko przy założeniu jednakowych faz w obu przekrojach głównych rozpatrywanego elementu płyty jednocześnie. Obliczmy jeszcze przy tem założeniu największe momenty zginające dla płyty o stosunku boków $a:b = 1,5$ w przypadku równego uzbrojenia w obu kierunkach. Teraz będzie $\bar{B}_1 = \bar{B}_2$, a z równań (38) znajdujemy:

$$M_{2max} = \sim \frac{qb^2}{12}, \quad M_{1max} = \sim \frac{qb^2}{21}$$

Widzimy więc, że według dawniejszych pruskich przepisów wypada tylko w krańcowym wypadku $\varepsilon = 1,5$ dla największego momentu wartość zgodna z teoretyczną. Im bardziej zbliża się wartość ε do 1, tem mniej dokładnem staje się obliczenie na podstawie tych przepisów.

Prawie wszystkie trudności odpadają w przypadku płyty kwadratowej w obu kierunkach jednakowo uzbrojonej. Wtedy

$$m_1 = m_2 = m, \quad I_1 = I_2 = I, \quad B' = E_b I, \quad \bar{B}_1 = \bar{B}_2 = \frac{m^2}{m^2 - 1} E_b I, \quad C = \frac{m}{2(m+1)} E_b I,$$

$$H = \frac{m}{m^2 - 1} E_b I + \frac{m}{m+1} E_b I = \frac{m^2}{m^2 - 1} E_b I = \bar{B},$$

a zatem nowe wzory teoretyczne przechodzą w odpowiadające wzory dla zwykłych płyt kwadratowych (równokierunkowych). Przy równomiernem obciążeniu homotetycznego kwadratu o boku a , i skróconych oznaczeniach

$$(D)_{\frac{a}{2}, \frac{a}{2}} = \hat{D}, \quad \sin \frac{\pi a_1}{2a} = [a_1], \quad a_1^2 q = Q,$$

przekształcają się wzory (27), (29), (36) i (37) na następujące:

$$(39) \quad \left\{ \begin{array}{l} f = \frac{1}{240,4} \frac{qa^4 [a_1]^2}{\bar{B}}, \\ M_{max} = \frac{1}{24,40} \frac{m+1}{m} qa^2 [a_1]^2, \quad \hat{D} = - \frac{1}{24,40} \frac{m-1}{m} qa^2 [a_1]^2 \end{array} \right.$$

¹ Temi ulepszonymi wzorami należy teraz zastąpić wzory (37) przytoczonego powyżej pierwszego opracowania teorii w języku niemieckim.

$$(39) \quad \begin{cases} R_{1max} = R_{2max} = 0,785 \frac{Q}{4a} \cdot \frac{3m-1}{m}, & \bar{R}_1 = \bar{R}_2 = \frac{1}{8} \frac{3m-1}{m} Q, \\ \hat{K} = \frac{1}{8} \frac{m-1}{m} Q. \end{cases}$$

Uwagi godnym jest jeszcze rozkład głównych momentów zginających M_I i M_{II} wzdłuż przekątnej $x = y$. Tutaj jest:

$$M_1 = M_{1max} \cos^2 \frac{\pi x}{a}, \quad M_2 = M_{2max} \cos^2 \frac{\pi x}{a}, \quad D = \hat{D} \sin^2 \frac{\pi x}{a}$$

Główne momenty zginające w sprężystej płycie określają wzory: ¹

$$(40) \quad \left. \begin{matrix} M_I \\ M_{II} \end{matrix} \right\} = \frac{1}{2} (M_1 + M_2) \pm \frac{1}{2} \sqrt{(M_1 - M_2)^2 + 4D^2}$$

W naszym przypadku jest

$$M_{1max} = M_{2max} = M_{max},$$

a zatem:

$$(41) \quad \left. \begin{matrix} M_I \\ M_{II} \end{matrix} \right\} = M_{max} \cos^2 \frac{\pi x}{a} \pm \hat{D} \sin^2 \frac{\pi x}{a}$$

Podstawiając tutaj wartości z wzorów (39) i przyjmując $m = 6$, otrzymamy po prostym przekształceniu:

$$(41') \quad \begin{cases} M_I = 0,041 qa^2 \left(1 + \frac{0,67}{4} \cos \frac{2\pi x}{a} \right), \\ M_{II} = 0,041 qa^2 \left(\frac{0,67}{4} + \cos \frac{2\pi x}{a} \right) \end{cases}$$

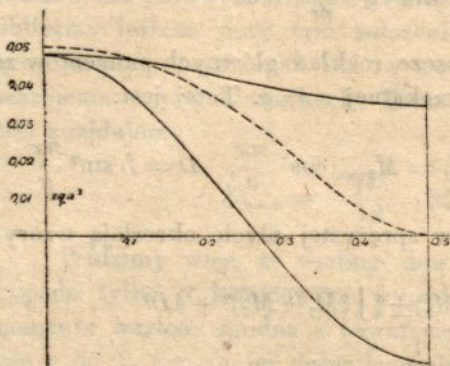
Te równania dają dla:

| | | | | | | |
|-------------------|--------|--------|--------|---------|---------|---------|
| $\frac{x}{a} =$ | 0, | 0,1 | 0,2 | 0,3 | 0,4 | 0,5 |
| $M_I : qa^2 =$ | 0,0478 | 0,0465 | 0,0431 | 0,0389 | 0,0354 | 0,0341 |
| $M_{II} : qa^2 =$ | 0,0478 | 0,0400 | 0,0195 | -0,0058 | -0,0263 | -0,0341 |

Podług tych liczb nakreślono diagram (rys. 9), z którego widać, że ujemny główny moment zgięcia występuje na przekątnej

¹ Ob. Huber M. T., Die Grundlagen einer rationellen Berechnung der Eisenbetonplatten, rów. (38).

zewnątrz punktu $x = y = 0,275 a$ i osiąga w pobliżu rogów płyty dość wielkie wartości. Łatwo też przekonać się, że na prostych, połowiących boki, nie ma wcale ujemnych momentów.



Rys. 9.

Rys. (10) przedstawia przybliżoną granicę obszarów narożnych o momentach ujemnych.



Rys. 10.

Gdyby więc płyta była podparta w sposób wykluczający podniesienie się rogów i powstanie jakichkolwiek momentów podporowych wzdłuż brzegów płyty, to racjonalne uzbrojenie powinno odpowiadać powyższemu rozkładowi głównych momentów zgięcia. Stosownie do tego należałoby np. każdy drugi pręt w obu układach odgiąć na granicy powyższych narożnych obszarów, a resztę prętów odgiąć mniej więcej wzdłuż linii $A'B'$, jednocześnie zaś trzeba by brak uzbrojenia przeciwko momentom dodatnim w narożnym obszarze $CA'B'$ zastąpić krótkimi prętami, prostopadłymi do przekątnej. Przy rzeczywistym swobodnym podparciu niema jednak narożnej reakcji i rogi płyty mogą się podnieść, a rozkład momentów zmienia się dość silnie, zwłaszcza w obszarach narożnych, mniej więcej w sposób przedstawiony na rys. (9) linią przerywaną. Momenty zginające w środku płyty doznają przytem tylko małego powiększenia, co staje się łatwo zrozumiałem, jeżeli zważymy, że brak narożnych i dodatkowych reakcji nie wpływa zupełnie na średnią wartość momentu zginającego w przekroju przekątnym. Suma momentów reakcji narożnych i dodatkowych jednej połowy płyty, oddzielonej przekątną, wzięta względem tejże przekątnej, jest bowiem istotnie równa zeru.

W praktyce nie zajdzie zwykle ani ten, ani inny przypadek albowiem po pierwsze musi płyta rzeczywista wystawać poza linie

podporowe, a powtórę trudno uniknąć pewnego częściowego utwierdzenia brzegów takiej płyty. Obie okoliczności są oczywiście korzystne dla okolic narożnych, ale wymagają zarazem pewnych zmian w naszkicowanym powyżej schemacie racjonalnego uzbrojenia. Pręty przekątne w narożnych obszarach mogą się przytem stać zupełnie zbytecznymi.

Przyjrząwszy się wzorom (39), zauważymy, że momenty i reakcje podporowe zależą w dość znacznym stopniu od liczby Poisson'a m . Skoro np. wartość tej stałej waha się pomiędzy $\frac{10}{3}$ (żelazo kowalne), a 6 (beton), to odpowiadające współczynniki liczbowe wzoru dla momentu zginającego leżą między $\frac{1}{18,8}$ a $\frac{1}{20,9}$. Stosunek obu tych wartości równa się około 1,11. Jeszcze większym wahaniom podlega naturalnie wartość momentu skręcającego w rogach. Współczynnik liczbowy odpowiadającego wzoru waha się między $\frac{1}{34,9}$ a $\frac{1}{29,3}$; stosunek tych wartości równa się 1:1,19.

Jedyną trudnością, jaka wogóle jeszcze pozostaje, byłby brak zadowalającej teorii wytrzymałości dla materiałów kruchych; atoli w rozpatrywanym właśnie przypadku płyty kwadratowej panuje w środku, gdzie powstają niebezpieczne momenty zgięcia, dość prosty stan napięcia. W niebezpiecznym miejscu zewnętrznej ścisłkanej warstwy jest mianowicie $\sigma_x = \sigma_y$, a σ_z można pominąć. Wystarczy przeto przyjąć, że mamy tu do czynienia z rodzajem wytrzymałości, nazwanym przez prof. A. Föppl'a „Umschlingungsfestigkeit“, która okazała się równą zwykłej wytrzymałości przy ścisłkaniu. Momenty zginające, obliczone według powyżej podanych wzorów, nie potrzebują zatem redukcji, jaką dotychczas z reguły stosowano (zwłaszcza we Francji). Gdy w ogólniejszym przypadku ciśnienia główne σ_x i σ_y mają wartości nierówne, to wyężenie betonu można mierzyć wartością większego z nich. Jestto wprawdzie przyjęcie, potwierdzone doświadczalnie tylko w skrajnych przypadkach, ale zarazem najprostsze i najnaturalniejsze, skoro uważamy za dowiedzione, że t. zw. „Umschlingungsfestigkeit“ równa się prostej wytrzymałości przy ścisłkaniu. Przy obliczeniu płyt według naszych wzorów nie potrzeba tedy zmieniać wartości dopuszczalnego ciśnienia w betonie.

Hipoteza największego wydłużenia właściwego jako miary

wyężenia materiału, panująca wszechwładnie aż do najnowszych czasów w używanych u nas podręcznikach technicznych, wymaga, pomnożenia wyrażen dla największych momentów zgięcia przez $\left(1 - \frac{1}{m}\right)$, aby otrzymać momenty spowodowane (w przypadku ostatnio rozpatrywanym). Według tej hipotezy ma być mianowicie wogóle:

$$\sigma_{red} = \sigma_I - \frac{1}{m} (\sigma_{II} + \sigma_{III}),$$

przyczem σ_I , σ_{II} i σ_{III} oznaczają naprężenia główne, wzięte w takim porządku, aby wyrażenie po prawej stronie przybrało największą wartość; w naszym przypadku ($\sigma_I = \sigma_{II} = \sigma$, $\sigma_{III} = 0$) wypadaloby więc:

$$\sigma_{red} = \left(1 - \frac{1}{m}\right) \sigma$$

Tem się też objaśnia, dlaczego przybliżony wzór do obliczenia płyty prostokątnej, (równomiernie obciążonej, z materiału równokierunkowego), wyprowadzany z rozwiązania Navier'a, podają francuskie podręczniki w postaci:

$$M_{max} = \frac{15}{\pi^4} qb^2 \frac{a^4}{(a^2 + b^2)^2} \approx \frac{2}{13} qb^2 \frac{a^4}{(a^2 + b^2)^2}$$

Tutaj tkwią dwa ważne błędy: po pierwsze uporeczywe stosowanie niewątpliwie błędnej hipotezy największego wydłużenia, a potwóre przyjęcie dla liczby Poisson'a wartości $m = 4$ bez względu na materiał, jakkolwiek oddawna wiadomo, że ta wartość, wyprowadzona przez Poisson'a, z pewnej molekularnej hipotezy, odpowiada dość dobrze doświadczeniu tylko w przypadku szkła. U innych technicznie ważnych materiałów waha się m w dość obszer-nych granicach. Dla płyty kwadratowej daje powyższy wzór:

$$M_{max} = \frac{1}{26} qa^2,$$

podczas gdy według tego, co powiedziano poprzednio, powinno być:

$$M_{max} = \frac{1}{24,4} \frac{m+1}{m} qa^2$$

Wartości $m = 6$ odpowiada zatem

$$M_{max} = \frac{1}{20,9} q a^2,$$

t. j. około 25%, więcej, niż wypada z francuskiej formuły, ale przecież około 42% mniej, aniżeli dopuszczały pruskie przepisy z r. 1907 i około 31%, mniej, aniżeli pozwalają nowe przepisy niemieckie z r. 1915.

Od wyników doświadczeń należy się prócz tego spodziewać, że rzeczywiste momenty łamiące będą odpowiadać raczej mniejszym jeszcze wartościom współczynnika liczbowego we wzorze dla momentu (od obliczonej powyżej liczby 1/20,9), a to z następujących powodów:

Po pierwsze nasz wzór pochodzi od przybliżonego rozwiązania zagadnienia, a ściśle rozwiązanie daje, jak zobaczymy poniżej, jeszcze nieco mniejsze wartości; powtóre w ogólnej teorii pominięto pewną okoliczność, której w szczególności płyty okrągłe lub kwadratowe zawdzięczają często znaczną część swej nadspodziewanie wysokiej wytrzymałości. Chodzi tutaj o pewne odkształcenia w płaszczyźnie płyty, jakie powstać muszą, jeżeli powierzchnia ugięcia jest nierozwijalna. Energia potencjalna, nagromadzona w płycie wskutek odkształceń tego rodzaju, jest w porównaniu do energii zginania tylko wtedy znikomo małą (podobnie jak energia ścinania), gdy ugięcia ζ mogą uchodzić za bardzo małe nie tylko w stosunku do rozpiętości płyty, lecz także i do jej grubości. Skoro ostatni warunek przestaje się spełniać przy odpowiednim zwiększeniu obciążenia, to musi ciągle rosnąca część pracy zewnętrznej zamieniać się na energię potencjalną owych odkształceń, przez co oczywiście opóźnia się wzrost ugięć, a zarazem i wzrost naprężeń. Wskutek tego wypaść może z doświadczeń znacznie większe obciążenie, odpowiadające niebezpiecznym wartościom naprężeń, aniżeli to wynika z teoretycznego obliczenia, a im bardziej giętką jest płyta i wyższe naprężenia niebezpieczne, tem łatwiej to zjawisko wystąpi na jaw. Stwierdziły je już w r. 1900 doświadczenia z okrągłymi płytami żelaznymi, wykonane przez L. Prandtla za inicjatywą A. Föppl'a¹.

¹ Föppl A., Mitt. aus d. mech.-techn. Lab. d. kön. techn. Hochschule München. Heft 27. Z doświadczeń „Niemieckiego Wydziału żel.-betonowego“

Wydłużenia w warstwie obojętnej mogą powstać nawet przy walcowem zginaniu prostokątnej płyty, gdyż zupełnie swobodna przesuwalność podpartych brzegów płyty jest już z powodu tarcia praktycznie wykluczona, a jeżeli zachodzą przeszkody we wzajemnem zbliżeniu brzegów płyty, uwarunkowanem przez zgięcie, to muszą wogóle powstać podłużne naprężenia w warstwie obojętnej. Te okoliczności grają widocznie jeszcze ważniejszą rolę w przypadku utwierdzenia brzegów płyty.

§ II. Ścisłe ogólne rozwiązanie.

Poprowadziwszy osie spólrzędnych wzdłuż brzegów płyty, obierzmy dla analitycznego przedstawienia powierzchni ugięcia podwójnie nieskończony szereg trygonometryczny:

$$(42) \quad \zeta = \sum_{r=1}^{r=\infty} \sum_{s=1}^{s=\infty} A_{rs} \sin \frac{r\pi x}{a} \sin \frac{s\pi y}{b}$$

u którego każdy wyraz czyni zadość wszystkim warunkom krańcowym. Skoro tę wartość ζ wstawimy w ogólne wyrażenie (9') dla energii potencjalnej, to zważywszy, że całki postaci

$$\int_0^a \int_0^b A_{rs} A_{r's'} \sin \frac{r\pi x}{a} \sin \frac{s\pi y}{b} \sin \frac{r'\pi x}{a} \sin \frac{s'\pi y}{b} dx dy$$

znikają, jeżeli

$$r \neq r', \quad s \neq s',$$

otrzymamy:

$$L_1 = \frac{\pi^4}{8} ab \sum_r \sum_s A_{rs}^2 \left(r^4 \frac{\bar{B}_1}{a^4} + 2r^2 s^2 \frac{H}{a^2 b^2} + s^4 \frac{\bar{B}_2}{b^4} \right)$$

W przypadku symetrycznej postaci powierzchni ugięcia muszą nadto zniknąć wszystkie współczynniki, odpowiadające parzystym r i s . Wtedy w równaniu (42) należy przez r i s rozumieć nieparzyste liczby naturalne.

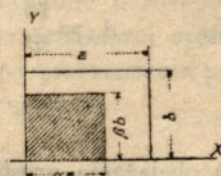
Dla podwójnej pracy sił zewnętrznych otrzymujemy przy najogólniejszem obciążeniu $p(x, y)$ wyrażenie

$$2L = \sum_r \sum_s A_{rs} \int \int p \sin \frac{r\pi x}{a} \sin \frac{s\pi y}{b} dx dy;$$

(ob. notę na końcu wstępu) można także wyraźnie rozpoznać zwiększenie teoretycznego ciężaru łamiącego wskutek malej grubości płyty.

w przypadku równomiernego obciążenia narożnego prostokąta o długości aa i szerokości βb (α i $\beta < 1$), zakreskowanego na rys. 11:

$$2L = \frac{4qab}{\pi^2} \sum_r \sum_s \frac{A_{rs}}{rs} \left(\sin \frac{r\alpha\pi}{2} \sin \frac{s\beta\pi}{2} \right)^2;$$



Rys. 11.

nakoniec w przypadku obciążenia rozłożonego równomiernie na prostokącie o bokach a_1 i b_1 , położonym spółośrodkowo i równolegle do obwodu płyty:

$$2L = \frac{4qab}{\pi^2} \sum_r \sum_s \frac{A_{rs}}{rs} \frac{(-1)^{\frac{r+s-2}{2}}}{\sin \frac{r\pi a_1}{2a}} \cdot \sin \frac{s\pi b_1}{2b}$$

($r, s = 1, 3, 5, \dots$)

Wartości A_{rs} trzeba teraz w myśl metody Ritz'a wyznaczyć tak, aby wyrażenie

$$L_i - 2L,$$

jako funkcyja parametrów A_{rs} osiągnęła wartość minimum. Z równań warunkowych:

$$\frac{\partial}{\partial A_{rs}} (L_i - 2L) = 0,$$

liniowych względem A_{rs} , otrzymujemy w ogólnym przypadku obciążenia:

$$(43) \quad A_{rs} = \frac{4 \int_0^a \int_0^b p \sin \frac{r\pi x}{a} \sin \frac{s\pi y}{b} dx dy}{\pi^4 ab \left(r^4 \frac{\bar{B}_1}{a^4} + s^4 \frac{\bar{B}_2}{b^4} + 2r^2 s^2 \frac{H}{a^2 b^2} \right)}$$

w obu zaś powyżej zaznaczonych przypadkach równomiernego obciążenia:

$$(44) \quad A_{rs} = \frac{16}{\pi^6} \cdot \frac{q}{rs} \frac{\left(\sin \frac{r\alpha\pi}{2} \sin \frac{s\beta\pi}{2} \right)^2}{r^4 \frac{\bar{B}_1}{a^4} + s^4 \frac{\bar{B}_2}{b^4} + 2r^2 s^2 \frac{H}{a^2 b^2}}$$

($r, s = 1, 2, 3, \dots$)

¹ Wynik przedstawiony na posiedzeniu paryskiej Akad. Nauk 1. marca 1920 roku.

dla obciążenia narożnego prostokąta i

$$(45) \quad A_{rs} = \frac{16}{\pi^6} \cdot \frac{q}{rs} (-1)^{\frac{r+s-2}{2}} \cdot \frac{\sin \frac{r\pi a_1}{2a} \cdot \sin \frac{s\pi b_1}{2b}}{r^4 \frac{\bar{B}_1}{a^4} + s^4 \frac{\bar{B}_2}{b^4} + 2r^2 s^2 \frac{H}{a^2 b^2}}$$

($r, s = 1, 3, 5, \dots$)

dla obciążenia prostokąta środkowego.

Nie trudno się przekonać, że przy tych wartościach współczynników A_{rs} , czyni wyrażenie (42) zadość równaniu różniczkowemu zgięcia płyty (13).

a) W przypadku równomiernego obciążenia całej płyty jest:

$$(46) \quad \zeta = \frac{16}{\pi^6} q \sum_r \sum_s \frac{1}{rs} \cdot \frac{\sin \frac{r\pi x}{a} \sin \frac{s\pi y}{b}}{r^4 \frac{\bar{B}_1}{a^4} + s^4 \frac{\bar{B}_2}{b^4} + 2r^2 s^2 \frac{H}{a^2 b^2}}$$

($r, s = 1, 3, 5, \dots$)

[Gdy w szczególności $H^2 = \bar{B}_1 \bar{B}_2$, to powyższy wzór przybiera postać:

$$(46a) \quad \zeta = \frac{16}{\pi^6} \frac{qb^4}{\bar{B}_2} \sum_r \sum_s \frac{1}{rs} \cdot \frac{\sin \frac{r\pi x}{a} \sin \frac{s\pi y}{b}}{\left[\left(r \frac{b}{a} \sqrt{\frac{\bar{B}_1}{\bar{B}_2}} \right)^2 + s^2 \right]}$$

którą na podstawie rozważania w § (7) możnaby wyprowadzić wprost ze znanego rozwiązania Navier'a (ob. poniżej rów. 47) dla płyty równokierunkowej. Wystarczy w tym celu zastąpić \bar{B} przez

\bar{B}_2 , a przez $a \sqrt{\frac{\bar{B}_2}{\bar{B}_1}}$ i x przez $x \sqrt{\frac{\bar{B}_2}{\bar{B}_1}}$.] Dopóki stosunek wielkości

\bar{B}_1/a^4 i \bar{B}_2/b^4 , względnie $\varepsilon = \frac{a}{b} \sqrt{\frac{\bar{B}_2}{\bar{B}_1}}$, nie zbacza zbyt wiele od jednostki, szeregi w otrzymanych wzorach są tak silnie zbieżne, iż sam pierwszy wyraz daje dość dobre przybliżenie. W ten sposób dochodzimy znowu do przybliżonego rozwiązania z § (9). Nawet wówczas, gdy np. \bar{B}_1/a^4 jest kilkakrotnie mniejsze od \bar{B}_2/b^4 ,

wystarczy zgoła niewiele wyrazów szeregu, ażeby znaleźć dla ugięcia dobre wartości przybliżone. W krańcowym jednak przypadku $a = \infty$ zawodzi nasze ogólne wyrażenie, a dla okolic narożnych trzeba szukać rozwiązania na innej drodze. Dla środkowej części bardzo długiej płyty otrzymujemy, co prawda, po przeniesieniu początku współrzędnych do środka płyty, najpierw ogólnie:

$$\zeta = \frac{16}{\pi^6} q \sum_r \sum_s \frac{(-1)^{\frac{r-1}{2}} (-1)^{\frac{s-1}{2}}}{r \cdot s} \frac{\cos \frac{r\pi x}{a} \cos \frac{s\pi y}{b}}{r^4 \bar{B}_1 + s^4 \bar{B}_2 + 2r^2 s^2 \frac{H}{a^2 b^2}}$$

($r, s = 1, 3, 5, \dots$)

a następnie po podstawieniu $a = \infty$:

$$\zeta = \frac{16}{\pi^6} q \frac{b^4}{\bar{B}_2} \sum_r \frac{(-1)^{\frac{r-1}{2}}}{r} \sum_s \frac{(-1)^{\frac{s-1}{2}}}{s^5} \cos \frac{s\pi y}{b},$$

albo ze względu na to, że $\sum_r \frac{(-1)^{\frac{r-1}{2}}}{r} = \frac{\pi}{4}$:

$$\zeta = \frac{4}{\pi^5} \frac{qb^4}{\bar{B}_2} \sum_s \frac{(-1)^{\frac{s-1}{2}}}{s^5} \cos \frac{s\pi y}{b}.$$

Ostatnie zaś wyrażenie jest, jak łatwo dowieść, identyczne z Fourierowskim rozwinięciem funkcji:

$$\zeta = \frac{qb^4}{24\bar{B}_2} \left(\frac{5}{16} - \frac{3}{2} \frac{y^2}{b^2} + \frac{y^4}{b^4} \right),$$

która, jak wiadomo, przedstawia linię ugięcia belki w obu końcach swobodnie podpartej i równomiernie obciążonej, o rozpiętości b i sztywności zginania \bar{B}_2 . Jak należało się spodziewać, powstaje przeto w środkowej części bardzo długiej płyty pod wpływem równomiernego obciążenia zgięcie walcowe.

W szczególnym przypadku $\bar{B}_1 = \bar{B}_2 = H = \bar{B}$, t. j. dla płyt jednolitych i równokierunkowych, przybiera wzór (46) następującą postać, podaną już przez Navier'a:

$$(47) \quad \zeta = \frac{16}{\pi^6} \frac{q}{B} \sum_r \sum_s \frac{1}{rs} \frac{\sin \frac{r\pi x}{a} \sin \frac{s\pi y}{b}}{\left(\frac{r^2}{a^2} + \frac{s^2}{b^2}\right)^2}$$

($r, s = 1, 3, 5, \dots$)

b) W przypadku równomiernego obciążenia spółśrodkowego prostokąta $a_1 b_1$ mamy, obrawszy linie środkowe płyty za osie spółrzędnych (rys. 8):

$$(48) \quad \zeta = \frac{16}{\pi^6} q \frac{a^2 b^2}{H} \sum_r \sum_s \frac{[r, s]}{rs} \frac{\cos \frac{r\pi x}{a} \cos \frac{s\pi y}{b}}{r^4 \frac{B_1}{H} \frac{b^2}{a^2} + s^4 \frac{B_2}{H} \frac{a^2}{b^2} + 2r^2 s^2}$$

($r, s = 1, 3, 5, \dots$)

jeżeli dla skrócenia oznaczymy:

$$\sin \frac{r\pi a_1}{2a} \cdot \sin \frac{s\pi b_1}{2b} = [r, s]$$

Porównyując ten ogólniejszy wzór z odpowiednim wzorem (46) dla obciążenia całkowitego, łatwo zauważyć, że ze skupieniem obciążenia na mniejszym prostokątnym polu $a_1 b_1$ słabnie zbieżność szeregu w wyrażeniu dla ζ .

W krańcowym przypadku ciężaru skupionego w środku płyty $P = \lim q \cdot a_1 b_1$ dla $a_1 = 0, b_1 = 0$, otrzymujemy np. dla płyty kwadratowej i równokierunkowej ($B_1 = B_2 = H = \bar{B}, a = b$):

$$(49) \quad \zeta = \frac{4}{\pi^4} \frac{Pa^2}{\bar{B}} \sum_r \sum_s \frac{\cos \frac{r\pi x}{a} \cos \frac{s\pi y}{a}}{(r^2 + s^2)^2}$$

oraz

$$(50) \quad f = (\zeta)_{0,0} = \frac{4}{\pi^4} \frac{Pa^2}{\bar{B}} \sum_r \sum_s \frac{1}{(r^2 + s^2)^2} \dots (r, s = 1, 3, 5, \dots)$$

Aby stąd obliczyć strzałkę ugięcia f z dokładnością 0,1% potrzeba około 30 wyrazów szeregu. Rachunek daje:

$$(50a) \quad f = 0.01156 \frac{Pa^2}{\bar{B}} = \sim \frac{1}{86,5} \frac{Pa^2}{\bar{B}}$$

Natomiast w przypadku obciążenia całej płyty mamy:

$$(51) \quad f = \frac{16}{\pi^6} \frac{qa^4}{\bar{B}} \sum_r \sum_s \frac{(-1)^{\frac{r+s-2}{2}}}{rs(r^2+s^2)^2} \dots (r, s = 1, 3, 5 \dots)$$

a tego szeregu wystarcza już 6 wyrazów, aby obliczyć f z błędem mniejszym od 0,1%. W tym przypadku otrzymamy:

$$(51a) \quad f = 0,00406 \frac{qa^4}{\bar{B}} = \sim \frac{1}{246.3} \frac{qa^4}{\bar{B}}$$

Skupienie obciążenia w jednym punkcie zwiększa przeto strzałkę ugięcia niemal trzykrotnie (dokładniej 2,85 razy).

Z (48) znajdujemy przez różniczkowanie następujące wyrażenia dla momentów, sił poprzecznych i reakcyi podporowych:

$$(52) \quad M_1 = \frac{16}{\pi^4} \frac{\bar{B}_1}{H} q \sum_r \sum_s \frac{[r, s]}{\mu_{rs}} \left(\frac{r}{s} b^2 + \frac{s}{r} a^2 \right) \cos \frac{r\pi x}{a} \cos \frac{s\pi y}{b}$$

$$(53) \quad M_2 = \frac{16}{\pi^4} \frac{\bar{B}_2}{H} q \sum_r \sum_s \frac{[r, s]}{\mu_{rs}} \left(\frac{s}{r} a^2 + \frac{r}{s} b^2 \right) \cos \frac{r\pi x}{a} \cos \frac{s\pi y}{b}$$

$$(54) \quad D = -\frac{16}{\pi^4} \frac{2C}{H} qab \sum_r \sum_s \frac{[r, s]}{\mu_{rs}} \sin \frac{r\pi x}{a} \sin \frac{s\pi y}{b}$$

$$(55) \quad V_1 = -\frac{16}{\pi^3} q \sum_r \sum_s \frac{[r, s]}{\mu_{rs}} s \left[\frac{1}{a} \left(\frac{r^2}{s^2} b^2 + \frac{a^2}{m_2} \right) \frac{\bar{B}_1}{H} + \right. \\ \left. + a \cdot \frac{2C}{H} \right] \sin \frac{r\pi x}{a} \cos \frac{s\pi y}{b}$$

$$(56) \quad V_2 = -\frac{16}{\pi^3} q \sum_r \sum_s \frac{[r, s]}{\mu_{rs}} r \left[\frac{1}{b} \left(\frac{s^2}{r^2} a^2 + \frac{b^2}{m_1} \right) \frac{\bar{B}_2}{H} + \right. \\ \left. + b \cdot \frac{2C}{H} \right] \cos \frac{r\pi x}{a} \sin \frac{s\pi y}{b}$$

$$(57) \quad R_1 = \left(V_1 + \frac{\partial D}{\partial y} \right)_{y=\frac{a}{2}} = -\frac{16}{\pi^3} q \sum_r \sum_s \frac{(-1)^{\frac{r-1}{2}} [r, s]}{\mu_{rs}} \cdot \\ \cdot s \left[\frac{1}{a} \left(\frac{r^2}{s^2} b^2 + \frac{a^2}{m_2} \right) \frac{\bar{B}_1}{H} + a \cdot \frac{4C}{H} \right] \cos \frac{s\pi y}{b}$$

$$(58) \quad R_2 = \left(V_2 + \frac{\partial D}{\partial x} \right)_{y=\frac{b}{2}} = -\frac{16}{\pi^3} q \sum_r \sum_s \frac{(-1)^{r+s} [r, s]}{\mu_{rs}} \cdot r \left[\frac{1}{b} \left(\frac{s^2}{r^2} a^2 + \frac{b^2}{m_1} \right) \frac{\bar{B}_2}{H} + b \cdot \frac{4C}{H} \right] \cos \frac{r\pi x}{a}$$

$$(59) \quad \hat{R} = -2(D)_{\frac{a}{2}, \frac{b}{2}} = \frac{16}{\pi^4} q \cdot \frac{4C}{H} ab \sum_r \sum_s \frac{(-1)^{r+s} [r, s]}{\mu_{rs}}$$

Przytem oznaczono dla skrócenia:

$$\mu_{rs} = r^4 \frac{\bar{B}_1}{H} \cdot \frac{b^2}{a^2} + s^4 \frac{\bar{B}_2}{H} \cdot \frac{a^2}{b^2} + 2r^2 s^2$$

$$(r, s = 1, 3, 5, \dots)$$

c) W przypadku obciążenia prostokątnego $q \cdot aa \cdot \beta b$ (przyczem $\alpha, \beta \leq 1$), przyległego wierzchołkowi O (rys. 11) wypada

$$(60) \quad \zeta = \frac{16}{\pi^6} q \frac{a^2 b^2}{H} \sum_r \sum_s \frac{(r, s)^2}{rs} \cdot \frac{\sin \frac{r\pi x}{a} \sin \frac{s\pi y}{b}}{\mu_{rs}}$$

$$(r, s = 1, 2, 3, \dots)$$

jeżeli przyjmiemy dla skrócenia:

$$(r, s) = \sin \frac{r\alpha\pi}{2} \cdot \sin \frac{s\beta\pi}{2},$$

a wtedy

$$(61) \quad \left\{ \begin{aligned} M_1 &= \frac{16}{\pi^4} \cdot q \frac{\bar{B}_1}{H} \sum_r \sum_s \frac{(r, s)^2}{\mu_{rs}} \left(\frac{r}{s} b^2 + \frac{s}{r} a^2 \right) \sin \frac{r\pi x}{a} \sin \frac{s\pi y}{b}, \\ M_2 &= \frac{16}{\pi^4} \cdot q \frac{\bar{B}_2}{H} \sum_r \sum_s \frac{(r, s)^2}{\mu_{rs}} \left(\frac{s}{r} a^2 + \frac{r}{s} b^2 \right) \sin \frac{r\pi x}{a} \sin \frac{s\pi y}{b}, \\ D &= -\frac{16}{\pi^4} q \frac{2C}{H} \cdot ab \sum_r \sum_s \frac{(r, s)^2}{\mu_{rs}} \cos \frac{r\pi x}{a} \cos \frac{s\pi y}{b}; \end{aligned} \right.$$

$$(62) \quad \left\{ V_1 = \frac{16}{\pi^3} q \sum_r \sum_s \frac{(r, s)^2}{\mu_{rs}} s \left[\frac{1}{a} \left(\frac{r^2}{s^2} b^2 + \frac{a^2}{m_2} \right) \frac{\bar{B}_1}{H} + a \cdot \frac{2C}{H} \right] \cos \frac{r\pi x}{a} \sin \frac{s\pi y}{b} \right.$$

$$(62) \quad \left\{ V_2 = \frac{16}{\pi^3} q \sum_r \sum_s \frac{(r,s)^2}{\mu_{rs}} r \left[\frac{1}{b} \left(\frac{s^2}{r^2} a^2 + \frac{b^2}{m_1} \right) \frac{\bar{B}_2}{H} + b \cdot \frac{2C}{H} \right] \sin \frac{r\pi x}{a} \cos \frac{s\pi y}{b} \right.$$

Reakcje podporowe brzegów $x=0$, $x=a$, $y=0$, $y=b$, mają odpowiednio wartości:

$$(63) \quad \left\{ \begin{aligned} (R_1)_{x=0} &= - \left(V_1 + \frac{\partial D}{\partial y} \right)_{x=0} = \\ &= - \frac{16}{\pi^3} q \sum_r \sum_s \frac{(r,s)^2}{\mu_{rs}} s \left[\frac{1}{a} \left(\frac{r^2}{s^2} b^2 + \frac{a^2}{m_2} \right) \frac{\bar{B}_1}{H} + a \cdot \frac{4C}{H} \right] \sin \frac{s\pi y}{b}, \\ (R_1)_{x=a} &= \left(V_1 + \frac{\partial D}{\partial y} \right)_{x=a} = \\ &= \frac{16}{\pi^3} q \sum_r \sum_s \frac{(-1)^r (r,s)^2}{\mu_{rs}} s \left[\frac{1}{a} \left(\frac{r^2}{s^2} b^2 + \frac{a^2}{m_2} \right) \frac{\bar{B}_1}{H} + a \cdot \frac{4C}{H} \right] \sin \frac{s\pi y}{b}, \\ (R_2)_{y=0} &= - \left(V_2 + \frac{\partial D}{\partial x} \right)_{y=0} = \\ &= - \frac{16}{\pi^3} q \sum_r \sum_s \frac{(r,s)^2}{\mu_{rs}} r \left[\frac{1}{b} \left(\frac{s^2}{r^2} a^2 + \frac{b^2}{m_1} \right) \frac{\bar{B}_2}{H} + b \cdot \frac{4C}{H} \right] \sin \frac{r\pi x}{a}, \\ (R_2)_{y=b} &= \left(V_2 + \frac{\partial D}{\partial x} \right)_{y=b} = \\ &= \frac{16}{\pi^3} q \sum_r \sum_s \frac{(-1)^s (r,s)^2}{\mu_{rs}} r \left[\frac{1}{b} \left(\frac{s^2}{r^2} a^2 + \frac{b^2}{m_1} \right) \frac{\bar{B}_2}{H} + b \cdot \frac{4C}{H} \right] \sin \frac{r\pi x}{a}, \end{aligned} \right.$$

a reakcje narożne w punktach $(0, 0)$, $(0, b)$, $(a, 0)$, (a, b) :

$$(64) \quad \left\{ \begin{aligned} \hat{R}_{00} &= \frac{16}{\pi^4} q \cdot \frac{4C}{H} ab \sum_r \sum_s \frac{(r,s)^2}{\mu_{rs}} \\ \hat{R}_{0b} &= \frac{16}{\pi^4} q \cdot \frac{4C}{H} ab \sum_r \sum_s \frac{(-1)^{s+1} (r,s)^2}{\mu_{rs}}, \\ \hat{R}_{a0} &= \frac{16}{\pi^4} q \cdot \frac{4C}{H} ab \sum_r \sum_s \frac{(-1)^{r+1} (r,s)^2}{\mu_{rs}}, \\ \hat{R}_{ab} &= \frac{16}{\pi^4} q \cdot \frac{4C}{H} ab \sum_r \sum_s \frac{(-1)^{r+s} (r,s)^2}{\mu_{rs}} \end{aligned} \right.$$

Z ostatnich wzorów łatwo rozpoznać, że wartości \hat{R}_{0b} i \hat{R}_{a0} muszą leżeć między największą wartością narożnej reakcji \hat{R}_{00} , a najmniejszą \hat{R}_{ab} .

d) Gdy obciążenie w dowolnym przekroju poprzecznym (równoległym do OY) płyty o odciętej $x = aa$ jest rozłożone według prawa (rys. 12):



Rys. 12.

$$p' = p_0 \sin \frac{\pi y}{b}$$

wtedy ze współczynników A_r w równaniu (43) znikają wszystkie te, w których $s \neq 1$, a wyrażenie dla ζ tworzy prosty szereg nieskończony postaci:

$$(65) \quad \zeta = \frac{2}{\pi^4} p_0 \frac{ab^2}{H} \sin \frac{\pi y}{b} \sum_r \frac{\sin r\alpha\pi}{\mu_r} \cdot \sin \frac{r\pi x}{a}$$

$$(r = 1, 2, 3, \dots)$$

a oznaczeniem

$$\mu_r = r^4 \frac{\bar{B}_1 b^2}{H a^2} + 2r^2 + \frac{\bar{B}_2 a^2}{H b^2}$$

Stosownie do tego przedstawiają się wzory dla momentów etc. w następującej postaci:

$$(66) \quad \left\{ \begin{aligned} M_1 &= \frac{2}{\pi^2} p_0 \frac{\bar{B}_1}{H} a \sin \frac{\pi y}{b} \sum_r \frac{\sin r\alpha\pi}{\mu_r} \left(r^2 \frac{b^2}{a^2} + \frac{1}{m_2} \right) \sin \frac{r\pi x}{a}, \\ M_2 &= \frac{2}{\pi^2} p_0 \frac{\bar{B}_2}{H} a \sin \frac{\pi y}{b} \sum_r \frac{\sin r\alpha\pi}{\mu_r} \left(\frac{r^2 b^2}{m_1 a^2} + 1 \right) \sin \frac{r\pi x}{a}, \\ D &= - \frac{2}{\pi^2} p_0 \frac{2C}{H} b \cos \frac{\pi y}{b} \sum_r r \frac{\sin r\alpha\pi}{\mu_r} \cos \frac{r\pi x}{a}; \end{aligned} \right.$$

$$(67) \quad \left\{ \begin{aligned} V_1 &= \frac{2}{\pi} p_0 \sin \frac{\pi y}{b} \sum_r \frac{r \sin r\alpha\pi}{\mu_r} \left[\left(r^2 \frac{b^2}{a^2} + \frac{1}{m_2} \right) \frac{\bar{B}_1}{H} + \frac{2C}{H} \right] \cos \frac{r\pi x}{a}; \\ V_2 &= \frac{2}{\pi} p_0 \frac{b}{a} \cos \frac{\pi y}{b} \sum_r \frac{\sin r\alpha\pi}{\mu_r} \left[\left(\frac{r^2}{m_1} + \frac{a^2}{b^2} \right) \frac{\bar{B}_2}{H} + r^2 \frac{2C}{H} \right] \sin \frac{r\pi x}{a}; \end{aligned} \right.$$

$$(68) \quad \left\{ (R_1)_{x=a} = - \frac{2}{\pi} p_0 \sin \frac{\pi y}{b} \sum_r \frac{r \sin r\alpha\pi}{\mu_r} \left[\left(r^2 \frac{b^2}{a^2} + \frac{1}{m_2} \right) \frac{\bar{B}_1}{H} + \frac{4C}{H} \right], \right.$$

$$(68) \left\{ \begin{aligned} (R_1)_{x=a} &= \frac{2}{\pi} p'_0 \sin \frac{\pi y}{b} \sum_r \frac{(-1)^r r \sin r a \pi}{\mu_{r1}} \left[\left(r^2 \frac{b^2}{a^2} + \frac{1}{m_2} \right) \frac{\bar{B}_1}{H} + \frac{4C}{H} \right], \\ (R_2)_{y=0} &= (R_2)_{y=b} = \\ &= -\frac{2}{\pi} p'_0 \frac{b}{a} \sum_r \frac{\sin r a \pi}{\mu_{r1}} \left[\left(r^2 + \frac{a^2}{b^2} \right) \frac{\bar{B}_2}{H} + r^2 \frac{4C}{H} \right] \sin \frac{r \pi x}{a}; \end{aligned} \right.$$

$$(69) \left\{ \begin{aligned} \hat{R}_{00} &= \hat{R}_{0b} = \frac{2}{\pi^2} p'_0 \frac{4C}{H} b \sum_r \frac{r \sin r a \pi}{\mu_{r1}}, \\ \hat{R}_{0a} &= \hat{R}_{ab} = \frac{2}{\pi^2} p'_0 \frac{4C}{H} b \sum_r \frac{(-1)^{r+1} r \sin r a \pi}{\mu_{r1}} \end{aligned} \right.$$

Większość otrzymanych wyrażeń odznacza się bardzo silną zbieżnością, o ile wartość stosunku $b^4 \bar{B}_1 : a^4 \bar{B}_2$, lub $|\varepsilon|$ nie zbacza zbyt wiele od jednostki i jakkolwiek nie nadają się do zwykłego praktycznego zastosowania, to jednak mogą oddać dobre usługi przy interpretacji wyników doświadczalnych.

Gdy wypada zbadać stan napięcia i odkształcenia w pobliżu krótkiego boku bardzo długiej płyty prostokątnej albo w okolicy miejsca bezpośrednio obciążonego, leżącego daleko od końców płyty, to można płytę uważać za nieskończenie długą, przez co upraszcza się zastosowanie ogólnej teorii. W ten sposób można, jak zobaczymy poniżej, rozwiązać stosunkowo łatwo niektóre praktycznie ważne zadania.

III. Płyta bardzo długa na równoległych brzegach swobodnie podparta.

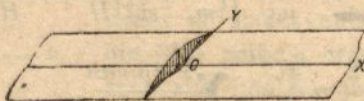
§ 12. Działanie liniowego obciążenia w przekroju o kierunku szerokości płyty. Zasięg działania obciążenia. Ważna różnica w zachowaniu się płyty w przypadku $\eta > 1$ i $\eta < 1$. Ograniczenie ważności twierdzenia M. Mesnager'a w przypadku $\eta > 1$.
Działanie ciężarów skupionych.

Zadanie upraszcza się szczególnie, gdy obciążenie liniowe p' jest określone równaniem

$$p' = p'_0 \sin \frac{n\pi y}{b}, \quad (n = 1, 2, 3, \dots)$$

Przy ograniczeniu do symetrycznych przypadków obciążenia i obiorze układu współrzędnych według rys. 13, przybiera powyższe prawo obciążenia postać

$$p' = p_0 \cos \frac{n\pi y}{b}, \quad (n = 1, 3, 5, \dots)$$



Rys. 13.

Wtedy w każdym punkcie płyty na prawo (lub lewo) od bezpośrednio obciążonej osi Y -ów musi się spełnić równanie różniczkowe

$$\bar{B}_1 \frac{\partial^4 \zeta}{\partial x^4} + 2H \frac{\partial^4 \zeta}{\partial x^2 \partial y^2} + \bar{B}_2 \frac{\partial^4 \zeta}{\partial y^4} = 0,$$

a rozwiązanie znajdujemy drogą wskazaną przez M. Levy'ego, przyjmując

$$\zeta = X \cos \frac{n\pi y}{b},$$

przyczem X oznacza nieznaną na razie funkcję samego x . To wyrażenie czyni widocznie zadość warunkom krańcowym $\zeta = 0$ i $M_2 = 0$ dla $y = \pm \frac{b}{2}$. Wstawiwszy je w równanie różniczkowe powierzchni ugięcia, otrzymamy do wyznaczenia X zwyczajne równanie różniczkowe liniowe o stałych współczynnikach

$$X^{IV} - 2 \left(\frac{n\pi}{b} \right)^2 \frac{H}{\bar{B}_1} X'' + \left(\frac{n\pi}{b} \right)^4 \frac{\bar{B}_2}{\bar{B}_1} X = 0,$$

którego całka ogólna ma postać:

$$X = C_1 e^{\beta_1 x} + C_2 e^{\beta_2 x} + C_3 e^{\beta_3 x} + C_4 e^{\beta_4 x}.$$

Wielkości

$$\left. \begin{matrix} \beta_1 \\ \beta_2 \end{matrix} \right\} = \frac{n\pi}{b} \sqrt{\frac{H \pm \sqrt{H^2 - \bar{B}_1 \bar{B}_2}}{\bar{B}_1}}, \quad \left. \begin{matrix} \beta_3 \\ \beta_4 \end{matrix} \right\} = -\frac{n\pi}{b} \sqrt{\frac{H \pm \sqrt{H^2 - \bar{B}_1 \bar{B}_2}}{\bar{B}_1}}$$

przedstawiają przytem cztery pierwiastki równania:

$$\beta^4 - 2 \left(\frac{n\pi}{b} \right)^2 \frac{H}{\bar{B}_1} \beta^2 + \left(\frac{n\pi}{b} \right)^4 \frac{\bar{B}_2}{\bar{B}_1} = 0$$

Ażeby dla $x = \infty$ było $\zeta = 0$, muszą dwie pierwsze stałe całkowania C_1 i C_2 być równe zeru. Do wyznaczenia dwu innych stałych C_3 i C_4 mamy dwa warunki krańcowe:

Dla $x = 0$ jest $\frac{\partial \zeta}{\partial x} = 0$ a siła poprzeczna $V_1 = -\frac{p'}{2}$.

Stosownie do tego, czy $H^2 \cong B_1 \bar{B}_2$, czyli $\eta \cong 1$, będzie znalezione rozwiązanie mieć jedną z trzech następujących postaci:

I) $\zeta = (C_3 e^{\beta_3 x} + C_4 e^{\beta_4 x}) \cos \frac{n\pi y}{b}$, przy $H^2 > \bar{B}_1 \bar{B}_2$ ($\eta > 1$);

II) $\zeta = (C' + C''x) e^{-\beta_0 x} \cos \frac{n\pi y}{b}$, przy $H^2 = \bar{B}_1 \bar{B}_2$ ($\eta = 1$),

z wartością

$$\beta_0 = \frac{n\pi}{b} \sqrt{\frac{H}{\bar{B}_1}} = \frac{n\pi}{b} \sqrt{\frac{\bar{B}_2}{\bar{B}_1}}$$

III) $\zeta = (A_3 \cos \varphi x + A_4 \sin \varphi x) e^{-\vartheta x} \cos \frac{n\pi y}{b}$, przy $H^2 < \bar{B}_1 \bar{B}_2$ ($\eta < 1$),

z wartościami

$$\vartheta = \frac{n\pi}{b} \sqrt{\frac{1}{2} \sqrt{\frac{\bar{B}_2}{\bar{B}_1}} + \frac{1}{2} \frac{H}{\bar{B}_1}}, \quad \varphi = \frac{n\pi}{b} \sqrt{\frac{1}{2} \sqrt{\frac{\bar{B}_2}{\bar{B}_1}} - \frac{1}{2} \frac{H}{\bar{B}_1}}$$

Z wymienionych powyżej warunków krańcowych znajdujemy w I przypadku:

$$C_3 = -\frac{\beta_4}{\beta_3} C_4 = \frac{p'}{2\bar{B}_1 \beta_3 (\beta_3^2 - \beta_4^2)}$$

a zatem

$$\zeta = \frac{p'}{2\bar{B}_1 (\beta_3^2 - \beta_4^2)} \left(\frac{e^{\beta_3 x}}{\beta_3} - \frac{e^{\beta_4 x}}{\beta_4} \right) \cos \frac{n\pi y}{b},$$

albo też

$$(71.I) \quad \zeta = \frac{1}{4n^3 \pi^2} \frac{p'}{\sqrt{H^2 - \bar{B}_1 \bar{B}_2}} \left(\beta e^{-\frac{x}{\beta}} - a e^{-\frac{x}{a}} \right) \cos \frac{n\pi y}{b}$$

jeżeli oznaczymy:

$$(70) \quad \begin{cases} -\frac{n}{\beta_3} = \alpha = \frac{b}{\pi} \sqrt{\frac{H}{B_2} - \sqrt{\left(\frac{H}{B_2}\right)^2 - \frac{B_1}{B_2}}}, \\ -\frac{n}{\beta_4} = \beta = \frac{b}{\pi} \sqrt{\frac{H}{B_2} + \sqrt{\left(\frac{H}{B_2}\right)^2 - \frac{B_1}{B_2}}}. \end{cases}$$

Z ostatnich równań wynikają jeszcze wzory:

$$(72) \quad \begin{cases} \alpha + \beta = \frac{2b}{\pi} \sqrt{\frac{1}{2} \frac{H}{B_2} + \frac{1}{2} \sqrt{\frac{B_1}{B_2}}}, & \beta - \alpha = \frac{2b}{\pi} \sqrt{\frac{1}{2} \frac{H}{B_2} - \frac{1}{2} \sqrt{\frac{B_1}{B_2}}}, \\ \alpha\beta = \frac{b^2}{\pi^2} \sqrt{\frac{B_1}{B_2}}, & \beta^2 - \alpha^2 = \frac{2b^2}{\pi^2} \sqrt{\left(\frac{H}{B_2}\right)^2 - \frac{B_1}{B_2}}, \end{cases}$$

które przydadzą się często w dalszych rachunkach.

W II przypadku wypada:

$$(71. II) \quad \zeta = \frac{p'_0}{4\bar{B}_1} \frac{\gamma^3}{n^3} \left(1 + \frac{nx}{\gamma}\right) e^{-\frac{nx}{\gamma}} \cos \frac{n\pi y}{b},$$

jeżeli

$$\gamma = \frac{b}{\pi} \sqrt{\frac{B_1}{B_2}}.$$

Nakoniec w III przypadku mamy:

$$\begin{aligned} A_3 &= \frac{p'_0}{4\bar{B}_1 \vartheta (\vartheta^2 + \varphi^2)}, & A_4 &= \frac{p'_0}{4\bar{B}_1 \varphi (\vartheta^2 + \varphi^2)}, \\ \zeta &= \frac{p'_0}{4\bar{B}_1 (\vartheta^2 + \varphi^2)} e^{-\vartheta x} \left(\frac{\cos \varphi x}{\vartheta} + \frac{\sin \varphi x}{\varphi} \right) \cos \frac{n\pi y}{b}, \end{aligned}$$

albo

$$(71. III) \quad \zeta = \frac{p'_0}{4\pi^2} \cdot \frac{b^2}{\sqrt{\bar{B}_1 \bar{B}_2}} \cdot \frac{1}{n^3} \left(\alpha' \cos \frac{nx}{\beta'} + \beta' \sin \frac{nx}{\beta'} \right) e^{-\frac{nx}{\alpha'}} \cos \frac{n\pi y}{b},$$

jeżeli wprowadzimy oznaczenia:

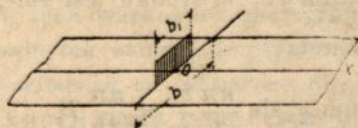
$$(73) \quad \begin{cases} \vartheta = \frac{n}{\alpha'}, & \alpha' = \frac{b}{\pi} \cdot \frac{1}{\sqrt{\frac{1}{2} \sqrt{\frac{B_2}{B_1}} + \frac{1}{2} \frac{H}{B_1}}}, \end{cases}$$

$$(73) \quad \left\{ \begin{array}{l} \varphi = \frac{n}{\beta'} \\ \beta' = \frac{b}{\pi} \cdot \frac{1}{\sqrt{\frac{1}{2} \sqrt{\frac{B_2}{B_1}} - \frac{1}{2} \frac{H}{B_1}}} \end{array} \right.$$

Przejsie od I do III przypadku można także wykonać przez podstawienie

$$\frac{1}{\alpha} = \frac{1}{\alpha'} + i \frac{1}{\beta'}, \quad \frac{1}{\beta} = \frac{1}{\alpha'} - i \frac{1}{\beta'}$$

Przyjawszy teraz obciążenie rozłożone równomiernie $q'b_1$ na środkowej części o długości b_1 (rys. 14), można właściwe obciążenie p' przedstawić jako funkcję zmiennej y w postaci szeregu Fouriera



Rys. 14.

żenie p' przedstawić jako funkcję zmiennej y w postaci szeregu Fouriera

$$p'(y) = \sum_n p'_n \cos \frac{n\pi y}{b} \quad (n = 1, 3, 5, \dots)$$

Każdemu wyrazowi tego szeregu odpowiada wyraz o postaci (71. I), względnie (71. II), lub (71. III) w szeregu dla ζ . Znany sposobem znajdujemy

$$p'_n = \frac{4q'}{\pi} \cdot \frac{1}{n} \sin \frac{n\pi b_1}{2b};$$

równanie powierzchni ugięcia ma przeto dla przyjętego obciążenia postać:

$$(74. I) \quad \zeta = \frac{2}{\pi^5} \cdot \frac{q' b^4}{B_2(\alpha + \beta)} \cdot \sum_{n=1,3,5,\dots}^{(n_1)} \frac{n^4}{n^4} \cdot \frac{\beta e^{-\frac{n\pi}{\beta}} - \alpha e^{-\frac{n\pi}{\alpha}}}{\beta - \alpha} \cos \frac{n\pi y}{b},$$

albo

$$(74. II) \quad \zeta = \frac{q' \gamma^3}{\pi B_1} \sum_{n=1}^{(n_1)} \frac{n^4}{n^4} \left(1 + \frac{n\pi}{\gamma} \right) e^{-\frac{n\pi}{\gamma}} \cos \frac{n\pi y}{b},$$

albo wreszcie

$$(74. III) \quad \zeta = \frac{q' b^2}{\pi^3 \sqrt{\bar{B}_1 \bar{B}_2}} \sum_n \frac{(n_1)}{n^4} \left(\alpha' \cos \frac{nx}{\beta'} + \beta' \sin \frac{nx}{\beta'} \right) e^{-\frac{nx}{\alpha'}} \cos \frac{n\pi y}{b}.$$

zależnie od tego, czy mamy do czynienia z I, II czy też III przypadkiem. Dla skrócenia wprowadzono przytem oznaczenie

$$(75) \quad \sin \frac{n\pi b_1}{2b} = (n_1).$$

Wszystkie otrzymane rozwinięcia szeregowe są tak silnie zbieżne, że najczęściej można poprzestać na pierwszym wyrazie jako wartości przybliżonej. Także w szczególnym przypadku ciężaru skupionego $P' = \lim_{b_1=0} q' b_1$ w środku jest zbieżność zupełnie zadowalająca. Wówczas jest

$$\lim_{b_1=0} q' \sin \frac{n\pi b_1}{2b} = \frac{n\pi}{2b} P',$$

a zatem odpowiadające równania powierzchni ugięcia (74) przekształcają się na następujące:

$$(76. I) \quad \zeta = \frac{Pb}{2\pi^2 \sqrt{H^2 - \bar{B}_1 \bar{B}_2}} \sum_n \frac{1}{n^3} \left(\beta e^{-\frac{nx}{\beta}} - \alpha e^{-\frac{nx}{\alpha}} \right) \cos \frac{n\pi y}{b},$$

$$(76. II) \quad \zeta = \frac{P\gamma^3}{2\bar{B}_1 b} \sum_n \frac{1}{n^3} \left(1 + \frac{nx}{\gamma} \right) e^{-\frac{nx}{\gamma}} \cos \frac{n\pi y}{b},$$

$$(76. III) \quad \zeta = \frac{Pb}{2\pi^2 \sqrt{\bar{B}_1 \bar{B}_2}} \sum_n \frac{1}{n^3} \left(\alpha' \cos \frac{nx}{\beta'} + \beta' \sin \frac{nx}{\beta'} \right) e^{-\frac{nx}{\alpha'}} \cos \frac{n\pi y}{b}.$$

($n = 1, 3, 5, \dots$)

Wszystkie powyższe wyrażenia dla ζ są oczywiście ważne tylko dla połowy płyty, zawierającej dodatnią oś X -ów. Dla drugiej połowy wypadnie we wzorach zastąpić x przez $-x$. W każdym razie maleją ugięcia ζ ze wzrostem odległości od osi Y -ów tak szybko, że jako zasięg działania obciążenia można przyjąć mniej więcej

$$x = \frac{3}{2} b_{red},$$

jeżeli

$$b_{red} = b \sqrt{\frac{H}{\bar{B}_2} + \sqrt{\left(\frac{H}{\bar{B}_2}\right)^2 - \frac{\bar{B}_1}{\bar{B}_2}}} = b \sqrt{\frac{\bar{B}_1}{\bar{B}_2}} \sqrt{\eta + \sqrt{\eta^2 - 1}} \text{ w I przyp.,}$$

$$b_{red} = b \sqrt[4]{\frac{\bar{B}_1}{\bar{B}_2}} \text{ w II przypadku i}$$

$$b_{red} = \frac{b}{\sqrt{\frac{1}{2} \sqrt{\frac{\bar{B}_2}{\bar{B}_1}} + \frac{1}{2} \frac{H}{\bar{B}_1}}} = b \sqrt[4]{\frac{\bar{B}_1}{\bar{B}_2}} \cdot \sqrt{\frac{2}{1+\eta}} \text{ w III przypadku.}$$

Stąd możemy wywnioskować, że we wszystkich przypadkach obciążenia samego środkowego przekroju płyty w kierunku szerokości, powierzchnia ugięcia płyty i odpowiadający stan napięcia okazują się przy $a \geq 3b_{red}$, praktycznie biorąc, niezależne od długości płyty a . W tych warunkach zachowuje się płyta o skończonej długości prawie tak samo, jak płyta nieskończenie długa. Na odwrót można powiedzieć, że w bardzo długiej płycie o rozpiętości poprzecznej l współdziała tylko część płyty o szerokości $3b_{red}$ w przypadku liniowego poprzecznego obciążenia¹. U płyt z materiału równokierunkowego jest oczywiście

$$b_{red} = b$$

Przekroje podłużne powierzchni ugięcia przedstawiają się w przypadkach I i II jako krzywe o ciągle zmniejszającej się krzywiznie, które zbliżają się szybko asymptotycznie ku osi X -ów, nie przecinając jej w skończoności. Natomiast w przypadku III staje się krzywa falistą i przecina nieskończenie wiele razy oś X -ów. Długość fali wynosi:

¹ Obustronny zasięg działania obciążenia, t. j. $3b_{red}$ zależy, jak widzimy, głównie od stosunku sztywności $B_2 : B_1$. Zmniejszenie się zasięgu w miarę wzrostu wartości stosunków $B_2 : B_1$ pokazuje nadto następująca tabliczka, obliczona dla II-go przypadku:

| | | | | | | | | | |
|------------------------|---|------|------|------|------|------|------|------|------|
| $\frac{B_2}{B_1} =$ | 1 | 2 | 3 | 5 | 10 | 20 | 50 | 100 | 1000 |
| $\frac{3b_{red}}{b} =$ | 3 | 2,52 | 2,28 | 2,01 | 1,68 | 1,41 | 1,13 | 0,96 | 0,53 |

Tej szerokości działania obciążenia nie należy mieszać z szerokością, na którą rozkładamy równomiernie dane obciążenie skupione, aby obliczenie płyty zamienić na obliczenie belki. O takiej zastępczej szerokości będzie poniżej mowa.

$$\frac{2b}{\sqrt{\frac{1}{2} \sqrt{\frac{\bar{B}_1}{\bar{B}_2}} - \frac{1}{2} \frac{H}{\bar{B}_1}}} = 2b \sqrt{\frac{\bar{B}_1}{\bar{B}_2}} \cdot \sqrt{\frac{2}{1 - \eta}}$$

Dzięki czynnikowi $e^{-\frac{\pi x}{z}}$ ubywa bardzo szybko wysokość fali, podobnie, jak to się dzieje przy działaniu ciężaru skupionego na belkę w sposób ciągły sprężyste podpartą, jednakowoż naprzemianległe obniżenia i podniesienia płyty pod rozpatrywanem obciążeniem dałyby się zapewne łatwo zaobserwować przy doświadczeniach. Twierdzenie p. M. Mesnager'a¹, że każdy ciężar skupiony, działający na prostokątną płytę dookoła swobodnie poziomo podpartą, wywołuje ugięcia tego samego znaku wszystkich punktów płyty, nie jest przeto ogólnie ważnem dla płyt nierównokierunkowych; ale podobnież nie wolno wnioskować z rozwiązania równania różniczkowego (15) dla gęstych krat belkowych bez sztywności przy skręcaniu, że także i w zwykłej płycie każdy ciężar skupiony wywoła falistą powierzchnię ugięcia, jak to czytamy w godnem uwagi sprawozdaniu francuskiej „Rady głównej dróg i mostów“ z r. 1912². Faliste wygięcie płyty w tych warunkach dowodziłoby tylko, że mamy wogóle do czynienia z przypadkiem III-im³.

W przypadku całkowitego równomiernego obciążenia $q'b$ znajdujemy łatwo dla $x = y = 0$ strzałkę ugięcia:

$$(74. I, IIIa) \quad f = \frac{2}{\pi^5} \frac{q' b^4}{\bar{B}_2(\alpha + \beta)} \sum_{n=1,3,5,\dots}^{n-1} \frac{(-1)^{\frac{n-1}{2}}}{n^4} = \frac{q' b^3}{\pi^4 \bar{B}_2} \cdot \frac{0,989}{\sqrt{\frac{1}{2} \frac{H}{\bar{B}_2} + \frac{1}{2} \sqrt{\frac{\bar{B}_1}{\bar{B}_2}}}}$$

jeżeli $H^2 \geq \bar{B}_1 \bar{B}_2$, czyli $\eta \geq 1$, zaś

$$(74. IIa) \quad f = 0,01015 \frac{q' b^3}{\bar{B}_2} \sqrt{\frac{\bar{B}_1}{\bar{B}_2}}$$

¹ C. R. 1916, T. 163, pag. 84.

² Calcul des hourdis en béton armé. Note jointe à l'avis du Conseil Général des Ponts et Chaussées. Ann. d. P. et Ch. 1912—VI.

³ Ob. Huber M. T., Sur la généralisation d'un théorème de M. Mesnager concernant le sens des déplacements d'une plaque rectangulaire. — C. R. 1920.

jeżeli $H^2 = \bar{B}_1 \bar{B}_2$, czyli $\eta = 1$. Liczbowy współczynnik ostatniego wyrażenia określa przytem równanie:

$$\frac{1}{\pi^4} \cdot \sum_{n=1}^{\infty} \frac{(-1)^{n-1}}{n^4} = \frac{0,989}{\pi^4} = 0,01016$$

Podobnie otrzymamy w przypadku ciężaru skupionego P w środku płyty

$$(76. I \text{ IIIa}) \quad f = \frac{Pb^2}{2\pi^3 \bar{B}_1} \cdot \frac{\sum_{n=1}^{\infty} \frac{1}{n^3}}{\left| \sqrt{\frac{1}{2} \frac{H}{\bar{B}_2} + \frac{1}{2}} \sqrt{\frac{\bar{B}_1}{\bar{B}_2}} \right|} \dots (n = 1, 3, 5, \dots)$$

względnie

$$(76. IIa) \quad f = \frac{Pb^2}{2\pi^3 \bar{B}_2} \sqrt{\frac{\bar{B}_2}{\bar{B}_1}} \sum_{n=1}^{\infty} \frac{1}{n^3} \dots (n = 1, 3, 5, \dots)$$

Ponieważ $\sum_{n=1}^{\infty} \frac{1}{n^3} = 1,0518$, więc

$$\frac{1}{2\pi^3} \sum_{n=1}^{\infty} \frac{1}{n^3} = 0,01696$$

Ten współczynnik pozostaje oczywiście bez zmiany w szczególnym przypadku $\bar{B}_1 = \bar{B}_2 = H$ (t. j. równokierunkowości materiału płyty) i był dla tego przypadku podany już przez dra inż. H. Leitz'a¹.

Przy ogólniejszem obciążeniu $q'b_1$ mamy w I przypadku następujące wzory dla momentów zgięcia:

$$(77. I) \quad \left\{ \begin{array}{l} M_1 = \frac{q'}{\pi} \cdot \frac{\bar{B}_1}{\sqrt{H^2 - \bar{B}_1 \bar{B}_2}} \cdot \sum_{n=1}^{\infty} \frac{(n_1)}{n^2} \left[\left(\beta \sqrt{\frac{\bar{B}_2}{\bar{B}_1}} - \frac{\alpha}{m_2} \right) e^{-\frac{n\pi x}{b}} - \right. \\ \left. - \left(\alpha \sqrt{\frac{\bar{B}_1}{\bar{B}_2}} - \frac{\beta}{m_2} \right) e^{-\frac{n\pi y}{b}} \right] \cos \frac{n\pi y}{b}, \\ M_2 = \frac{q'}{\pi} \cdot \frac{\bar{B}_2}{\sqrt{H^2 - \bar{B}_1 \bar{B}_2}} \cdot \sum_{n=1}^{\infty} \frac{(n_1)}{n^2} \left[\left(\frac{\beta}{m_1} \sqrt{\frac{\bar{B}_2}{\bar{B}_1}} - \alpha \right) e^{-\frac{n\pi x}{b}} - \right. \\ \left. - \left(\frac{\alpha}{m_1} \sqrt{\frac{\bar{B}_2}{\bar{B}_1}} - \beta \right) e^{-\frac{n\pi y}{b}} \right] \cos \frac{n\pi y}{b} \end{array} \right.$$

¹ Berechnung der frei aufliegenden rechteckigen Platten. Berlin 1914.

W początku współrzędnych osiągają te momenty największe wartości:

$$(78. I) \quad \begin{cases} M_{1max} = \frac{2}{\pi^3} \cdot \frac{q'b^2}{\alpha + \beta} \cdot \frac{\bar{B}_1}{\bar{B}_2} \left(\sqrt{\frac{\bar{B}_2}{\bar{B}_1}} + \frac{1}{m_2} \right) \sum_n^{(n_1)} \frac{1}{n^2}, \\ M_{2max} = \frac{2}{\pi^3} \cdot \frac{q'b^2}{\alpha + \beta} \left(\frac{1}{m_1} \sqrt{\frac{\bar{B}_2}{\bar{B}_1}} + 1 \right) \sum_n^{(n_1)} \frac{1}{n^2} \end{cases}$$

Znaczenie skróconego symbolu (n_1) określa przytem wzór (75).

W przypadku równomiernego obciążenia liniowego całej rozpiętości b staje się $b_1 = b$, $(n_1) = (-1)^{\frac{n-1}{2}}$, a

$$\sum \frac{(n_1)}{n^2} = 1 - \frac{1}{3^2} + \frac{1}{5^2} - \dots = \sim 0,917$$

Wówczas przybierają wzory (78. I) następującą postać, ważną widocznie i dla przypadku III:

$$(79. I, III) \quad \begin{cases} M_{1max} = 0,0929_1 \frac{\sqrt{\frac{\bar{B}_1}{\bar{B}_2}} + \frac{1}{m_2} \frac{\bar{B}_1}{\bar{B}_2}}{\sqrt{\frac{1}{2} \frac{H}{\bar{B}_2}} + \frac{1}{2} \sqrt{\frac{\bar{B}_1}{\bar{B}_2}}} \cdot q'b, \\ M_{2max} = 0,0929_1 \frac{\frac{1}{m_1} \sqrt{\frac{\bar{B}_2}{\bar{B}_1}} + 1}{\sqrt{\frac{1}{2} \frac{H}{\bar{B}_2}} + \frac{1}{2} \sqrt{\frac{\bar{B}_1}{\bar{B}_2}}} \cdot q'b \end{cases}$$

Stosunek największych wartości obu momentów zginających w środku

$$(79) \quad \frac{M_{1max}}{M_{2max}} = \frac{\bar{B}_1}{\bar{B}_2} \cdot \frac{\sqrt{\frac{\bar{B}_2}{\bar{B}_1}} + \frac{1}{m_2}}{\frac{1}{m_1} \sqrt{\frac{\bar{B}_2}{\bar{B}_1}} + 1}$$

jest niezależny od długości obciążonego odcinka b_1 i ma wartość 1 w przypadku $\bar{B}_1 = \bar{B}_2$, $m_1 = m_2$. Wogóle wartość tego stosunku wzrasta lub ubywa wraz z wartością stosunku $\bar{B}_1 : \bar{B}_2$.

Skoro np. $b_1 = \frac{1}{3}b$, to

$$\sum \frac{(n_1)}{n^2} = 0,2997,$$

a zatem

$$M_{1max} = 0,2733 \frac{\sqrt{\frac{B_1}{B_2}} + \frac{1}{m_2} \frac{B_1}{B_2}}{\sqrt{\frac{1}{2} \frac{H}{B_2}} + \frac{1}{2} \sqrt{\frac{B_1}{B_2}}} q' b_1,$$

$$M_{2max} = 0,2733 \frac{\frac{1}{m_1} \sqrt{\frac{B_2}{B_1}} + 1}{\sqrt{\frac{1}{2} \frac{H}{B_2}} + \frac{1}{2} \sqrt{\frac{B_1}{B_2}}} q' b_1.$$

Skupienie liniowego obciążenia na dziewiątej części rozpiętości b sprawia tedy, że największe wartości momentów zginających rosną prawie trzykrotnie.

W praktycznych przypadkach można działanie ciężaru punktowego uważać co najwyżej za równoważne powyższemu skupieniu obciążenia. Z otrzymanych wzorów rozpoznajemy tedy wyraźnie rozkładające ciężar działanie płyty (w zestawieniu z belką). Skoro w szczególności przyjmiemy $B_1 = B_2$, $m_1 = m_2 = 6$, to obadwa ostatnie wzory dają:

$$M_{1max} = M_{2max} = M = 0,319 q' b_1 = 0,319 P = \frac{1}{4} 1,276 P$$

albo

$$M \frac{b}{1,276} = \frac{1}{4} P b$$

Z tego wnosimy, że ciężar skupiony P rozkłada się niejako na szerokość $\frac{b}{1,276} = 0,784b$, albowiem przy tej szerokości płyty podpartej jak belka o rozpiętości b i obciążonej w środkowym przekroju, wypada jako moment zginający w przekroju niebezpiecznym: $\frac{1}{4} P b = 0,784 b = 0,319 P$. Jeżeli $B_2 > B_1$, to M_{2max} staje się większym, a ciężar P rozdziela się, praktycznie biorąc, na szerokość tem mniejszą, im większa jest sztywność zginania B_2 w porównaniu do B_1 . Tak np. mamy dla $B_2 = 2,07 B_1$, ($m_1 = m_2 = 6$):

$$M_{2max} = 0,407 P,$$

a ciężar rozkłada się na szerokość $0,614b$.

Dla żebrowanej płyty stropowej jest B_2 kilkakrotnie przynajmniej większe od B_1 , a $\frac{1}{m_1}$ można, według wywodów w § 6, przyjąć bez wielkiego błędu równe zero, a zatem w rozpatrywanym przypadku ciężaru praktycznie skupionego będzie:

$$M_{2max} = M = 0,2733 \sqrt{\frac{\bar{B}_2}{\bar{B}_1}} \cdot P = \frac{1}{4} \cdot 1,093 \sqrt{\frac{\bar{B}_2}{\bar{B}_1}} P,$$

albo

$$M \cdot \frac{b}{1,093} \sqrt{\frac{\bar{B}_1}{\bar{B}_2}} = \frac{1}{4} P b,$$

a ciężar rozkłada się praktycznie na szerokość:

$$a_1 = \frac{b}{1,093} \sqrt{\frac{\bar{B}_1}{\bar{B}_2}}$$

Dla kilku wartości stosunku $B_2 : B_1$ podaje następująca tabliczka odpowiadające wartości $a_1 : b$:

| | | | | | | | |
|---------------|-------|-------|-------|-------|-------|-------|-------|
| $B_2 : B_1 =$ | 5 | 10 | 15 | 20 | 25 | 50 | 100 |
| $a_1 : b =$ | 0,614 | 0,514 | 0,464 | 0,433 | 0,408 | 0,344 | 0,289 |

W przypadku równomiernego obciążenia liniowego całej rozpiętości b (rów. 79 I, III), zwiększają się wartości a_1 w stosunku 0,2733:0,0929, to zn. około 3-krotnie, jeżeli przeto ciężar skupiony (w praktyce) rozkłada się na r żeber, to w powyższym przypadku przenosi się obciążenie na $3r$ żeber.

Dla momentu skręcającego znajdujemy wyrażenie:

$$(80. I) \quad D = -\frac{2}{\pi^2} q' b \frac{C}{\sqrt{H^2 - \bar{B}_1 \bar{B}_2}} \cdot \sum \frac{(n_1)}{n^2} \left(e^{-\frac{nx}{\beta}} - e^{-\frac{nx}{\alpha}} \right) \sin \frac{n\pi y}{b}$$

Ponieważ wszystkie reakcje podporowe znikają w nieskończoności, więc muszą być wszędzie równe wartości siły poprzecznej

V_2 dla $y = \pm \frac{b}{2}$. Mamy przeto:

$$(81. I) \quad (V_2)_{y=\pm \frac{b}{2}} = -\frac{q'}{b} \frac{\bar{B}_2}{\sqrt{H^2 - \bar{B}_1 \bar{B}_2}} \cdot \sum \frac{(-1)^{\frac{n-1}{2}} (n_1)}{n} \left[\beta \left(\frac{1}{m_1} + \frac{2C}{\bar{B}_2} \right) \sqrt{\frac{\bar{B}_2}{\bar{B}_1}} - \alpha \right] e^{-\frac{nx}{\alpha}} - \left[\alpha \left(\frac{1}{m_1} + \frac{2C}{\bar{B}_2} \right) \sqrt{\frac{\bar{B}_2}{\bar{B}_1}} - \beta \right] e^{-\frac{nx}{\beta}}.$$

Zbieżność tego szeregu można zakwestyonować tylko przy $x = 0$. Jakoż przy tej wartości x staje się szereg rozbieżnym, jeżeli nadto jest $b_1 = b$. Zważywszy jednak, że całka

$$2 \int_0^{\infty} (V_2)_{y=\frac{b}{2}} dx$$

daje zawsze połowę wartości obciążenia, jak być powinno wedle warunków równowagi, wnosimy, że prawdziwa wartość V_2 w punkcie $(0, \frac{b}{2})$ jest nieskończenie wielka, ale tak, że reakcyja

$$\int_{-\Delta x}^{+\Delta x} (V_2)_{y=\frac{b}{2}} dx$$

pozostaje skończoną przy dowolnie małych skończonych wartościach Δx . W istocie łatwo okazać, że $(V_2)_{y=\frac{b}{2}}$ dla $x=0$, $b_1=b$ staje się nieskończenie wielkiem, jak wyrażenie $\log \frac{1+z}{1-z}$ dla $z=1$.

Jeżeli płyta jest obciążona tylko ciężarem skupionym P w środku, to szereg dla reakcyj podporowych da się łatwo zesumować. Otrzymujemy tedy

$$(82.I) \quad (V_2)_{y=\frac{b}{2}} = -\frac{\pi P}{4 b^2} \cdot \frac{\bar{B}_2}{\sqrt{H^2 - \bar{B}_1 \bar{B}_2}} \left[\left\{ \beta \left(\frac{1}{m_1} + \frac{2C}{\bar{B}_2} \right) \sqrt{\frac{\bar{B}_2}{\bar{B}_1}} - \alpha \right\} \frac{1}{Ch \frac{\alpha}{\beta}} - \right. \\ \left. - \left\{ \alpha \left(\frac{1}{m_1} + \frac{2C}{\bar{B}_2} \right) \sqrt{\frac{\bar{B}_2}{\bar{B}_1}} - \beta \right\} \frac{1}{Ch \frac{\alpha}{\beta}} \right]$$

przyczem Ch oznacza dostawę hiperboliczną.

To wyrażenie osiąga krańcową wartość dla $x=0$, a mianowicie:

$$(83.I \text{ III}) \quad \text{Max } |V_2|_{y=\frac{b}{2}} = \frac{P}{4b} \cdot \frac{1 + \left(\frac{1}{m_1} + \frac{2C}{\bar{B}_2} \right) \sqrt{\frac{\bar{B}_2}{\bar{B}_1}}}{\sqrt{\frac{1}{2} \sqrt{\frac{\bar{B}_1}{\bar{B}_2}} + \frac{1}{2} \frac{H}{\bar{B}_2}}} = \\ = \frac{P}{4b} \cdot \frac{\frac{1}{m_1} \frac{\bar{B}_2}{\bar{B}_1} + \frac{2C}{\bar{B}_1} + \sqrt{\frac{\bar{B}_2}{\bar{B}_1}}}{\sqrt{\frac{1}{2} \sqrt{\frac{\bar{B}_2}{\bar{B}_1}} + \frac{1}{2} \frac{H}{\bar{B}_1}}}$$

Natomiast wartości $M_{1\text{max}}$ i $M_{2\text{max}}$ stają się logarytmicznie nie-

skończone, co jednakowoż nie ma żadnego znaczenia fizycznego, a więc i praktycznego, gdyż przyjęte punktowe obciążenie w rzeczywistości nigdy nie zachodzi, a tylko stanowi wygodny upraszczający schemat w konkretnych zadaniach. Każde rzeczywiste obciążenie „skupione“ przenosi się przez skończoną, choć małą powierzchnię, a konstruktorzy dążą do możliwego zwiększenia tej powierzchni, aby uniknąć niebezpieczeństwa miejscowego nadwreżenia materiału. Praktycznie traktujemy obciążenie jako skupione w jednym punkcie tylko wtedy, gdy pole przenoszące siłę jest małe i trudne do wyznaczenia. To schematyzowanie bardzo upraszcza rachunek we wszelkich zagadnieniach belek, nie wpływając zasadniczo na dokładność. Błąd przytem popełniony jest wogóle mały i wychodzi na korzyść pewności. W zadaniach, odnoszących się do płyt przedstawia się sprawa widocznie całkiem inaczej. Teorya prowadzi do niespodziewanego na pierwszy rzut oka wyniku, że każde nawet najmniejsze obciążenie, skupione w jednym punkcie, wywołuje nieskończenie wielkie momenty zgięcia w obciążonym miejscu. Dokładny rachunek siłami skupionymi jest przeto w zagadnieniach płyt zupełnie niedopuszczalny. Dlaczego teorya płyt zawodzi w tym szczególnym przypadku, podczas gdy teorya belek nie tylko nie prowadzi do sprzeczności, lecz czyni także zadość wszelkim praktycznym wymogom co do dokładności? Łatwo odpowiedzieć na to pytanie zważywszy, że obciążenia skupione, przyjmowane w teorii belek nie są właściwie siłami punktowymi, lecz przedstawiają się jako takie tylko w tym rzucie, w którym przedstawiamy zwykle schematyczny widok obciążonej belki; ale w przestrzeni przyjmuje się je zawsze milcząco jako siły liniowe, działające na całej szerokości przekroju. Otóż przy tem założeniu nie wykazują także nasze wzory dla płyt (78) niczego anormalnego i dają przy każdej skończonej wartości obciążonego odcinka b_1 oznaczone skończone wartości momentów zgięcia, względnie naprężeń. W odniesieniu do obciążenia skupionego wypada tylko wyniki teorii sprężystości interpretować w ten sposób, że silna koncentracja obciążenia jest stosunkowo o wiele niebezpieczniejszą dla płyt aniżeli dla belek. Dlatego wszelkie środki, które dane ciężary skupione rozkładają na większą powierzchnię, przyczyniają się znacznie do powiększenia odporności płyty. Należy jeszcze zwrócić uwagę na tę okoliczność, że gdy liniowe wymiary obciążonej części powierzchni płyty są małe w porównaniu do jej grubości, to rozkład

naprężeni w okolicy obciążonego miejsca może się dość znacznie różnić od rozkładu odpowiadającego zwykłym założeniom teorii płyt. W tym mianowicie przypadku nie wolno już pomijać pionowych naprężeń normalnych σ_z , ponieważ te naprężenia muszą wogóle mieć wpływ na rozkład pozostałych składowych stanu napięcia. Ten wpływ staje się oczywiście, „caeteris paribus”, tem większym im cieńszą jest płyta. Podobnie jak żwirówka przenosi obciążenie kół na pomost drogowego mostu, tak też rozdziela się obciążenie skupione powierzchni płyty na pewne pole warstwy obojętnej, a wielkość tego pola rośnie i maleje z grubością płyty. Ta rola grubości płyty była przedmiotem interesującego teoretycznego badania w przytoczonej na wstępie pracy dra inż. H. Hencky'ego.

Powracając teraz do równań powierzchni ugięcia dla równomiernego obciążenia liniowego $q'b_1$, otrzymujemy z (71. II) następujące wzory dla momentów zginających w II przypadku:

$$(77. II) \quad \begin{cases} M_1 = \frac{q'\gamma}{\pi} \sum_n \frac{(n_1)}{n^2} \left[1 - \frac{nx}{\gamma} + \frac{1}{m_2} \frac{\gamma^2 \pi^2}{b^2} \left(1 + \frac{nx}{\gamma} \right) \right] e^{-\frac{nx}{\gamma}} \cos \frac{n\pi y}{b}, \\ M_2 = \frac{q'\gamma}{\pi} \frac{\bar{B}_2}{\bar{B}_1} \sum_n \frac{(n_1)}{n^2} \left[\frac{1}{m_1} \left(1 - \frac{nx}{\gamma} \right) + \right. \\ \left. + \frac{\gamma^2 \pi^2}{b^2} \left(1 + \frac{nx}{\gamma} \right) \right] e^{-\frac{nx}{\gamma}} \cos \frac{n\pi y}{b} \end{cases}$$

Momenty zginające osiągają największe wartości widocznie w środku obciążonego przekroju ($x=0$, $y=0$), a mianowicie:

$$(78. II) \quad \begin{cases} M_{1max} = \frac{q'\gamma}{\pi} \left(1 + \frac{1}{m_2} \sqrt{\frac{\bar{B}_1}{\bar{B}_2}} \right) \sum_n \frac{(n_1)}{n^2}, \\ M_{2max} = \frac{q'\gamma}{\pi} \left(\frac{1}{m_1} + \sqrt{\frac{\bar{B}_1}{\bar{B}_2}} \right) \frac{\bar{B}_1}{\bar{B}_2} \sum_n \frac{(n_1)}{n^2}. \end{cases}$$

Stosunek obu największych wartości momentów zgięcia określa to samo wyrażenie (79), co w I przypadku.

Moment skręcający

$$(80. II) \quad D = - \frac{q'\gamma}{b} \frac{2C}{\bar{B}_1} \sum_n \frac{(n_1)}{n} x e^{-\frac{nx}{\gamma}} \sin \frac{n\pi y}{b},$$

a reakcyje podporowe:

$$(81. II) \quad (V_2)_{y=\frac{b}{2}} = -\frac{q\gamma}{b} \sum_n \frac{(-1)^{\frac{n-1}{2}} (n_1)}{n} \left[\left(\frac{1}{m_1} \frac{\bar{B}_2}{\bar{B}_1} + \frac{2C}{\bar{B}_1} \right) \left(1 - \frac{nx}{\gamma} \right) + \sqrt{\frac{\bar{B}_2}{\bar{B}_1}} \left(1 + \frac{nx}{\gamma} \right) \right] e^{-\frac{nx}{\gamma}}.$$

W krańcowym przypadku ciężaru skupionego P w środku płyty ($x = 0$, $y = 0$) przybiera powyższy wzór postać

$$(82. II) \quad (V_2)_{y=\frac{b}{2}} = -\frac{\pi P}{2b^2} \gamma \sum_n (-1)^{\frac{n-1}{2}} \left[\left(\frac{1}{m_1} \frac{B_2}{B_1} + \frac{2C}{B_1} \right) \left(1 - \frac{nx}{\gamma} \right) + \sqrt{\frac{\bar{B}_2}{\bar{B}_1}} \left(1 + \frac{nx}{\gamma} \right) \right] e^{-\frac{nx}{\gamma}},$$

którą z bardzo dobrym przybliżeniem można zastąpić przez następującą:

$$(82. II a) \quad (V_2)_{y=\frac{b}{2}} \approx -\frac{\pi P}{2b^2} \gamma \left(\frac{1}{m_1} \frac{B_2}{B_1} + \frac{2C}{B_1} + \sqrt{\frac{\bar{B}_2}{\bar{B}_1}} \right) \frac{1}{Ch \frac{x}{\gamma}}.$$

Ten wzór staje się nawet całkiem dokładnym, skoro spełnia się warunek $\frac{\bar{B}_2}{m_1} = \frac{\bar{B}_1}{m_2}$, albowiem wówczas można według równania (13a) napisać $\frac{B_2}{m_1} + 2C = H = \sqrt{\bar{B}_1 \bar{B}_2}$, wobec czego znoszą się obadwa wyrazy w klamrze o wielkości głównej $\frac{nx}{\gamma}$ wyrażenia (82. II). W tym zaś przypadku przekształca się z powodu tożsamości:

$$\sum_n (-1)^{\frac{n-1}{2}} e^{-\frac{nx}{\gamma}} = \frac{1}{2Ch \frac{nx}{\gamma}}$$

wyrażenie (82. II) na (82. IIa).

Największą bezwzględną wartość osiągają oba wyrażenia dla $x = 0$; u obu wypada wtedy to samo, a mianowicie:

$$(83. II) \quad \text{Max} |V_2|_{y=\frac{b}{2}} = \frac{\pi P \gamma}{4b^2} \left(\frac{1}{m_1} \frac{B_2}{B_1} + \frac{2C}{B_1} + \sqrt{\frac{\bar{B}_2}{\bar{B}_1}} \right)$$

Dla płyty jednolitej i nierównokierunkowej upraszcza się powyższa formuła do postaci:

$$(83. \text{IIa}) \quad M_{ax} |V_2|_{y=\frac{b}{2}} = \frac{P}{2b}$$

Należy zwrócić uwagę, że w drugim krańcowym przypadku liniowego poprzecznego obciążenia $q'b$, rozłożonego równomiernie, staje się odpowiadająca wartość $\max |V_2|$ logarytmicznie nieskończoną.

Nakoniec w III przypadku dojdziemy na podstawie równania (71. III) do następujących wzorów dla momentów zgięcia:

$$(77. \text{III}) \quad \left\{ \begin{aligned} M_1 &= \frac{q'}{\pi} \sum_n \frac{(n_1)}{n^2} \left[\alpha' \left(1 + \frac{1}{m_2} \sqrt{\frac{\bar{B}_1}{\bar{B}_2}} \right) \cos \frac{nx}{\beta'} - \right. \\ &\quad \left. - \beta' \left(1 - \frac{1}{m_2} \sqrt{\frac{\bar{B}_1}{\bar{B}_2}} \right) \sin \frac{nx}{\beta'} \right] e^{-\frac{nx}{\alpha'}} \cos \frac{n\pi y}{b} \\ M_2 &= \frac{q' \bar{B}_2}{\pi \bar{B}_1} \sum_n \frac{(n_1)}{n^2} \left[\alpha' \left(\frac{1}{m_1} + \sqrt{\frac{\bar{B}_1}{\bar{B}_2}} \right) \cos \frac{nx}{\beta'} + \right. \\ &\quad \left. + \beta' \left(\sqrt{\frac{\bar{B}_1}{\bar{B}_2}} - \frac{1}{m_1} \right) \sin \frac{nx}{\beta'} \right] e^{-\frac{nx}{\alpha'}} \cos \frac{n\pi y}{b} \end{aligned} \right.$$

Stąd otrzymujemy dla największych momentów zgięcia wyrażenia

$$(78. \text{III}) \quad \left\{ \begin{aligned} M_{1\max} &= \frac{q'}{\pi} \alpha' \left(1 + \frac{1}{m_2} \sqrt{\frac{\bar{B}_1}{\bar{B}_2}} \right) \sum_n \frac{(n_1)}{n^2}, \\ M_{2\max} &= \frac{q'}{\pi} \alpha' \left(\frac{1}{m_1} + \sqrt{\frac{\bar{B}_1}{\bar{B}_2}} \right) \frac{\bar{B}_2}{\bar{B}_1} \sum_n \frac{(n_1)}{n^2}, \end{aligned} \right.$$

prowadzące znowu do tej samej wartości stosunku $M_{1\max} : M_{2\max}$, co w przypadkach I i II. Dla momentów skręcających wypada formuła:

$$(80. \text{III}) \quad D = - \frac{4q'bC}{\pi^2 \sqrt{\bar{B}_1 \bar{B}_2} - H^2} \sum_n \frac{(n_1)}{n^2} e^{-\frac{nx}{\alpha'}} \sin \frac{nx}{\beta'} \sin \frac{n\pi y}{b},$$

a dla reakcyj podporowych:

$$(81. \text{III}) \quad (V_2)_{y=\frac{b}{2}} = - \frac{q'}{b} \sum_n (-1)^{\frac{n-1}{2}} \frac{(n_1)}{n} \left(\alpha' a \cos \frac{nx}{\beta'} - \beta' b \sin \frac{nx}{\beta'} \right) e^{-\frac{nx}{\alpha'}},$$

jeżeli dla skrócenia napiszemy:

$$a = \frac{1}{m_1} \frac{\bar{B}_2}{\bar{B}_1} + \frac{2C}{\bar{B}_2} + \sqrt{\frac{\bar{B}_2}{\bar{B}_1}}, \quad b = \frac{1}{m_1} \frac{\bar{B}_2}{\bar{B}_1} + \frac{2C}{\bar{B}_1} - \sqrt{\frac{\bar{B}_2}{\bar{B}_1}}.$$

Wyrażenie (81. III) przybiera w krańcowym przypadku ciężaru skupionego P postać następującą:

$$(82. \text{III}) (V_2)_{y=\frac{b}{2}} = -\frac{\pi P}{2b^2} \sum_n (-1)^{\frac{n-1}{2}} \left(\alpha' a \cos \frac{nx}{\beta'} - \beta' b \sin \frac{nx}{\beta'} \right) e^{-\frac{nx}{\alpha'}}$$

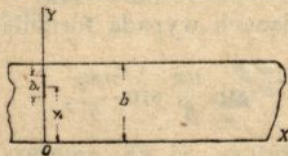
Przy bardzo małych wartościach x można zamiast tego napisać:

$$(V_2)_{y=\frac{b}{2}} \sim -\frac{\pi P}{2b^2} \sum_n (-1)^{\frac{n-1}{2}} \left(\alpha' a - nbx \right) e^{-\frac{nx}{\alpha'}} \sim -\frac{\pi P}{4b^2} \cdot \frac{\alpha' a}{\text{Ch} \frac{\pi}{\alpha'}}$$

jeżeli pominiemy wyższe potęgi x w rozwinięciach dla \sin i \cos . Dla $x=0$ staje się bezwzględna wartość tego wyrażenia największą i dochodzimy znowu do wzoru (83. I III).

§ 13. Rozwiązanie kilku jeszcze przypadków praktycznego znaczenia.

Wychodząc z szczególnego rozwiązania (71), można w stosunkowo bardzo prosty sposób traktować wiele zagadnień płyty nieskończenie długiej. Odpowiadające rozwiązania dadzą się z korzyścią zużytkować do rozwiązania różnych zagadnień płyty prostokątnej skończonej długości, jak to wykaże poniżej § 17. Przedstawiona tam metoda pozwala obejść uciążliwe całkowanie równania różniczkowego powierzchni ugięcia w taki mniej więcej sposób, jak to się dzieje przy zastosowaniu metody „źródeł i wpływów“ do zagadnień hydrodynamicznych.



Rys. 15.

a) Mimośrodkowe poprzeczne obciążenie liniowe $q'b_1$ (rys. 15). Obrawszy początek spólrzędnych na jednym brzegu płyty i przesunawszy oś Y przez linię obciążenia, rozwijamy dane obciążenie na szereg Fourier'a

$$p'(y) = \frac{4q'}{\pi} \sum_n \frac{(n, b_1, y_1)}{n} \sin \frac{n\pi y}{b} \dots (n = 1, 2, 3, \dots),$$

w którym dla skrócenia położono:

$$(n, b_1, y_1) = \sin \frac{n\pi b_1}{2} \sin \frac{n\pi y_1}{b}.$$

Wtedy na podstawie rozwiązania (71) otrzymamy natychmiast

$$(84. I) \quad \zeta = \frac{2q'b^4}{\pi^5 \bar{B}_2} \cdot \frac{1}{\alpha + \beta} \cdot \sum_n \frac{(n, b_1, y_1)}{n^4} \frac{\beta e^{-\frac{nx}{\beta}} - \alpha e^{-\frac{nx}{\alpha}}}{\beta - \alpha} \sin \frac{n\pi y}{b}$$

jako równanie powierzchni ugięcia dla dodatnich wartości x . Dla ujemnych należy postawić $-x$ zamiast x . Przechodząc w granicy do ciężaru skupionego $P = \lim_{(b_1=0)} q'b_1$ znajdziemy z (84. I) równanie prawej połowy powierzchni ugięcia w postaci:

$$(85. I) \quad \zeta = \frac{Pb^3}{\pi^4 \bar{B}_2} \cdot \frac{1}{\alpha + \beta} \sum_n \frac{\sin \frac{n\pi y_1}{b}}{n^3} \frac{\beta e^{-\frac{nx}{\beta}} - \alpha e^{-\frac{nx}{\alpha}}}{\beta - \alpha} \sin \frac{n\pi y}{b}$$

Dla lewej połowy trzeba tylko w powyższym wzorze zastąpić x przez $-x$.

Powyższe równania są ważne dla I przypadku ($H^2 > \bar{B}_1 \bar{B}_2$); w przypadku II przeistaczają się na następujące:

$$(84. II) \quad \zeta = \frac{q'\gamma^3}{\pi \bar{B}_1} \sum_n \frac{(n, b_1, y_1)}{n^4} \left(1 + \frac{nx}{\gamma}\right) e^{-\frac{nx}{\gamma}} \sin \frac{n\pi y}{b}$$

$$(85. II) \quad \zeta = \frac{P\gamma^3}{2b\bar{B}_1} \sum_n \frac{1}{n^3} \sin \frac{n\pi y_1}{b} \cdot \left(1 + \frac{nx}{\gamma}\right) e^{-\frac{nx}{\gamma}} \sin \frac{n\pi y}{b}$$

Postawiwszy

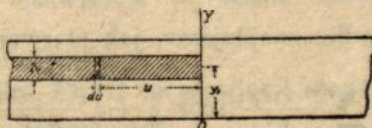
$$\frac{1}{\alpha} = \frac{1}{\alpha'} + i \frac{1}{\beta'}, \quad \frac{1}{\beta} = \frac{1}{\alpha'} - i \frac{1}{\beta'}$$

w odpowiadające równania I przypadku znajdziemy dla przypadku III:

$$(84. III) \quad \zeta = \frac{q'b^2}{\pi^2 \sqrt{\bar{B}_1 \bar{B}_2}} \sum_n \frac{(n, b_1, y_1)}{n^4} \left(\alpha' \cos \frac{nx}{\beta'} + \beta' \sin \frac{nx}{\beta'}\right) e^{-\frac{nx}{\alpha'}} \sin \frac{n\pi y}{b}$$

$$(85. III) \quad \zeta = \frac{Pb}{2\pi^2 \sqrt{\bar{B}_1 \bar{B}_2}} \sum_n \frac{1}{n^3} \sin \frac{n\pi y_1}{b} \left(\alpha' \cos \frac{nx}{\beta'} + \beta' \sin \frac{nx}{\beta'}\right) e^{-\frac{nx}{\alpha'}} \sin \frac{n\pi y}{b}$$

b) Prostokątne, mimośrodkowo leżące obciążenie powierzchniowe q rozciąga się na lewo od osi Y w nie-



Rys. 16.

skończoność (rys. 16). Stosując rozwiązanie poprzedniego zadania do obciążenia elementarnego qb_1 , du , mamy, przy $H^2 > \bar{B}_1\bar{B}_2$, dla rzędnych odpowiadającej powierzchni ugięcia wyrażenie:

$$d\zeta = \frac{2qb^4}{\pi^5 \bar{B}_2} \sum_n \frac{(n, b_1, y_1)}{n^4} \sin \frac{n\pi y}{b} \cdot \frac{\beta e^{-\frac{n(x-u)}{\beta}} - \alpha e^{-\frac{n(x-u)}{\alpha}}}{\beta^2 - \alpha^2} du$$

Całkowanie tego wyrażenia między granicami $u = -\infty$ i $u = 0$ daje

$$(86. I) \quad \zeta = \frac{2qb^4}{\pi^5 \bar{B}_2} \sum_n \frac{(n, b_1, y_1)}{n^5} \cdot \frac{\beta^2 e^{-\frac{nx}{\beta}} - \alpha^2 e^{-\frac{nx}{\alpha}}}{\beta^2 - \alpha^2} \sin \frac{n\pi y}{b}$$

jako równanie powierzchni ugięcia na prawo od osi Y -ów. Dla drugiej połowy powierzchni ugięcia znajdziemy równanie

$$(87. I) \quad \zeta = \frac{2qb^4}{\pi^5 \bar{B}_2} \sum_n \frac{(n, b_1, y_1)}{n^5} \left(2 - \frac{\beta^2 e^{\frac{nx}{\beta}} - \alpha^2 e^{\frac{nx}{\alpha}}}{\beta^2 - \alpha^2} \right) \sin \frac{n\pi y}{b}$$

odjawszy rozwiązanie, otrzymane powyżej i zastosowane do obciążenia prawej połowy płyty, od rozwiązania

$$\zeta = \frac{4qb^4}{\pi^5 \bar{B}_2} \sum_n \frac{(n, b_1, y_1)}{n^5} \sin \frac{n\pi y}{b},$$

widocznego wprost dla przypadku obciążenia paska płyty o szerokości b_1 , rozciągającego się przez całą długość płyty.

W przypadku $H^2 = \bar{B}_1\bar{B}_2$ przekształcają się powyższe równania na następujące:

$$(86. II) \quad \zeta = \frac{2qb^4}{\pi^5 \bar{B}_2} \sum_n \frac{(n, b_1, y_1)}{n^5} \left(1 + \frac{nx}{2\gamma} \right) e^{-\frac{nx}{\gamma}} \sin \frac{n\pi y}{b}$$

$$(87. II) \quad \zeta = \frac{2qb^4}{\pi^5 \bar{B}_2} \sum_n \frac{(n, b_1, y_1)}{n^5} \left[2 - \left(1 - \frac{nx}{2\gamma} \right) e^{\frac{nx}{\gamma}} \right] \sin \frac{n\pi y}{b}$$

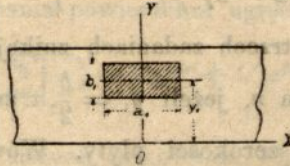
W III przypadku znajdujemy, jak pierwiej, dla $x > 0$

$$(86. III) \quad \zeta = \frac{2qb^4}{\pi^5 \bar{B}_2} \sum_n \frac{(n, b_1, y_1)}{n^5} \left(\cos \frac{nx}{\beta'} + \frac{1}{2} \frac{\beta'^2 - \alpha'^2}{\alpha'\beta'} \sin \frac{nx}{\beta'} \right) e^{-\frac{nx}{\alpha'}} \sin \frac{n\pi y}{b}$$

zaś dla $x < 0$:

$$(87. III) \quad \zeta = \frac{2qb^4}{\pi^5 \bar{B}_2} \sum_n \frac{(n, b_1, y_1)}{n^5} \left[2 - \left(\cos \frac{nx}{\beta'} - \frac{1}{2} \frac{\beta'^2 - \alpha'^2}{\alpha' \beta'} \sin \frac{nx}{\beta'} \right) e^{\frac{nx}{\beta'}} \right] \sin \frac{n\pi y}{b}.$$

e) Mimosrodkowo położone obciążenie prostokątne $qa_1 b_1$ (rys. 17). W ten sam sposób, co w poprzednim za-



Rys. 17.

daniu, znajdujemy dla I przypadku ($H^2 > \bar{B}_1 \bar{B}_2$) równanie powierzchni ugięcia:

$$(88. I) \quad \zeta = \frac{2qb^4}{\pi^5 \bar{B}_2} \sum_n \frac{(n, b_1, y_1)}{n^5} \left[\frac{\beta^2}{\beta^2 - \alpha^2} \left(e^{-\frac{2x-a_1}{2\beta}} - e^{-\frac{2x+a_1}{2\beta}} \right) - \frac{\alpha^2}{\beta^2 - \alpha^2} \left(e^{-\frac{2x-a_1}{2\alpha}} - e^{-\frac{2x+a_1}{2\alpha}} \right) \right] \sin \frac{n\pi y}{b},$$

ważne dla $\frac{a_1}{2} < x < \infty$ i

$$(89. I) \quad \zeta = \frac{2qb^4}{\pi^5 \bar{B}_2} \sum_n \frac{(n, b_1, y_1)}{n^5} \left[2 - \frac{\beta^2}{\beta^2 - \alpha^2} \left(e^{-\frac{2x+a_1}{2\beta}} + e^{-\frac{2x-a_1}{2\beta}} \right) + \frac{\alpha^2}{\beta^2 - \alpha^2} \left(e^{-\frac{2x+a_1}{2\alpha}} + e^{-\frac{2x-a_1}{2\alpha}} \right) \right] \sin \frac{n\pi y}{b}$$

dla $-\frac{a_1}{2} < x < \frac{a_1}{2}$. Na pozostałym obszarze płyty, to jest dla $-\infty < x < -\frac{a_1}{2}$ obowiązuje wyrażenie utworzone z (88. I) przez podstawienie $-x$ zamiast x .

Gdy $H^2 = \bar{B}_1 \bar{B}_2$ (II przypadek), powyższe równania przekształcają się na następujące:

$$(88. II) \quad \zeta = \frac{2qb^4}{\pi^5 \bar{B}_2} \sum_n \frac{(n, b_1, y_1)}{n^5} \left[\left(1 + \frac{n}{2} \cdot \frac{2x - a_1}{2\gamma} \right) e^{-n \frac{2x - a_1}{2\gamma}} - \right. \\ \left. - \left(1 + \frac{n}{2} \frac{2x + a_1}{2\gamma} \right) e^{-n \frac{2x + a_1}{2\gamma}} \right] \sin \frac{n\pi y}{b}$$

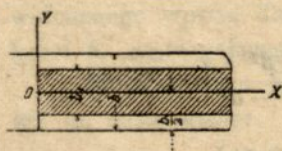
$$(89. II) \quad \zeta = \frac{2qb^4}{\pi^5 \bar{B}_2} \sum_n \frac{(n, b_1, y_1)}{n^5} \left[2 - \left(1 + \frac{n}{2} \frac{a_1 - 2x}{2\gamma} \right) e^{-n \frac{a_1 - 2x}{2\gamma}} - \right. \\ \left. - \left(1 + \frac{n}{2} \frac{a_1 + 2x}{2\gamma} \right) e^{-n \frac{a_1 + 2x}{2\gamma}} \right] \sin \frac{n\pi y}{b}$$

We wszystkich trzech zadaniach znikają wyrazy szeregu odpowiadające parzystym n , jeżeli $y_1 = \frac{b}{2}$, t. zn. gdy obciążenie znajduje się w środku szerokości płyty. Wówczas należy przyjąć $n = 1, 3, 5, \dots$

§ 14. Działanie obciążenia równomiernie rozłożonego w pobliżu krótkich boków, również swobodnie podpartych.

Ogólne rozwiązanie tego zadania różni się nie wiele od rozwiązania w § 12. Przyjęcie Lévy'ego

$$\zeta = \sum_n X \cos \frac{n\pi y}{b}$$



Rys. 18.

($n = 1, 3, 5 \dots$ w przypadku obciążenia poprzecznie symetrycznego) i Fourier'owskie rozwinięcie obciążenia qb_1 (rys. 18) na szereg

$$\frac{4q}{\pi} \sum_n \frac{(n_1)}{n} \cos \frac{n\pi y}{b},$$

w którym jak poprzednio

$$(n_1) = \sin \frac{n\pi b_1}{2b},$$

dają do wyznaczenia funkcji X liniowe równanie różniczkowe:

$$\bar{B}_1 X'' - 2H \left(\frac{n\pi}{b} \right)^2 X'' + \bar{B}_2 \left(\frac{n\pi}{b} \right)^4 X = \frac{4q}{\pi} \frac{(n_1)}{n}$$

Ogólne rozwiązanie tego równania

$$X = \frac{4qb^4}{\pi^5 \bar{B}_2} \frac{(n_1)}{n^5} + C_1 e^{\beta_1 x} + C_2 e^{\beta_2 x} + C_3 e^{\beta_3 x} + C_4 e^{\beta_4 x}$$

z wartościami parametrów

$$\left. \begin{matrix} \beta_1 \\ \beta_2 \end{matrix} \right\} = \frac{n\pi}{b} \sqrt{\frac{H \pm \sqrt{H^2 - \bar{B}_1 \bar{B}_2}}{\bar{B}_1}}; \quad \left. \begin{matrix} \beta_3 \\ \beta_4 \end{matrix} \right\} = -\frac{n\pi}{b} \sqrt{\frac{H \pm \sqrt{H^2 - \bar{B}_1 \bar{B}_2}}{\bar{B}_1}}$$

prowadzi po uwzględnieniu warunku krańcowego $\zeta = 0$ dla $x = \infty$ do następującego równania powierzchni ugięcia:

$$\zeta = \frac{4qb^4}{\pi^5 \bar{B}_2} \sum_n \left[\frac{(n_1)}{n^5} + C'_3 e^{\beta_3 x} + C'_4 e^{\beta_4 x} \right] \cos \frac{n\pi y}{b}$$

Do wyznaczenia stałych całkowania C'_3 i C'_4 służą warunki krańcowe

$$\zeta = 0 \text{ i } \frac{\partial^2 \zeta}{\partial x^2} = 0$$

dla $x = 0$, które dają równania warunkowe:

$$C'_3 + C'_4 = -\frac{(n_1)}{n^5}, \quad C'_3 \beta_3^2 + C'_4 \beta_4^2 = 0$$

Stąd wynika przy użyciu oznaczeń (70):

$$C'_3 = \frac{\alpha^2}{\beta^2 - \alpha^2} \frac{(n_1)}{n^5}, \quad C'_4 = -\frac{\beta^2}{\beta^2 - \alpha^2} \frac{(n_1)}{n^5}$$

Przy rzeczywistych wartościach α i β , t. zn. gdy $H^2 > \bar{B}_1 \bar{B}_2$ (I przypadek), otrzymujemy dla powierzchni ugięcia równanie:

$$(90. I) \quad \zeta = \frac{4qb^4}{\pi^5 \bar{B}_2} \sum_n \frac{(n_1)}{n^5} \left(1 + \frac{\alpha^2 e^{-\frac{n\pi x}{b}} - \beta^2 e^{-\frac{n\pi x}{\beta}}}{\beta^2 - \alpha^2} \right) \cos \frac{n\pi y}{b}$$

Jeżeli $H^2 = \bar{B}_1 \bar{B}_2$ (II przypadek), to powyższe równanie przedstawia się na następująco:

$$(90. II) \quad \zeta = \frac{4qb^4}{\pi^5 \bar{B}_2} \sum_n \frac{(n_1)}{n^5} \left[1 - \left(1 + \frac{1}{2} \frac{n\pi x}{\gamma} \right) e^{-\frac{n\pi x}{\gamma}} \right] \cos \frac{n\pi y}{b}$$

Stała γ ma przytem to samo znaczenie co w § 12 (równanie

71. II). Skoro nakoniec $H^2 < \bar{B}_1 \bar{B}_2$ (przypadek III), to podobnie jak w §§ 12 i 13, znajdujemy:

$$(90. \text{III}) \quad \zeta = \frac{4qb^4}{\pi^5 B_2} \sum \frac{(n_1)}{n^5} \left[1 - \left(\cos \frac{nx}{\beta'} + \right. \right. \\ \left. \left. + \frac{1}{2} \frac{\beta'^2 - \alpha'^2}{\alpha' \beta'} \sin \frac{nx}{\beta'} \right) e^{-\frac{nz}{\alpha'}} \right] \cos \frac{n\pi y}{b}$$

z tem samem, co pierwej, znaczeniem stałych α' i β' . Tutaj można jeszcze nastąpić wyraz $\frac{1}{2} \frac{\beta'^2 - \alpha'^2}{\alpha' \beta'}$ wartością

$$\frac{H}{\sqrt{\bar{B}_1 \bar{B}_2 - H^2}} = \frac{\eta}{\sqrt{1 - \eta^2}}$$

Na podstawie powyższych równań wypadają następujące wzory dla momentów i reakcyj podporowych:

1) przypadek ($H^2 > \bar{B}_1 \bar{B}_2$)

$$(91. \text{I}) \quad \left\{ \begin{aligned} M_1 &= \frac{4qb^2}{\pi^3} \cdot \frac{\bar{B}_1}{\bar{B}_2} \sum \frac{(n_1)}{n^3} \left[\frac{1}{m_2} - \frac{\bar{B}_2}{2\sqrt{H^2 - \bar{B}_1 \bar{B}_2}} \left\{ \left(1 - \frac{\alpha^2 \pi^2}{m_2 b^2} \right) e^{-\frac{nz}{\alpha}} - \right. \right. \right. \\ &\quad \left. \left. - \left(1 - \frac{\beta^2 \pi^2}{m_2 b^2} \right) e^{-\frac{nz}{\beta}} \right\} \right] \cos \frac{n\pi y}{b}, \\ M_2 &= \frac{4qb^2}{\pi^3} \sum \frac{(n_1)}{n^3} \left[1 - \frac{\bar{B}_2}{2\sqrt{H^2 - \bar{B}_1 \bar{B}_2}} \left\{ \left(\frac{\beta^2 \pi^2}{b^2} - \frac{1}{m_1} \right) e^{-\frac{nz}{\beta}} - \right. \right. \\ &\quad \left. \left. - \left(\frac{\alpha^2 \pi^2}{b^2} - \frac{1}{m_1} \right) e^{-\frac{nz}{\alpha}} \right\} \right] \cos \frac{n\pi y}{b}, \end{aligned} \right.$$

$$(92. \text{I}) \quad D = \frac{4qb}{\pi^2} \cdot \frac{C}{\sqrt{H^2 - \bar{B}_1 \bar{B}_2}} \sum \frac{(n_1)}{n^3} \left(\beta e^{-\frac{nz}{\beta}} - \alpha e^{-\frac{nz}{\alpha}} \right) \sin \frac{n\pi y}{b},$$

$$(93. \text{I}) \quad \left\{ \begin{aligned} V_1 &= \frac{2q}{\pi} \sqrt{\frac{\bar{B}_2}{\bar{B}_1}} \sum \frac{(n_1)}{n^2} \left(\beta \varepsilon_1 e^{-\frac{nz}{\alpha}} + \alpha \eta_1 e^{-\frac{nz}{\beta}} \right) \cos \frac{n\pi y}{b}, \\ V_2 &= -\frac{4qb}{\pi^2} \sum \frac{(n_1)}{n^2} \left(1 + \varepsilon_2 e^{-\frac{nz}{\alpha}} - \eta_2 e^{-\frac{nz}{\beta}} \right) \sin \frac{n\pi y}{b}; \end{aligned} \right.$$

(Tutaj wprowadzono następujące oznaczenia:

$$(93a) \left\{ \begin{aligned} \varepsilon_1 &= \frac{\bar{B}_1 - \frac{\alpha^2 \pi^2}{b^2} \left(\frac{\bar{B}_1}{m_2} + 2C \right)}{\sqrt{H^2 - \bar{B}_1 \bar{B}_2}}, & \eta_1 &= \frac{\frac{\beta^2 \pi^2}{b^2} \left(\frac{\bar{B}_1}{m_2} + 2C \right) - \bar{B}_1}{\sqrt{H^2 - \bar{B}_1 \bar{B}_2}}, \\ \varepsilon_2 &= \frac{\left(\frac{\alpha^2 \pi^2}{b^2} - \frac{1}{m_1} \right) \bar{B}_2 - 2C}{2\sqrt{H^2 - \bar{B}_1 \bar{B}_2}}, & \eta_2 &= \frac{\left(\frac{\beta^2 \pi^2}{b^2} - \frac{1}{m_1} \right) \bar{B}_2 - 2C}{2\sqrt{H^2 - \bar{B}_1 \bar{B}_2}}, \end{aligned} \right.$$

przyczem, jak łatwo się przekonać, między ε_2 i η_2 zachodzi związek

$$\varepsilon_2 - \eta_2 = -1)$$

$$(94.I) \left\{ \begin{aligned} R_1 &= - \left(V_1 + \frac{\partial D}{\partial y} \right)_{y=0} = - \frac{2q}{\pi} \sqrt{\frac{\bar{B}_2}{\bar{B}_1}} \left(\alpha \eta'_1 + \beta \varepsilon'_1 \right) \sum_n \frac{\binom{n_1}{n}}{n^2} \cos \frac{n\pi y}{b}, \\ R_2 &= \left(V_2 + \frac{\partial D}{\partial x} \right)_{x=\frac{b}{2}} = - \frac{4qb}{\pi^2} \sum_n \frac{(-1)^{\frac{n-1}{2}} \binom{n-1}{n}}{n^2} \left(1 + \right. \\ &\quad \left. + \varepsilon'_2 e^{-\frac{n\pi}{\alpha}} - \eta'_2 e^{-\frac{n\pi}{\beta}} \right), \end{aligned} \right.$$

Wielkości ε'_1 , η'_1 , ε'_2 , η'_2 , wprowadzone tutaj dla skrócenia, określają równania:

$$(94a) \left\{ \begin{aligned} \varepsilon'_1 &= \frac{\bar{B}_1 - \frac{\alpha^2 \pi^2}{b^2} \left(\frac{\bar{B}_1}{m_2} + 4C \right)}{\sqrt{H^2 - \bar{B}_1 \bar{B}_2}}, & \eta'_1 &= \frac{\frac{\beta^2 \pi^2}{b^2} \left(\frac{\bar{B}_1}{m_2} + 4C \right) - \bar{B}_1}{\sqrt{H^2 - \bar{B}_1 \bar{B}_2}}, \\ \varepsilon'_2 &= \frac{\left(\frac{\alpha^2 \pi^2}{b^2} - \frac{1}{m_1} \right) \bar{B}_2 - 4C}{2\sqrt{H^2 - \bar{B}_1 \bar{B}_2}}, & \eta'_2 &= \frac{\left(\frac{\beta^2 \pi^2}{b^2} - \frac{1}{m_1} \right) \bar{B}_2 - 4C}{2\sqrt{H^2 - \bar{B}_1 \bar{B}_2}} \end{aligned} \right.$$

Nadto jest

$$\alpha \eta'_1 + \beta \varepsilon'_1 = \frac{b}{\pi} \frac{\bar{B}_1}{\bar{B}_2} \cdot \frac{\sqrt{\frac{\bar{B}_2}{\bar{B}_1}} + \frac{4C}{\bar{B}_1} + \frac{1}{m_2}}{\sqrt{\frac{1}{2} \frac{H}{\bar{B}_1}} + \frac{1}{2} \sqrt{\frac{\bar{B}_2}{\bar{B}_1}}}$$

W rogach płyty występuje skupiona reakcja podporowa, skierowana w dół, o bezwzględnej wielkości:

$$(95. I III) \quad \hat{R} = |2D|_{x=0}^{\pm \frac{b}{2}} = \frac{4qb^2}{\pi^3} \cdot \frac{2C}{\bar{B}_2} \cdot \frac{1}{\sqrt{\frac{H}{\frac{1}{2}\bar{B}_2} + \frac{1}{2}\sqrt{\frac{\bar{B}_1}{\bar{B}_2}}}} \cdot \sum_n \frac{(-1)^{\frac{n-1}{2}} (n_1)}{n^3}$$

Wyrażenie dla M_2 można rozłożyć na dwie części według schematu:

$$(96) \quad M_2 = (M_2)_\infty - \mathcal{N}_2$$

Łatwo dowieść, że pierwsza część

$$(M_2)_\infty = \frac{4qb^2}{\pi^3} \sum_n \frac{(n_1)}{n^3} \cos \frac{n\pi y}{b}$$

jest Fourier'owskim rozwinięciem momentu zginającego belki prostej o rozpiętości b i obciążeniu q równomiernie rozłożonem na środkowym odcinku b_1 , który to moment ma w przedziale $0 \leq y \leq \frac{b_1}{2}$ wartość

$$M = \frac{qb_1}{2} \left(\frac{b}{2} - y \right) - \frac{q}{2} \left(\frac{b_1}{2} - y \right)^2,$$

a w przedziale $\frac{b_1}{2} < y \leq \frac{b}{2}$ wartość

$$M = \frac{qb_1}{2} \left(\frac{b}{2} - y \right)$$

Wskutek tego można także wyrażenie dla M , napisać w postaci:

$$(97) \quad M_1 = \frac{1}{m_2} \frac{\bar{B}_1}{\bar{B}_2} (M_2)_\infty - \mathcal{N}_1$$

Wielkości

$$(98. I) \quad \left\{ \begin{array}{l} \mathcal{N}_1 = \frac{4}{\pi^3} \cdot \frac{qb^2 \cdot \bar{B}_1}{2\sqrt{H^2 - \bar{B}_1 \bar{B}_2}} \cdot \sum_n \frac{(n_1)}{n^3} \left[\left(\frac{\beta^2 \pi^2}{m_2 b^2} - 1 \right) e^{-\frac{n\pi}{\beta}} - \right. \\ \left. - \left(\frac{\alpha^2 \pi^2}{m_2 b^2} - 1 \right) e^{-\frac{n\pi}{\alpha}} \right] \cos \frac{n\pi y}{b}, \\ \mathcal{N}_2 = \frac{4}{\pi^3} \cdot \frac{qb^2 \cdot \bar{B}_1}{2\sqrt{H^2 - \bar{B}_1 \bar{B}_2}} \cdot \sum_n \frac{(n_1)}{n^3} \left[\left(\frac{\beta^2 \pi^2}{b^2} - \frac{1}{m_1} \right) e^{-\frac{n\pi}{\beta}} - \right. \\ \left. - \left(\frac{\alpha^2 \pi^2}{b^2} - \frac{1}{m_1} \right) e^{-\frac{n\pi}{\alpha}} \right] \cos \frac{n\pi y}{b} \end{array} \right.$$

ubywają ze wzrostem x tak szybko, że można je pominąć mniej więcej dla $x \geq \frac{3}{2} b_{red}$, jeżeli b_{red} określa, jak pierwiej równanie:

$$b_{red} = b \sqrt{\frac{H}{\bar{B}_2} + \sqrt{\left(\frac{H}{\bar{B}_2}\right)^2 - \frac{\bar{B}_1}{\bar{B}_2}}}$$

Z wyjątkiem krańcowych części o długości około $\frac{3}{2} b_{red}$, zgina się przeto reszta bardzo długiej płyty prawie dokładnie walcowo, a moment zginający M_2 da się obliczyć według elementarnych prawideł statyki. Moment zginający M_1 ma w środkowej części wartość $\frac{1}{m_2} \frac{\bar{B}_1}{\bar{B}_2} M_2$. Ponieważ ∂W_2 jest dodatnie, więc $M_{2max} = (M_2)_\infty$, a zatem dla każdej dokoła swobodnie podpartej płyty prostokątnej o długości $a \geq 3 b_{red}$ można przy powyższym przyjętym sposobie obciążenia obliczać M_{2max} z bardzo dobrym przybliżeniem jak dla płyty nieskończenie długiej. (W praktycznych obliczeniach wytrzymałości wystarczy to nawet przy $a \geq 2 b_{red}$).

Podobnie i wyrażenie dla siły poprzecznej V_2 rozpada się na dwie części, a mianowicie:

$$(99) \quad V_2 = (V_2)_\infty + \varrho_2$$

Tutaj jest

$$(100) \quad (V_2)_\infty = -\frac{4qb}{\pi^2} \sum_n \frac{(n_1)}{n^2} \sin \frac{n\pi y}{b},$$

a ten szereg trygonometryczny określa dokładnie odpowiadającą linię sił poprzecznych belki prostej, obciążonej w powyższym wskazanym sposobie. W przedziale $0 \leq y \leq \frac{b_1}{2}$ jest

$$(V_2)_\infty = -\frac{qb_1}{2} + q \left(\frac{b_1}{2} - y \right),$$

a w przedziale $\frac{b_1}{2} < y \leq \frac{b}{2}$

$$(V_2)_\infty = -\frac{qb_1}{2}$$

Druga część

$$(101. I) \quad \varrho_2 = \frac{4qb}{\pi^2} \sum_n^{(n_1)} \frac{1}{n^2} \left(\eta_2 e^{-\frac{\pi x}{\beta}} - \varepsilon_2 e^{-\frac{\pi x}{\alpha}} \right) \sin \frac{n\pi y}{b}$$

jakoteż V_1 zdąży szybko przy rosnącym x do granicy zero. Rzut oka na wzór (94. I) wystarczy, aby się przekonać, że dla wielkich wartości x znika różnica między reakcją podporową R_2 a $(V_2)_{y=\frac{b}{2}}$ i że R_2 zbliża się do granicy

$$-\frac{4qb}{\pi^2} \sum_n^{n-1} \frac{(-1)^2 (n_1)}{n^2} = -\frac{qb_1}{2}$$

Z przybliżeniem do rogów maleje R_2 bezwzględnie biorąc i w samym rogu znika.

Reakcja podporowa R_1 , odpowiadająca krótszemu bokowi b osiąga maximum bezwzględnej wartości

$$(102. I III) \quad |R_1|_{max} = \frac{2qb}{\pi^2} \sqrt{\frac{\bar{B}_1}{\bar{B}_2}} \cdot \frac{\sqrt{\frac{\bar{B}_2}{\bar{B}_1} + \frac{4C}{\bar{B}_1} + \frac{1}{m_2}}}{\sqrt{\frac{1}{2} \frac{H}{\bar{B}_1} + \frac{1}{2} \sqrt{\frac{\bar{B}_2}{\bar{B}_1}}}} \sum_n^{(n_1)} \frac{1}{n^2} =$$

$$= \frac{2qb}{\pi^2} \frac{\sqrt{\frac{\bar{B}_1}{\bar{B}_2} + \frac{4C}{\bar{B}_2} + \frac{1}{m_2} \frac{\bar{B}_1}{\bar{B}_2}}}{\sqrt{\frac{1}{2} \frac{H}{\bar{B}_2} + \frac{1}{2} \sqrt{\frac{\bar{B}_1}{\bar{B}_2}}}} \sum_n^{(n_1)} \frac{1}{n^2}$$

dla $y=0$, t. j. w środku boku i spada ku rogom aż do zera. W szczególnym przypadku całkowitego obciążenia ($b_1 = b$) jest

$(n_1) = (-1)^{\frac{n-1}{2}}$, szereg nieskończony

$$\sum_n^{n-1} \frac{(-1)^2}{n^2} = \sim 0,917,$$

zaś

$$(103. I III) \quad |R_1|_{max} = 0,1858 qb \frac{\sqrt{\frac{\bar{B}_1}{\bar{B}_2} + \frac{4C}{\bar{B}_2} + \frac{1}{m_2} \frac{\bar{B}_1}{\bar{B}_2}}}{\sqrt{\frac{1}{2} \frac{H}{\bar{B}_2} + \frac{1}{2} \sqrt{\frac{\bar{B}_1}{\bar{B}_2}}}}$$

W granicznym przypadku obciążenia liniowego równomiernego q' osi X -ów ($b_1 = 0$, $\lim qb_1 = q'$) staje się $|R_1|_{\max}$ logarytmicznie nieskończonem.

Całkowita reakcja podporowej prostej b

(104. I III)

$$\bar{R}_1 = 2 \int_0^{\frac{b}{2}} R_1 dy = -\frac{4qb^2}{\pi^3} \frac{\sqrt{\frac{\bar{B}_1}{\bar{B}_2}} + \frac{4C}{\bar{B}_2} + \frac{1}{m_2} \frac{\bar{B}_1}{\bar{B}_2}}{\sqrt{\frac{1}{2} \frac{H}{\bar{B}_2}} + \frac{1}{2} \sqrt{\frac{\bar{B}_1}{\bar{B}_2}}} \sum_n \frac{(-1)^{n-1} (n_1)}{n^3}$$

ma w przypadku całkowitego obciążenia ($b_1 = b$) wartość:

$$(105. I III) \quad \bar{R}_1 = -0,1357 qb^2 \frac{\sqrt{\frac{\bar{B}_1}{\bar{B}_2}} + \frac{4C}{\bar{B}_2} + \frac{1}{m_2} \frac{\bar{B}_1}{\bar{B}_2}}{\sqrt{\frac{1}{2} \frac{H}{\bar{B}_2}} + \frac{1}{2} \sqrt{\frac{\bar{B}_1}{\bar{B}_2}}}$$

a w przypadku liniowego obciążenia $q' = \lim_{(b_1=0)} qb_1$, wartość:

$$(106. I III) \quad \bar{R}_1 = -0,1858 q'b \frac{\sqrt{\frac{\bar{B}_1}{\bar{B}_2}} + \frac{4C}{\bar{B}_2} + \frac{1}{m_2} \frac{\bar{B}_1}{\bar{B}_2}}{\sqrt{\frac{1}{2} \frac{H}{\bar{B}_2}} + \frac{1}{2} \sqrt{\frac{\bar{B}_1}{\bar{B}_2}}}$$

Ostatnie wyrażenie zgadza się, wyjąwszy wielkość q' , z wyrażeniem (103), a zatem: Średnia właściwa reakcja podporowa krótkiego boku jest w tym przypadku dokładnie tak wielką, jak $R_{1\max}$ przy równomiernem obciążeniu całej płyty. Ten wynik jest, jak zobaczymy, ważny także w przypadku II i III.

Podobnie znajdujemy dla narożnej reakcji przy całkowitem obciążeniu:

$$(107. I III) \quad \bar{R} = 0,1357 qb^2 \frac{2C}{\bar{B}_2 \sqrt{\frac{1}{2} \frac{H}{\bar{B}_2}} + \frac{1}{2} \sqrt{\frac{\bar{B}_1}{\bar{B}_2}}}$$

a przy obciążeniu q' osi X -ów:

$$(108. I III) \quad \hat{R} = 0,1858 q'b \cdot \frac{2C}{\bar{B}_2 \sqrt{\frac{1}{2} \frac{H}{\bar{B}_2} + \frac{1}{2} \sqrt{\frac{\bar{B}_1}{\bar{B}_2}}}}$$

II przypadek ($H^2 = \bar{B}_1 \bar{B}_2$)

$$(91. II) \quad \left\{ \begin{aligned} M_1 &= \frac{4qb^2}{\pi^3} \frac{1}{m_2} \frac{\bar{B}_1}{\bar{B}_2} \sum_n^{(n_1)} \frac{1}{n^3} \left\{ 1 - \left[1 - \frac{1}{2} \frac{nx}{\gamma} \left(m_2 \sqrt{\frac{\bar{B}_2}{\bar{B}_1}} - 1 \right) \right] e^{-\frac{nx}{\gamma}} \right\} \cos \frac{n\pi y}{b}, \\ M_2 &= \frac{4qb^2}{\pi^3} \sum_n^{(n_1)} \frac{1}{n^3} \left\{ 1 - \left[1 + \frac{1}{2} \frac{nx}{\gamma} \left(1 - \frac{1}{m_1} \sqrt{\frac{\bar{B}_2}{\bar{B}_1}} \right) \right] e^{-\frac{nx}{\gamma}} \right\} \cos \frac{n\pi y}{b}, \end{aligned} \right.$$

$$(92. II) \quad D = \frac{4qb^2}{\pi^3} \cdot \frac{C}{\bar{B}_2} \sqrt{\frac{\bar{B}_2}{\bar{B}_1}} \sum_n^{(n_1)} \frac{1}{n^3} \left(1 + \frac{nx}{\gamma} \right) e^{-\frac{nx}{\gamma}} \sin \frac{n\pi y}{b};$$

$$(\text{Przytem, jak poprzednio } \gamma = \frac{b}{\pi} \cdot \sqrt{\frac{\bar{B}_1}{\bar{B}_2}})$$

$$(93. II) \quad \left\{ \begin{aligned} V_1 &= \frac{2qb}{\pi^2} \sqrt{\frac{\bar{B}_2}{\bar{B}_1}} \sum_n^{(n_1)} \frac{1}{n^2} \left(\vartheta_1 - \frac{nx}{\gamma} \varphi_1 \right) e^{-\frac{nx}{\gamma}} \cos \frac{n\pi y}{b}, \\ V_2 &= -\frac{4qb}{\pi^2} \sum_n^{(n_1)} \frac{1}{n^2} \left[1 - \left(1 - \frac{1}{2} \frac{nx}{\gamma} \varphi_2 \sqrt{\frac{\bar{B}_2}{\bar{B}_1}} \right) e^{-\frac{nx}{\gamma}} \right] \sin \frac{n\pi y}{b} \end{aligned} \right.$$

(Nowe współczynniki $\vartheta_1, \varphi_1, \varphi_2$ są określone wzorami

$$(93b) \quad \left\{ \begin{aligned} \vartheta_1 &= \sqrt{\frac{\bar{B}_1}{\bar{B}_2}} + \frac{2C}{\bar{B}_2} + \frac{1}{m_2} \frac{\bar{B}_1}{\bar{B}_2}, & \varphi_1 &= \sqrt{\frac{\bar{B}_1}{\bar{B}_2}} + \frac{2C}{\bar{B}_2} - \frac{1}{m_2} \frac{\bar{B}_1}{\bar{B}_2}, \\ \varphi_2 &= \frac{2C}{\bar{B}_2} - \sqrt{\frac{\bar{B}_1}{\bar{B}_2}} + \frac{1}{m_1} \end{aligned} \right.$$

$$(94. II) \quad \left\{ \begin{aligned} R_1 &= -\frac{2qb}{\pi^2} \sqrt{\frac{\bar{B}_2}{\bar{B}_1}} \cdot \vartheta_1 \sum_n^{(n_1)} \frac{1}{n^2} \cos \frac{n\pi y}{b}, \\ R_2 &= -\frac{4qb}{\pi^2} \sum_n^{(-1)^{\frac{n-1}{2}} (n_1)} \frac{1}{n^2} \left[1 - \left(1 - \frac{1}{2} \frac{nx}{\gamma} \varphi_2' \sqrt{\frac{\bar{B}_2}{\bar{B}_1}} \right) e^{-\frac{nx}{\gamma}} \right]. \end{aligned} \right.$$

(Tutaj wprowadzono współczynniki ϑ_1', φ_2' określone pomocą wzorów:

$$(94b) \quad \begin{cases} \vartheta'_1 = \vartheta_1 + \frac{2C}{\bar{B}_2} = \sqrt{\frac{\bar{B}_1}{\bar{B}_2}} + \frac{4C}{\bar{B}_2} + \frac{1}{m_2} \frac{\bar{B}_1}{\bar{B}_2}, \\ \vartheta'_2 = \vartheta_2 + \frac{2C}{\bar{B}_2} = \frac{4C}{\bar{B}_2} - \sqrt{\frac{\bar{B}_1}{\bar{B}_2}} + \frac{1}{m_1}. \end{cases}$$

$$(95. II) \quad \hat{R} = \frac{4qb^2}{\pi^3} \cdot \frac{2C}{\bar{B}_2} \sqrt{\frac{\bar{B}_2}{\bar{B}_1}} \cdot \sum_n \frac{(-1)^{n-1}}{n^3} (n_1)$$

Wyrażenia dla M_1 i M_2 dadzą się oczywiście rozłożyć według tego samego schematu, co w I przypadku. $(M_2)_\infty$ zachowuje przytem tę samą wartość, a wielkości

$$(98. II) \quad \begin{cases} \mathcal{M}_1 = \frac{4qb^2}{\pi^3} \cdot \frac{1}{m_2} \cdot \frac{\bar{B}_1}{\bar{B}_2} \sum_n \frac{(n_1)}{n^3} \left[1 - \frac{1}{2} \frac{nx}{\gamma} \left(m_2 \sqrt{\frac{\bar{B}_2}{\bar{B}_1}} - 1 \right) \right] e^{-\frac{nx}{\gamma} \cos \frac{n\pi y}{b}} \\ \mathcal{M}_2 = \frac{4qb^2}{\pi^3} \sum_n \frac{(n_1)}{n^3} \left[1 + \frac{1}{2} \frac{nx}{\gamma} \left(1 - \frac{1}{m_1} \sqrt{\frac{\bar{B}_2}{\bar{B}_1}} \right) \right] e^{-\frac{nx}{\gamma} \cos \frac{n\pi y}{b}} \end{cases}$$

można pominąć dla $x \geq \frac{3}{2} b_{red}$, przyczem jak w § 12-ym jest $b_{red} = b \sqrt{\frac{\bar{B}_1}{\bar{B}_2}}$. Podobnie ma się rzecz z wyrażeniem dla V_2 , którego druga część w schemacie (99) przybiera teraz postać

$$(101. II) \quad \varrho_2 = \frac{4qb}{\pi^2} \cdot \sum_n \frac{(n_1)}{n^2} \left(1 - \frac{1}{2} \frac{nx}{\gamma} \varphi_1 \sqrt{\frac{\bar{B}_2}{\bar{B}_1}} \right) e^{-\frac{nx}{\gamma} \sin \frac{n\pi y}{b}}$$

i ze wzrostem x tak samo jak V_1 dąży do granicy 0.

Różnica między reakcją podporową R_2 a $(V_2)_{y=\frac{b}{2}}$ znika również dla wielkich wartości x , a R_2 zbliża się do granicy $-\frac{1}{2} qb_1$.

Reakcja podporowa R_1 krótkiego boku b osiąga maximum bezwzględnej wartości

$$(102. II) \quad |R_1|_{max} = \frac{2qb}{\pi^2} \sqrt{\frac{\bar{B}_2}{\bar{B}_1}} \cdot \vartheta'_1 \sum_n \frac{(n_1)}{n^2}$$

w środku boków (dla $y=0$) i zmniejsza się ku rogom płyty aż do zera. W szczególnym przypadku równomiernego obciążenia całej płyty ($b_1 = b$) jest

$$(103. II) \quad |R_1|_{\max} = 0.1858 qb \sqrt[4]{\frac{\bar{B}_2}{\bar{B}_1}} \left(\sqrt{\frac{\bar{B}_1}{\bar{B}_2}} + \frac{4C}{\bar{B}_2} + \frac{1}{m_2} \frac{\bar{B}_1}{\bar{B}_2} \right)^1$$

Całkowita reakcja boku b

$$(104. II) \quad R_1 = 2 \int_0^{\frac{b}{2}} R_1 dy = -\frac{4qb^2}{\pi^3} \sqrt[4]{\frac{\bar{B}_2}{\bar{B}_1}} \vartheta_1' \sum_n \frac{(-1)^{\frac{n-1}{2}} (n_1)}{n^3}$$

ma w przypadku całkowitego obciążenia wartość

$$(105. II) \quad \bar{R}_1 = -0.1357 qb^2 \sqrt[4]{\frac{\bar{B}_2}{\bar{B}_1}} \left(\sqrt{\frac{\bar{B}_1}{\bar{B}_2}} + \frac{4C}{\bar{B}_2} + \frac{1}{m_2} \frac{\bar{B}_1}{\bar{B}_2} \right),$$

a w granicznym przypadku liniowego obciążenia q' wartość

$$(106. II) \quad R_1 = -0.1858 q'b \sqrt[4]{\frac{\bar{B}_2}{\bar{B}_1}} \left(\sqrt{\frac{\bar{B}_1}{\bar{B}_2}} + \frac{4C}{\bar{B}_2} + \frac{1}{m_2} \frac{\bar{B}_1}{\bar{B}_2} \right)$$

Dla narożnej reakcji znajdujemy na koniec przy całkowitem obciążeniu wyrażenie:

$$(107. II) \quad \hat{R} = 0.1357 qb^2 \frac{2C}{\bar{B}_2} \sqrt[4]{\frac{\bar{B}_2}{\bar{B}_1}},$$

a przy obciążeniu q' osi X -ów:

$$(108. II) \quad \hat{R} = 0.1858 q'b \frac{2C}{\bar{B}_2} \sqrt[4]{\frac{\bar{B}_2}{\bar{B}_1}}$$

III przypadek ($H^2 < \bar{B}_1 \bar{B}_2$)²

$$(91. III) \quad \begin{cases} M_1 = \frac{4qb^2}{\pi^2 m_2} \frac{\bar{B}_1}{\bar{B}_2} \sum_n \frac{(n_1)}{n^3} \left[1 - \left(\cos \frac{nx}{\beta'} - \right. \right. \\ \left. \left. - \frac{m_2 \bar{B}_2 - H}{\sqrt{\bar{B}_1 \bar{B}_2 - H^2}} \sin \frac{nx}{\beta'} \right) e^{-\frac{nx}{\alpha'}} \right] \cos \frac{n\pi y}{b}, \end{cases}$$

¹ Uwzględniwszy związek (13a) można wyrażenie $\left(\sqrt{\frac{\bar{B}_1}{\bar{B}_2}} + \frac{4C}{\bar{B}_2} + \frac{1}{m_2} \frac{\bar{B}_1}{\bar{B}_2} \right)$ napisać dla przypadku II w skróconej postaci $\left(3 \sqrt{\frac{\bar{B}_1}{\bar{B}_2} - \frac{1}{m_1}} \right)$.

² $\vartheta_1, \varphi_1, \vartheta_1'$ oznaczają to samo, co we wzorach II-go przypadku.

$$(91. III) \quad \left\{ \begin{aligned} M_2 &= \frac{4qb^2}{\pi^2} \sum_n^{(n_1)} \frac{1}{n^2} \left[1 - \left(\cos \frac{nx}{\beta'} + \right. \right. \\ &\left. \left. + \frac{H - \frac{1}{m_2} \bar{B}_2}{\sqrt{\bar{B}_1 \bar{B}_2 - H^2}} \sin \frac{nx}{\beta'} \right) e^{-\frac{nx}{\alpha'}} \right] \cos \frac{n\pi y}{b}, \end{aligned} \right.$$

$$(92. III) \quad D = \frac{4qb^3}{\pi^4} \cdot \frac{2C}{\bar{B}_2} \sqrt{\frac{\bar{B}_1 \bar{B}_2}{\bar{B}_1 \bar{B}_2 - H^2}} \cdot \sum_n^{(n_1)} \frac{1}{n^3} \left(\frac{1}{\alpha'} \sin \frac{nx}{\beta'} + \right. \\ \left. + \frac{1}{\beta'} \cos \frac{nx}{\beta'} \right) e^{-\frac{nx}{\alpha'}} \sin \frac{n\pi y}{b},$$

$$(93. III) \quad \left\{ \begin{aligned} V_1 &= \frac{2q}{\pi} \sqrt{\frac{\bar{B}_2}{\bar{B}_1}} \sum_n^{(n_1)} \frac{1}{n^2} \left(\alpha' \vartheta_1 \cos \frac{nx}{\beta'} + \beta' \varphi_1 \sin \frac{nx}{\beta'} \right) e^{-\frac{nx}{\alpha'}} \cos \frac{n\pi y}{b}, \\ V_2 &= -\frac{4qb}{\pi^2} \sum_n^{(n_1)} \frac{1}{n^2} \left[1 - \left(\cos \frac{nx}{\beta'} - \right. \right. \\ &\left. \left. - \frac{\frac{1}{m_1} \bar{B}_2 - \frac{1}{m_1} \bar{B}_1}{\sqrt{\bar{B}_1 \bar{B}_2 - H^2}} \sin \frac{nx}{\beta'} \right) e^{-\frac{nx}{\alpha'}} \right] \sin \frac{n\pi y}{b}, \end{aligned} \right.$$

$$(94. III) \quad \left\{ \begin{aligned} R_1 &= -\left(V_1 + \frac{\partial D}{\partial y} \right)_{x=0} = -\frac{2q}{\pi} \alpha' \vartheta_1 \sqrt{\frac{\bar{B}_2}{\bar{B}_1}} \sum_n^{(n_1)} \frac{1}{n^2} \cos \frac{n\pi y}{b}, \\ R_2 &= \left(V_2 + \frac{\partial D}{\partial x} \right)_{y=\frac{b}{2}} = -\frac{4qb}{\pi^2} \sum_n^{(n_1)} \frac{(-1)^{n-1}}{n^2} \left[1 - \left(\cos \frac{nx}{\beta'} - \right. \right. \\ &\left. \left. - \frac{H - \frac{1}{m_2} \bar{B}_1}{\sqrt{\bar{B}_1 \bar{B}_2 - H^2}} \sin \frac{nx}{\beta'} \right) e^{-\frac{nx}{\alpha'}} \right]. \end{aligned} \right.$$

Dla narożnej reakcyi \hat{R} otrzymujemy to samo wyrażenie, co w I przypadku. Po rozłożeniu wyrażeń dla M_1 i M_2 według poprzedniego schematu (96 i 97), wypada ta sama wartość dla $(M_2)_{00}$, a wielkości

$$(98. III) \quad \left\{ \begin{aligned} \partial \kappa_1 &= \frac{4qb^2}{\pi^3} \cdot \frac{1}{m_2} \frac{\bar{B}_1}{\bar{B}_2} \sum_n^{(n_1)} \frac{1}{n^3} \left(\cos \frac{nx}{\beta'} - \right. \\ &\left. - \frac{m_2 \bar{B}_2 - H}{\sqrt{\bar{B}_1 \bar{B}_2 - H^2}} \sin \frac{nx}{\beta'} \right) e^{-\frac{nx}{\alpha'}} \cos \frac{n\pi y}{b}, \end{aligned} \right.$$

$$(98. III) \left\{ \begin{aligned} \mathcal{N}_2 &= \frac{4qb^2}{\pi^2} \sum_n \frac{(n_1)}{n^2} \left(\cos \frac{nx}{\beta'} + \right. \\ &\quad \left. + \frac{H - \frac{1}{m_1} \bar{B}_2}{\sqrt{\bar{B}_1 \bar{B}_2 - H^2}} \sin \frac{nx}{\beta'} \right) e^{-\frac{nx}{\alpha'}} \cos \frac{n\pi y}{b}. \end{aligned} \right.$$

stają się dla

$$x \geq \frac{3}{2} b_{rod} = \frac{3}{2} \sqrt{\frac{b}{\frac{1}{2} \sqrt{\frac{\bar{B}_2}{\bar{B}_1}} + \frac{1}{2} \frac{H}{\bar{B}_1}}}$$

io. § 12) tak małemi, że można je pominąć zupełnie. Całkiem podobnie zachowuje się wyrażenie $V_2 = (V_2)_{\infty} + \mathcal{Q}'_2$, w którym \mathcal{Q}'_2 ma teraz wartość

$$(101. III) \quad \mathcal{Q}'_2 = \frac{4qb}{\pi^2} \sum_n \frac{(n_1)}{n^2} \left(\cos \frac{nx}{\beta'} - \right. \\ \left. - \frac{1}{2} \frac{\frac{1}{m_1} \bar{B}_2 - \frac{1}{m_2} \bar{B}_1}{\sqrt{\bar{B}_1 \bar{B}_2 - H^2}} \sin \frac{nx}{\beta'} \right) e^{-\frac{nx}{\alpha'}} \sin \frac{n\pi y}{b},$$

zdąża, zarówno jak V_1 , ze wzrostem x do granicy 0.

Różnica $R_2 - (V_2)_{y=\frac{b}{2}}$ znika również dla wszelkich wartości

x , a R_2 zbliża się do granicy $-\frac{qb_1}{2}$.

Pozostałe wielkości $|R_1|_{max}$, R_1 i \hat{R} są określone temi samemi wyrażeniami, co w I przypadku (rów. 102. I, III do 108. I, III).

We wszystkich trzech przypadkach nie roztrząsaliśmy dotąd kwestyi największości M_1 . Zważywszy, że ze względu na obliczenia wytrzymałości nie można jej zupełnie pominąć, spróbujemy teraz wyznaczyć miejsce, gdzie panuje M_{1max} i w przybliżeniu obliczyć jego wielkość dla II przypadku.

Różniczkowanie wyrażenia dla M_1 (91. II) daje:

$$\frac{\partial M_1}{\partial x} = \frac{2qb^2}{\pi^2 \gamma} \frac{1}{m_2 \bar{B}_2} \sum_n \frac{(n_1)}{n^2} \left[m_2 \sqrt{\frac{\bar{B}_2}{\bar{B}_1}} + 1 - \frac{nx}{\gamma} \left(m_2 \sqrt{\frac{\bar{B}_2}{\bar{B}_1}} - 1 \right) \right] e^{-\frac{nx}{\gamma}} \frac{n\pi y}{b}$$

Jak stąd widać, istnieje $M_{1\max}$ pod warunkiem

$$m_2 \sqrt{\frac{\bar{B}_2}{\bar{B}_1}} > 1,$$

który z reguły się spełnia, albowiem w rozpatrywanych przypadkach stosuje się celowo tylko płyty o wartości $\bar{B}_2 \geq \bar{B}_1$. Z drugiego warunku $\frac{\partial M_1}{\partial y} = 0$ wynika dla szukanego miejsca $y = 0$, a zatem x należy obliczyć z równania

$$\sum \frac{(\nu_1)}{n^2} \left[\sqrt{\frac{\bar{B}_2}{\bar{B}_1}} + \frac{1}{m_2} - \frac{nx}{\gamma} \left(\sqrt{\frac{\bar{B}_1}{\bar{B}_2}} - \frac{1}{m_2} \right) \right] e^{-\frac{nx}{\gamma}} = 0$$

Poprzestając wskutek silnej zbieżności tego szeregu na pierwszym wyrazie, otrzymujemy następującą przybliżoną wartość szukanego pierwiastka:

$$x \approx \sim \frac{b}{\pi} \sqrt{\frac{\bar{B}_1}{\bar{B}_2}} \cdot \frac{\sqrt{\frac{\bar{B}_2}{\bar{B}_1}} + \frac{1}{m_2}}{\sqrt{\frac{\bar{B}_2}{\bar{B}_1}} - \frac{1}{m_2}}$$

Nie trudno zauważyć, że to wyrażenie byłoby dokładną wartością dla szukanego x , gdyby obciążenie było rozłożone według prawa

$$p = p_0 \cos \frac{\pi y}{b}$$

Im większe jest zatem \bar{B}_2 w porównaniu do \bar{B}_1 , tem bliżej przysuwa się miejsce największego momentu M_1 do krótkiego boku. Tak np. otrzymujemy przy $m_2 = 6$ i

$$\begin{array}{rcc} \frac{\bar{B}_2}{\bar{B}_1} = & 1 & 4 & 9 \\ \frac{x}{b} = & 0,446 & 0,266 & 0,205 \end{array}$$

Odpowiadającą przybliżoną wartością największego momentu jest

$$M_{1\max} \approx \sim \frac{4}{\pi^3} q b^2 \frac{1}{m_2} \frac{\bar{B}_1}{\bar{B}_2} \sin \frac{\pi}{2} \frac{b_1}{b} \left[1 + \frac{1}{2} \left(m_2 \sqrt{\frac{\bar{B}_2}{\bar{B}_1}} - 1 \right) e^{-\frac{x_0}{\gamma}} \right],$$

przyczem

$$\frac{x_0}{\gamma} = \frac{\sqrt{\frac{\bar{B}_2}{\bar{B}_1}} + \frac{1}{m_2}}{\sqrt{\frac{\bar{B}_2}{\bar{B}_1}} - \frac{1}{m_2}}$$

Przy pomocy tego wzoru otrzymujemy dla

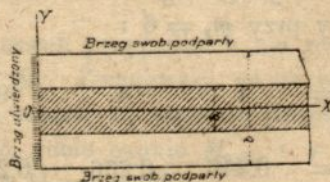
| | | | |
|---------------------------------|------|------|------|
| $\frac{\bar{B}_2}{\bar{B}_1} =$ | 1 | 4 | 9 |
| $\frac{M_{1max}}{qb^2} =$ | 28,7 | 69,1 | 111 |
| $\frac{M_{1max}}{q'b} =$ | 18,3 | 44,0 | 70,6 |

Pierwszy szereg obliczonych tutaj wartości odnosi się do przypadku zupełnego obciążenia przez q (kg/m²), drugi zaś do drugiego przypadku liniowego obciążenia q' (kg/m) w osi X -ów. W ostatnim przypadku będzie widocznie stopień przybliżenia obliczenia niższym.

Wogóle powyższe cyfry dowodzą, że największe wartości momentów M_1 stają się tem mniejsze i zbliżają się tem bardziej do krótkiego boku, im większe jest \bar{B}_2 w porównaniu do \bar{B}_1 .

§ 15. Działanie obciążenia równomiernie rozłożonego w pobliżu krótkich boków doskonale utwierdzonych (rys. 19).

Ogólne rozwiązanie poprzedniego paragrafu



Rys. 19.

$$\zeta = \frac{4qb^4}{\pi^5 \bar{B}_2} \sum_n \left[\frac{(n_1)}{n^5} + C_3 e^{\beta x} + C_4 e^{\beta x} \right] \cos \frac{n\pi y}{b}$$

nie traci ważności, trzeba tylko odpowiednio do nowych warunków krańcowych dobrać wartości stałych całkowania C_3 i C_4 . Z powodu zupełnego utwierdzenia brzegu $x=0$ musi być dla $x=0$, $\zeta=0$ i $\frac{\partial \zeta}{\partial x}=0$; stąd równania warunkowe:

$$C_3 + C_4 = -\frac{(n_1)}{n^5},$$

$$\beta_2 C_3 + \beta_4 C_4 = 0,$$

a z nich po rozwiązaniu

$$C_3 = \frac{\alpha}{\beta - \alpha} \frac{(n_1)}{n^5}, \quad C_4 = -\frac{\beta}{\beta - \alpha} \frac{(n_1)}{n^5},$$

jeżeli, jak w §§ 12 do 14, stałe α i β określa równanie (70).

Przy rzeczywistych wartościach α i β , t. zn. gdy $H^2 > \bar{B}_1 \bar{B}_2$ (przyp. I) wypada dla powierzchni ugięcia równanie:

$$(109. I) \quad \zeta = \frac{4qb^4}{\pi^5 \bar{B}_2} \sum_n \frac{(n_1)}{n^5} \left(1 + \frac{\alpha e^{-\frac{nx}{\alpha}} - \beta e^{-\frac{nx}{\beta}}}{\beta - \alpha} \right) \cos \frac{n\pi y}{b}$$

W przypadku II ($H^2 = \bar{B}_1 \bar{B}_2$) jest

$$(109. II) \quad \zeta = \frac{4qb^4}{\pi^5 \bar{B}_2} \sum_n \frac{(n_1)}{n^5} \left[1 - \left(1 + \frac{nx}{\gamma} \right) e^{-\frac{nx}{\gamma}} \right] \cos \frac{n\pi y}{b},$$

a w przypadku III ($H^2 < \bar{B}_1 \bar{B}_2$):

$$(109. III) \quad \zeta = \frac{4qb^2}{\pi^5 \bar{B}_2} \sum_n \frac{(n_1)}{n^5} \left[1 - \left(\cos \frac{nx}{\beta'} + \frac{\beta'}{\alpha'} \sin \frac{nx}{\beta'} \right) e^{-\frac{nx}{\alpha'}} \right] \cos \frac{n\pi y}{b},$$

przy tem samym znaczeniu stałych α' , β' , γ , co w poprzednich paragrafach.

Na podstawie tych równań wyprowadzono następujące wzory dla momentów, sił poprzecznych i reakcyj podporowych:

I przypadek ($H^2 > \bar{B}_1 \bar{B}_2$).

$$(110. I) \quad \left\{ \begin{aligned} M_1 &= \frac{4qb^2}{\pi^2} \cdot \frac{1}{m_2} \frac{\bar{B}_1}{\bar{B}_2} \sum_n \frac{(n_1)}{n^3} \left[1 + \frac{\pi^2 \alpha^2 - m_2 b^2}{\pi^2 \alpha (\beta - \alpha)} e^{-\frac{nx}{\alpha}} - \right. \\ &\quad \left. - \frac{\pi^2 \beta^2 - m_2 b^2}{\pi^2 \beta (\beta - \alpha)} e^{-\frac{nx}{\beta}} \right] \cos \frac{n\pi y}{b}, \end{aligned} \right.$$

$$(110. I) \left\{ \begin{aligned} M_2 &= \frac{4qb^2}{\pi^3} \sum_n \frac{(n_1)}{n^3} \left[1 + \frac{\pi^2 \alpha^2 m_1 - b^2}{\pi^2 \alpha (\beta - \alpha) m_1} \cdot e^{-\frac{n\pi}{\alpha}} - \right. \\ &\quad \left. - \frac{\pi^2 \beta^2 m_1 - b^2}{\pi^2 \beta (\beta - \alpha) m_1} e^{-\frac{n\pi}{\beta}} \right] \cos \frac{n\pi y}{b}; \end{aligned} \right.$$

$$(111. I) \quad D = \frac{4qb^2}{\pi^3} \cdot \frac{2C}{\bar{B}_2} \cdot \frac{b}{\pi(\beta - \alpha)} \sum_n \frac{(n_1)}{n^3} \left(e^{-\frac{n\pi}{\beta}} - e^{-\frac{n\pi}{\alpha}} \right) \sin \frac{n\pi y}{b}$$

$$(112. I) \left\{ \begin{aligned} V_1 &= \frac{4qb^2}{\pi^3(\beta - \alpha)} \cdot \frac{\bar{B}_1}{\bar{B}_2} \sum_n \frac{(n_1)}{n^2} \left[\left(\frac{2C}{\bar{B}_1} + \frac{1}{m_2} - \frac{b^2}{\pi^2 \beta^2} \right) e^{-\frac{n\pi}{\beta}} - \right. \\ &\quad \left. - \left(\frac{2C}{\bar{B}_1} + \frac{1}{m_2} - \frac{b^2}{\pi^2 \alpha^2} \right) e^{-\frac{n\pi}{\alpha}} \right] \cos \frac{n\pi y}{b}, \\ V_2 &= -\frac{4qb}{\pi^2} \sum_n \frac{(n_1)}{n^2} \left[1 + \left(1 + \frac{\beta}{\alpha} \right) \varepsilon_2 e^{-\frac{n\pi}{\alpha}} - \right. \\ &\quad \left. - \left(1 + \frac{\alpha}{\beta} \right) \eta_2 e^{-\frac{n\pi}{\beta}} \right] \sin \frac{n\pi y}{b}; \end{aligned} \right.$$

$$(113. I) \left\{ \begin{aligned} R_1 &= -\left(V_1 + \frac{\partial D}{\partial y} \right)_{y=0} = -\frac{4q(\alpha + \beta)}{\pi} \sum_n \frac{(n_1)}{n^2} \cos \frac{n\pi y}{b}, \\ R_2 &= \left(V_2 + \frac{\partial D}{\partial x} \right)_{x=\frac{b}{2}} = -\frac{4qb}{\pi^2} \sum_n \frac{(-1)^{\frac{n-1}{2}} (n_1)}{n^2} \left[1 + \right. \\ &\quad \left. + \left(1 + \frac{\beta}{\alpha} \right) \varepsilon'_2 e^{-\frac{n\pi}{\alpha}} - \left(1 + \frac{\alpha}{\beta} \right) \eta'_2 e^{-\frac{n\pi}{\beta}} \right]. \end{aligned} \right.$$

Wielkości pomocnicze ε_2 , η_2 ; ε'_2 , η'_2 mają tutaj to samo znaczenie, co w rów. (93. I) i (94. I).

Naróżnej reakcyi \hat{R} nie ma obecnie wcale, a wyrażenia dla M_1 i M_2 dadzą się tak samo, jak w § 14, rozłożyć podług schematu (97), względnie (96). $(M_2)_\infty$ pozostaje przytem niezmienione, a wielkości

¹ To równanie da się napisać w wygodniejszej postaci, skoro w wprowadzonym poniżej wzorze (139. I) (dla V_2) podstawimy $\omega_n = 1$. Podobnie ma się rzecz z wyrażeniem dla R_2 (113. I), które wypływa w ten sam sposób z (143. I).

$$(114. I) \quad \left\{ \begin{aligned} \partial \bar{N}_1 &= \frac{4}{\pi^5} q b^2 \frac{1}{m_2} \frac{\bar{B}_1}{\bar{B}_2} \sum_n^{(n_1)} \left[\frac{b^2}{\alpha(\beta-\alpha)} \left(\frac{\pi^2 \alpha^2}{b^2} - m_2 \right) e^{-\frac{n\pi x}{\alpha}} - \right. \\ &\quad \left. - \frac{b^2}{\beta(\beta-\alpha)} \left(\frac{\pi^2 \beta^2}{b^2} - m_2 \right) e^{-\frac{n\pi x}{\beta}} \right] \cos \frac{n\pi y}{b}, \\ \partial \bar{N}_2 &= \frac{4}{\pi^5} q b^2 \sum_n^{(n_1)} \left[\frac{b^2}{\alpha(\beta-\alpha)} \left(\frac{\pi^2 \alpha^2}{b^2} - \frac{1}{m_1} \right) e^{-\frac{n\pi x}{\alpha}} - \right. \\ &\quad \left. - \frac{b^2}{\beta(\beta-\alpha)} \left(\frac{\pi^2 \beta^2}{b^2} - \frac{1}{m_1} \right) e^{-\frac{n\pi x}{\beta}} \right] \cos \frac{n\pi y}{b} \end{aligned} \right.$$

ubywają tak szybko ze wzrostem x , że można je pominąć dla $x \cong \frac{2}{3} b_{red}$ (przy poprzednim znaczeniu b_{red}).

Dla momentów utwierdzających krótkiego boku znajdujemy z (110. I):

$$(115) \quad (M_1)_{x=0} = -\frac{4qb^2}{\pi^3} \sqrt{\frac{\bar{B}_1}{\bar{B}_2}} \sum_n^{(n_1)} \frac{\cos \frac{n\pi y}{b}}{n^3}.$$

Jest to, bezwzględnie biorąc, dokładnie $\sqrt{\frac{\bar{B}_1}{\bar{B}_2}}$ — krotna odpowiadająca wielkość $(M_2)_\infty$. A zatem: Diagram momentów utwierdzenia wzdłuż brzegu b jest geometrycznie podobny diagramowi momentów zgięcia M_2 w odległych przekrojach płyty równoległych do osi V , w których zgięcie można uważać za walcowe.

W szczególnym przypadku $\bar{B}_1 = \bar{B}_2$ stają się oba diagramy przystające. Ten wynik otrzymał już dr inż. Nádaí dla całkowitego obciążenia równomiernego w przytoczonej powyżej monografii.

Podobnie, jak dla momentów zgięcia, można wyrażenie dla V_2 napisać w postaci:

$$V_2 = (V_2)_\infty + \varpi_2$$

jeżeli

$$(116. I) \quad \varpi_2 = -\frac{4qb}{\pi^2} \sum_n^{(n_1)} \frac{\left[\left(1 + \frac{\beta}{\alpha}\right) \varepsilon_2 e^{-\frac{n\pi x}{\alpha}} - \left(1 + \frac{\alpha}{\beta}\right) \eta_2 e^{-\frac{n\pi x}{\beta}} \right] \sin \frac{n\pi y}{b}}{n^2}.$$

Ta wielkość zdąży ze wzrostem x do granicy 0, tak samo jak V_1 .

Siła poprzeczna nie znika, jak w poprzedzającym zadaniu, dla $x=0$, lecz przybiera wartość:

$$(117. I, III) \quad (V_2)_{x=0} = -\frac{4qb}{\pi^2} \sqrt{\frac{\bar{B}_2}{\bar{B}_1}} \left(\frac{1}{m_1} + \frac{2C}{\bar{B}_2} \right) \sum_n^{(n_1)} \frac{\sin \frac{n\pi y}{b}}{n^2}.$$

Podobnie ma reakcja podporowa w wierzchołkach płyty wartość:

$$(118. I, III) \quad (R_2)_{x=0} = -\frac{4qb}{\pi^2} \sqrt{\frac{\bar{B}_2}{\bar{B}_1}} \left(\frac{1}{m_1} + \frac{2C}{\bar{B}_2} \right) \sum_n \frac{(-1)^{\frac{n-1}{2}} (n_1)}{n^2}$$

Dla wielkich wartości x znika różnica między reakcją podporową R_2 a siłą poprzeczną $(V_2)_{y=\frac{b}{2}}$ i obie wielkości zbliżają się do tej samej granicy $-\frac{qb_1}{2}$.

Reakcja podporowa R_1 krótkiego boku b osiąga, bezwzględnie biorąc, największą wartość:

$$(119. I, III) \quad |R_1|_{max} = \frac{4^*}{\pi} q (\alpha + \beta) \sum_n \frac{(n_1)}{n^2} = \frac{8qb}{\pi^2} \sqrt{\frac{1}{2} \frac{H}{\bar{B}_2} + 1} \sqrt{\frac{\bar{B}_1}{\bar{B}_2}} \sum_n \frac{(n_1)}{n^2}$$

dla $y=0$ i spada ku wierzchołkom aż do zera. W szczególnym przypadku obciążenia całkowitego ($b_1 = b$) jest

$$(120. I, III) \quad |R_1|_{max} = 1,1676 q (\alpha + \beta) = 0,743 qb \sqrt{\frac{1}{2} \frac{H}{\bar{B}_2} + 1} \sqrt{\frac{\bar{B}_1}{\bar{B}_2}}$$

W granicznym przypadku liniowego obciążenia $q' = \lim_{(b_1=0)} qb_1$ osi X -ów staje się R_{1max} logarytmicznie nieskończonem.

Całkowita reakcja boku b :

$$(121. I, III) \quad \bar{R}_1 = 2 \int_0^b R_1 dy = -\frac{8}{\pi^2} qb (\alpha + \beta) \sum_n \frac{(-1)^{\frac{n-1}{2}} (n_1)}{n^3}$$

ma w przypadku $b_1 = b$ wartość

$$(122. I, III) \quad \bar{R}_1 = -0,8528 qb (\alpha + \beta) = -0,543 qb^2 \sqrt{\frac{1}{2} \frac{H}{\bar{B}_2} + 1} \sqrt{\frac{\bar{B}_1}{\bar{B}_2}}$$

a w granicznym przypadku liniowego obciążenia q' ma wartość

$$(123. I, III) \quad \bar{R}_1 = -1,1676 q' (\alpha + \beta) = -0,743 q'b \sqrt{\frac{1}{2} \frac{H}{\bar{B}_2} + 1} \sqrt{\frac{\bar{B}_1}{\bar{B}_2}}$$

II przypadek ($H^2 = \bar{B}_1 \bar{B}_2$).

$$(110. II) \quad \left\{ \begin{aligned} M_1 &= \frac{4qb^2}{\pi^3} \frac{1}{m_2} \cdot \frac{\bar{B}_1}{\bar{B}_2} \sum_n \frac{(n_1)}{n^3} \left[1 - \left\{ m_2 \sqrt{\frac{\bar{B}_2}{\bar{B}_1}} + \right. \right. \\ &\quad \left. \left. + 1 - \left(m_2 \sqrt{\frac{\bar{B}_2}{\bar{B}_1}} - 1 \right) \frac{nx}{\gamma} \right\} e^{-\frac{nx}{\gamma}} \right] \cos \frac{n\pi y}{b}, \end{aligned} \right.$$

$$(110. II) \quad \left\{ \begin{aligned} M_2 = & \frac{4qb^2}{\pi^3} \sum_n^{(n_1)} \left[1 - \left\{ 1 + \frac{1}{m_1} \sqrt{\frac{\bar{B}_2}{\bar{B}_1}} + \right. \right. \\ & \left. \left. + \left(1 - \frac{1}{m_1} \sqrt{\frac{\bar{B}_2}{\bar{B}_1}} \right) \frac{nx}{\gamma} \right\} e^{-\frac{nx}{\gamma}} \right] \cos \frac{n\pi y}{b}, \end{aligned} \right.$$

$$(111. II) \quad D = \frac{4qb^2}{\pi^3} \cdot \frac{2C}{\bar{B}_2} \sqrt{\frac{\bar{B}_2}{\bar{B}_1}} \sum_n^{(n_1)} \frac{nx}{n^2 \gamma} e^{-\frac{nx}{\gamma}} \sin \frac{n\pi y}{b},$$

$$(112. II) \quad \left\{ \begin{aligned} V_1 = & \frac{4qb}{\pi^2} \sqrt{\frac{\bar{B}_1}{\bar{B}_2}} \sum_n^{(n_1)} \frac{1}{n^2} \left[2 - \left\{ 1 - \right. \right. \\ & \left. \left. - \sqrt{\frac{\bar{B}_1}{\bar{B}_2}} \left(\frac{2C}{\bar{B}_1} + \frac{1}{m_2} \right) \right\} \frac{nx}{\gamma} \right] e^{-\frac{nx}{\gamma}} \cos \frac{n\pi y}{b}, \\ V_2 = & -\frac{4qb}{\pi^2} \sum_n^{(n_1)} \frac{1}{n^2} \left\{ 1 - \left[1 + \sqrt{\frac{\bar{B}_2}{\bar{B}_1}} \left(\frac{2C}{\bar{B}_2} + \frac{1}{m_1} \right) + \right. \right. \\ & \left. \left. + \left\{ 1 - \sqrt{\frac{\bar{B}_2}{\bar{B}_1}} \left(\frac{2C}{\bar{B}_2} + \frac{1}{m_1} \right) \right\} \frac{nx}{\gamma} \right] e^{-\frac{nx}{\gamma}} \right\} \sin \frac{n\pi y}{b}, \end{aligned} \right.$$

$$(113. II) \quad \left\{ \begin{aligned} R_1 = & -\frac{8qb}{\pi^2} \sqrt{\frac{\bar{B}_1}{\bar{B}_2}} \sum_n^{(n_1)} \frac{1}{n^2} \cos \frac{n\pi y}{b}, \\ R_2 = & -\frac{4qb}{\pi^2} \sum_n^{(n_1)} \frac{(-1)^{n-1}}{n^2} \left\{ 1 - \left[1 + \sqrt{\frac{\bar{B}_2}{\bar{B}_1}} \left(\frac{4C}{\bar{B}_2} + \frac{1}{m_1} \right) + \right. \right. \\ & \left. \left. + \left\{ 1 - \sqrt{\frac{\bar{B}_2}{\bar{B}_1}} \left(\frac{4C}{\bar{B}_2} + \frac{1}{m_1} \right) \right\} \frac{nx}{\gamma} \right] e^{-\frac{nx}{\gamma}} \right\} \end{aligned} \right.$$

Dla momentów utwierdzających brzegu $x=0$ wypada z wzoru dla M_1 to samo wyrażenie (115) co w I przypadku. Formuły dla $(V_2)_{x=0}$ i $(R_2)_{x=0}$ pozostają też bez zmiany, a reszta wzorów (119 do 123) upraszcza się do następujących postaci:

$$(119. II) \quad \left\{ R_1 \right\}_{\max} = \frac{8qb}{\pi^2} \sqrt{\frac{\bar{B}_1}{\bar{B}_2}} \sum_n^{(n_1)} \frac{1}{n^2}$$

$$(120. II) \quad \left\{ R_1 \right\}_{\max}^{(b_1=b)} = 0,7432 qb \sqrt{\frac{\bar{B}_1}{\bar{B}_2}}$$

$$(121. II) \quad R_1 = -\frac{16 qb^2}{\pi^3} \sqrt{\frac{\bar{B}_1}{\bar{B}_2}} \sum_n \frac{(-1)^{\frac{n-1}{2}} (n_1)}{n^3}$$

$$(122. II) \quad R_{1(b_1=b)} = -0,543 qb^2 \sqrt{\frac{\bar{B}_1}{\bar{B}_2}}$$

$$(123. II) \quad \bar{R}_{1(iim \ qb_1=q')}^{(n_1=0)} = -0,743 q'b \sqrt{\frac{\bar{B}_1}{\bar{B}_2}}$$

Ostatnie wzory dostarczają kilku prostych reguł dla zastosowań praktycznych.

III przypadek ($H^2 < \bar{B}_1 \bar{B}_2$).

$$(110. III) \quad \left\{ \begin{aligned} M_1 &= \frac{4qb^2}{\pi^3} \frac{1}{m_2} \frac{\bar{B}_1}{\bar{B}_2} \sum_n \frac{(n_1)}{n^3} \left\{ 1 - \left[\left(m_2 \sqrt{\frac{\bar{B}_2}{\bar{B}_1}} + 1 \right) \cos \frac{nx}{\beta'} - \right. \right. \\ &\quad \left. \left. - \frac{\beta'}{\alpha'} \left(m_2 \sqrt{\frac{\bar{B}_2}{\bar{B}_1}} - 1 \right) \sin \frac{nx}{\beta'} \right] e^{-\frac{nx}{\alpha'}} \right\} \cos \frac{n\pi y}{b}, \\ M_2 &= \frac{4qb^2}{\pi^3} \sum_n \frac{(n_1)}{n^3} \left\{ 1 - \left[\left(1 + \frac{1}{m_1} \sqrt{\frac{\bar{B}_2}{\bar{B}_1}} \right) \cos \frac{nx}{\beta'} + \right. \right. \\ &\quad \left. \left. + \frac{\beta'}{\alpha'} \left(1 - \frac{1}{m_1} \sqrt{\frac{\bar{B}_2}{\bar{B}_1}} \right) \sin \frac{nx}{\beta'} \right] e^{-\frac{nx}{\alpha'}} \right\} \cos \frac{n\pi y}{b}, \end{aligned} \right.$$

$$(111. III) \quad D = \frac{4qb^2}{\pi^3} \frac{2C}{\bar{B}_2} \sqrt{\frac{\bar{B}_2}{\bar{B}_1}} \sum_n \frac{(n_1)}{n^3} \frac{\pi\beta'}{b} e^{-\frac{nx}{\alpha'}} \sin \frac{nx}{\beta'} \sin \frac{n\pi y}{b},$$

$$(112. III) \quad \left\{ \begin{aligned} V_1 &= \frac{4qb}{\pi^2} \sqrt{\frac{\bar{B}_1}{\bar{B}_2}} \sum_n \frac{(n_1)}{n^2} \left[\frac{2b}{\pi\alpha'} \cos \frac{nx}{\beta'} - \right. \\ &\quad \left. - \frac{\pi\beta'}{2b} \left(\frac{1}{m_1} \frac{\bar{B}_2}{\bar{B}_1} - \frac{1}{m_2} \right) \sin \frac{nx}{\beta'} \right] e^{-\frac{nx}{\alpha'}} \cos \frac{n\pi y}{b}, \\ V_2 &= -\frac{4qb}{\pi^2} \sum_n \frac{(n_1)}{n^2} \left\{ 1 - \left[\left(1 + \sqrt{\frac{\bar{B}_2}{\bar{B}_1}} \left(\frac{2C}{\bar{B}_2} + \frac{1}{m_1} \right) \right) \cos \frac{nx}{\beta'} + \right. \right. \\ &\quad \left. \left. + \frac{\beta'}{\alpha'} \left(1 - \sqrt{\frac{\bar{B}_2}{\bar{B}_1}} \left(\frac{2C}{\bar{B}_2} + \frac{1}{m_1} \right) \right) \sin \frac{nx}{\beta'} \right] e^{-\frac{nx}{\alpha'}} \right\} \sin \frac{n\pi y}{b}, \end{aligned} \right.$$

$$\begin{aligned}
 R_1 &= -\frac{8qb^2}{\pi^2\alpha'} \sqrt{\frac{\bar{B}_1}{\bar{B}_2}} \sum_n^{(n_1)} \frac{1}{n^2} \cos \frac{n\pi y}{b} = \\
 &= -\frac{8qb}{\pi^2} \sqrt{\frac{1}{2} \frac{H}{\bar{B}_2} + \frac{1}{2} \sqrt{\frac{\bar{B}_1}{\bar{B}_2}}} \cdot \sum_n^{(n_1)} \frac{1}{n^2} \cos \frac{n\pi y}{b}, \\
 R_2 &= -\frac{4qb}{\pi^2} \sum_n^{(n_1)} \frac{(-1)^{\frac{n-1}{2}}}{n^2} \left\{ 1 - \left[1 + \sqrt{\frac{\bar{B}_2}{\bar{B}_1}} \cdot \left(\frac{2C}{\bar{B}_2} + \right. \right. \right. \\
 &\left. \left. \left. + \frac{1}{m_1} \right) \right] \cos \frac{nx}{\beta'} + \frac{\beta'}{\alpha'} \left\{ 1 - \sqrt{\frac{\bar{B}_2}{\bar{B}_1}} \left(\frac{2C}{\bar{B}_2} + \frac{1}{m_1} \right) \right\} \sin \frac{nx}{\beta'} \right\} e^{-\frac{nx}{2\beta'}}
 \end{aligned}
 \tag{113.III}$$

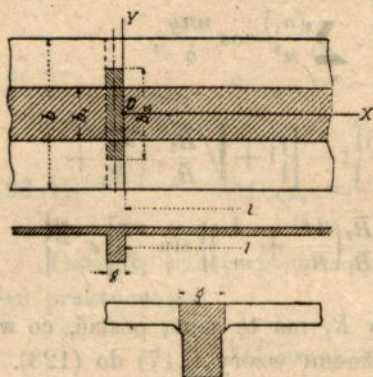
Łatwo zauważyć, że wzór dla R_1 ma tę samą postać, co w I przypadku. Tak samo pozostają ważnemi wzory (117) do (123).

§ 16. Działanie jednego żebra poprzecznego w przypadku, gdy po obu jego stronach płyta rozciąga się stosunkowo daleko.

Wskutek stałego połączenia żebra z płytą, gra płyta podwójną rolę: po pierwsze jako płyta narażona na ogólne zgięcie i podparta sprężystością żebrami, o dwu warstwach obojętnych i powierzchni ugięcia czyniącej zadość równaniu różniczkowemu (13); po wtóre jako płytowata część zginanej w płaszczyźnie żebra belki o przekroju Γ z własną warstwą obojętną. W tym drugim charakterze doznaje płyta pewnych ciśnień w kierunku poprzecznym (równoległym do osi żebra). Ich rozkład będzie przedmiotem bliższego badania w następnym paragrafie; na razie można przyjąć, że przy zginaniu żebra wskutek symetrycznie rozłożonego obciążenia współdziałają po obu stronach skrawki płyty o szerokości c (mierzonej prostopadłe do żebra). Współdziałająca szerokość płyty w znanym znaczeniu urzędowych przepisów byłaby więc równa $2c + g$, skoro przez g oznaczymy grubość żebra, mierzoną tuż przy płycie (rys. 20).

Niechaj teraz obciążenie płyty składa się z równomiernego obciążenia powierzchniowego q (kg/m²) środkowego paska płyty o szerokości b_1 i równomiernego obciążenia liniowego q' (kg/m) środkowej części żebra o długości b_2 . Gdyby żebro było zupełnie

sztywne, to prawa połowa płyty wygięłaby się podług równania (109) (przy obiorze osi Y -ów w płaszczyźnie prawej ściany żebra),



Rys. 20.

a pod wpływem obciążenia q powstałyby w żebrze siły oddziaływania, określone przez pierwszą z formuł (113). Ale żebro poddaje się działaniu tych sił i obciążenia q' , wobec czego zachodzi nowe zgięcie płyty, które się superponuje z poprzedzającym. Ugięcie wypadkowe da się wyrazić przez

$$(124.I) \quad \zeta = \frac{4qb^4}{\pi^5 B_2} \sum_n \left[\frac{(n_1)}{n^5} - \frac{(n_1) - \varepsilon_n (n_2)}{n^5} \cdot \frac{\beta e^{-\frac{n\pi x}{b}} - \alpha e^{-\frac{n\pi y}{b}}}{\beta - \alpha} \right] \cos \frac{n\pi y}{b}$$

przyczem

$$n = 1, 3, 5, \dots \quad (n_1) = \sin \frac{n\pi b_1}{2b}, \quad (n_2) = \sin \frac{n\pi b_2}{2b},$$

a wielkości ε_n oznaczają nieznane jeszcze współczynniki, które wypadałoby wyznaczyć z pewnych warunków krańcowych. To wyrażenie czyni mianowicie zadość równaniu różniczkowemu powierzchni ugięcia tudzież warunkom krańcowym wzdłuż brzegów $y = \pm \frac{b}{2}$ i dla $x = \infty$, atoli dysponujemy jeszcze dość złożonymi

warunkami krańcowymi dla linii połączenia żebra z płytą ($x=0$). Tutaj zastosujemy z korzyścią metodę Ritz'a i poszukamy najpierw ogólnego wyrażenia dla energii potencjalnej naszej płyty żebrowej.

Łatwo zauważyć, że pominąwszy bardzo stosunkowo nieznaczną pracę sił poprzecznych można całkowitą energię rozłożyć na następujące dodajniki:

- 1^o) Ogólna praca zginania samej płyty, określona równaniem (9');
- 2^o) praca zginania samego żebra i
- 3^o) praca sił ściskających we „współdziałających” częściach płyty.

Pierwszą część energii potencjalnej określa wyrażenie:

$$2 \cdot \frac{1}{2} \int_0^1 dx \int_{-\frac{b}{2}}^{+\frac{b}{2}} dy \left[\bar{B}_1 \left(\frac{\partial^2 \zeta}{\partial x^2} \right)^2 + \bar{B}_2 \left(\frac{\partial^2 \zeta}{\partial y^2} \right)^2 + \left(\frac{\bar{B}_1}{m_2} + \frac{\bar{B}_2}{m_1} \right) \frac{\partial^2 \zeta}{\partial x^2} \cdot \frac{\partial^2 \zeta}{\partial y^2} + 4C \left(\frac{\partial^2 \zeta}{\partial x \partial y} \right)^2 \right]$$

dla drugiej części znajdujemy łatwo

$$\frac{1}{2} \int_{-\frac{b}{2}}^{+\frac{b}{2}} B_r \left(\frac{\partial^2 \zeta}{\partial y^2} \right)_{x=0}^2 dy,$$

jeżeli B_r oznacza sztywność zginania samego żebra; nakoniec trzecią część przedstawia wyrażenie:

$$2 \cdot \frac{1}{2} c \int_{-\frac{a}{2}}^{+\frac{a}{2}} \frac{\sigma_b F_2}{E_b} dy,$$

przyчем — σ_b oznacza odpowiadające ciśnienie w betonie płyty, a

$$F_2 = F_{2b} + n F_{2f}$$

sproawdzone pole przekroju płyty o szerokości 1. Nadto odnosi się sztywność zginania żebra B_r do osi obojętnej, odpowiadającej zginaniu w płaszczyźnie YZ belki płytowej o szerokości $2c + g$. Jeżeli e oznacza odległość tejże osi obojętnej od osi odpowiadającej zgięciu płyty w tej samej płaszczyźnie, to naprężenie betonu σ_b , w trzecim wyrażeniu ma bezwzględną wartość

$$e E_b \frac{1}{(\varrho_2)_{x=0} + e}$$

Zamiast tego można z zupełnie wystarczającym przybliżeniem przyjąć

$$\frac{e E_b}{(\varrho_2)_{x=0}} = e E_b \left(- \frac{\partial^2 \zeta}{\partial y^2} \right)_{x=0}$$

Wyrażenie dla trzeciej części przybierze przeto postać

$$c \int_{-\frac{b}{2}}^{+\frac{b}{2}} e^2 E_b F_2 \left(\frac{\partial^2 \zeta}{\partial y^2} \right)_{x=0}^2 dy$$

Druga i trzecia część dadzą się ściągnąć w jedno wyrażenie, a mianowicie:

$$\frac{1}{2} \int_{-\frac{b}{2}}^{+\frac{b}{2}} (B_r + 2c e^2 E_b F_2) \left(\frac{\partial^2 \zeta}{\partial y^2} \right)_{x=0}^2 dy = \frac{1}{2} \int_{-\frac{b}{2}}^{+\frac{b}{2}} (B^* - 2\bar{B}_2 c) \left(\frac{\partial^2 \zeta}{\partial y^2} \right)_{x=0}^2 dy$$

Tutaj oznacza

$$B^* = B_r + 2c e^2 E_b F_2 + 2\bar{B}_2 c$$

sztwywność zginania belki płytowej o górnej szerokości $2c + g$. Dla całkowitej energii potencjalnej (wewnętrznej pracy odkształcenia) naszej płyty z żebrzem otrzymujemy nakoniec wyrażenie:

$$(125) \quad L_i = \int_0^l \int_{-\frac{b}{2}}^{+\frac{b}{2}} \left[\bar{B}_1 \left(\frac{\partial^2 \zeta}{\partial x^2} \right)^2 + \bar{B}_2 \left(\frac{\partial^2 \zeta}{\partial y^2} \right)^2 + \left(\frac{\bar{B}_1}{m_2} + \frac{\bar{B}_2}{m_1} \right) \frac{\partial^2 \zeta}{\partial x^2} \cdot \frac{\partial^2 \zeta}{\partial y^2} + \right. \\ \left. + 4C \left(\frac{\partial^2 \zeta}{\partial x \partial y} \right)^2 \right] dx dy + \frac{1}{2} \int_{-\frac{b}{2}}^{+\frac{b}{2}} (B^* - 2\bar{B}_2 c) \left(\frac{\partial^2 \zeta}{\partial y^2} \right)_{x=0}^2 dy,$$

a dla pracy sił zewnętrznych:

$$(126) \quad L = \int_0^l \int_{-\frac{b}{2}}^{+\frac{b}{2}} q \zeta dx dy + \frac{1}{2} \int_{-\frac{b}{2}}^{+\frac{b}{2}} q'(\zeta)_{x=0} dy$$

Z równań warunkowych

$$(127) \quad \frac{\partial}{\partial \varepsilon_n} (L_i - 2L) = 0 \quad ^1$$

¹ Lorenz H., Näherungslösungen von Problemen der Elastizitätstheorie, Phys. Zeitschr. 1913, XIV. pag. 71; Näherungslösungen statisch unbestimmter Probleme, Z. d. V. d. Ing. 1913, pag. 543.

można teraz wyznaczyć parametry ε_n

$$(n = 1, 3, 5, \dots)$$

Po wprowadzeniu skracających oznaczeń:

$$\frac{4qb^4}{\pi^5 \bar{B}_2} = \Omega, \quad (n_1) - \varepsilon_2(n_2) = (n_1) \omega_n$$

znajdziemy przez różniczkowanie wyrażenia (124. I) dla ζ :

$$(128. I) \quad \left\{ \begin{aligned} \frac{\partial^2 \zeta}{\partial x^2} &= \Omega \frac{1}{\alpha \beta} \sum_n (n_1) \omega_n \frac{\beta e^{-\frac{nx}{\alpha}} - \alpha e^{-\frac{nx}{\beta}}}{\beta - \alpha} \cos \frac{n\pi y}{b}, \\ \frac{\partial^2 \zeta}{\partial y^2} &= -\Omega \frac{\pi^2}{b^2} \sum_n (n_1) \frac{1}{n^3} \left[1 - \omega_n \frac{\beta e^{-\frac{nx}{\beta}} - \alpha e^{-\frac{nx}{\alpha}}}{\beta - \alpha} \right] \cos \frac{n\pi y}{b}, \\ \frac{\partial^2 \zeta}{\partial x \partial y} &= -\Omega \frac{\pi}{b} \sum_n (n_1) \omega_n \frac{e^{-\frac{nx}{\beta}} - e^{-\frac{nx}{\alpha}}}{\beta - \alpha} \sin \frac{n\pi y}{b}. \end{aligned} \right.$$

Wstawiając te wartości w ogólną formułę (125) dla energii potencjalnej i wykonawszy całkowania, otrzymamy po licznych redukcjach:

$$(129) \quad L_i = \Omega^2 \left[\frac{\bar{B}_1 b}{4\alpha\beta(\alpha+\beta)} \sum_n (n_1)^2 \frac{\omega_n^2}{n^7} + \frac{\pi^4 \bar{B}_2}{2b^3} \sum_n (n_1)^2 \frac{1}{n^6} \left\{ l - \right. \right. \\ \left. \left. - 2(\alpha+\beta) \frac{\omega_n^2}{n} + \frac{1}{2} \left(\alpha + \beta + \frac{\alpha\beta}{\alpha+\beta} \right) \frac{\omega_n^2}{n} \right\} + \frac{\pi^2}{4(\alpha+\beta)b} 2H \sum_n (n_1)^2 \frac{\omega_n^2}{n^7} + \right. \\ \left. + \frac{\pi^4}{4b^3} (B^* - 2\bar{B}_2 c) \sum_n (n_1)^2 \frac{(1 - \omega_n)^2}{n^6} \right]$$

Podobnie dochodzimy do następującego wyrażenia dla podwójnej pracy sił zewnętrznych:

$$(130) \quad 2L = \Omega \left[\frac{4bq}{\pi} \sum_n (n_1)^2 \frac{1}{n^6} \left\{ l - (\alpha+\beta) \frac{\omega_n}{n} \right\} + \frac{2bq'}{\pi} \sum_n (n_1)^2 \frac{\varepsilon_n}{n^6} \right]$$

W obu wyrażeniach oznacza l (nieskończenie wielką) długość jednej połowy płyty. Warunki najmniejszości (127) dostarczają teraz po odpowiednich redukcjach z uwzględnieniem związków (72):

$$(131) \quad \omega_n = \frac{B^* - 2c - \frac{(n_2) q'}{(n_1) q}}{\bar{B}_2 - 2c + 2 \frac{\alpha + \beta}{n}}, \quad \varepsilon_n = \frac{q' + 2 \frac{\alpha + \beta (n_1)}{n (n_2)}}{\bar{B}_2 - 2c + 2 \frac{\alpha + \beta}{n}}$$

Łatwo się przekonać, że otrzymane rozwiązanie (124. I) wraz z (131) przekształca się w granicznym przypadku $B^* - 2\bar{B}_2 c = 0$, t. zn. bez żebra, na:

$$\zeta = \zeta(q) + \zeta(q'),$$

jeżeli

$$\zeta(q) = \frac{4qb^4}{\pi^5 \bar{B}_2} \sum_n^{(n_1)} \frac{\cos \frac{n\pi y}{b}}{n^5};$$

$$\zeta(q') = \frac{2q'b^4}{\pi^5 \bar{B}_2} \frac{1}{\alpha + \beta} \sum_n^{(n_1)} \frac{\beta e^{-\frac{nx}{\beta}} - \alpha e^{-\frac{nx}{\alpha}}}{\beta - \alpha} \cos \frac{n\pi y}{b},$$

co zgadza się ze znalezionymi poprzednio wzorami dla tych przypadków obciążenia. W drugim granicznym przypadku żebra doskonale sztywnego. ($B^* = \infty$), staje się $\varepsilon_n = 0$, $\omega_n = 1$, a rozwiązanie zgadza się znowu z odpowiadającym rozwiązaniem w § 15.

Dla momentów zginających i skręcających płyty wypływają z (124. I) wyrażenia:

$$(132. I) \quad \left\{ \begin{aligned} M_1 &= \frac{4qb^2}{\pi^3} \cdot \frac{\bar{B}_1}{\bar{B}_2} \sum_n^{(n_1)} \frac{1}{n^3} \left[\frac{1}{m_2} + \frac{\omega_n}{\beta - \alpha} \left\{ \beta \left(\frac{b^2}{\pi^2 \beta^2} - \frac{1}{m_2} \right) e^{-\frac{nx}{\beta}} - \right. \right. \\ &\quad \left. \left. - \alpha \left(\frac{b^2}{\pi^2 \alpha^2} - \frac{1}{m_2} \right) e^{-\frac{nx}{\alpha}} \right\} \right] \cos \frac{n\pi y}{b}, \\ M_2 &= \frac{4qb^2}{\pi^3} \sum_n^{(n_1)} \frac{1}{n^3} \left[1 + \frac{\omega_n}{\beta - \alpha} \left\{ \beta \left(\frac{1}{m_1} \frac{b^2}{\pi^2 \beta^2} - 1 \right) e^{-\frac{nx}{\beta}} - \right. \right. \\ &\quad \left. \left. - \alpha \left(\frac{1}{m_1} \frac{b^2}{\pi^2 \alpha^2} - 1 \right) e^{-\frac{nx}{\alpha}} \right\} \right] \cos \frac{n\pi y}{b}, \\ D &= \frac{4qb^3}{\pi^4} \cdot \frac{2C}{\bar{B}_2} \sum_n^{(n_1)} \frac{\omega_n}{n^3} \cdot \frac{e^{-\frac{nx}{\beta}} - e^{-\frac{nx}{\alpha}}}{\beta - \alpha} \sin \frac{n\pi y}{b} \end{aligned} \right.$$

Stąd otrzymujemy wprost dwie ważne szczególne wartości momentów zginających, a mianowicie:

$$(133) \begin{cases} (M_1)_{x=0} = -\frac{4qb^2 \bar{B}_1}{\pi^3 \bar{B}_2} \sum_n^{(n_1)} \frac{1}{n^3} \left[\left(\sqrt{\frac{\bar{B}_2}{\bar{B}_1}} + \frac{1}{m_2} \right) \omega_n - \frac{1}{m_2} \right], \\ (M_2)_{x=0} = \frac{4qb^2}{\pi^3} \sum_n^{(n_1)} \frac{1}{n^3} \left[1 - \left(1 + \frac{1}{m_1} \sqrt{\frac{\bar{B}_2}{\bar{B}_1}} \right) \omega_n \right] \end{cases}$$

Obie mogą być tak dodatnie, jak i ujemne, zależnie od wzajemnego stosunku sztywności i obciążenia żebra i płyty. W szczególności staje się $(M_1)_{00}$ ujemnem, gdy

$$\omega_1 > \frac{1}{1 + m_2 \sqrt{\frac{\bar{B}_2}{\bar{B}_1}}}$$

co zachodzi przy dość sztywnem żebrze, albo przy dostatecznie małym stosunku $q':q$. Natomiast będzie $(M_2)_{00}$ dodatniem, jeżeli

$$\omega_1 < \frac{1}{1 + \frac{1}{m_1} \sqrt{\frac{\bar{B}_2}{\bar{B}_1}}}$$

względnie, jeżeli ω_1 jest ujemne, a to się spełnia, gdy albo sztywność żebra jest niewielka, albo $q':q$ wypada duże. Pozatem może $(M_2)_{00}$ stać się ujemnem, jakkolwiek krzywizna płyty w płaszczyźnie YZ jest dodatnia, byleby tylko zachodziła jednocześnie dostatecznie silna krzywizna ujemna w płaszczyźnie XZ .

Moment zginający belki płytowej o sztywności zginania $B^* - 2\bar{B}_2 c$ obliczymy według wzoru:

$$M = - (B^* - 2\bar{B}_2 c) \left(\frac{\partial^2 \zeta}{\partial y^2} \right)_{x=0},$$

a więc

$$(134) \quad M = \frac{4qb^2}{\pi^3} \left(\frac{B^*}{\bar{B}_2} - 2c \right) \sum_n^{(n_2)} \frac{\epsilon_n}{n^3} \cos \frac{n\pi y}{b}$$

Po wstawieniu wartości ϵ_n da się to równanie przedstawić w postaci:

$$M = M_q + M_{q'},$$

jeżeli

$$(135) \left\{ \begin{aligned} M_q &= \frac{8qb^2}{\pi^3} (\alpha + \beta) \sum_n^{(n_1)} \frac{\cos \frac{n\pi y}{b}}{1 + 2 \frac{\alpha + \beta}{n} \frac{\bar{B}_2}{B^* - 2\bar{B}_2 c}}, \\ M_{q'} &= \frac{4q'b^2}{\pi^3} \sum_n^{(n_2)} \frac{\cos \frac{n\pi y}{b}}{1 + 2 \frac{\alpha + \beta}{n} \frac{\bar{B}_2}{B^* - 2\bar{B}_2 c}}, \end{aligned} \right.$$

oznaczają odpowiednio te wartości momentu M , które pochodzą od samego obciążenia płyty q , względnie od obciążenia samego żebra q' . Stąd łatwo wyprowadzić przybliżone formuły dla zastosowań praktycznych, pod warunkiem, że liczba stosunkowa

$$2 \frac{(\alpha + \beta) \bar{B}_2}{B^* - 2\bar{B}_2 c}$$

jest dość małym ułamkiem właściwym, co widocznie zajdzie wtedy, gdy żebro posiada sztywność dość dużą w porównaniu do płyty o szerokości przekroju $(\alpha + \beta)$. Wówczas z dobrym przybliżeniem będzie:

$$(135a) \left\{ \begin{aligned} M_q &\sim \frac{8}{31} (\alpha + \beta) qb^2 \frac{\sin \frac{\pi}{2} \frac{b_1}{b} \cos \frac{\pi y}{b}}{1 + \frac{2(\alpha + \beta) \bar{B}_2}{B^* - 2\bar{B}_2 c}}, \\ M_{q'} &\sim \frac{M_{q'}^{(0)}}{1 + \frac{2(\alpha + \beta) \bar{B}_2}{B^* - 2\bar{B}_2 c}}, \end{aligned} \right.$$

jeżeli $M_{q'}^{(0)}$ oznacza moment zginający belki prostej o rozpiętości b i obciążeniu $q'b_2$ równomiernie rozłożonem na środkowej części.

Dla $y = 0$ wypadają z (125) dokładne największe wartości momentów:

$$(136) \left\{ (M_q)_{\max} = \frac{8(\alpha + \beta) qb^2}{\pi^3} \sum_n \frac{1}{n^4} \frac{\sin \frac{n\pi}{2} \frac{b_1}{b}}{1 + 2 \frac{\alpha + \beta}{n} \frac{\bar{B}_2}{B^* - 2\bar{B}_2 c}}, \right.$$

$$(136) \quad (M_{q'})_{max} = \frac{4q'b^2}{\pi^3} \sum_n \frac{1}{n^3} \cdot \frac{\sin \frac{n\pi}{2} \frac{b_1}{b}}{1 + 2 \frac{\alpha + \beta}{n} \frac{\bar{B}_2}{B^* - 2\bar{B}_2 c}}$$

a z (135a) odpowiadające wartości przybliżone:

$$(136a) \quad \begin{cases} (M_q)_{max} \sim \frac{8}{31} \frac{(\alpha + \beta) qb^2 \sin \frac{\pi}{2} \frac{b_1}{b}}{1 + \frac{2(\alpha + \beta)\bar{B}_2}{B^* - 2\bar{B}_2 c}}, \\ (M_{q'})_{max} \sim \frac{1}{8} \frac{q'b_2(2b - b_2)}{1 + \frac{2(\alpha + \beta)\bar{B}_2}{B^* - 2\bar{B}_2 c}} \end{cases}$$

Powyższe wzory upraszczają się jeszcze w następujących praktycznie ważnych przypadkach:

a) $b_1 = b_2 = b$, t. zn. tak obciążenie płyty, jakoteż obciążenie żebra rozciągają się na całą rozpiętość b . Teraz będzie dokładnie:

$$(137) \quad \begin{cases} (M_q)_{max} = \frac{8(\alpha + \beta) qb^2}{\pi^3} \sum_n \frac{(-1)^{\frac{n-1}{2}}}{n^4 + 2n^3} \cdot \frac{(\alpha + \beta)\bar{B}_2}{B^* - 2\bar{B}_2 c}; \\ (M_{q'})_{max} = \frac{4q'b^2}{\pi^3} \sum_n \frac{(-1)^{\frac{n-1}{2}}}{n^3 + 2n^2} \cdot \frac{(\alpha + \beta)\bar{B}_2}{B^* - 2\bar{B}_2 c}, \\ (n = 1, 3, 5 \dots) \end{cases}$$

a w przybliżeniu:

$$(137a) \quad M_{max} = (M_q)_{max} + (M_{q'})_{max} \sim \frac{\frac{8}{31} (\alpha + \beta) qb^2 + \frac{1}{8} q'b^2}{1 + \frac{2(\alpha + \beta)\bar{B}_2}{B^* - 2\bar{B}_2 c}}$$

Ta formuła daje dobry pogląd na współdziałanie obu elementów dźwigających i wskazuje wyraźnie na korzyści z ich połączenia wpływające.

b) $b_1 = b$, $b_2 = 0$, $\lim b_2 q' = P$, t. zn. całkowite równomierne obciążenie płyty i skupiony ciężar P w środku żebra.

W tym przypadku jest dokładnie:

$$(138) \quad M_{max} = \frac{8(\alpha + \beta)qb^2}{\pi^3} \sum_n \frac{(-1)^{\frac{n-1}{2}}}{n^4 + 2n^2} \frac{(\alpha + \beta)\bar{B}_2}{B^* - 2\bar{B}_2 c} + \\ + \frac{2Pb}{\pi^2} \sum_n \frac{1}{n^2 + 2n} \frac{(\alpha + \beta)\bar{B}_2}{B^* - 2\bar{B}_2 c}$$

a w przybliżeniu, dla małych wartości

$$\frac{2(\alpha + \beta)\bar{B}_2}{B^* - 2\bar{B}_2 c} = t$$

$$(138a) \quad M_{max} \sim \frac{8}{31} \frac{(\alpha + \beta)qb^2}{1+t} + \frac{Pb}{4} \frac{1}{1+0,78t}$$

Do przybliżonej wartości współczynnika wielkości Pb w powyższym wzorze prowadzi następujące rozważanie:

Dokładna wartość szeregu $\sum_n \frac{1}{n^2 + nt}$ dla dowolnego dodatniego t leży między granicami

$$\sum_n \frac{1}{n^2} = \frac{\pi^2}{8}, \quad \text{a} \quad \sum_n \frac{1}{n^2(1+t)} = \frac{1}{1+t} \frac{\pi^2}{8}.$$

Średnia harmoniczna obu tych wielkości, t. j. $\frac{\pi^2}{8} \cdot \frac{2}{2+t}$ będzie tem mniej różnić się od dokładnej wartości szeregu, im mniejsze jest t . Dla $t=1$ znajdujemy łatwo sumę szeregu, a zarazem dokładną wartość rozpatrywanego współczynnika. Jest nią

$$\sum_n \frac{1}{n^2 + n} = \frac{1}{1 \cdot 2} + \frac{1}{3 \cdot 4} + \frac{1}{5 \cdot 6} + \dots = \left(1 - \frac{1}{2}\right) + \left(\frac{1}{3} - \frac{1}{4}\right) + \dots = \\ = 0,693 = 0,562 \frac{\pi^2}{8}.$$

Średnia harmoniczna ma teraz wartość $\frac{2}{3} \frac{\pi^2}{8}$, t. zn. około

18% więcej; podstawivszy jednak zamiast tego jako przybliżoną wartość sumy

$$\frac{\pi^2}{8} \cdot \frac{1}{1+0,78t}$$

otrzymamy w przedziale $0 < t \leq 1$ wartości, które dokładną wielkość przekraczają najwyżej o 2,5%.

Powracając teraz do statycznych wielkości płyty, znajdujemy dla sił poprzecznych wzory:

$$(139. I) \quad \left\{ \begin{aligned} V_1 &= \frac{4qb^2}{\pi^3(\beta-\alpha)} \cdot \frac{\bar{B}_1}{\bar{B}_2} \sum_n^{(n_1)} \frac{\omega_n}{n^2} \left[\left(\frac{2C}{\bar{B}_1} + \frac{1}{m_1} - \frac{b^2}{\pi^2\beta^2} \right) e^{-\frac{nz}{\beta}} - \right. \\ &\quad \left. - \left(\frac{2C}{\bar{B}_1} + \frac{1}{m_2} - \frac{b^2}{\pi^2\alpha^2} \right) e^{-\frac{nz}{\alpha}} \right] \cos \frac{n\pi y}{b}, \\ V_2 &= -\frac{4qb}{\pi^2} \sum_n^{(n_1)} \frac{\omega_n}{n^2} \left[1 - \omega_n \sqrt{\frac{\bar{B}_2}{\bar{B}_1}} \left\{ \left(\frac{2C}{\bar{B}_2} + \frac{1}{m_1} - \frac{\pi^2\beta^2}{b^2} \right) \beta e^{-\frac{nz}{\alpha}} - \right. \right. \\ &\quad \left. \left. - \left(\frac{2C}{\bar{B}_2} + \frac{1}{m_1} - \frac{\pi^2\beta^2}{b^2} \right) \alpha e^{-\frac{nz}{\beta}} \right\} \right] \sin \frac{n\pi y}{b} \end{aligned} \right.$$

Siły przeniesione z jednej połowy płyty na zebro są:

$$(140) \quad (R_1) = (V_1)_{z=0} = \frac{4(\alpha+\beta)q}{\pi} \sum_n^{(n_1)} \frac{\omega_n}{\pi^2} \cos \frac{n\pi y}{b}$$

Te siły osiągają największą wartość dla $y=0$, a mianowicie:

$$(141) \quad |R|_{\max} = \frac{4(\alpha+\beta)q}{\pi} \sum_n^{(n_1)} \frac{\omega_n}{n^2}$$

Ich wypadkową jest

$$(142) \quad |\bar{R}_1| = 2 \int_0^{\frac{b}{2}} |R_1| dy = \frac{8(\alpha+\beta)q}{\pi^2} \sum_n^{(n_1)} \frac{(-1)^{\frac{n-1}{2}} \omega_n}{n^3}$$

Przy pewnych małych od 1 różniących się wartościach stosunku:

$$\frac{(n_2)}{(n_1)} q' : \left(\frac{B^*}{B_2} - 2c \right)$$

może ta wypadkowa zniknąć, a w tym przypadku niesie żebro tylko własne obciążenie q' .

Reakcyje podporowe podłużnego brzegu $y = \frac{b}{2}$ określa równanie:

$$(143. I) \quad R_2 = \left(V_2 + \frac{\partial D}{\partial x} \right)_{x=\frac{b}{2}} = - \frac{4qb}{\pi^2} \sum_n \frac{(-1)^{\frac{n-1}{2}} (n_1)}{n^2} \left[1 - \omega_n \sqrt{\frac{\bar{B}_2}{\bar{B}_1}} \left\{ \left(\frac{4C}{\bar{B}_2} + \frac{1}{m_1} - \frac{\pi^2 \alpha^2}{b^2} \right) \frac{\beta e^{-\frac{\pi x}{\alpha}}}{\beta - \alpha} - \left(\frac{4C}{\bar{B}_2} + \frac{1}{m_1} - \frac{\pi^2 \beta^2}{b^2} \right) \frac{\alpha e^{\frac{\pi x}{\beta}}}{\beta - \alpha} \right\} \right]$$

Te reakcyje osiągają największą bezwzględną wartość dla $x = 0$:

$$(144) \quad |R_2|_{\max} = \frac{4qb}{\pi^2} \sum_n \frac{(-1)^{\frac{n-1}{2}} (n_1)}{n^2} \left[1 - \omega_n \sqrt{\frac{\bar{B}_2}{\bar{B}_1}} \left(\frac{4C}{\bar{B}_2} + \frac{1}{m_1} + \sqrt{\frac{\bar{B}_1}{\bar{B}_2}} \right) \right]$$

która przy liniowym obciążeniu q' całej rozpiętości b (t. j. gdy $b_2 = b$) nie może się stać nieskończoną, jak w przypadku płyty bez żebra (§ 12), ponieważ teraz żebro bierze główny udział w przeniesieniu tego obciążenia.

Całkowitzą reakcyję połowy podłużnego brzegu płyty l określa wyrażenie:

$$(145) \quad \bar{R}_2 = \int_0^l R_2 dx = - \frac{4qbl}{\pi^2} \sum_n \frac{(-1)^{\frac{n-1}{2}} (n_1)}{n^2} + \frac{4qb}{\pi^2} (\alpha + \beta) \sum_n \frac{(-1)^{\frac{n-1}{2}} (n_1) \omega_n}{n^3} = - \frac{qb_1 l}{2} + \frac{4qb}{\pi^2} (\alpha + \beta) \sum_n \frac{(-1)^{\frac{n-1}{2}} (n_1) \omega_n}{n^3}$$

Stąd znajdujemy przy pomocy warunku równowagi

$$2\bar{R}_2 + R_2 + qb_1 l + \frac{q'b_2}{2} = 0$$

reakcyę podporową żebra

$$(146) \quad R_r = -\frac{q'b_2}{2} - \frac{8qb(\alpha+\beta)}{\pi^2} \sum_n^{n-1} \frac{(-1)^2 (n_1) \omega_n}{n^3}$$

zgodnie z wynikiem obliczenia \bar{B}_1 rów. (42).

Najczęściej będzie można poprzestać na przybliżonym wzorze:

$$(146a) \quad |R_r| = \frac{q'b_2}{2} + \frac{8qb(\alpha+\beta)}{\pi^2} \frac{\left(\frac{B^*}{\bar{B}_2} - 2c\right) \sin \frac{\pi b_1}{2b} - \frac{q'}{q} \sin \frac{\pi b_2}{2b}}{\frac{B^*}{\bar{B}_2} - 2c + 2(\alpha+\beta)},$$

który powstaje z (146) przez zatrzymanie pierwszego tylko wyrazu szeregu. Ten wzór upraszcza się jeszcze w przypadku obciążenia całej rozpiętości ($b_1 = b_2 = b$) na następujący:

$$(147) \quad |R_r| = \frac{q'b}{2} + \frac{8qb}{\pi^2} (\alpha+\beta) \frac{\frac{B^*}{\bar{B}_2} - 2c - \frac{q'}{q}}{\frac{B^*}{\bar{B}_2} - 2c + 2(\alpha+\beta)}$$

W miarę skupienia obciążenia maleje widocznie dokładność przybliżonego wzoru (146).

Wyrażenia dla wielkości statycznych wyprowadzono wprawdzie w tym paragrafie przy założeniu przypadku I ($H^3 > \bar{B}_1 \bar{B}_2$), pominięto jednakże przejście do przypadku II i III, albowiem przytem zmieniają swą postać tylko ogólne wzory (124, 128, 132 i 139) jako funkcyje x i y , gdy tymczasem pozostałe wzory można stosować bez zmiany. Z tego też powodu brak I przy ich liczbach porządkowych.

IV. Płyta prostokątna brzegami podłużnymi a poziomo podparta i utwierdzona brzegami poprzecznymi b .

§ 18. Nowy sposób rozwiązywania pewnej grupy zagadnień płyt prostokątnych.

Jak już zaznaczono w § 13, można do rozwiązania niektórych zadań, odnoszących się do płyty prostokątnej, użyć z korzy-

ścią rozwiązań, uzyskanych dla płyty nieskończenie długiej. Skoro mianowicie znamy równanie powierzchni ugięcia dla nieskończenie długiej płyty o szerokości b , które odpowiada dowolnemu zresztą obciążeniu $p(x, y)$ prostokątnej części płyty o długości a , to dzielimy płytę liniowymi podporami poprzecznymi na prostokątne pola o równej długości a i obciążamy wszystkie pola naprzemian danem obciążeniem p i obciążeniem p^* , ukształtowanem symetrycznie względem pierwszego w odniesieniu do pionowej płaszczyzny reakcyj podporowych między obu polami. Wytworzona w ten sposób powierzchnia ugięcia nieskończenie długiej płyty musi mieć, gwoli symetrii, we wszystkich punktach prostej podporowej styczne poziome; przeto powstaje przytem taka sama powierzchnia ugięcia, jak gdyby płyta o długości a była wzdłuż brzegów b doskonale utwierdzoną.

Nieznane reakcje podporowe brzegów poprzecznych należy teraz pojmować jako ujemne obciążenia i odpowiadającą im powierzchnię ugięcia $\zeta_2(x, y)$ nieskończenie długiej płyty trzeba przedstawić w postaci Fourier'owskiego szeregu o zmiennej y . Oznaczwszy przez ζ_1^* rzędną powierzchni ugięcia płyty nieskończonej bez poprzecznego podparcia przy obciążeniu p i p^* , mamy:

$$\zeta = \zeta_1 + \zeta_2$$

jako rozwiązanie naszego zadania. Spółczynniki szeregu dla ζ_2 wyznaczymy przytem z warunku, że w prostych podporowych musi znikać $\zeta_1 + \zeta_2$.

Podobnież można postąpić i w przypadku swobodnego podparcia całego obwodu płyty. Wtedy należy na polach ab nieskończonej płyty pomocniczej umieścić naprzemian obciążenia p , $-p^*$, p , $-p^*$, ..., przez co powstanie falista powierzchnia ugięcia z prostemi przegięciami na granicach poszczególnych pól. Wskutek tego znikają momenty zginające wzdłuż tych prostych, a równowaga dowolnego pola ab płyty nie będzie naruszona, jeżeli je z obu stron wyciąć i wzdłuż nowych brzegów swobodnie (poziomo) podeprzeć. W ten sposób otrzymujemy wyrażenia dla ζ , które się odznaczają szczególną prostotą nawet w porównaniu do rozwinięć znalezionych przedtem dla kilku prostych przypadków obciążenia płyty równokierunkowej.

Także w przypadku utwierdzenia jednego tylko brzegu i swobodnego podparcia innych brzegów prostokątnej płyty da się trak-

towanie zadania nieraz znacznie uprościć przez zużytkowanie rozwiązań pomocniczych dla nieskończonej długiej płyty. Dajmy nam to, że szukamy powierzchni ugięcia płyty prostokątnej ab , wzdłuż jednego brzegu poprzecznego b doskonale utwierdzonej, a zresztą dokoła swobodnie podpartej, pod wpływem obciążenia $p(x, y)$. — Wtedy trzeba nieskończoną płytę pomocniczą o tej samej szerokości b rozłożyć na pola o długości a i obciążyć następujące po sobie pola według schematu:

$$n, n+1, n+2, n+3; \quad n+4, n+5, n+6, n+7; \dots$$

$$p, p^*, \quad -p, \quad -p^*; \quad p, \quad p^*, \quad -p, \quad -p^*; \dots$$

Tutaj oznacza, jak pierwiej, p^* obciążenie symetryczne względem p w odniesieniu do prostej rozdzielającej pola n i $n+1$, względnie $n+4$ i $n+5$, jako osi symetrii. Pod tem obciążeniem powstaje oczywiście falista powierzchnia ugięcia ζ_1 o długości fali $4a$ i prostych przegięcia między polami $n-1$ i n ; $n+1$ i $n+2$; $n+3$ i $n+4$

Działając teraz w prostych rozgraniczających pola $(n, n+1)$; $(n+2, n+3)$;.... naprzemian do góry i nadół różnemi zresztą reakcyami R_1 i oznaczywszy przez ζ_2 rzędne powierzchni ugięcia, wywołane tylko tem działaniem, możemy znowu rozwiązanie naszego zadania przedstawić w postaci

$$\zeta = \zeta_1 + \zeta_2,$$

jeżeli siły R_1 wyznaczymy tak, aby wypadkowe ugięcie w odpowiadających prostych granicznych było równe O . Każde bowiem pole płyty nieskończonej znajduje się w tych samych warunkach statycznych, co dana płyta prostokątna o długości a i o szerokości b . We wszystkich trzech przypadkach polegają korzyści przedstawionej metody rozwiązania po większej części na tem, że szeregi funkcyj wykładniczych o postaci

$$\sum_n e^{-k(na \pm x)}$$

dają się bardzo łatwo sumować.

§ 18. Rozwiązanie w przypadku zupełnego utwierdzenia i stałego podparcia brzegów poprzecznych. Porównanie z wynikami pewnej reguły praktycznej.

Założywszy obciążenie $p(y)$ niezależne od x , upraszczamy jeszcze rachunek, gdyż symetryczne obciążenie sąsiedniego pola pozostaje to samo i nieskończoną płytę pomocniczą trzeba obciążyć na całej długości jednakowo. Przy obiorze początku spólrzędnych w rogu płyty, będzie powierzchnię ugięcia płyty pomocniczej określać równanie

$$\zeta_1 = \frac{b^4}{\pi^4 B_2} \sum_n \frac{c_n}{n^4} \sin \frac{n\pi y}{b}, \quad (n = 1, 2, 3, \dots)$$

jeżeli oznaczymy przez

$$c_n = \frac{2}{b} \int_0^b p(y) \sin \frac{n\pi y}{b} dy$$

uważane za dane współczynniki Fourier'owskiego rozwinięcia funkcji

$$p(y) = \sum_n c_n \sin \frac{n\pi y}{b}.$$

Skoro wyrazimy nieznaną reakcyę p' poprzecznego podparcia także w postaci szeregu trygonometrycznego

$$p'(y) = \sum_n c' \sin \frac{n\pi y}{b}$$

i obliczymy według § 12, względnie 13, ugięcie punktu płyty (x, y) , pochodzące od p' , to przy działaniu tylko sił reakcyjnych leżących w płaszczyźnie YZ będzie tem ugięciem

$$-\zeta = \frac{b^4}{2\pi^4 B_2} \sum_n \frac{c'_n}{n^3} \frac{\beta e^{-\frac{n\pi x}{\beta}} - \alpha e^{-\frac{n\pi x}{\alpha}}}{\beta^2 - \alpha^2} \sin \frac{n\pi y}{b} = F(x, y),$$

a zatem przy działaniu wszystkich reakcyj płyty nieskończenie dłużej powstanie ugięcie:

$$-\zeta_2 = \sum_{r=0,1,2,\dots} F(ra+x, y) + \sum_{r=1,2,3,\dots} F(ra-x, y)$$

dla

$$0 \leq x \leq a$$

Zważywszy, że

$$\sum_{r=1,2,3,\dots} e^{-\frac{n}{\beta}(ra+x)}$$

jako suma szeregu geometrycznego o ilorazie $e^{-\frac{na}{\beta}} < 1$ na wartość:

$$\frac{e^{-\frac{nx}{\beta}}}{e^{\frac{na}{\beta}} - 1},$$

i podobnie

$$\sum_{r=1,2,3,\dots} e^{-\frac{n}{\beta}(ra-x)} = \frac{e^{\frac{nx}{\beta}}}{e^{\frac{na}{\beta}} - 1},$$

mamy

$$-\zeta_1 = \frac{b^4}{2\pi^4 \bar{B}_1} \sum c'_n \left(\frac{\beta e^{-\frac{nx}{\beta}} - \alpha e^{-\frac{nx}{\alpha}}}{\beta - \alpha} + \frac{2\beta}{\beta^2 - \alpha^2} \frac{Ch \frac{nx}{\beta}}{e^{\frac{na}{\beta}} - 1} - \frac{2\alpha}{\beta^2 - \alpha^2} \frac{Ch \frac{nx}{\alpha}}{e^{\frac{na}{\alpha}} - 1} \right) \sin \frac{n\pi y}{b}.$$

Warunek

$$(\zeta_1 + \zeta_2)_{x=0} = 0$$

dostarcza teraz wartości nieznanych współczynników

$$c'_n = \frac{1}{n} \frac{2(\alpha + \beta) c_n}{1 + \frac{2\beta}{\beta - \alpha} \frac{1}{e^{\frac{na}{\beta}} - 1} - \frac{2\alpha}{\beta - \alpha} \frac{1}{e^{\frac{na}{\alpha}} - 1}}$$

Po wstawieniu wartości c_n i c'_n w wyrażenia dla ζ_1 i ζ_2 , otrzymujemy szukane równanie powierzchni ugięcia $\zeta = \zeta_1 + \zeta_2$ w ogólnej postaci:

$$(148. I) \quad \zeta = \frac{b^4}{\pi^4 \bar{B}_2} \sum_n \frac{c_n}{n^4} \left[1 - \frac{1}{\beta_{an} - \alpha_{an}} \left(\alpha \operatorname{Sh} \frac{nx}{\alpha} - \beta \operatorname{Sh} \frac{nx}{\beta} - \alpha_{an} \operatorname{Ch} \frac{nx}{\alpha} + \beta_{an} \operatorname{Ch} \frac{nx}{\beta} \right) \right] \sin \frac{n\pi y}{b}.$$

Przytem oznaczono dla skrócenia:

$$c_n = \frac{2}{b} \int_0^b p(y) \sin \frac{n\pi y}{b} dy,$$

$$\alpha_{an} = \alpha \frac{e^{\frac{na}{\alpha}} + 1}{e^{\frac{na}{\alpha}} - 1} = \alpha \operatorname{Cth} \frac{na}{2\alpha}; \quad \beta_{an} = \beta \frac{e^{\frac{na}{\beta}} + 1}{e^{\frac{na}{\beta}} - 1} = \beta \operatorname{Cth} \frac{na}{2\beta}.$$

Tak wygląda rozwiązanie w przypadku I ($H^2 > \bar{B}_1 \bar{B}_2$). W II przypadku ($H^2 = \bar{B}_1 \bar{B}_2$, $\alpha = \beta = \gamma$) przeistacza się równ. (148. I) na następujące:

$$(148. II) \quad \zeta = \frac{b^4}{\pi^4 \bar{B}_2} \sum_n \frac{c_n}{n^4} \left[1 - \left(1 + A'_n \frac{nx}{\gamma} \right) \operatorname{Ch} \frac{nx}{\gamma} + \left(A'_n + A''_n \frac{nx}{\gamma} \right) \operatorname{Sh} \frac{nx}{\gamma} \right] \sin \frac{n\pi y}{b}$$

Stałe A' i A'' określają wzory:

$$(148a) \quad A'_n = \frac{\operatorname{Ch} \frac{na}{\gamma} - 1}{\operatorname{Sh} \frac{na}{\gamma} + \frac{na}{\gamma}}; \quad A''_n = A'_n \operatorname{Cth} \frac{na}{2\gamma} = \frac{\operatorname{Sh} \frac{na}{\gamma}}{\operatorname{Sh} \frac{na}{\gamma} + \frac{na}{\gamma}}$$

W III przypadku ($H^2 < \bar{B}_1 \bar{B}_2$) znajdujemy na koniec:

$$(148. III) \quad \zeta = \frac{b^4}{\pi^4 \bar{B}_2} \sum_n \frac{c_n}{n^4} \left[1 - \left(\cos \frac{nx}{\beta'} + K'_n \sin \frac{nx}{\beta'} \right) \operatorname{Ch} \frac{nx}{\alpha'} + \left(K''_n \cos \frac{nx}{\beta'} + K'''_n \sin \frac{nx}{\beta'} \right) \operatorname{Sh} \frac{nx}{\alpha'} \right] \sin \frac{n\pi y}{b}$$

z oznaczeniami:

$$(148b) \quad K'_n = \frac{\beta' \left(\operatorname{Ch} \frac{na}{\alpha'} - \cos \frac{na}{\beta'} \right)}{\alpha' \operatorname{Sh} \frac{na}{\alpha'} + \beta' \sin \frac{na}{\beta'}}; \quad K''_n = \frac{\alpha'}{\beta'} K'_n;$$

$$(148b) \quad K_n'' = \frac{\beta' \operatorname{Sh} \frac{na}{\alpha'} - \alpha' \sin \frac{na}{\beta'}}{\alpha' \operatorname{Sh} \frac{na}{\alpha'} + \beta' \sin \frac{na}{\beta'}}$$

stałe α' i β' mają tutaj poprzednie znaczenie (ob. § 12).

Stosownie do tego wypadają dla najważniejszych wielkości statycznych w I przypadku wzory:

$$(149.I) \quad M_1 = \frac{b^2 \bar{B}_1}{\pi^2 \bar{B}_2} \sum_n^{c_n} \left\{ \frac{1}{m_2} + \frac{1}{\beta_{an} - \alpha_{an}} \left[\left(\frac{b^2}{\pi^2 \alpha^2} - \frac{1}{m_2} \right) \left(\alpha \operatorname{Sh} \frac{nx}{\alpha} - \alpha_{an} \operatorname{Ch} \frac{nx}{\alpha} \right) - \left(\frac{b^2}{\pi^2 \beta^2} - \frac{1}{m_2} \right) \left(\beta \operatorname{Sh} \frac{nx}{\beta} - \beta_{an} \operatorname{Ch} \frac{nx}{\beta} \right) \right] \right\} \sin \frac{n\pi y}{b},$$

$$(150.I) \quad M_2 = \frac{b^2}{\pi^2} \sum_n^{c_n} \left\{ 1 - \frac{1}{\beta_{an} - \alpha_{an}} \left[\left(1 - \frac{1}{m_1 \pi^2 \beta^2} \right) \left(\beta_{an} \operatorname{Ch} \frac{nx}{\beta} - \beta \operatorname{Sh} \frac{nx}{\beta} \right) - \left(1 - \frac{b^2}{m_1 \pi^2 \alpha^2} \right) \left(\alpha_{an} \operatorname{Ch} \frac{nx}{\alpha} - \alpha \operatorname{Sh} \frac{nx}{\alpha} \right) \right] \right\} \sin \frac{n\pi y}{b},$$

$$(151.I) \quad D = \frac{b^3}{\pi^3} \cdot \frac{2C}{\bar{B}_2} \sum_n^{c_n} \frac{1}{\beta_{an} - \alpha_{an}} \left(\operatorname{Ch} \frac{nx}{\alpha} - \operatorname{Ch} \frac{nx}{\beta} - \frac{\alpha_{an}}{\alpha} \operatorname{Sh} \frac{nx}{\alpha} + \frac{\beta_{an}}{\beta} \operatorname{Sh} \frac{nx}{\beta} \right) \cos \frac{n\pi y}{b},$$

$$(152.I) \quad (M_1)_{x=0} = - \frac{b^2 \bar{B}_1}{\pi^2 \bar{B}_2} \sum_n^{c_n} \frac{1}{n^2} \left(\frac{\alpha_{an} + \beta_{an}}{\beta_{an} - \alpha_{an}} \sqrt{\left(\frac{H}{\bar{B}_1} \right)^2 - \frac{\bar{B}_2}{\bar{B}_1}} - \frac{H}{\bar{B}_1} \right) \sin \frac{n\pi y}{b},$$

$$(153.I) \quad (M_2)_{x=0} = \frac{1}{m_1} \frac{\bar{B}_2}{\bar{B}_1} (M_1)_{x=0},$$

$$(154.I) \quad (M_1)_{x=\frac{a}{2}} = \frac{b^2 \bar{B}_1}{\pi^2 \bar{B}_2} \sum_n^{c_n} \left(\frac{1}{m_2} - \frac{\alpha}{\beta_{an} - \alpha_{an}} \cdot \frac{\frac{b^2}{\pi^2 \alpha^2} - \frac{1}{m_2}}{\operatorname{Sh} \frac{na}{2\alpha}} + \frac{\beta}{\beta_{an} - \alpha_{an}} \cdot \frac{\frac{b^2}{\pi^2 \beta^2} - \frac{1}{m_2}}{\operatorname{Sh} \frac{na}{2\beta}} \right) \sin \frac{n\pi y}{b},$$

$$(155. I) \quad (M_2)_{z=\frac{a}{2}} = \frac{b^2}{\pi^2} \sum_n c_n \left(1 + \frac{a}{\beta_{an} - \alpha_{an}} \cdot \frac{1 - \frac{b^2}{m_1 \pi^2 \alpha^2}}{\operatorname{Sh} \frac{na}{2\alpha}} - \right. \\ \left. - \frac{\beta}{\beta_{an} - \alpha_{an}} \cdot \frac{1 - \frac{b^2}{m_1 \pi^2 \beta^2}}{\operatorname{Sh} \frac{na}{2\beta}} \right) \sin \frac{n\pi y}{b},$$

$$(156. I) \quad R_1 = (V_1)_{z=0} = (\beta^2 - \alpha^2) \sum_n \frac{c_n}{n} \cdot \frac{\sin \frac{n\pi y}{b}}{\beta_{an} - \alpha_{an}},$$

$$(157. I) \quad \left. \begin{aligned} (R_2)_{y=0} = (V_2)_{y=0} &= \frac{b}{\pi} \sum_n c_n \left[1 - (m_1, \alpha)_n \frac{\operatorname{Ch} \frac{n}{\alpha} \left(\frac{a}{2} - x \right)}{\operatorname{Sh} \frac{na}{2\alpha}} + \right. \\ &\quad \left. + (m_1, \beta)_n \frac{\operatorname{Ch} \frac{n}{\beta} \left(\frac{a}{2} - x \right)}{\operatorname{Sh} \frac{na}{2\beta}} \right], \\ (R_2)_{y=b} = (V_2)_{y=b} &= -\frac{b}{\pi} \sum_n \frac{(-1)^{n-1} c_n}{n} \left[1 - (m_1, \alpha)_n \frac{\operatorname{Ch} \frac{n}{\alpha} \left(\frac{a}{2} - x \right)}{\operatorname{Sh} \frac{na}{2\alpha}} + \right. \\ &\quad \left. + (m_1, \beta)_n \frac{\operatorname{Ch} \frac{n}{\beta} \left(\frac{a}{2} - x \right)}{\operatorname{Sh} \frac{na}{2\beta}} \right], \end{aligned} \right\}$$

ze skracającymi oznaczeniami:

$$(157a) \quad (m_1, \alpha)_n = \frac{\alpha}{\beta_{an} - \alpha_{an}} \left[\frac{b^2}{\pi^2 \alpha^2} \left(\frac{2C}{B_2} + \frac{1}{m_1} \right) - 1 \right]; \\ (m_1, \beta)_n = \frac{\beta}{\beta_{an} - \alpha_{an}} \left[\frac{b^2}{\pi^2 \beta^2} \left(\frac{2C}{B_2} + \frac{1}{m_1} \right) - 1 \right]; \dots$$

$$(158. I) \quad \bar{R}_1 = \int_0^b R_1 dy = \frac{b}{\pi} (\beta^2 - \alpha^2) \sum_{n=1,2,3,\dots}^{\infty} \frac{c_n}{n^2} \frac{(-1)^{n-1} + 1}{\beta_{an} - \alpha_{an}} =$$

$$= \frac{2b}{\pi} (\beta^2 - \alpha^2) \sum_{n=1,3,5,\dots}^{\infty} \frac{c_n}{n^2} \cdot \frac{1}{\beta \operatorname{Cth} \frac{sa}{2\beta} - \alpha \operatorname{Cth} \frac{sa}{2\alpha}}$$

$$(159. I) \quad \left\{ \begin{aligned} (\bar{R}_2)_{y=0} &= \int_0^a (R_2)_{y=0} dx = \frac{b}{\pi} \sum_n^{\infty} \frac{c_n}{n} \left(a - \frac{2}{n} \frac{\beta^2 - \alpha^2}{\beta_{an} - \alpha_{an}} \right), \\ |\bar{R}_2|_{y=b} &= \frac{b}{\pi} \sum_n^{\infty} \frac{(-1)^{n-1} c_n}{n} \left(a - \frac{2}{n} \frac{\beta^2 - \alpha^2}{\beta_{an} - \alpha_{an}} \right) \end{aligned} \right.$$

Z ostatnich trzech wzorów wypływa, jako pożądana próba rachunku, wynik:

$$2 \bar{R}_1 + (\bar{R}_2)_{y=0} + |\bar{R}_2|_{y=b} = \frac{2ab}{\pi} \sum_n^{\infty} \frac{c_n}{n} = \int_0^a \int_0^b p dx dy$$

zgodny rzeczywiście z ogólnymi warunkami równowagi. Narożnych reakcyj niema, ponieważ D znika w rogach płyty. Dla ugięcia w osi symetrii $x = \frac{a}{2}$ otrzymujemy jeszcze wyrażenie:

$$(160. I) \quad (\zeta)_{x=\frac{a}{2}} = \frac{b^4}{\pi^4 \bar{B}_2} \sum_n^{\infty} \frac{c_n}{n^4} \left[1 - \frac{1}{\beta_{an} - \alpha_{an}} \left(\frac{\beta}{\operatorname{Sh} \frac{na}{2\beta}} - \frac{\alpha}{\operatorname{Sh} \frac{na}{2\alpha}} \right) \right] \sin \frac{n\pi y}{b}$$

Najważniejsze odpowiadające wzory II-go przypadku mają postać następującą:

$$(152. II) \quad (M_1)_{x=0} = -\frac{b^2}{\pi^2} \sqrt{\frac{\bar{B}_1}{\bar{B}_2}} \sum_n^{\infty} \frac{c_n}{n^2} \cdot \frac{\operatorname{Sh} \frac{na}{\gamma} - \frac{na}{\gamma}}{\operatorname{Sh} \frac{na}{\gamma} + \frac{na}{\gamma}} \cdot \sin \frac{n\pi y}{b}$$

$$(153. II) \quad (M_2)_{x=0} = \frac{1}{m_1} \cdot \frac{\bar{B}_2}{\bar{B}_1} (M_1)_{x=0}$$

$$(154. II) \quad (M_1)_{x=\frac{a}{2}} = -\frac{b^2}{\pi^2} \sqrt{\frac{\bar{B}_1}{\bar{B}_2}} \sum_n \frac{c_n}{n^2} \left[\frac{1}{m_2} \sqrt{\frac{\bar{B}_1}{\bar{B}_2}} + \right. \\ \left. + 2 \frac{na}{2\gamma} \left(1 - \frac{1}{m_2} \sqrt{\frac{\bar{B}_1}{\bar{B}_2}} \right) \frac{Ch \frac{na}{2\gamma} - \left(1 + \frac{1}{m_2} \sqrt{\frac{\bar{B}_1}{\bar{B}_2}} \right) Sh \frac{na}{2\gamma}}{Sh \frac{na}{\gamma} + \frac{na}{\gamma}} \right] \sin \frac{n\pi y}{b}$$

$$(155. II) \quad (M_2)_{x=\frac{a}{2}} = \frac{b^2}{\pi^2} \sum_n \frac{c_n}{n^2} \left[1 - \right. \\ \left. - 2 \frac{na}{2\gamma} \left(1 - \frac{1}{m_1} \sqrt{\frac{\bar{B}_2}{\bar{B}_1}} \right) \frac{Ch \frac{na}{2\gamma} + \left(1 + \frac{1}{m_1} \sqrt{\frac{\bar{B}_2}{\bar{B}_1}} \right) Sh \frac{na}{2\gamma}}{Sh \frac{na}{\gamma} + \frac{na}{\gamma}} \right] \sin \frac{n\pi y}{b}$$

$$(156. II) \quad R_1 = 2\gamma \sum_n \frac{c_n}{n} \cdot \frac{Ch \frac{na}{\gamma} - 1}{Sh \frac{na}{\gamma} + \frac{na}{\gamma}} \cdot \sin \frac{n\pi y}{b}$$

$$(157. II) \quad \left. \begin{aligned} (R_2)_{y=0} &= \frac{b}{\pi} \sum_n \frac{c_n}{n} \left\{ 1 - \right. \\ & \left. \frac{2(\gamma'+1) Sh \frac{na}{2\gamma} Ch \frac{n}{\gamma} \left(\frac{a}{2} - x \right) - (\gamma'-1) \left[\frac{na}{\gamma} Ch \frac{nx}{\gamma} + 2 \frac{nx}{\gamma} Sh \frac{na}{2\gamma} Sh \frac{n}{\gamma} \left(\frac{a}{2} - x \right) \right]}{Sh \frac{na}{\gamma} + \frac{na}{\gamma}} \right\} \\ (R_2)_{y=b} &= -\frac{b}{\pi} \sum_n \frac{(-1)^{n-1} c_n}{n} \left\{ 1 - \right. \\ & \left. \frac{2(\gamma'+1) Sh \frac{na}{2\gamma} Ch \frac{n}{\gamma} \left(\frac{a}{\gamma} - x \right) - (\gamma'-1) \left[\frac{na}{\gamma} Ch \frac{nx}{\gamma} + 2 \frac{nx}{\gamma} Sh \frac{na}{2\gamma} Sh \frac{n}{\gamma} \left(\frac{a}{2} - x \right) \right]}{Sh \frac{na}{\gamma} + \frac{na}{\gamma}} \right\} \end{aligned} \right\}$$

z oznaczeniem

$$\gamma' = \left(\frac{2C}{\bar{B}_2} + \frac{1}{m_1} \right) \sqrt{\frac{\bar{B}_2}{\bar{B}_1}}$$

$$(158. II) \quad R_1 = 4 \frac{b\gamma}{\pi} \sum_{s=1,3,5,\dots} c_s \frac{Ch \frac{sa}{\gamma} - 1}{Sh \frac{sa}{\gamma} + \frac{sa}{\gamma}}$$

$$(159. II) \quad \left\{ \begin{aligned} (R_2)_{y=0} &= \frac{b}{\pi} \sum_n \frac{c_n}{n} \left(a - \frac{4\gamma}{n} \frac{Ch \frac{na}{\gamma} - 1}{Sh \frac{na}{\gamma} + \frac{na}{\gamma}} \right), \\ (R_2)_{y=b} &= \frac{b}{\pi} \sum_n \frac{(-1)^{n-1} c_n}{n} \left(a - \frac{4\gamma}{n} \frac{Ch \frac{na}{\gamma} - 1}{Sh \frac{na}{\gamma} + \frac{na}{\gamma}} \right). \end{aligned} \right.$$

$$(160. II) \quad (\zeta)_{x=\frac{a}{2}} = \frac{2b^4}{\pi^4 \bar{B}_2} \sum_n \frac{c_n}{n^4} \frac{Sh \frac{na}{2\gamma} - \frac{na}{2\gamma}}{Sh \frac{na}{\gamma} + \frac{na}{\gamma}} \left(Ch \frac{na}{2\gamma} - 1 \right) \sin \frac{n\pi y}{b}$$

Nakoniec w III przypadku otrzymujemy wzory:

$$(152. III) \quad (M_1)_{x=0} = -\frac{b^4}{\pi^4} \cdot \frac{\bar{B}_1}{\bar{B}_2} \sum_n \frac{c_n}{n^2} \left(\frac{1}{\beta'^2} - \frac{1}{\alpha'^2} + \frac{2K_n'''}{\alpha' \beta'} \right) \sin \frac{n\pi y}{b}$$

$$(153. III) \quad (M_2)_{x=0} = \frac{1}{m_1} \frac{\bar{B}_2}{\bar{B}_1} (M_1)_{x=0}$$

$$(154. III) \quad (M_1)_{x=\frac{a}{2}} = \int_{x=\frac{a}{2}} \frac{b^2}{\pi^2} \cdot \frac{\bar{B}_1}{\bar{B}_2} \sum_n \frac{c_n}{n^2} \left[\frac{1}{m_2} + \left(C_n - \frac{1}{m_2} \right) Ch \frac{nx}{\alpha'} \cos \frac{nx}{\beta'} + \right. \\ \left. + \left(C_n' - \frac{K_n'}{m_2} \right) Ch \frac{nx}{\alpha'} \sin \frac{nx}{\beta'} + \left(-C_n'' + \frac{K_n''}{m_2} \right) Sh \frac{nx}{\alpha'} \cos \frac{nx}{\beta'} + \right. \\ \left. + \left(-C_n''' + \frac{K_n'''}{m_2} \right) Sh \frac{nx}{\alpha'} \sin \frac{nx}{\beta'} \right] \sin \frac{n\pi y}{b}$$

$$(155. III) \quad (M_2)_{x=\frac{a}{2}} = \int_{x=\frac{a}{2}} \frac{b^2}{\pi^2} \sum_n \frac{c_n}{n^2} \left[1 + \left(\frac{C_n}{m_1} - 1 \right) Ch \frac{nx}{\alpha'} \cos \frac{nx}{\beta'} + \right. \\ \left. + \left(\frac{C_n'}{m_1} - K_n' \right) Ch \frac{nx}{\alpha'} \sin \frac{nx}{\beta'} + \left(-\frac{C_n''}{m_1} + K_n'' \right) Sh \frac{nx}{\alpha'} \cos \frac{nx}{\beta'} + \right. \\ \left. + \left(-\frac{C_n'''}{m_1} + K_n''' \right) Sh \frac{nx}{\alpha'} \sin \frac{nx}{\beta'} \right] \sin \frac{n\pi y}{b}$$

z następującymi wartościami współczynników:

$$C_n = \frac{2b^2}{\pi^2 \alpha' \beta'} \left(\frac{\beta'^2 - \alpha'^2}{2\alpha' \beta'} - K_n'''' \right), \quad C_n' = \frac{2b^2}{\pi^2 \alpha' \beta'} \left(K_n' \frac{\beta'^2 - \alpha'^2}{2\alpha' \beta'} + K_n'''' \right);$$

$$C_n'' = \frac{2b^2}{\pi^2 \alpha' \beta'} \left(K_n'' \frac{\beta'^2 - \alpha'^2}{2\alpha' \beta'} - K_n' \right), \quad C_n''' = \frac{2b^2}{\pi^2 \alpha' \beta'} \left(K_n''' \frac{\beta'^2 - \alpha'^2}{2\alpha' \beta'} + 1 \right);$$

$$(156. III) \quad R_1 = \frac{b^4}{\pi^4} \cdot \frac{\bar{B}_1}{\bar{B}_2} \cdot \frac{2}{\alpha' \beta'} \sum_n c_n \cdot \frac{K_n''}{\alpha'} \left(\frac{\alpha'}{\beta'} + \frac{\beta'}{\alpha'} \right) \sin \frac{n\pi y}{b}$$

$$(157. III) \quad \left\{ \begin{array}{l} (R_2)_{y=0} = \frac{b}{\pi} \sum_n c_n \left(1 + N_n Ch \frac{nx}{\alpha'} \cos \frac{nx}{\beta'} + N_n' Ch \frac{nx}{\alpha'} \sin \frac{nx}{\beta'} + \right. \\ \quad \left. + N_n'' Sh \frac{nx}{\alpha'} \cos \frac{nx}{\beta'} + N_n''' Sh \frac{nx}{\alpha'} \sin \frac{nx}{\beta'} \right), \\ (R_2)_{y=b} = \frac{b}{\pi} \sum_n \frac{(-1)^{n-1} c_n}{n} \left(1 + N_n Ch \frac{nx}{\alpha'} \cos \frac{nx}{\beta'} + \right. \\ \quad \left. + N_n' Ch \frac{nx}{\alpha'} \sin \frac{nx}{\beta'} + N_n'' Sh \frac{nx}{\alpha'} \cos \frac{nx}{\beta'} + N_n''' Sh \frac{nx}{\alpha'} \sin \frac{nx}{\beta'} \right), \end{array} \right.$$

z wartościami współczynników

$$N_n = C_n \left(\frac{2C}{\bar{B}_2} + \frac{1}{m_1} \right) - 1, \quad N_n' = C_n' \left(\frac{2C}{\bar{B}_2} + \frac{1}{m_1} \right) - K_n'';$$

$$N_n'' = -C_n'' \left(\frac{2C}{\bar{B}_2} + \frac{1}{m_1} \right) + K_n', \quad N_n''' = -C_n''' \left(\frac{2C}{\bar{B}_2} + \frac{1}{m_1} \right) + K_n'''';$$

$$(158. III) \quad R_1 = \frac{b^5 \bar{B}_1}{\pi^5 \bar{B}_2} \cdot \frac{4}{\beta'} \cdot \frac{\alpha'^2 + \beta'^2}{\alpha'^2 \beta'^2} \sum_{s=1,3,5,\dots} c_s K_s' = \frac{4b^3}{\pi^3 \beta'} \sqrt{\frac{\bar{B}_1}{\bar{B}_2}} \sum_s c_s \frac{K_s'}{s^2}$$

$$(159. III) \quad \left\{ \begin{array}{l} (\bar{R}_2)_{y=0} = \frac{b}{\pi} \sum_n c_n \left(a - \frac{4 K_n' b^2}{n \beta' \pi^2} \sqrt{\frac{\bar{B}_1}{\bar{B}_2}} \right), \\ (\bar{R}_2)_{y=b} = \frac{b}{\pi} \sum_n \frac{(-1)^{n-1} c_n}{n} \left(a - \frac{4 K_n' b^2}{n \beta' \pi^2} \sqrt{\frac{\bar{B}_1}{\bar{B}_2}} \right). \end{array} \right.$$

Znaczenie praktyczne mają przede wszystkim następujące szczególne przypadki obciążenia a) $p = p_0 + \frac{p_1 - p_0}{b} y$ (obciążenie 'hydrostatyczne'); b) $p = q = \text{stałej}$ (obciążenie równomierne).

Przy obciążeniu hydrostatycznym trzeba w powyższych wzorach wstawić

$$c_n = \frac{2}{n\pi} [p_0 + (-1)^{n-1} p_1], \quad (n = 1, 2, 3, \dots),$$

a przy równomiernie rozłożonem:

$$c_n = c_s = \frac{4}{s\pi} q, \quad (s = 1, 3, 5, \dots)$$

Dla obciążenia równomiernie rozłożonego otrzymujemy z (148. II) następujące równanie powierzchni ugięcia w II-gim przypadku ($H^2 = \bar{B}_1 \bar{B}_2$).

$$(148. IIb) \quad \zeta = \frac{4qb^4}{\pi^5 \bar{B}_2} \sum_{n=1,3,5,\dots} \frac{1}{n^5} \left[1 - \left(1 + A_n \frac{nx}{\gamma} \right) Ch \frac{nx}{\gamma} + A_n \left(1 + \frac{nx}{\gamma} Cth \frac{na}{2\gamma} \right) Sh \frac{nx}{\gamma} \right] \sin \frac{n\pi y}{b}$$

Tutaj oznacza jak poprzednio:

$$A_n = \frac{Ch \frac{na}{\gamma} - 1}{Sh \frac{na}{\gamma} + \frac{na}{\gamma}}, \quad \gamma = \frac{b}{\pi} \sqrt{\frac{\bar{B}_1}{\bar{B}_2}}$$

Po wstawieniu w powyższym wzorze wartości $x = \frac{a}{2}$, $y = \frac{b}{2}$ wypada dla strzałki ugięcia wyrażenie:

$$f = \frac{4qb^4}{\pi^5 \bar{B}_2} \sum_n \frac{(-1)^{\frac{n-1}{2}}}{n^5} \left[1 - 2 \frac{Sh \frac{na}{2\gamma} + \frac{na}{2\gamma} Ch \frac{na}{2\gamma}}{Sh \frac{na}{\gamma} + \frac{na}{\gamma}} \right],$$

albo

$$f = \frac{8qb^4}{\pi^5 \bar{B}_2} \sum_n \frac{(-1)^{\frac{n-1}{2}}}{n^5} \cdot \frac{\left(Ch \frac{na}{2\gamma} - 1 \right) \left(Sh \frac{na}{2\gamma} - \frac{na}{2\gamma} \right)}{Sh \frac{na}{\gamma} + \frac{na}{\gamma}} = \psi \cdot \frac{qb^4}{\bar{B}_2}$$

Kilka wartości współczynnika liczbowego ψ zawiera niżej

umieszczona tabliczka, przeliczona z tablicy 9 w przytoczonej powyżej pracy Nádaï'a, w tym bowiem szczególnym przypadku, stosownie do rozważań w § 7, da się rozwiązanie dla płyty równokierunkowej przenieść bezpośrednio na płytę nierównokierunkową.

| | | | | | | | |
|--|----------------------|----------------------|----------------------|---------------|---------------|---------------|----------|
| $\frac{a}{b} \sqrt{\frac{B_2}{B_1}} =$ | 0,6 | 0,8 | 1 | $\frac{5}{4}$ | $\frac{5}{3}$ | $\frac{5}{2}$ | ∞ |
| $\psi =$ | 0,00029 ₁ | 0,00091 ₂ | 0,00189 ₄ | 0,00355 | 0,00647 | 0,01051 | 0,01302 |

Dokładne obliczenie największych wartości momentów zginających da się łatwo wykonać w przypadku obciążenia rozłożonego równomiernie, przy pomocy formuł (152–155), ponieważ te wartości występują widocznie w punktach $(0, \frac{b}{2})$ i $(\frac{a}{2}, \frac{b}{2})$. Inaczej ma się rzecz w przypadku obciążenia hydrostatycznego (trapezowego), gdyż wtedy wypadaloby rozwiązywać złożone równanie przestępne. Z tego powodu musimy się zwykle zadowolnić obliczaniem wartości momentów w punktach $(0, \frac{b}{2})$ i $(\frac{a}{2}, \frac{b}{2})$, które tembardziej będą się zbliżać do największych wartości, im mniejszą jest różnica $p_1 - p_0$.

Interesującym jest rozkład reakcyj podporowych wzdłuż brzegów podpartych a . Z wzorów dla R_2 czytamy mianowicie, że te reakcje stają się w pobliżu rogów płyty ujemne, t. zn. skierowane ku dołowi, podczas gdy w okolicy środka brzegu są dodatnie, tak, iż całkowita reakcja R_2 wypada stosunkowo mała. Ta reakcja znika nawet zupełnie w granicznym przypadku $b = \infty$, przeto przy małych wartościach stosunku $a : b$ przenosi się prawie całe obciążenie płyty na podpory jej utwierdzonych brzegów b . Reakcje R_1 tych brzegów ubywają wprawdzie także od środka ku rogom, gdzie stają się równe 0, lecz pozostają wszędzie dodatnie¹.

¹ Dość rozpowszechniona reguła praktyczna zaleca wykonanie przybliżonego obliczenia statycznego płyt betonowych uzbrojonych „na krzyż” w ten sposób, „iż obciążenie rozkłada się w odwrotnym stosunku czwartych potęg rozpiętości na obadwa kierunki niosące (Tragrichtungen), a następnie rachuje się temi częściowymi obciążeniami jak zwykle (według wzorów dla belek) i do tego stosuje się uzbrojenie”. (Prof. Mörsch Dr E., Der Eisenbetonbau, wyd. IV z r. 1912, str. 363). Otóż ta reguła prowadzi do wyników praktycznie dopuszczalnych tylko w dwu przypadkach, a mianowicie wszechstronnego swobodnego

§ 19. Rozwiązanie w przypadku zupełnego utwierdzenia i sprężystego podparcia brzegów poprzecznych, a zarazem częściowe rozwiązanie zagadnienia płyty żebrowej.

Bardzo długa płyta, opatrzona w różnych odstępach jednakowymi żebrami poprzecznymi, wydzielającymi z płyty pole prostokątne

podparcia i wszechstronnego utwierdzenia. Jeżeli jednak u jednej płyty zachodzą oba sposoby ustalenia brzegów, to zastosowanie dosłowne powyższej reguły prowadzi do całkiem grubych błędów. Tak np. wynikałoby z niej dla płyty kwadratowej, w obu kierunkach jednakowo uzbrojonej, że w przypadku podparcia dwu równoległych brzegów, a utwierdzenia dwu pozostałych, są całkowite reakcje wszystkich brzegów równe ($\bar{R}_1 = \bar{R}_2$, założywszy obciążenie równomiernie rozłożone), jakoteż, że największe momenty M_1 , M_2 , w środku płyty, oraz największy ujemny moment utwierdzenia $M_1^{(0)}$ stoją do siebie w stosunku $\frac{1}{24} : \frac{1}{8} : \frac{1}{12} = 1 : 3 : 2$. Tymczasem nasze ściśle wzory teoretyczne dla przypadku II dają najpierw ogólnie dla przyjętego obciążenia:

$$\bar{R}_1 = \frac{16}{\pi^3} \sqrt{\frac{\bar{B}_1}{\bar{B}_2}} q b^2 \sum_{n=1,3,5,\dots} \frac{1}{n^3} \frac{Ch n\pi\epsilon - 1}{Sh n\pi\epsilon + n\pi\epsilon},$$

$$\bar{R}_2 = \frac{4}{\pi^2} b q \sum_{n=1,3,5,\dots} \frac{1}{n^2} \left(a - \frac{4}{n\pi} \frac{a}{\epsilon} \frac{Ch n\pi\epsilon - 1}{Sh n\pi\epsilon + n\pi\epsilon} \right),$$

$$M_1' = \frac{8}{\pi^3} \frac{q a^2}{\epsilon^2} \sum_{n=1,3,5,\dots} \frac{(-1)^{\frac{n-1}{2}}}{n^3} \cdot \frac{\frac{n\pi\epsilon}{2} Ch \frac{n\pi\epsilon}{2} - Sh \frac{n\pi\epsilon}{2}}{Sh n\pi\epsilon + n\pi\epsilon},$$

$$M_2' = \frac{1}{8} q b^2 - \frac{8}{\pi^3} q b^2 \sum_{n=1,3,5,\dots} \frac{(-1)^{\frac{n-1}{2}}}{n^3} \cdot \frac{\frac{n\pi\epsilon}{2} Ch \frac{n\pi\epsilon}{2} + Sh \frac{n\pi\epsilon}{2}}{Sh n\pi\epsilon + n\pi\epsilon},$$

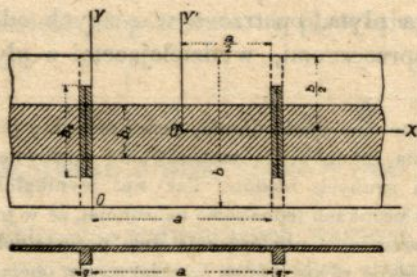
$$M_1 = M_1' + \frac{1}{m_2} \frac{\bar{B}_1}{\bar{B}_2} M_2', \quad M_2 = M_2' + \frac{1}{m_1} \frac{\bar{B}_2}{\bar{B}_1} M_1',$$

$$M_1^{(0)} = - \frac{4}{\pi^3} \frac{q a^2}{\epsilon^2} \sum_{n=1,3,5,\dots} \frac{(-1)^{\frac{n-1}{2}}}{n^2} \cdot \frac{Sh n\pi\epsilon - n\pi\epsilon}{Sh n\pi\epsilon + n\pi\epsilon},$$

a w szczególności przy $a = b$, $\bar{B}_1 = \bar{B}_2$, $m_1 = m_2$:

$$\bar{R}_1 = \frac{16}{\pi^3} q b^2 \left(\frac{Ch \pi - 1}{Sh \pi + \pi} + \frac{1}{27} \frac{Ch 3\pi - 1}{Sh 3\pi + 3\pi} + \frac{1}{125} \frac{Ch 5\pi - 1}{Sh 5\pi + 5\pi} + \dots \right),$$

katne o długości a i szerokości b (rys. 21), wygina się pod wpływem obciążenia symetrycznego względem płaszczyzny osiowej każ-



Rys. 21.

dego zębra tak, jak szereg płyt prostokątnych o wymiarach a i b przy swobodnem poziomem podparciu brzegów a i poziomem utwier-

$$M_1' = \frac{8}{\pi^3} qa^2 \left[\frac{\frac{\pi}{2} Ch \frac{\pi}{2} - Sh \frac{\pi}{2}}{Sh \pi + \pi} - \frac{1}{27} \frac{\frac{3\pi}{2} Ch \frac{3\pi}{2} - Sh \frac{3\pi}{2}}{Sh 3\pi + 3\pi} + \dots \right],$$

$$M_2' = \frac{1}{8} qb^2 - \frac{8}{\pi^3} qb^2 \left[\frac{\frac{\pi}{2} Ch \frac{\pi}{2} + Sh \frac{\pi}{2}}{Sh \pi + \pi} - \frac{1}{27} \frac{\frac{3\pi}{2} Ch \frac{3\pi}{2} + Sh \frac{3\pi}{2}}{Sh 3\pi + 3\pi} + \dots \right],$$

$$M_1^{(0)} = -\frac{4}{\pi^3} qa^2 \left(\frac{Sh \pi - \pi}{Sh \pi + \pi} - \frac{1}{27} \frac{Sh 3\pi - 3\pi}{Sh 3\pi + 3\pi} + \frac{1}{125} \frac{Sh 5\pi - 5\pi}{Sh 5\pi + 5\pi} - \dots \right)$$

Stąd wynika po pierwsze:

$$\bar{R}_1 = 0,79 \frac{qb^2}{2}, \quad \bar{R}_2 = 0,21 \frac{qb^2}{2},$$

czyli, że brzegi utwierdzone przenoszą na podpory około 79:21 = 3,8 razy większą część całkowitego obciążenia od tej, jaką przenoszą brzegi swobodnie podparte; powtórę zaś:

$$M_1' = 0,0285 qa^2 = \frac{1}{35,09} qa^2, \quad M_2' = 0,0158 qb^2 = \frac{1}{63,29} qb^2;$$

$$M_1 = M_1' + \frac{1}{8} M_2' = 0,3011 qa^2, \quad M_2 = M_2' + \frac{1}{8} M_1' = 0,0206 qb^2;$$

$$M_1^{(0)} = -0,0699 qa^2 = -\frac{1}{14,31} qa^2.$$

dzeniu sprężycie podpartych brzegów b . Obrawszy układ współrzędnych XOY w sposób, uwidoczony na rysunku, możemy równa-

A zatem:

$$M_1 : M_2 : -M_1^{(0)} = 0,0311 : 0,0206 : 0,0699 = \sim 3 : 2 : 7.$$

Według tego ma M_2 z pośród wszystkich trzech momentów najmniejszą wartość, podczas gdy przytoczona powyżej reguła praktyczna prowadzi do wprost przeciwnego wyniku i wskutek tego staje się w rozpatrywanym przypadku zupełnie bezużyteczną.

Przyczyna tego grubego błędu leży najprawdopodobniej w zbyt zwięzłym ujęciu reguły, albowiem prowadząca do niej myśl podstawowa jest z punktu widzenia praktyczno-naukowego całkiem zdrowa. Ta myśl polega mianowicie na tem, że płytę zastępujemy w przybliżeniu dwoma krzyżującymi się skrawkami, które traktujemy jako belki, a z warunku równego ugięcia w miejscu skrzyżowania obliczamy odpowiadające udziały obciążenia q_a i q_b . Ten przybliżony sposób pozwala nawet uwzględnić różnice uzbrojenia w obu głównych kierunkach, na co, zdaje się, dotychczas nikt nie zwrócił uwagi. W zastosowaniu do naszego przypadku mamy dla strzałki ugięcia skrawka obustronnie utwierdzonego o rozpiętości a : $\frac{1}{384} \cdot \frac{q_a a^4}{\bar{B}_1}$, a dla skrawka swobodnie podpartego o rozpiętości b : $\frac{5}{384} \cdot \frac{q_b b^4}{\bar{B}_2}$. Różnice uzbrojenia tkwią tutaj oczywiście w belkowych sztywnościach zginania $\bar{B}_1 = E_b I_1$ i $\bar{B}_2 = E_b I_2$. Porównanie obu wyrażeń daje:

$$q_a : q_b = \frac{5\bar{B}_1}{a^4} \cdot \frac{\bar{B}_2}{b^4},$$

a zważywszy, że $q_a + q_b = q$:

$$q_a = \frac{5\bar{B}_1 b^4}{5\bar{B}_1 b^4 + \bar{B}_2 a^4} \cdot q, \quad q_b = \frac{\bar{B}_2 a^4}{5\bar{B}_1 b^4 + \bar{B}_2 a^4} \cdot q.$$

Wstawivszy teraz te wartości w odpowiadające wzory dla momentów zgięcia belek, otrzymujemy:

$$M_1 = \frac{1}{24} q_a a^2 = \frac{5}{24} \cdot \frac{1}{5 + \varepsilon^4} \cdot q a^2,$$

$$M_2 = \frac{1}{8} q_b b^2 = \frac{1}{8} \cdot \frac{\varepsilon^4}{5 + \varepsilon^4} \cdot q b^2, \quad M_1^{(0)} = 2M_1$$

W szczególnym przypadku $a = b$, $\bar{B}_1 = \bar{B}_2$ ($\varepsilon = 1$) mamy:

$$M_1 = \frac{5}{144} q a^2 = 0,0347 q a^2, \quad M_2 = \frac{3}{144} q a^2 = 0,0208 q a^2,$$

nie powierzchni ugięcia dla rozpatrywanej części płyty napisać na podstawie rozwiązania w § 18 w następującej postaci:

$$(161. I) \quad \zeta = \frac{b^2}{\pi^4 \bar{B}_2} \sum_n \frac{c_n}{n^4} \left[1 - \frac{\omega_n}{\beta_{an} - \alpha_{an}} \left(\alpha \operatorname{Sh} \frac{nx}{\alpha} - \beta \operatorname{Sh} \frac{nx}{\beta} - \alpha_{an} \operatorname{Ch} \frac{nx}{\alpha} + \beta_{an} \operatorname{Ch} \frac{nx}{\beta} \right) \right] \sin \frac{n\pi y}{b}$$

Wielkości c_n ($n = 1, 2, 3, \dots$) oznaczają tutaj, jak w § 14-ym, współczynniki Fourier'owskiego rozwinięcia obciążenia płyty

$$p(y) = \sum_n c_n \sin \frac{n\pi y}{b},$$

przyjętego jako niezależne od x ; ω_n są nieznanne współczynniki, które muszą zależeć od obciążenia żeber, tudzież od warunków sztywności żeber i płyty. Do ich wyznaczenia zastosujemy znowu metodę Ritz'a i przeprowadzimy rachunek dla następującego przypadku obciążenia:

— $M_1^{(e)} = 0,0694 qa^2$, a więc:

$$M_1 : M_2 : -M_1^{(e)} = 5 : 3 : 10 = 3 : 1,8 : 6$$

Teraz są znalezione wartości przybliżone już do przyjęcia.

Praktyczna ważność uwzględnienia różnic w sztywności zginania podłużnych i poprzecznych skrawków płyty wychodzi na jaw już z ogólnych teoretycznych badań niniejszej pracy; jednakże w tem miejscu dobrze jeszcze będzie położyć nacisk na okoliczność następującą:

Skoro płytę traktowaną jako równokierunkową obliczamy mniej lub więcej dokładnie i odpowiednio do tego uzbroimy w obu kierunkach, to ewentualna różnica uzbrojeń musi zmienić rozkład i wielkość momentów zginających. Ta zmiana może być w pewnych warunkach tak znaczną, że całe obliczenie traci grunt pod nogami. Wystarczy jeden przykład, aby to wykazać. Z rachunków na końcu § 14 wynika mianowicie, że w przypadku wielkiej długości płyty zmniejsza się wartość największego momentu M_1 około 2,5-krotnie, skoro przejdziemy od równego uzbrojenia w kierunkach a i b do nierównego, przy którym jest $\bar{B}_2 = 4\bar{B}_1$. Szczególną ostrożność należy zachować przy zastosowaniu wzorów przybliżonych. Tak np. z powyżej wyprowadzonych formuł przybliżonych możemy wnioskować, że przez słabsze uzbrojenie w kierunku rozpiętości a (czyli mniejsze \bar{B}_1) osiągniemy korzystne działanie w przypadku $a = b$, to jest zmniejszenie momentów M_1 i $-M_1^{(e)}$, a zwiększenie M_2 . Tymczasem ściśle rozwiązanie poucza, że przez to bezwzględna wartość $M_1^{(e)}$ nie zmniejsza się, lecz powiększa, ażeby zatem w rozpatrywanym przypadku osiągnąć korzystne działanie, należy osłabić uzbrojenie w kierunku b (lub wzmocnić w kierunku a).

Stałe obciążenie powierzchniowe q (kg/m²) środkowego paska płyty o szerokości b_1 i stałe obciążenie liniowe q' (kg/m) środkowej części osi zębra o długości b_2 .

Wtedy rów. (161. I) przybiera postać:

$$(162. I) \quad \zeta = \frac{4qb^4}{\pi^5 \bar{B}_2} \sum_n^{n-1} \frac{(-1)^{\frac{n-1}{2}} (n_1)}{n^5} \left[1 - \frac{\omega_n}{\beta_{an} - \alpha_{an}} \left(\alpha \operatorname{Sh} \frac{nx}{\alpha} - \beta \operatorname{Sh} \frac{nx}{\beta} - \alpha_{an} \operatorname{Ch} \frac{nx}{\alpha} + \beta_{an} \operatorname{Ch} \frac{nx}{\beta} \right) \right] \sin \frac{n\pi y}{b}$$

$$(n = 1, 3, 5, \dots, \quad (n_1) = \sin \frac{n\pi b_1}{2b}),$$

a po żmudnym, co prawda, rachunku znajdujemy, podobnie jak w § 16 dla energii potencjalnej części płyty ab wraz z jednym zębem wyrażenie:

$$(163. I) \quad L_1 = \frac{b}{4} \left(\frac{4qb^4}{\pi^5 \bar{B}_2} \right)^2 \left[\bar{B}_1 \sum_n^{(n_1)^2} \frac{\omega_n^2}{n^6 (\beta_{an} - \alpha_{an})^2} \left[\alpha \left(\frac{\alpha_{an}^2 - \alpha^2}{\alpha^4} + \frac{\beta_{an}^2 - \beta^2}{\beta^4} \right) + \frac{1}{n} \left(\frac{\alpha_{an} + \beta_{an}}{\alpha^2 + \beta^2} - 4 \frac{\beta_{an} - \alpha_{an}}{\beta^2 - \alpha^2} \right) \right] + \frac{\pi^4}{b^4} \bar{B}_2 \sum_n^{(n_1)^2} \left[a - \frac{4}{n} \frac{\beta^2 - \alpha^2}{\beta_{an} - \alpha_{an}} \omega_n + \frac{\omega_n^2}{(\beta_{an} - \alpha_{an})^2} \left\{ \frac{a}{2} \left(\alpha_{an}^2 + \beta_{an}^2 - \alpha^2 - \beta^2 \right) + \frac{1}{n} \left(\alpha^2 \alpha_{an} + \beta^2 \beta_{an} - 4\alpha^2 \beta^2 \frac{\beta_{an} - \alpha_{an}}{\beta^2 - \alpha^2} \right) \right\} \right] + \frac{2\pi^2}{b^2} H \sum_n^{(n_1)^2} \frac{\omega_n^2}{(\beta_{an} - \alpha_{an})^2} \left[- \frac{a}{2} \left(\frac{\alpha_{an}^2 - \alpha^2}{\alpha^2} + \frac{\beta_{an}^2 - \beta^2}{\beta^2} \right) + \frac{1}{n} \left\{ 2(\beta_{an} - \alpha_{an}) \frac{\alpha^2 + \beta^2}{\beta^2 - \alpha^2} - (\alpha_{an} + \beta_{an}) \right\} \right] + \frac{\pi^4}{b^4} (B^* - 2\bar{B}_2 c) \sum_n^{(n_1)^2} \frac{1}{n^6} (1 - \omega_n)^2 \right] (n = 1, 3, 5, \dots)$$

O występującej tutaj współdziałającej szerokości płyty c możemy na razie powiedzieć tylko, że różnica $\frac{a}{2} - c$ będzie dodatnią i że ta różnica maleje bardzo silnie ze zmniejszeniem odstępów zębów. Dokładniejszym wyznaczeniem wielkości c zajmiemy się osobno.

Gdyby powyższy rachunek przeprowadzić dla ogólniejszego przypadku obciążenia, a mianowicie dla

$$p(y) = \sum_n c_n \sin \frac{n\pi}{b} y \dots (n = 1, 2, 3, \dots),$$

to wyrażenie dla L_i miałyby postać:

$$(164. I) \quad L_i = \frac{b}{4} \left(\frac{b^4}{\pi^4 \bar{B}_2} \right)^2 \left\{ \bar{B}_1 \sum_n \frac{c_n^2}{n^4} \cdot \frac{\omega_n^2}{(\beta_{an} - \alpha_{an})^2} \left[\dots \dots \dots \right] + \right. \\ \left. + \frac{\pi^4}{b^4} \bar{B}_2 \sum_n \frac{c_n^2}{n^4} \left[\dots \dots \dots \right] + \frac{2\pi^2}{b^2} H \sum_n \frac{c_n^2}{n^4} \cdot \frac{\omega_n^2}{(\beta_{an} - \alpha_{an})^2} \left[\dots \dots \dots \right] + \right. \\ \left. + \frac{\pi^4}{b^4} (B^* - 2\bar{B}_2 c) \sum_n \frac{c_n^2}{n^4} (1 - \omega_n)^2 \right\}.$$

(Trzy niewypełnione wyrażenia w klamrach należy tutaj wziąć odpowiednio z wzoru 163. I, przy czym $n = 1, 2, 3, \dots$). Dla podwójnej pracy sił zewnętrznych otrzymamy w przyjętym poprzednio przypadku obciążenia (q, q') wyrażenie:

$$(165. I) \quad 2L = \frac{2b}{\pi} \cdot \frac{4qb^4}{\pi^5 \bar{B}_2} \left\{ q \sum_n \frac{(-1)^{\frac{n-1}{2}} (n_1)}{n^6} \left[a - \frac{2}{n} \cdot \frac{\beta^2 - \alpha^2}{\beta_{an} - \alpha_{an}} \omega_n \right] + \right. \\ \left. + q' \sum_n \frac{(-1)^{\frac{n-1}{2}} (n_2)}{n^6} (1 - \omega_n) \right\} (n = 1, 3, 5, \dots)$$

Równania warunkowe

$$\frac{\partial}{\partial \omega_n} (L_i - 2L) = 0$$

dostarczają teraz po licznych redukcjach:

$$(166. I) \quad \omega_n = \frac{\frac{B^*}{\bar{B}_2} - 2c - \frac{(n_2)q'}{(n_1)q}}{\frac{B^*}{\bar{B}_2} - 2c + \frac{2}{n} \cdot \frac{\beta^2 - \alpha^2}{\beta_{an} - \alpha_{an}}} \dots (n = 1, 3, 5, \dots)$$

Z temi wartościami parametrów ω_n przedstawia rów. (162. I) szukaną powierzchnię ugięcia. Znaleziona postać rozwiązania odpowiada przypadkowi I ($H^2 > \bar{B}_1 \bar{B}_2$); w przypadku II ($H^2 = \bar{B}_1 \bar{B}_2$) przekształca się na następującą:

$$(162. II) \quad \zeta = \frac{4qb^4}{\pi^5 \bar{B}_2} \sum_n \frac{(-1)^{\frac{n-1}{2}} (n_1)}{n^5} \left[1 - \omega_n \left\{ \left(1 + A_n' \frac{nx}{\gamma} \right) Ch \frac{nx}{\gamma} - \right. \right. \\ \left. \left. - \left(A_n' + A_n'' \frac{nx}{\gamma} \right) Sh \frac{nx}{\gamma} \right\} \sin \frac{n\pi y}{b} \right]$$

$$(166. II) \quad \omega_n = \frac{\frac{B^*}{\bar{B}_2} - 2c - \frac{(n_2)q'}{(n_1)q}}{\frac{B^*}{\bar{B}_2} - 2c + \frac{4\gamma}{n} A_n'}$$

Stałe A_n' , A_n'' mają przytem to samo znaczenie, co w rów. (148. II). Nakoniec w przypadku III ($H^2 < \bar{B}_1 \bar{B}_2$) przybiera rozwiązanie postać:

$$(162. III) \quad \zeta = \frac{4qb^4}{\pi^5 \bar{B}_2} \sum_n \frac{(-1)^{\frac{n-1}{2}} (n_1)}{n^5} \left[1 - \omega_n \left\{ \left(\cos \frac{nx}{\beta'} + \right. \right. \right. \\ \left. \left. + K_n' \sin \frac{nx}{\beta'} \right) Ch \frac{nx}{\alpha'} - \left(K_n'' \cos \frac{nx}{\beta'} + K_n''' \sin \frac{nx}{\beta'} \right) Sh \frac{nx}{\alpha'} \right\} \sin \frac{n\pi y}{b} \right]$$

$$(166. III) \quad \omega_n = \frac{\frac{B^*}{\bar{B}_2} - 2c - \frac{(n_2)q'}{(n_1)q}}{\frac{B^*}{\bar{B}_2} - 2c + \frac{4}{n} \frac{\alpha'^2 \beta'^2}{\alpha'^2 + \beta'^2} \frac{K_n'}{K_n'}}$$

Wyrażenia dla stałych K_n' , K_n'' i K_n''' pozostają tutaj te same, co w rów. (148. III). Jak łatwo zauważyć, przeistacza się znalezione rozwiązanie w granicznym przypadku $B^* - 2\bar{B}_2 c = 0$, t. j. bez żeber na

$$\zeta = \zeta(q) + \zeta(q'),$$

jeżeli

$$\zeta(q) = \frac{4qb^4}{\pi^5 \bar{B}_2} \sum_{n=1,3,5,\dots} \frac{(-1)^{\frac{n-1}{2}} (n_1)}{n^5} \sin \frac{n\pi y}{b},$$

$$\zeta(q') = \frac{2q'b^4}{\pi^5 \bar{B}_2} \sum_{n=1,3,5,\dots} \frac{(-1)^{\frac{n-1}{2}} (n_2)}{n^4 (\beta^2 - \alpha^2)} \left(\alpha Sh \frac{nx}{\alpha} - \beta Sh \frac{nx}{\beta} - \alpha_n Ch \frac{nx}{\beta} + \right. \\ \left. + \beta_n Ch \frac{nx}{\beta} \right) \sin \frac{n\pi y}{b},$$

co potwierdzają wyniki uzyskane poprzednio. W drugim granicznym

przypadku żeber zupełnie sztywnych ($B^* = \infty$) staje się $\omega_n = 1$, a rozwiązanie zgadza się ze znalezionem w § 17 (dla odpowiadającego przypadku obciążenia).

Z powodu podwójnej symetrii powierzchni ugięcia w rozpatrywanym przypadku obciążenia da się jej równanie jeszcze nieco uprościć przez równoległe przesunięcie układu współrzędnych do środka płyty ab . Wtedy równania (162. I II III) przybierają następującą postać:

$$(167. I) \quad \zeta = \frac{4qb^4}{\pi^5 B_2} \sum_n^{(n_1)} \frac{1}{n^5} \left[1 - \frac{\omega_n}{\beta_n - \alpha_n} \left(\beta \frac{Ch \frac{nx}{\beta}}{Sh \frac{na}{2\beta}} - \alpha \frac{Ch \frac{nx}{\alpha}}{Sh \frac{na}{2\alpha}} \right) \right] \cos \frac{n\pi y}{b},$$

$$(167. II) \quad \zeta = \frac{4qb^4}{\pi^5 B_2} \sum_n^{(n_1)} \frac{1}{n^5} \left[1 - 2\omega_n \frac{\left(Sh \frac{na}{2\gamma} + \frac{na}{2\gamma} \cdot Ch \frac{na}{2\gamma} \right) Ch \frac{nx}{\gamma} - \frac{nx}{\gamma} Sh \frac{na}{2\gamma} Sh \frac{nx}{\gamma}}{Sh \frac{na}{\gamma} + \frac{na}{\gamma}} \right] \cos \frac{n\pi y}{b},$$

$$(167. III) \quad \zeta = \frac{4qb^4}{\pi^5 B_2} \sum_n^{(n_1)} \frac{1}{n^5} \left[1 - 2\omega_n \left(F'_n Ch \frac{nx}{\alpha'} \cos \frac{nx}{\beta'} + F''_n Sh \frac{nx}{\alpha'} \sin \frac{nx}{\beta'} \right) \right] \cos \frac{n\pi y}{b}.$$

Dla skrócenia wprowadzono w ostatnim równaniu oznaczenia:

$$(167a) \quad F'_n = \frac{\alpha' Sh \frac{na}{2\alpha'} \cos \frac{na}{2\beta'} + \beta' Ch \frac{na}{2\alpha'} \sin \frac{na}{2\beta'}}{\alpha' Sh \frac{na}{\alpha'} + \beta' \sin \frac{na}{\beta'}};$$

$$F''_n = \frac{\alpha' Ch \frac{na}{2\alpha'} \sin \frac{na}{2\beta'} - \beta' Sh \frac{na}{2\alpha'} \cos \frac{na}{2\beta'}}{\alpha' Sh \frac{na}{\alpha'} + \beta' \sin \frac{na}{\beta'}}.$$

($n = 1, 3, 5, \dots$)

Odpowiadające wyrażenia dla ω_n pozostają w każdym z trzech przypadków bez zmiany.

Rozpatrzmy teraz bliżej ugięcia i wielkości statyczne płyty żebrowej przy założeniu I-go przypadku, t. j. na podstawie równań (166.I) i (167.I).

Największe ugięcie znajdzie nie zawsze w środku pola ab , albowiem drugie pochodne

$$\frac{\partial^2 \zeta}{\partial x^2} = -\frac{4qb^4}{\pi^5 \bar{B}_2} \sum (n_1) \frac{\omega_n}{n^3 \beta_{an} - \alpha_{an}} \left[\frac{1}{\beta} \frac{Ch \frac{nx}{\beta}}{Sh \frac{na}{2\beta}} - \frac{1}{\alpha} \frac{Ch \frac{nx}{\alpha}}{Sh \frac{na}{2\alpha}} \right] \cos \frac{n\pi y}{b}$$

tudzież

$$\frac{\partial^2 \zeta}{\partial y^2} = -\frac{4qb^2}{\pi^3 \bar{B}_2} \sum (n_1) \left[1 - \frac{\omega_n}{\beta_{an} - \alpha_{an}} \left(\beta \frac{Ch \frac{nx}{\beta}}{Sh \frac{na}{2\beta}} - \alpha \frac{Ch \frac{nx}{\alpha}}{Sh \frac{na}{2\alpha}} \right) \right] \cos \frac{n\pi y}{b}$$

stają się w punkcie (0,0) tylko wtedy obie ujemne, gdy ω_1 jest dodatnie. Jakóż, wskutek silnej zbieżności powyższych szeregów, już pierwszy wyraz rozstrzyga o znaku ich sumy, a ponieważ nierówność $\beta > \alpha$ pociąga za sobą nierówności

$$\beta_{an} > \alpha_{an}, \quad \frac{1}{\beta Sh \frac{na}{2\beta}} > \frac{1}{\alpha Sh \frac{na}{2\alpha}} \quad \text{i} \quad \frac{\beta}{Sh \frac{na}{2\beta}} > \frac{\alpha}{Sh \frac{na}{2\alpha}},$$

a $\omega_1 < 1$, więc $\frac{\partial^2 \zeta}{\partial y^2}$ pozostaje ujemnym, bez względu na to, czy ω_1 jest dodatnie, czy ujemne. Natomiast $\frac{\partial^2 \zeta}{\partial x^2}$ staje się przy ujemnych wartościach ω_1 widocznie dodatniem; wówczas powstaje siodłowata powierzchnia ugięcia, a ugięcia środka żebra

$$(168) \quad (\zeta)_{\frac{a}{2}, 0} = \frac{4qb^4}{\pi^5 \bar{B}_2} \sum (n_1) \frac{\omega_n}{n^5} (1 - \omega_n)$$

stają się większe od ugięć środka płyty:

$$(169.I) \quad (\zeta)_{0,0} = \frac{4qb^4}{\pi^5 \bar{B}_2} \sum (n_1) \frac{\omega_n}{n^5} \left[1 - \frac{\omega_n}{\beta_{an} - \alpha_{an}} \left(\frac{\beta}{Sh \frac{na}{2\beta}} - \frac{\alpha}{Sh \frac{na}{2\alpha}} \right) \right]$$

To może zajść, gdy

$$\frac{B^*}{\bar{B}_2} - 2c < \frac{q'}{q} \frac{\sin \frac{\pi b_2}{2b}}{\sin \frac{\pi b_1}{2b}},$$

t. zn. albo przy małej sztywności zgięcia żeber w porównaniu do takiejże sztywności płyty, albo też przy silnem obciążeniu żebra a nieznacznem obciążeniu płyty, ponieważ nadto jest

$$0 < \frac{1}{\beta_{an} - \alpha_{an}} \left| \frac{\beta}{Sh \frac{na}{2\beta}} - \frac{\alpha}{Sh \frac{na}{2\alpha}} \right| < 1^1$$

Moment zginający belki płytowej o sztywności zginania B^* — $2\bar{B}_2c$ oblicza się wzorem

$$M = - (B^* - 2\bar{B}_2c) \left(\frac{\partial^2 \zeta}{\partial y^2} \right)_{y=\pm \frac{c}{2}},$$

¹ Tej nierówności dowodzi się w sposób następujący:

$$\begin{aligned} \beta_{an} &= \beta \frac{Ch \frac{na}{2\beta}}{Sh \frac{na}{2\beta}} = \frac{\beta}{Sh \frac{na}{2\beta}} + \beta \cdot \frac{1}{\frac{na}{2\beta} + \frac{1}{3!} \left(\frac{na}{2\beta} \right)^3 + \dots} = \\ &= \frac{\beta}{Sh \frac{na}{2\beta}} + na \cdot \frac{1}{2^2 2! + \frac{1}{2^4 4!} \left(\frac{na}{\beta} \right)^2 + \dots} \end{aligned}$$

Podobnie jest

$$\alpha_{an} = \frac{\alpha}{Sh \frac{na}{2\alpha}} + na \cdot \frac{1}{2^2 2! + \frac{1}{2^4 4!} \left(\frac{na}{\alpha} \right)^2 + \dots}$$

Uwzględnivszy jeszcze, że $\beta > \alpha$ i $\beta_{an} > \alpha_{an}$, mamy:

$$\beta_{an} - \alpha_{an} = \frac{\beta}{Sh \frac{na}{2\beta}} - \frac{\alpha}{Sh \frac{na}{2\alpha}} + x,$$

przyczem x oznacza wielkość dodatnią.

czyli po wstawieniu wartości:

$$(170) \quad M = \frac{4qb^2}{\pi^3} \left(\frac{B^*}{\bar{B}_2} - 2c \right) \sum_n \frac{\binom{n_1}{n}}{n^3} (1 - \omega_n) \cos \frac{n\pi y}{b}$$

Wstawivszy jeszcze wartość za ω_n , możemy tę formułę przedstawić w postaci:

$$M = M_q + M_{q'}$$

jeżeli przez

$$(171. I) \quad \left\{ \begin{aligned} M_q &= \frac{8qb^2}{\pi^3} \sum_n \frac{\binom{n_1}{n} \beta^2 - \alpha^2}{n^4 \beta_{an} - \alpha_{an}} \cdot \frac{\cos \frac{n\pi y}{b}}{1 + \frac{2\beta^2 - \alpha^2}{n \beta_{an} - \alpha_{an}} \cdot \frac{\bar{B}_2}{B^* - 2\bar{B}_2 c}} \\ M_{q'} &= \frac{4q'b^2}{\pi^3} \sum_n \frac{\binom{n_2}{n}}{n^3} \cdot \frac{\cos \frac{n\pi y}{b}}{1 + \frac{2\beta^2 - \alpha^2}{n \beta_{an} - \alpha_{an}} \cdot \frac{\bar{B}_2}{B^* - 2\bar{B}_2 c}} \end{aligned} \right.$$

oznaczymy odpowiednio wartości momentu M , odpowiadające samemu obciążeniu płyty q , względnie obciążeniu q' samego żebra. Stąd dają się łatwo wyprowadzić następujące przybliżone wzory dla zastosowań praktycznych:

$$(171. Ia) \quad M_q \approx \frac{8}{31} (\alpha, \beta) \frac{qb^2 \sin \frac{\pi b_1}{2b} \cos \frac{\pi y}{b}}{1 + 2 \frac{(\alpha, \beta) \bar{B}_2}{B^* - 2\bar{B}_2 c}}$$

$$M_{q'} \approx \frac{M_q^{(0)}}{1 + 2 \frac{(\alpha, \beta) \bar{B}_2}{B^* - 2\bar{B}_2 c}}$$

Obok symbolu

$$(\alpha, \beta) = \frac{\beta^2 - \alpha^2}{\beta \operatorname{Cth} \frac{a}{2\beta} - \alpha \operatorname{Cth} \frac{a}{2\alpha}}$$

oznacza w ostatnim wzorze $M_q^{(0)}$ moment zgięcia prostej belki, o rozpiętości b , niosącej to samo obciążenie, co żebro.

Dla $a = \infty$ jest $Cth \frac{na}{2\beta} = Cth \frac{n\bar{a}}{2\alpha} = 1$, a wzory dla momentów przekształcają się na odpowiadające wzory paragrafu 16.

Z przybliżeniem zupełnie praktycznie wystarczającym można to już przyjąć przy $a \cong 3b \sqrt[4]{\frac{\bar{B}_1}{\bar{B}_2}}$.

W granicznym przypadku $\alpha = \beta = \frac{b}{\pi} \sqrt[4]{\frac{\bar{B}_1}{\bar{B}_2}} = \gamma$ (przyp. II) jest bowiem wówczas

$$\frac{a}{\gamma} \cong \sim 9,42, \quad Ch \frac{a}{\gamma} \cong \sim 1079, \quad Sh \frac{a}{\gamma} \cong \sim 1075,$$

$$1 - \frac{Ch \frac{a}{\gamma} - 1}{Sh \frac{a}{\gamma} + \frac{a}{\gamma}} = 1 - \lim_{(\alpha=\beta)\beta_{an} - \alpha_{an}} \frac{\beta - \alpha}{\beta_{an} - \alpha_{an}} \cong 0,006,$$

a zatem odpowiadająca wartość wyrażenia

$$\frac{\beta^2 - \alpha^2}{\beta_{an} - \alpha_{an}}$$

różni się od wartości

$$\alpha + \beta = \lim_{(\alpha=\infty)\beta_{an} - \alpha_{an}} \frac{\beta^2 - \alpha^2}{\beta_{an} - \alpha_{an}}$$

mniej niż o 0,6%. Ta cyfra określa mniej więcej wyższą granicę błędu wielkości M_r , popełnionego przy $a \cong 3b \sqrt[4]{\frac{\bar{B}_1}{\bar{B}_2}}$ przez przyjęcie $a = \infty$.

Błąd M_r będzie oczywiście w tych warunkach jeszcze o wiele mniejszy i M_r będzie można obliczać według wzoru

$$(135a) \text{ już mniej więcej przy } a \cong 2b \sqrt[4]{\frac{\bar{B}_1}{\bar{B}_2}}.$$

Jeżeli żebra są bardzo gęste, czyli przy małych wartościach $a:b$, to wyrażenie $\frac{2}{n} \frac{\beta^2 - \alpha^2}{\beta_{an} - \alpha_{an}}$ zdąża do granicy

$$\lim_{(b \rightarrow \infty)} \frac{2}{n} \cdot \frac{\beta^2 - \alpha^2}{\beta_{an} - \alpha_{an}} = a,$$

a ponieważ wtedy można przyjąć $2c = a$, więc wzór (170) dla M przeistacza się na następujący:

$$(172) \quad M = \frac{4}{\pi^3} b^2 \left(1 - \frac{\bar{B}_2 a}{B^*}\right) \sum_n \frac{1}{n^3} [a(n_1) q + (n_2) q'] \cos \frac{n\pi y}{b}.$$

Jeżeli tutaj pominiemy $\bar{B}_2 a : B^*$ w porównaniu do 1, to wyrażenie po prawej stronie daje dokładnie momenty zginające belki swobodnie podpartej o rozpiętości b , która w środkowej części jest na długości b_1 równomiernie obciążona ciężarem aq (kg/m), a na długości b_2 ciężarem q' (kg/m). A zatem sposób obliczenia używany w praktyce daje rzeczywiste wartości momentów zgięcia tylko przy bardzo małym odstępnie silnych żeber połączonych ze słabą płytą. Z powiększeniem odstepu żeber staje się rzeczywista wartość momentu zgięcia w belce płytowej według powyższego wzoru z reguły mniejszą, od wartości obliczonej w zwykły praktyczny sposób. Przy dalszym zwiększeniu odstepu żeber może przecenienie wartości momentu zgięcia zwykłym sposobem obliczenia pójść dalej, a to wskutek przyjęcia zbyt małej współdziałającej szerokości płyty. Przy pewnych anormalnych wartości stosunku $\bar{B}_1 : \bar{B}_2$ da się pomyśleć także i przeciwny przypadek, atoli ten wyjątek nie może mieć praktycznego znaczenia. Z powiększeniem odstepu żeber rosną oczywiście momenty zginające płyty M_1 , a ponieważ tych momentów zupełnie się nie uwzględnia przy zwykłym sposobie obliczenia, więc rozpatrywane przecenienie momentów zgięcia kompensuje zapewne owo pominięcie w pewnych okolicznościach.

Podstawiawszy we wzorach (171. I) $y = 0$, otrzymujemy dokładne największe wartości momentów zgięcia w naszej belce płytowej. Odpowiadające wzory upraszczają się jeszcze w praktycznie ważnym przypadku szczególnym $b_1 = b_2 = b$, t. zn. gdy obciążenia q i q' rozciągają się na całą rozpiętości b . Wtedy przy użyciu symbolu

$$(174. I) \quad (\alpha, \beta)_n = \frac{\beta^2 - \alpha^2}{\beta Cth \frac{na}{2\beta} - \alpha Cth \frac{na}{2\alpha}}$$

mamy dokładnie:

$$(173. I) \quad (M_q)_{max} = \frac{8qb^2}{\pi^2} \sum_n \frac{(-1)^{\frac{n-1}{2}}}{n^4} \frac{(\alpha, \beta)_n}{1 + \frac{2}{n} \frac{(\alpha, \beta)_n \bar{B}_2}{B^{**} - 2\bar{B}_2 c}},$$

$$(M_{q'})_{max} = \frac{4q'b^2}{\pi^2} \sum_n \frac{(-1)^{\frac{n-1}{2}}}{n^3} \frac{1}{1 + \frac{2}{n} \frac{(\alpha, \beta)_n \bar{B}_2}{B^{**} - 2\bar{B}_2 c}};$$

a w przybliżeniu:

$$(173. Ia) \quad M_{max} = (M_q + M_{q'})_{max} \sim \frac{\frac{8}{31} (\alpha, \beta)_1 qb^2 + \frac{1}{8} q'b^2}{1 + \frac{2}{B^{**} - 2\bar{B}_2 c} (\alpha, \beta)_1 \bar{B}_2}$$

W przypadku II ($H^2 = \bar{B}_1 \bar{B}_2$) trzeba w powyższych wzorach zastąpić $(\alpha, \beta)_n$ przez

$$(174. II) \quad \lim_{(\alpha=\beta=\gamma)} \frac{\beta^2 - \alpha^2}{\beta_{an} - \alpha_{an}} = 2\gamma \frac{Ch \frac{na}{\gamma} - 1}{Sh \frac{na}{\gamma} + \frac{na}{\gamma}},$$

a w przypadku III ($H^2 < \bar{B}_1 \bar{B}_2$) przez

$$(174. III) \quad \frac{2\alpha'^2 \beta'^2}{\alpha'^2 + \beta'^2} \cdot \frac{K'_n}{\beta'} = \frac{2\alpha'^2 \beta'^2}{\alpha'^2 + \beta'^2} \cdot \frac{Ch \frac{na}{\alpha'} - \cos \frac{na}{\beta'}}{\alpha' Sh \frac{na}{\alpha'} + \beta' \sin \frac{na}{\beta'}}$$

Dla momentów zginających i skręcających płyty znajdujemy w przypadku I wyrażenia:

$$(175. I) \quad \left[M_1 = \frac{4qb^2}{\pi^2} \cdot \frac{\bar{B}_1}{\bar{B}_2} \sum_n \frac{(n_1)}{n^3} \left[\frac{1}{m_2} + \frac{\omega_n}{\beta_{an} - \alpha_{an}} \right] \beta \left(\frac{b^2}{\pi^2 \beta^2} - \right. \right. \\ \left. \left. - \frac{1}{m_2} \right) \frac{Ch \frac{nx}{\beta}}{Sh \frac{na}{2\beta}} - \alpha \left(\frac{b^2}{\pi^2 \alpha^2} - \frac{1}{m_2} \right) \frac{Ch \frac{nx}{\alpha}}{Sh \frac{na}{2\alpha}} \right] \cos \frac{n\pi y}{b},$$

$$(175. I) \left\{ \begin{aligned} M_2 &= \frac{4qb^2}{\pi^3} \sum_n^{(n_1)} \frac{1}{n^3} \left[1 + \frac{\omega_n}{\beta_{an} - \alpha_{an}} \left(\beta \left(\frac{b^2}{\pi^2 \beta^2 m_1} - 1 \right) \right. \right. \\ &\left. \left. - 1 \right) \frac{Ch \frac{nx}{\beta}}{Sh \frac{na}{2\beta}} - \alpha \left(\frac{b^2}{\pi^2 \alpha^2 m_1} - 1 \right) \frac{Ch \frac{nx}{\alpha}}{Sh \frac{na}{2\alpha}} \right] \cos \frac{n\pi y}{b}, \\ D &= -\frac{4qb^3}{\pi^4} \cdot \frac{2C}{B_2} \sum_n^{(n_1)} \frac{1}{n^3} \cdot \frac{\omega_n}{\beta_{an} - \alpha_{an}} \left[\frac{Sh \frac{nx}{\beta}}{Sh \frac{na}{2\beta}} - \frac{Sh \frac{nx}{\alpha}}{Sh \frac{na}{2\alpha}} \right] \sin \frac{n\pi y}{b}. \end{aligned} \right.$$

Stąd wynikają zaraz najważniejsze szczególne wartości, a mianowicie:

W środku prostokątnego pola płyty:

$$(176. I) \left\{ \begin{aligned} (M_1)_{0,0} &= \frac{4qb^2}{\pi^3} \frac{\bar{B}_1}{\bar{B}_2} \sum_n^{(n_1)} \frac{1}{n^3} \left[\frac{1}{m_2} + \frac{\omega_n}{\beta_{an} - \alpha_{an}} \left(\frac{\beta}{Sh \frac{na}{2\beta}} \left(\frac{b^2}{\pi^2 \beta^2} - \right. \right. \right. \\ &\left. \left. \left. - \frac{1}{m_2} \right) - \frac{\alpha}{Sh \frac{na}{2\alpha}} \left(\frac{b^2}{\pi^2 \alpha^2} - \frac{1}{m_2} \right) \right) \right], \\ (M_2)_{0,0} &= \frac{4qb^2}{\pi^3} \sum_n^{(n_1)} \frac{1}{n^3} \left[1 + \frac{\omega_n}{\beta_{an} - \alpha_{an}} \left(\frac{\beta}{Sh \frac{na}{2\beta}} \left(\frac{b^2}{\pi^2 \beta^2 m_1} - \right. \right. \right. \\ &\left. \left. \left. - 1 \right) - \frac{\alpha}{Sh \frac{na}{2\alpha}} \left(\frac{b^2}{\pi^2 \alpha^2 m_1} - 1 \right) \right) \right]. \end{aligned} \right.$$

Te wzory potwierdzają wniosek łatwy do wyprowadzenia z rozważań statycznych, że $(M_2)_{0,0}$ może być tylko dodatnie; natomiast $(M_1)_{0,0}$ może być także ujemne, jeżeli ω_1 jest ujemne.

W środku linii granicznej między płytą a zębem mają momenty zgięcia wartości:

$$(177. I) \left\{ \begin{aligned} (M_1)_{\pm \frac{a}{2}, 0} &= \frac{4qb^2 \bar{B}_1}{\pi^3 \bar{B}_2} \sum_n^{(n_1)} \frac{1}{n^3} \left[\frac{b^2 (\beta_{an} - \alpha_{an})}{\pi^2 (\beta^2 - \alpha^2)} \frac{\omega_n}{\beta_{an} - \alpha_{an}} + \frac{1}{m_2} (1 - \omega_n) \right], \\ (M_2)_{\pm \frac{a}{2}, 0} &= \frac{4qb^2}{\pi^2} \sum_n^{(n_1)} \frac{1}{n^3} \left[1 - \omega_n + \frac{b^2 (\beta_{an} - \alpha_{an})}{\pi^2 m_1 (\beta^2 - \alpha^2)} \frac{\omega_n}{\beta_{an} - \alpha_{an}} \right]. \end{aligned} \right.$$

Zważywszy, że $\frac{\beta_{an}}{\beta^2} < \frac{\alpha_{an}}{\alpha^2}$, mogą obie ostatnie wartości momentów być dodatnie, albo ujemne, zależnie od warunków sztywności i obciążenia żebra i płyty. W szczególności staje się M_1 ujemnym przy dodatnim ω_1 , gdy

$$(178. I) \quad \frac{1}{\omega_1} < 1 + m_2 \frac{b^2 (\alpha_{a1} - \beta_{a1})}{\pi^2 (\alpha^2 - \beta^2)} \frac{1}{\beta_{a1} - \alpha_{a1}},$$

co zajdzie przy dostatecznie sztywnych żebrach, albo przy odpowiednio małej wartości stosunku $q':q$. Ażeby przy dodatnim ω_1 wypadło także M_2 ujemne, musi się spełniać warunek

$$(179. I) \quad \frac{1}{\omega_1} < 1 + \frac{1}{m_1} \frac{b^2 (\alpha_{a1} - \beta_{a1})}{\pi^2 (\alpha^2 - \beta^2)} \frac{1}{\beta_{a1} - \alpha_{a1}},$$

co oczywiście może zajść o wiele rzadziej, aniżeli warunek (178. I), ponieważ zawsze jest $1 < \frac{1}{\omega_1}$. Przy ujemnych wartościach ω_1 są M_1 i M_2 zawsze dodatnie.

Dla sił poprzecznych płyty otrzymujemy wzory:

$$(180. I) \left\{ \begin{aligned} V_1 &= \frac{4qb^2 \bar{B}_1}{\pi^3 \bar{B}_2} \sum_n^{(n_1)} \frac{1}{n^2} \frac{\omega_n}{\beta_{an} - \alpha_{an}} \left[\left(\frac{2C}{\bar{B}_1} + \frac{1}{m_2} - \frac{b^2}{\pi^2 \alpha^2} \right) \frac{Sh \frac{nx}{a}}{Sh \frac{na}{2a}} - \right. \\ &\quad \left. - \left(\frac{2C}{B_1} + \frac{1}{m_2} - \frac{b^2}{\pi^2 \beta^2} \right) \frac{Sh \frac{nx}{\beta}}{Sh \frac{na}{2\beta}} \right] \cos \frac{n\pi y}{b}, \\ V_2 &= -\frac{4qb}{\pi^2} \sum_n^{(n_1)} \frac{1}{n^2} \left[1 - \frac{\omega_n}{\beta_{an} - \alpha_{an}} \left(\frac{b^2}{\pi^2 \alpha^2} \left(\frac{2C}{\bar{B}_2} + \frac{1}{m_1} - \frac{\pi^2 \alpha^2}{b^2} \right) \frac{Ch \frac{nx}{a}}{Sh \frac{na}{2a}} - \right. \right. \\ &\quad \left. \left. - \frac{b^2}{\pi^2 \beta^2} \left(\frac{2C}{\bar{B}_2} + \frac{1}{m_1} - \frac{\pi^2 \beta^2}{b^2} \right) \frac{Ch \frac{nx}{\beta}}{Sh \frac{na}{2\beta}} \right) \right] \sin \frac{n\pi y}{b}. \end{aligned} \right.$$

Siły przeniesione na żebro z jednego pola płyty obliczamy wzorem:

$$(181.I) \quad R_1 = (V_1)_{x=\frac{a}{2}} = -\frac{4q(\alpha+\beta)}{\pi} \sum_n \frac{(n_1)}{n^2} \frac{\beta-\alpha}{\beta_{an}-\alpha_{an}} \omega_n \cos \frac{n\pi y}{b}$$

Ich wypadkowa

$$(182.I) \quad R_1 = 2 \int_0^{\frac{b}{2}} R_1 dy = -\frac{8}{\pi^2} q(\alpha+\beta) \sum_n \frac{(-1)^{\frac{n-1}{2}} (n_1)}{n^3} \frac{\beta-\alpha}{\beta_{an}-\alpha_{an}} \omega_n$$

może w pewnych warunkach stać się równą zero, podobnie jak w przypadku jednego żebra w całej płycie; wówczas żebro dźwiga tylko obciążenie własne q' . Reakcyje podporowe podłużnego brzegu $y = \frac{b}{2}$ określa równanie:

$$(183.I) \quad R_2 = -\frac{4qb}{\pi^2} \sum_n \frac{(-1)^{\frac{n-1}{2}} (n_1)}{n^2} \left[1 - \frac{\omega_n}{\beta_{an}-\alpha_{an}} \left(\frac{b^2}{\pi^2 \alpha} \left(\frac{4C}{B_2} + \frac{1}{m_1} - \frac{\pi^2 \alpha^2}{b^2} \right) \frac{Ch \frac{nx}{\alpha}}{Sh \frac{na}{2a}} - \frac{b^2}{\pi^2 \beta} \left(\frac{4C}{B_2} + \frac{1}{m_1} - \frac{\pi^2 \beta^2}{b^2} \right) \frac{Ch \frac{nx}{\beta}}{Sh \frac{na}{2\beta}} \right) \right]$$

a całkowitą reakcyję tego brzegu równanie:

$$(184.I) \quad R_2 = 2 \int_0^{\frac{a}{2}} R_2 dx = -\frac{8qb}{\pi^2} \sum_n \frac{(-1)^{\frac{n-1}{2}} (n_1)}{n^3} \left(1 - \frac{\beta^2 - \alpha^2}{\beta_{an} - \alpha_{an}} \omega_n \right)$$

Przy pomocy oczywistego warunku równowagi:

$$2R_2 + 2R_r + qab_1 + q'b_2 = 0,$$

w którym R_r oznacza reakcyję żebra, łatwo, jak w § 16, sprawdzić formuły dla R_1 i R_2 .

Dla R_r znajdujemy wyrażenie:

$$(185.I) \quad R_r = -\frac{q'b_2}{2} - \frac{8q(\alpha+\beta)}{\pi^2} \sum_n \frac{(-1)^{\frac{n-1}{2}} (n_1)}{n^3} \frac{\beta-\alpha}{\beta_{an}-\alpha_{an}} \omega_n$$

które w granicznym przypadku bardzo wielkiej odległości żeber przeistacza się na odpowiadające wyrażenie (146) w § 16. W drugim granicznym przypadku bardzo blizkich żeber zdąża $\frac{\beta^2 - a^2}{\beta_{an} - \alpha_{an}}$ do granicy $\frac{na}{2}$ i ponieważ jednocześnie jest $2c = a$, więc

$$(186) \quad \lim_{(a,b=0)} R_r = -\frac{qab_1}{2} - \frac{q'b_2}{2} + \frac{4}{\pi^2} \frac{a\bar{B}_2}{B^*} \sum_n \frac{(-1)^{n-1}}{n^2} [(n_1)aq + (n_2)q'].$$

Tutaj określa wyraz ze znakiem sumy całkowitą reakcję brzegu płyty o długości a , która widocznie się zmniejsza z powiększeniem sztywności żeber.

To wszystko, jakoteż cały rozkład sił podporowych jest, biorąc ściśle, ważne tylko wtedy, gdy po pierwsze żebra i płyta dotykają wszędzie powierzchni podporowych w stanie nieobciążonym, a powtórnie, gdy podpory są doskonale sztywne. Ponieważ rzeczywiste powierzchnie podporowe są mniej lub więcej podatne, więc rozmieszczenie reakcyj podporowych zmieni się nieco. Wypływająca stąd niedokładność naszych teoretycznych wzorów da się w praktycznych przypadkach niewątpliwie zawsze pominąć; większe zboczenia mogłaby wywołać tylko pierwsza przyczyna przy sprzyjających warunkach.

Przy zastosowaniu powyższych wyników do den blaszanych usztywnionych kształtówkami i t. p., może np. zajść przypadek, że żebra usztywniające nie przylegają wogóle do podpór, a całe obciążenie przenosi się na brzeg blachy. Wówczas należy się spodziewać, że nasze obliczenie wyznaczy ze znaczną dokładnością tylko całkowitą reakcję brzegu płyty a , ono jednakże nie daje odpowiedzi na pytanie, jak się rozkładają siły podporowe najbliższej okolicy końców żeber. Wystarczającą do celów praktycznych ocenę nietrudno oczywiście otrzymać w każdym konkretnym przypadku.

Odpowiadające ogólne wzory w przypadkach $H^2 \ll \bar{B}_1 \bar{B}_2$ można wyprowadzić z równań (167. II) i (167. III); dla najważniejszych szczególnych wartości momentów i reakcyj korzystniej użyć przejścia od odpowiadających formuł I-go przypadku.

V. Kwestya współdziałania płyty w belce płytowej.

§ 20. Funkcya naprężeń w zagadnieniu tarczy prostokątnej nierównokierunkowej.

Rozpatrzmy znowu traktowany w § 16 graniczny przypadek bardzo długiej płyty o jednym poprzecznym żebrze, które, uginając się pod danym obciążeniem, zmusza płytę do współdziałania. To współdziałanie polega na tem, że także warstwa płyty, obojętna przy jej zginaniu, ulega teraz ścisnaniu w kierunku żebra. Odpowiadające ciśnienia σ_y w przekroju poprzecznym prostopadłym do żebra nie mogą mieć wszędzie tej samej wartości, gdyż w przeciwnym razie możnaby sztywność i wytrzymałość belki płytowej zwiększyć dowolnie nawet przy najmniejszej grubości płyty przez powiększenie jej szerokości. Bezwzględna wartość naprężeń σ_y musi w każdym rozpatrywanym przekroju maleć ze zwiększeniem odległości x od żebra i dążyć w granicy do zera. Trudno myśleć o dokładnem wyznaczeniu rozkładu tych naprężeń według wymagań matematycznej teorii sprężystości, nawet w przypadku materiału równokierunkowego; przyjąwszy jednak, że ten rozkład jest dla $x = 0$, t. j. wzdłuż żebra, z góry dany, sprowadzimy zadanie do płaskiego zagadnienia dla płytowatej części i możemy je w rozpatrywanym przypadku sformułować w następujący sposób:

Dany jest rozkład naprężeń σ_y i τ na całym obwodzie prostokątnej tarczy o szerokości b i nieskończenie wielkiej długości l (rys. 20), nadto rozkład naprężeń σ_x wzdłuż brzegów $y = \pm \frac{b}{2}$ i $x = l$; szukamy składowych σ_x , σ_y , τ dwuwymiarowego stanu napięcia w całej tarczy, jeżeli zresztą nie ma żadnych sił zewnętrznych.

W przypadku materiału równokierunkowego rozwiązuje się zadania tego rodzaju, jak wiadomo, przez całkowanie równania różniczkowego funkcyj naprężeń:

$$(187) \quad \frac{\partial^4 \varphi}{\partial x^4} + 2 \frac{\partial^4 \varphi}{\partial x^2 \partial y^2} + \frac{\partial^4 \varphi}{\partial y^4} = 0.$$

Wtedy sznkané naprężenia określają następujące formuły różniczkowe:

$$(188) \quad \sigma_x = \frac{\partial^2 \varphi}{\partial y^2}, \quad \sigma_y = \frac{\partial^2 \varphi}{\partial x^2}, \quad \tau = -\frac{\partial^2 \varphi}{\partial x \partial y}.$$

Dla naszych celów uogólnimy teraz równanie różniczkowe funkcyj naprężeń przy założeniu, że własności sprężyste tarczy prostokątnie nierównokierunkowej dają się scharakteryzować pięciu stałemi w sposób następujący:

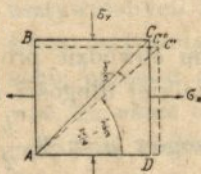
Wydłużenia właściwe λ_x , λ_y są normalnemi naprężeniami związane zapomocą równań:

$$(189) \quad \lambda_x = \frac{\sigma_x}{\mathcal{A}_1} - \frac{1}{m_2} \frac{\sigma_y}{\mathcal{A}_2}, \quad \lambda_y = \frac{\sigma_y}{\mathcal{A}_2} - \frac{1}{m_1} \frac{\sigma_x}{\mathcal{A}_1},$$

a zmiana kąta γ przy prostem ścinaniu z odpowiadającym naprężeniem stycznem τ zapomocą równania:

$$(190) \quad \gamma = \frac{\tau}{\mathcal{G}}.$$

Liczbowe współczynniki m_1 i m_2 mają tutaj widocznie podobne znaczenie, jak w teoryi zgięcia płyty prostokątnie nierównokierunkowej. \mathcal{A}_1 i \mathcal{A}_2 są uogólnionymi modułami wydłużenia w kierunku x , względnie y ; nakoniec \mathcal{G} odpowiada modułowi ścinania G materiału równokierunkowego.



Rys. 22

Rozpatrując odkształcenie pierwotnie kwadratowego elementu tarczy $ABCD$ (rys. 22), narażonego na naprężenia normalne $\sigma_x = +|\tau|$ i $\sigma_y = -|\tau|$, można łatwo pokazać, że między pięciu stałemi zachodzi związek postaci:

$$(198) \quad \frac{1}{\mathcal{G}} = \frac{m_1 + 1}{m_1} \frac{1}{\mathcal{A}_1} + \frac{m_2 + 1}{m_2} \frac{1}{\mathcal{A}_2}.$$

Z jednej strony bowiem mamy przy bardzo małych wartościach γ formułę goniometryczną:

$$\operatorname{tg} \left(\frac{\pi}{4} - \frac{\gamma}{2} \right) = \frac{1 - \frac{\gamma}{2}}{1 + \frac{\gamma}{2}},$$

z drugiej zaś czytamy z rysunku:

$$\operatorname{tg} \left(\frac{\pi}{4} - \frac{\gamma}{2} \right) = \frac{1 - CC''}{1 + CC'} = \frac{1 - \tau \left(\frac{1}{\mathcal{A}_1} + \frac{1}{m_2} \frac{1}{\mathcal{A}_2} \right)}{1 + \tau \left(\frac{1}{\mathcal{A}_2} + \frac{1}{m_1} \frac{1}{\mathcal{A}_1} \right)}$$

Porównanie wyrażeń po prawej stronie obu powyższych równań daje:

$$\tau \left(\frac{m_1 + 1}{m_1} \frac{1}{\mathcal{A}_1} + \frac{m_2 + 1}{m_2} \frac{1}{\mathcal{A}_2} \right) = \frac{\gamma}{2} \left[2 - \tau \left(\frac{m_1 - 1}{m_1} \frac{1}{\mathcal{A}_1} - \frac{m_2 - 1}{m_2} \frac{1}{\mathcal{A}_2} \right) \right]$$

Skoro tutaj pominiemy po prawej stronie mały wyraz o wielkości głównej τ wobec 2 i zastąpimy γ przez $\frac{\tau}{\mathcal{S}}$, to wypadnie równanie (191).

Oznaczywszy przez u , v składowe przesunięcia sprężystego punktu x , y , mamy, jak wiadomo, ogólnie:

$$(192) \quad \lambda_x = \frac{\partial u}{\partial x}, \quad \lambda_y = \frac{\partial v}{\partial y}, \quad \gamma = \frac{\partial u}{\partial y} + \frac{\partial v}{\partial x}$$

Równania różniczkowe równowagi (niezależne od sprężystych własności materiału) mają przy dwuwymiarowym stanie napięcia σ_x , σ_y , τ postać:

$$(193) \quad \frac{\partial \sigma_x}{\partial x} + \frac{\partial \tau}{\partial y} = 0, \quad \frac{\partial \tau}{\partial x} + \frac{\partial \sigma_y}{\partial y} = 0.$$

Równania (189) i (192) dostarczają:

$$\frac{\partial u}{\partial x} = \frac{\sigma_x}{\mathcal{A}_1} - \frac{1}{m_2} \frac{\sigma_y}{\mathcal{A}_2}, \quad \frac{\partial v}{\partial y} = \frac{\sigma_y}{\mathcal{A}_2} - \frac{1}{m_1} \frac{\sigma_x}{\mathcal{A}_1},$$

$$\frac{\partial u}{\partial y} + \frac{\partial v}{\partial x} = \frac{\tau}{\mathcal{S}}.$$

Z tych równań łatwo wyrugować pochodne u i v , różniczkując pierwsze dwukrotnie względem y , drugie dwukrotnie względem x , a trzecie raz względem x i raz względem y . W ten sposób dochodzimy do równania:

$$(194) \quad \frac{1}{\mathcal{A}_1} \frac{\partial^2 \sigma_x}{\partial y^2} + \frac{1}{\mathcal{A}_2} \frac{\partial^2 \sigma_y}{\partial x^2} - \frac{1}{m_2 \mathcal{A}_2} \frac{\partial^2 \sigma_y}{\partial y^2} - \frac{1}{m_1 \mathcal{A}_1} \frac{\partial^2 \sigma_x}{\partial x^2} - \frac{1}{\mathcal{S}} \frac{\partial^2 \tau}{\partial x \partial y} = 0,$$

które z obu równaniami (193) wystarcza do wyznaczenia niewiadomych σ_x , σ_y , τ .

Równaniom (193) czynią widocznie zadość wartości (188); podstawivszy je przeto w (194) i wprowadzivszy dla skrócenia (z uwzględnieniem wzoru (191)):

$$(195) \quad \frac{\mathcal{A}_1 \mathcal{A}_2}{\mathcal{S}} - \frac{\mathcal{A}_1}{m_2} - \frac{\mathcal{A}_2}{m_1} = \mathcal{A}_1 + \mathcal{A}_2 = 2\mathcal{A}_0,$$

otrzymamy

$$(196) \quad \mathcal{A}_1 \frac{\partial^4 \varphi}{\partial x^4} + 2\mathcal{A}_0 \frac{\partial^4 \varphi}{\partial x^2 \partial y^2} + \mathcal{A}_2 \frac{\partial^4 \varphi}{\partial y^4} = 0$$

jako równanie różniczkowe funkcyi naprężeń dla tarczy prostokątnej nierównokierunkowej.

Dla energii potencyalnej

$$L_i = \frac{1}{2} \int \int (\lambda_x \sigma_x + \lambda_y \sigma_y + \gamma \tau) h \, dx \, dy$$

dwuwymiarowego stanu napięcia takiej tarczy (o grubości h) wypada po wstawieniu wartości (189) wyrażenie

$$(197) \quad L_i = \frac{1}{2} \int \int h \left[\frac{\sigma_x^2}{\mathcal{A}_1} + \frac{\sigma_y^2}{\mathcal{A}_2} + \frac{\tau^2}{\mathcal{S}} - \left(\frac{1}{m_1 \mathcal{A}_1} + \frac{1}{m_2 \mathcal{A}_2} \right) \sigma_x \sigma_y \right] dx \, dy.$$

W płytach betonowych uzbrojonych „na krzyż” można oczywiście przyjąć

$$\mathcal{A}_1 = \frac{E_b F_{1b} + E_f F_{1f}}{F_{1b} + F_{1f}} = \frac{E_b F_{1b} + E_f F_{1f}}{F} = \frac{E_b (F_{1b} + n F_{1f})}{F}$$

albo

$$(198.1) \quad \mathcal{A}_1 = E_b \frac{F_1}{F}$$

jeżeli F_1 oznacza sprowadzone do czysto betonowego przekroju pole $F_{1b} + n F_{1f}$ o szerokości 1, a

$$F = F_{1b} + F_{1f} = F_{2b} + F_{2f} = 1 \cdot h$$

oznacza rzeczywiste pole tegoż przekroju.

Podobnież jest

$$(198.2) \quad \mathcal{A}_2 = E_b \frac{F_2}{F}$$

przyczem

$$F_2 = F_{2b} + n F_{2j}.$$

Przy tem określeniu modułów wydłużenia \mathcal{A}_1 i \mathcal{A}_2 należy oczywiście σ_x , σ_y i τ pojmować jako składowe stanu napięcia w betonie.

§ 21. Przybliżone rozwiązanie w przypadku jednego żebra poprzecznego w płycie bardzo długiej. Krytyczne oświetlenie oficjalnych przepisów co do „współdziałającej szerokości” płyty.

Powracając teraz do naszego specjalnego zadania, wyrazimy uważany za dany rozkład naprężeń σ_y wzdłuż żebra (dla $x=0$) zapomocą szeregu trygonometrycznego

$$(199) \quad (\sigma_y)_{x=0} = \sum_n c_n \cos \frac{n\pi y}{b}.$$

(Przy założeniu symetrii względem X -ów jest $n = 1, 3, 5 \dots$)
Ponieważ równanie różniczkowe funkcyi naprężeń φ ma tę samą postać, co równanie różniczkowe powierzchni ugięcia płyty $\zeta(x, y)$ dla jej części nieobciążonych bezpośrednio, więc każde rozwiązanie zagadnienia płyty tego rodzaju, określa zarazem funkcyę naprężeń dla odpowiadającego zadania tarczy. Skoro takim rozwiązaniem nie dysponujemy, to można nowe zadanie traktować temi samemi metodami, co i dawniejsze; w naszym np. przypadku prowadzi przyjęcie Lévy'ego, jak w § 12, do następującego wyrażenia dla funkcyi naprężeń:

$$(200) \quad \varphi = \sum_n \frac{c_n}{n^2} \frac{\mu^3 e^{-\frac{n\pi}{\mu} x} - \lambda^3 e^{-\frac{n\pi}{\lambda} x}}{\mu - \lambda} \cos \frac{n\pi y}{b},$$

przyczem:

$$\left. \begin{matrix} \lambda \\ \mu \end{matrix} \right\} = \frac{b}{\pi} \sqrt{\frac{\mathcal{A}_0}{\mathcal{A}_2} \mp \sqrt{\left(\frac{\mathcal{A}_0}{\mathcal{A}_2}\right)^2 - \frac{\mathcal{A}_1}{\mathcal{A}_2}},$$

albo po wstawieniu wartości $\mathcal{A} = \frac{1}{2}(\mathcal{A}_1 + \mathcal{A}_2)$

$$\lambda = \frac{b}{\pi} \sqrt{\frac{\mathcal{A}_1}{\mathcal{A}_2}}, \quad \mu = \frac{b}{\pi}.$$

Różniczkując znajdujemy stąd:

$$(201) \quad \left\{ \begin{aligned} \sigma_x &= - \sum_n c_n \frac{\pi^2 \mu^3 e^{-\mu x} - \lambda^3 e^{-\lambda x}}{b^2 (\mu - \lambda)} \cos \frac{n\pi y}{b}, \\ \sigma_y &= \sum_n c_n \frac{\mu e^{-\mu x} - \lambda e^{-\lambda x}}{\mu - \lambda} \cos \frac{n\pi y}{b}, \\ \tau &= - \sum_n c_n \frac{\pi}{b} \frac{\mu^2 e^{-\mu x} - \lambda^2 e^{-\lambda x}}{\mu - \lambda} \sin \frac{n\pi y}{b}. \end{aligned} \right.$$

Dla $x = \infty$ znikają wszystkie trzy naprężenia, jak tego wymaga odpowiadający warunek krańcowy. Dla $y = \pm \frac{b}{2}$, spełnia się tylko warunek $\sigma_x = \sigma_y = 0$, atoli nie znika naprężenie ścinające τ , lecz przybiera wartość:

$$(202) \quad (\tau)_{y=\pm \frac{b}{2}} = \mp \sum_n (-1)^{\frac{n-1}{2}} c_n \frac{\pi}{b} \frac{\mu^2 e^{-\mu x} - \lambda^2 e^{-\lambda x}}{\mu - \lambda}.$$

Nakoniec dla $x=0$ jest

$$(203) \quad (\sigma_x)_{x=0} = - \frac{\pi^2}{b^2} \frac{\mu^3 - \lambda^3}{\mu - \lambda} \cdot \sum_n c_n \cos \frac{n\pi y}{b},$$

a $\int_{-\frac{b}{2}}^{+\frac{b}{2}} (\sigma_x)_{x=0} dy$ nie znika, jakby się należało spodziewać, gdyby był spełniony warunek krańcowy $(\tau)_{y=\pm \frac{b}{2}} = 0$, ale za to spełnia się główny warunek (199)¹.

¹ Przy założeniu Lévy'ego nie można spełnić wszystkich warunków krańcowych naszego zadania.

Chcąc zadanie rozwiązać zupełnie, należałoby na znaleziony stan napięcia (201) nałożyć drugi, wywołany przez następujące siły zewnętrzne:

1) Na brzegach $y = \pm \frac{b}{2}$ siły styczne, wyznaczone wartościami (202) ze znakiem —.

2) Na brzegu $x = 0$ siły normalne tworzące z poprzednimi układ w równowadze, a nadto, w połączeniu z siłami normalnymi określonymi wartościami naprężeń (203), dostarczające wypadkowych naprężeń σ_x , które nietylko spełniają warunek

$$\int_{-\frac{b}{2}}^{+\frac{b}{2}} \sigma_{x=0} dy = 0,$$

lecz także wyznaczają przepisane wartości dla sprężystych przesunięć brzegu $x = 0$ w kierunku X .

Atoli jest rzeczą jasną, że ten drugi stan napięcia może tylko bardzo niewiele zmienić znaleziony powyżej rozkład ciśnień σ_y , wobec czego zrezygnujemy ze ścisłego rozwiązania i przyjmiemy wyrażenie:

$$(201. I) \quad \sigma_y = \sum_n c_n \frac{\mu e^{-\frac{n\pi x}{b}} - \lambda e^{-\frac{n\pi x}{\lambda}}}{\mu - \lambda} \cdot \cos \frac{n\pi y}{b}$$

jako dostatecznie dokładne prawo rozkładu naprężeń σ_y ¹.

Do wyznaczenia współdziałającej szerokości płyty c , w znaczeniu określonym w § 16, należałoby teraz użyć oczywiście równania:

¹ Naprężenia ścinające, potrzebne do przeniesienia naprężeń normalnych σ_y w kierunku X , o ile $\frac{\partial \sigma_y}{\partial y}$ nie znika (według równania 193), nie mogą oczywiście według powyższego zależeć od grubości płyty, chociaż często się spotyka z przeciwnym zdaniem. Przy ścisłym rozwiązaniu ulegnie ich rozkład dość silnej zmianie tylko w pobliżu podpór; tam bowiem muszą naprężenia ścinające zmniejszyć się aż do zera (na samej podporze). Atoli w środkowej znacznej części rozpiętości będzie ich rozkład odpowiadał wcale dobrze formule (201).

$$(204) \quad \frac{1}{2} c \int_{-\frac{b}{2}}^{+\frac{b}{2}} \frac{(\sigma_y)_{x=0}^2}{\mathcal{A}_2} h dy = \frac{1}{2} \int_0^\infty dx \int_{-\frac{b}{2}}^{+\frac{b}{2}} \left[\frac{\sigma_x^2}{\mathcal{A}_1} + \frac{\sigma_y^2}{\mathcal{A}_2} + \frac{r^2}{\mathcal{G}} - \left(\frac{1}{m_1 \mathcal{A}_1} + \frac{1}{m_2 \mathcal{A}_2} \right) \sigma_x \sigma_y \right] h dx dy.$$

Wyrażenie po prawej stronie przedstawia tutaj pracę odkształcenia jednej połowy płyty, działającej jako tarcza. Ta praca jest przyrównana do pracy odkształcenia tarczy zastępczej o nieznaney stałej szerokości c . Na razie jednak nie opłaci się przeprowadzać rachunku na podstawie tego równania, albowiem nie znamy dokładnie odpowiadającego stanu napięcia. Z tego powodu można będzie poprzestać na uproszczonem przybliżonem równaniu:

$$(204a) \quad \frac{1}{2} c \int_{-\frac{b}{2}}^{+\frac{b}{2}} \frac{(\sigma_y)_{x=0}^2}{\mathcal{A}_2} h dy = \frac{1}{2} \int_0^\infty dx \int_{-\frac{b}{2}}^{+\frac{b}{2}} \frac{\sigma_y^2}{\mathcal{A}_2} h dy.$$

Obliczona w ten sposób średnia wartość c współdziałającej szerokości płyty musi naturalnie wypaść nieco za małą. Tę wartość należy przy liczbowym rachunku wstawić we wzory §-u 16 (względnie 19); skoro jednakże wypadnie wyznaczyć największe naprężenia w pewnym przekroju żebra (ze względu na obliczenie wytrzymałości), to do tego jest potrzebna znajomość współdziałającej szerokości płyty w tym właśnie przekroju. Oznaczmy ją przez c_y . Ta wielkość jest funkcją y i da się obliczyć z równania:

$$(204b) \quad c_y (\sigma_y)_{x=0} = \int_0^\infty \sigma_y dx.$$

Przystępując przedewszystkiem do wyznaczenia wartości c , znajdujemy z (204a) po wstawieniu wyrażenia (201.I) dla σ_y :

$$(204,1) \quad c = \frac{1}{2} \left(\lambda + \mu + \frac{\lambda \mu}{\lambda + \mu} \right) \frac{\sum_n c_n^2}{\sum_n c_n^2}.$$

Z powodu zwykle bardzo silnej zbieżności szeregów w liczb-

niku i mianowniku, różni się wartość powyższego ułamka tak niewiele od 1, że w pierwszym przybliżeniu można śmiało przyjąć

$$(204, 2) \quad c \approx \frac{1}{2} \left(\lambda + \mu + \frac{\lambda \mu}{\lambda + \mu} \right) = \frac{\lambda + \mu}{2} \left(1 + \frac{1}{1 + \frac{1}{\sqrt{\alpha_1 \alpha_2}}} \right) =$$

$$= \frac{b}{2\pi} \left(1 + \sqrt{\frac{\alpha_1}{\alpha_2}} \right) \left(1 + \frac{1}{1 + \frac{1}{\sqrt{\alpha_1 \alpha_2}}} \right).$$

Chcąc rachować dokładniej, trzeba oznaczyć w każdym przypadku obciążenia wartości współczynników c_n . Pokazuje się jednak, że te współczynniki zależą nie tylko od wymiarów i sposobu obciążenia płyty, lecz także od szukanej wielkości c . Przy sposobie obciążenia z § 16 znajdujemy na podstawie wzoru dla momentów (134), że c_n jest proporcjonalne względem wielkości

$$\frac{(n_2) \varepsilon_n}{n^3} = \frac{1}{n^3} \frac{2(n_1) \frac{\alpha + \beta}{n} q + (n_2) q'}{\frac{B^*}{B_2} - 2c + 2 \frac{\alpha + \beta}{n}},$$

wobec czego wypadaloby współdziałającą szerokość płyty c obliczyć z równania

$$(204, 3) \quad c = c' \frac{\sum_n 1 \left[\frac{2(n_1) \frac{\alpha + \beta}{n} q + (n_2) q'}{\frac{B^*}{B_2} - 2c + 2 \frac{\alpha + \beta}{n}} \right]^2}{\sum_n 1 \left[\frac{2(n_1) \frac{\alpha + \beta}{n} q + (n_2) q'}{\frac{B^*}{B_2} - 2c + 2 \frac{\alpha + \beta}{n}} \right]^2}$$

w którym c' oznacza krótko wartość pierwszego przybliżenia wielkości c (wyrażenie 204,2). Obliczenie c w drugim przybliżeniu wykonywa się po prostu w ten sposób, że po prawej stronie powyższego równania wstawia się zamiast c pierwszą przybliżoną wartość c' . Odrazu widać, że c będzie zawsze nieco mniejsze od c' .

Na podstawie otrzymanych formuł wyznaczmy teraz w kilku

szczególnych przypadkach obciążenia krańcowe wartości stosunku $c:c'$, aby się zorientować co do jego zależności od rodzaju obciążenia.

1. $q = 0$, $b_2 = b$, t. zn. tylko żebro jest na całej rozpiętości b obciążone równomiernie ciężarem q' (kg/cm). Wtedy mamy podług (204,₃):

$$\begin{aligned} \frac{c}{c'} &= \sum_n \frac{1}{n^7} \frac{1}{\left(\frac{B^*}{\bar{B}_2} - 2c + 2 \frac{\alpha + \beta}{n}\right)^2} : \sum_n \frac{1}{n^6} \frac{1}{\left(\frac{B^*}{\bar{B}_2} - 2c + 2 \frac{\alpha + \beta}{n}\right)^2} = \\ &= \frac{1 + \frac{1}{3^7} \frac{\left|\frac{B^*}{\bar{B}_2} - 2c + 2(\alpha + \beta)\right|^2}{\left|\frac{B^*}{\bar{B}_2} - 2c + \frac{2}{3}(\alpha + \beta)\right|^2} + \frac{1}{5^7} \frac{\left|\frac{B^*}{\bar{B}_2} - 2c + 2(\alpha + \beta)\right|^2}{\left|\frac{B^*}{\bar{B}_2} - 2c + \frac{2}{5}(\alpha + \beta)\right|^2} + \dots}{1 + \frac{1}{3^6} \frac{\left|\frac{B^*}{\bar{B}_2} - 2c + 2(\alpha + \beta)\right|^2}{\left|\frac{B^*}{\bar{B}_2} - 2c + \frac{2}{3}(\alpha + \beta)\right|^2} + \frac{1}{5^6} \frac{\left|\frac{B^*}{\bar{B}_2} - 2c + 2(\alpha + \beta)\right|^2}{\left|\frac{B^*}{\bar{B}_2} - 2c + \frac{2}{5}(\alpha + \beta)\right|^2} + \dots} \end{aligned}$$

Gdy teraz będziemy zmieniać sztywność żebra między krańcowymi wartościami, odpowiadającymi nieskończeniu silnym żebrami ($B^* = \infty$) i nieskończeniu słabym ($B^* = 2\bar{B}_2 c$), to wartość stosunku $c:c'$ waha odpowiednio między granicami

$$\begin{aligned} \frac{1 + \frac{1}{3^7} + \frac{1}{5^7} + \dots}{1 + \frac{1}{3^6} + \frac{1}{5^6} + \dots} &= \sim 0,999, \text{ a} \\ \frac{1 + \frac{1}{3^5} + \frac{1}{5^5} + \dots}{1 + \frac{1}{3^4} + \frac{1}{5^4} + \dots} &= \sim \frac{1,004}{1,014} = 0,990 \end{aligned}$$

To wahanie będzie oczywiście w praktycznych przypadkach o wiele mniejsze i, bez względu na stosunek sztywności żebra i płyty, można przyjąć w tym przypadku obciążenia z zupełnie wystarczającym przybliżeniem

$$c = c'$$

2. $q' = 0$, $b_1 = b$, czyli płyta dźwiga tylko całkowite równomiernie rozłożone obciążenie o natężeniu q (kg/cm²). Teraz znajdujemy z rów. (204,3):

$$\frac{c}{c'} = \left(1 + \frac{A_3^2}{3^9} + \frac{A_6^2}{5^9} + \dots\right) : \left(1 + \frac{A_3^2}{3^8} + \frac{A_5^2}{5^8} + \dots\right),$$

przy oznaczeniu

$$A_n = \frac{\frac{B^*}{B_2} - 2c + 2(\alpha + \beta)}{\frac{B^*}{B_2} - 2c + \frac{2}{n}(\alpha + \beta)},$$

a ta wartość $c : c'$ waha się między

$$\frac{1 + \frac{1}{3^9} + \frac{1}{5^9} + \dots}{1 + \frac{1}{3^8} + \frac{1}{5^8} + \dots} = \sim 1,000, \text{ a}$$

$$\frac{1 + \frac{1}{3^7} + \frac{1}{5^7} + \dots}{1 + \frac{1}{3^6} + \frac{1}{5^6} + \dots} = \sim 0,999$$

odpowiednio do założeń nieskończenie wielkiej i nieskończenie małej sztywności żebra. Te wahania są jeszcze nieznaczniejsze niż w pierwszym przypadku obciążenia, tem bardziej więc można teraz przyjąć

$$c = c'$$

niezależnie od wzajemnego stosunku sztywności żebra i płyty.

3. $q' = 0$, $b_1 = 0$, $\lim qb_1 = q''$ (kg/cm), t. zn. równomierne obciążenie liniowe na linii środkowej płyty. Otrzymujemy ten sam wynik, co w przypadku 1. Przeto i w tym przypadku jest z wystarczającym przybliżeniem

$$c = c'$$

przy dowolnej sztywności żebra w stosunku do płyty.

4. $q = 0$, $b_2 = 0$, $\lim q'b_2 = F$, t. j. obciążenie skupione w środku żebra. Dopiero w tym przypadku obciążenia znajdu-

jemy większe wahania krańcowych wartości stosunku $c:c'$, gdy sztywność żebra spada z bardzo wielkiej wartości na znikomo małą, a mianowicie jest

$$\frac{c}{c'} = \frac{1 + \frac{1}{3^5} + \frac{1}{5^5} + \dots}{1 + \frac{1}{3^4} + \frac{1}{5^4} + \dots} = \sim 0,990$$

przy bardzo wielkiej sztywności żebra, zaś

$$\frac{c}{c'} = \frac{1 + \frac{1}{3^3} + \frac{1}{5^3} + \dots}{1 + \frac{1}{3^2} + \frac{1}{5^2} + \dots} = \sim 0,853$$

przy znikomo małej. Zmniejszenie współdziałającej szerokości z ubytkiem sztywności żebra występuje teraz wyraźnie na jaw. Wyższa granica tego zmniejszenia, dochodzi, jak widać, do 15% wartości odpowiadającej nieskończeniu sztywnemu żebru. W przypadkach praktycznych będzie to zmniejszenie oczywiście zawsze mniejsze.

Oprócz zależności od względnej sztywności zginania żebra i płyty, wypada jeszcze zwrócić uwagę na zależność współdziałającej szerokości płyty c od obu sztywności przy ścisaniu płyty w kierunkach X i Y . Te sztywności są odpowiednio proporcjonalne względem uogólnionych modułów wydłużenia α_1 i α_2 . Ich wpływ występuje głównie i prawie wyłącznie na jaw w wyrażeniu (204,2) dla c' . Znajdujemy np. dla

$$\begin{array}{l} \alpha_1 : \alpha_2 = 0,1 \qquad \qquad \qquad 1 \qquad \qquad 10 \\ c' : b = 0,248 \qquad \qquad \qquad 0,398 \qquad 0,782 \end{array}$$

Z tych liczb widać, że im silniejsze jest uzbrojenie w kierunku X , t. j. w kierunku prostopadłym do żebra do uzbrojenia w kierunku Y , tem większą jest współdziałająca szerokość płyty c i naodwrot; atoli przyrost c nie idzie tak szybkim tempem jak odpowiadające wzmocnienie uzbrojenia X .

Przystąpimy teraz do wyrachowania wielkości c_v , t. j. współdziałającej szerokości płyty w dowolnym przekroju żebra, przy pomocy wzoru (204b) i w tym celu wstawiamy weń wyrażenie (201 I) dla σ_v . Po rozwiązaniu względem c_v , wypada wzór ogólny

$$(205) \quad c_v = (\lambda + \mu) \cdot \frac{\sum_n c_n \cos \frac{n\pi}{b} y}{\sum_n c_n \cos \frac{n\pi}{b} y}$$

Ponieważ tutaj obadwa szeregi w liczniku i w mianowniku są zwykle silnie zbieżne, a wskutek tego wartość ułamka różni się niewiele od 1 przy jakimkolwiek y , więc najczęściej można w pierwszym przybliżeniu napisać:

$$(205a) \quad c_v \approx c_v = \lambda + \mu = \frac{b}{\pi} \left(1 + \sqrt{\frac{\mathcal{Q}_1}{\mathcal{Q}_2}} \right)$$

Rachując dokładnie znajdujemy przy sposobie obciążenia z § 16, podobnie jak przy wyznaczeniu c :

$$(205') \quad c_v = c'_v \frac{\sum_n \frac{1}{n^4} \cdot \frac{2(n_1) \frac{\alpha + \beta}{n} q + (n_2) q'}{\frac{B^*}{B_2} - 2c + 2 \frac{\alpha + \beta}{n}} \cos \frac{n\pi}{b} y}{\sum_n \frac{1}{n^3} \cdot \frac{2(n_1) \frac{\alpha + \beta}{n} q + (n_2) q'}{\frac{B^*}{B_2} - 2c + 2 \frac{\alpha + \beta}{n}} \cos \frac{n\pi}{b} y}$$

z krańcowymi wartościami

$$(205'a) \quad \left/ c_v = (\lambda + \mu) \frac{\sum_n \frac{1}{n^4} \left[2(n_1) \frac{\alpha + \beta}{n} q + (n_2) q' \right] \cos \frac{n\pi}{b} y}{\sum_n \frac{1}{n^3} \left[2(n_1) \frac{\alpha + \beta}{n} q + (n_2) q' \right] \cos \frac{n\pi}{b} y} \right|_{Br \rightarrow \infty}$$

dla żebra nieskończenie sztywnego i

$$(205'b) \quad \left/ c_v = (\lambda + \mu) \frac{\sum_n \frac{1}{n^3} \left[2(n_1) \frac{\alpha + \beta}{n} q + (n_2) q' \right] \cos \frac{n\pi}{b} y}{\sum_n \frac{1}{n^2} \left[2(n_1) \frac{\alpha + \beta}{n} q + (n_2) q' \right] \cos \frac{n\pi}{b} y} \right|_{Br=0}$$

dla żebra nieskończenie słabego.

Podobnie jak przy obliczeniu c , wyznaczmy teraz dla tychże samych czterech przypadków obciążenia odpowiadające krańcowe wartości liczby

$$\nu = c_y : c'_y,$$

aby mieć pogląd na zależność współdziałającej szerokości płyty od sposobu obciążenia.

1. $q = 0$, $b_2 = b$, t. zn. liniowe równomierne obciążenie całego żebra (q' kg/cm). Dla $y = 0$, t. j. w środkowym najbardziej narażonym przekroju, mamy:

$$\left/ \nu = \frac{c_y}{c'_y} \right|_{br=\infty} = \frac{1 - \frac{1}{3^4} + \frac{1}{5^4} - \dots}{1 - \frac{1}{3^3} + \frac{1}{5^3} - \dots} = \frac{0,989}{0,969} = 1,02_1$$

$$\left/ \nu = \frac{c_y}{c'_y} \right|_{br=0} = \frac{1 - \frac{1}{3^3} + \frac{1}{5^3} - \dots}{1 - \frac{1}{3^2} + \frac{1}{5^2} - \dots} = \frac{0,969}{0,917} = 1,05_7$$

Przy danej sztywności żebra odpowiada pierwsza z powyższych liczb bardzo cienkiej płycie, a druga bardzo grubej. Ze zmniejszeniem grubości płyty ubywa zatem teoretycznie i współdziałająca szerokość tejże, jednakowoż tak nieznacznie, że to stoi jakby w sprzeczności z praktyczną intuicją inżyniera. Na pełne współdziałanie stosunkowo cienkiej płyty można oczywiście liczyć tylko dopóty, dopóki nie zachodzi niebezpieczeństwo jej wyoboczenia (wszak płyta jest ściskana), wszelako nie ulega żadnej wątpliwości, że to niebezpieczeństwo może się pojawić tylko u tak cienkich płyt, jakich chyba nie używa się w praktyce do tego celu. Poza tym wyjątkowym przypadkiem jest powyższa sprzeczność tylko pozorną i pochodzi zapewne stąd, że w praktyce mimo woli łączymy współdziałanie płyty w powyższym znaczeniu z działaniem płytowym, polegającym na przeniesieniu obciążenia żebra na pozostałe podpory płyty (względnie sąsiednie żebra i t. p.). To przeniesienie jest widocznie silnie zależne od sztywności zginania płyty a tem samym od jej grubości, podczas gdy miara współdziałania płyty jest z natury rzeczy od tej grubości uniezależniona.

Przyjawszy dla ν średnią arytmetyczną ze znalezionych krańcowych wartości, t. j.

$$\nu = \sim 1,04,$$

jako stałą wartość przybliżoną, popełnimy przy dowolnych stosunkach sztywności żebra do sztywności płyty błąd mniejszy od 2%.

Przekrojom oddalonym od środka rozpiętości odpowiadają mniejsze wartości stosunku $c_y : c_y'$. Dla $y = \pm \frac{b}{4}$ znajdujemy:

$$\left/ \nu = \frac{1 + \frac{1}{3^4} - \frac{1}{5^4} - \frac{1}{7^4} + \frac{1}{9^4} + \frac{1}{11^4} - \dots}{1 + \frac{1}{3^3} - \frac{1}{5^3} - \frac{1}{7^3} + \frac{1}{9^3} + \frac{1}{11^3} - \dots} = \frac{1,011}{1,028} = 0,984 \right.$$

$$\left/ \nu = \frac{1 + \frac{1}{3^3} - \frac{1}{5^3} - \frac{1}{7^3} + \dots}{1 + \frac{1}{3^2} - \frac{1}{5^2} - \frac{1}{7^2} + \dots} = \frac{1,028}{1,065} = 0,965 \right.$$

W bezpośredniej bliskości podpór żebra, czyli dla $y = \pm \frac{b}{2}$ staje się wyrażenie dla ν nieoznaczonym. Przy pomocy znanych prawideł rachunku nieskończonościowego otrzymamy jednak jego prawdziwą wartość, a mianowicie

$$\left/ \nu = \frac{1 + \frac{1}{3^3} + \frac{1}{5^3} + \dots}{1 + \frac{1}{3^2} + \frac{1}{5^2} + \dots} = \frac{1,052}{1,234} = 0,853, \right.$$

$$\left/ \nu = \frac{1 + \frac{1}{3^2} + \frac{1}{5^2} + \dots}{1 + \frac{1}{3} + \frac{1}{5} + \dots} = \frac{1,234}{\infty} = 0 \right.$$

Współdziałająca szerokość płyty c_y ulega przeto znacznemu zmniejszeniu w pobliżu podpór. Temu interesującemu wynikowi nie można przypisywać większego praktycznego znaczenia już dlatego, ponieważ naprężenia zginające grają w pobliżu podpór drugorzędą rolę, a założenia zwykłych teorii belek i płyt nie spełniają się należycie w bezpośredniej bliskości podpór.

2. $q' = 0$, $b_1 = b$, czyli równomiernie rozłożone obciążenie całej płyty o natężeniu q (kg/cm²). Teraz mamy dla środkowego przekroju ($y = 0$):

$$\left/ \nu = \frac{1 - \frac{1}{3^5} + \frac{1}{5^5} - \dots}{1 - \frac{1}{3^4} + \frac{1}{5^4} - \dots} = \frac{0,996}{0,989} = 1,007, \right.$$

$$\left/ \nu = \frac{1 - \frac{1}{3^4} + \frac{1}{5^4} - \dots}{1 - \frac{1}{3^3} + \frac{1}{5^3} - \dots} = \frac{0,989}{0,969} = 1,021. \right.$$

Dla przekroju $y = \pm \frac{b}{4}$ wypada:

$$\left/ \nu = \frac{1 + \frac{1}{3^5} - \frac{1}{5^5} - \frac{1}{7^5} + \dots}{1 + \frac{1}{3^4} - \frac{1}{5^4} - \frac{1}{7^4} + \dots} = \frac{1,004}{1,011} = 0,993 \right.$$

$$\left/ \nu = \frac{1 + \frac{1}{3^4} - \frac{1}{5^4} - \frac{1}{7^4} + \dots}{1 + \frac{1}{3^3} - \frac{1}{5^3} - \frac{1}{7^3} + \dots} = 0,984, \right.$$

a dla przekrojów podporowych:

$$\left/ \nu = \frac{1 + \frac{1}{3^4} + \frac{1}{5^4} + \dots}{1 + \frac{1}{3^3} + \frac{1}{5^3} + \dots} = \frac{1,015}{1,052} = 0,964, \right.$$

$$\left/ \nu = \frac{1 + \frac{1}{3^3} + \frac{1}{5^3} + \dots}{1 + \frac{1}{3^2} + \frac{1}{5^2} + \dots} = \frac{1,052}{1,234} = 0,853. \right.$$

W środkowym przekroju można przeto współdziałającą szerokość płyty uważać praktycznie za niezależną od stosunku sztywności zebra do sztywności płyty. Przyjmując średnio

$$v = \left/ \frac{c_y}{c'_y} \right|_{y=0} = 1,015$$

popelniamy błąd nie dochodzący nigdy 0,8%. W rzeczywistości będą wahania wielkości c_y uwarunkowane zmianą sztywności żebra (a wraz z nimi ów błąd) jeszcze o wiele mniejsze, ponieważ nie potrzebujemy brać w rachubę żeber o nieskończenie małej i nieskończenie wielkiej sztywności. Dotyczy to oczywiście wszystkich wogóle przypadków obciążenia.

3. $q' = 0$, $b_1 = 0$, $\lim qb_1 = q''$ (kg/cm), t. zn. równomierne obciążenie linii środkowej płyty. W środkowym przekroju ($y = 0$) otrzymujemy następujące krańcowe wartości dla v :

$$\left/ v = \sum_{n=1}^{\infty} \frac{1}{n^4} : \sum_{n=1}^{\infty} \frac{1}{n^8} = 0,964$$

$$\left/ v = \sum_{n=1}^{\infty} \frac{1}{n^3} : \sum_{n=1}^{\infty} \frac{1}{n^2} = 0,853.$$

Teraz różnią się obie liczby już dość znacznie, ale w praktycznych przypadkach będą zachodzić o wiele mniejsze różnice. Skoro np. ustalimy praktyczną niższą granicę sztywności żebra, przyjmąwszy

$$B^* - 2\bar{B}_2c = 2\bar{B}_2(\alpha + \beta),$$

to wartość ta odpowiada już stosunkowo słabym żebróm, albowiem według §-u 16

$$B_r = B^* - 2\bar{B}_2c - 2ce^2 E_s F_2.$$

W tym krańcowym praktycznym przypadku daje rów. (205')

$$v = \frac{1 + \frac{1}{2.3^3} + \frac{1}{3.5^3} + \frac{1}{4.7^3} + \dots}{1 + \frac{1}{2.3^2} + \frac{1}{3.5^2} + \frac{1}{4.7^2} + \dots} = \frac{1,022}{1,079} = 0,947,$$

a wartość ta różni się mniej niż o 2% od wartości 0,964, odpowiadającej teoretycznej wyższej granicy sztywności żebra.

Dla przekroju $y = \pm \frac{b}{4}$ mamy:

$$\left/ \nu = \frac{1 - \frac{1}{3^4} - \frac{1}{5^4} + \frac{1}{7^4} + \frac{1}{9^4} - \dots}{1 - \frac{1}{3^3} - \frac{1}{5^3} + \frac{1}{7^3} + \frac{1}{9^3} - \dots} = \frac{0,987}{0,958} = 1,030, \right.$$

$$\left/ \nu = \frac{1 - \frac{1}{3^3} - \frac{1}{5^3} + \frac{1}{7^3} + \frac{1}{9^3} - \dots}{1 - \frac{1}{3^2} - \frac{1}{5^2} + \frac{1}{7^2} + \frac{1}{9^2} - \dots} = \frac{0,958}{0,872} = 1,099, \right.$$

a dla $y = \pm \frac{b}{2}$:

$$\left/ \nu = \frac{1 - \frac{1}{3^3} + \frac{1}{5^3} - \frac{1}{7^3} + \dots}{1 - \frac{1}{3^2} + \frac{1}{5^2} - \frac{1}{7^2} + \dots} = 1,057, \right.$$

$$\left/ \nu = \frac{1 - \frac{1}{3^2} + \frac{1}{5^2} - \frac{1}{7^2} + \dots}{1 - \frac{1}{3} + \frac{1}{5} - \frac{1}{7} + \dots} = \frac{0,917}{0,785} = 1,168 \right.$$

Należy zwrócić uwagę na tę okoliczność, że podczas gdy w obu pierwszych przypadkach obciążenia malała współdziałająca szerokość płyty c , od środka zębra ku podporom, to teraz zachodzi przeciwnie przyrost c .

4. $q = 0$, $b_2 = 0$, $\lim q'b_2 = P$, t. j. ciężar skupiony w środku zębra. Dla obciążonego środkowego przekroju wypada z równ. (205')

$$\left/ \nu = \frac{\sum_{n=1}^{\infty} \frac{1}{n^3}}{\sum_{n=1}^{\infty} \frac{1}{n^2}} = 0,853, \right. \left/ \nu = \frac{\sum_{n=1}^{\infty} \frac{1}{n^2}}{\sum_{n=1}^{\infty} \frac{1}{n}} = 0, \right.$$

skoro jednakże, jak poprzednio, określimy praktyczną niższą granicę sztywności zębra przez przyjęcie

$$B^* - 2\bar{B}_2 c = 2\bar{B}_2 (\alpha + \beta),$$

to

$$v = \frac{c_v}{c'_v} = \frac{\sum \frac{1}{(n+1)n^2}}{\sum \frac{1}{(n+1)n}} = \frac{1,079}{1,386} = 0,778$$

(Przy cztery razy mniejszej wartości $B^* - 2\bar{B}_2c$ znajdujemy zamiast powyższej liczby $\sim 0,73$).

Dla przekroju $y = \pm \frac{b}{4}$ mamy:

$$\left/ v = \frac{1 - \frac{1}{3^3} - \frac{1}{5^3} + \frac{1}{7^3} + \frac{1}{9^3} - \dots}{1 - \frac{1}{3^2} - \frac{1}{5^2} + \frac{1}{7^2} + \frac{1}{9^2} - \dots} = 1,099,$$

$$\left/ v = \frac{1 - \frac{1}{3^2} - \frac{1}{5^2} + \frac{1}{7^2} + \dots}{1 - \frac{1}{3} - \frac{1}{5} + \frac{1}{7} + \dots} = \frac{0,872}{0,623} = 1,400,$$

a dla przekrojów podporowych:

$$\left/ v = \frac{1 - \frac{1}{3^2} + \frac{1}{5^2} - \dots}{1 - \frac{1}{3} + \frac{1}{5} - \dots} = 1,168$$

W krańcowym przypadku $B_2 = 0$ staje się szereg w mianowniku wahającym, ale posiada określoną wartość $\frac{1}{2}$. A zatem:

$$\left/ v = \frac{1 - \frac{1}{3} + \frac{1}{5} - \dots}{\frac{1}{2}} = 1,570.$$

Oprócz tego otrzymujemy dla przyjętej powyżej praktycznej niższej granicy sztywności zebra:

$$v = \frac{1 - \frac{1}{2.3} + \frac{1}{3.5} - \frac{1}{4.7} + \dots}{1 - \frac{1}{2} + \frac{1}{3} - \frac{1}{4} + \dots} = \frac{0,877}{0,693} = 1,266$$

Jak widać, zachodzi tutaj znowu przyrost c_v od środka zębra ku podporom. Ten przyrost objawia się tem wybitniej, im słabsze jest zebro.

Pozostaje jeszcze przyjrzeć się bliżej zależności c_v od obu sztywności ściskania płyty, względnie od uogólnionych modułów wydłużenia α_1 i α_2 . Ta zależność występuje na jaw we wzorze (205a) dla c'_v , który daje dla

$$\begin{array}{cccccc} \alpha_1 : \alpha_2 = & 0,1 & 0,5 & 1 & 5 & 10 \\ c'_v : b = & 0,419 & 0,543 & 0,637 & 1,030 & 1,325 \end{array}$$

Stąd widać jak wzmocnienie uzbrojenia prostopadłego do zębra przyczynia się korzystnie do współdziałania płyty. Wartości c'_v z tej tablicy są około 60 do 70% większe od obliczonych poprzednio odpowiadających wartości c' . Tak wielkie różnice nie dadzą się wyjaśnić samą, dość słabą wogóle zmiennością c'_v wzdłuż zębra i dowodzą, że pominięcie wyrazów zależnych od σ_x i τ w równaniu pracy (204) musi prowadzić do wcale poważnego zmniejszenia obliczonej wartości c . Atoli z przytoczonego powyżej powodu zaniechamy na razie dokładniejszego obliczenia c na podstawie równania (204).

Przy tej sposobności wypada podkreślić, że doświadczalnego stwierdzenia tych zadziwiająco wielkich współdziałających szerokości płyty, jakie przepowiada teoria, można się spodziewać tylko wtedy, gdy przy wykonaniu doświadczalnego obiektu zachowano ściśle pewne założenia teorii, jako to: ciągłość budowy („Monolitität“), zapewniona starannem betonowaniem od razu płyty razem z zębem i równomierne uzbrojenie całej płyty, bez przerw, lub innej większej nieciągłości ponad zębem.

Zebrawszy teraz znalezione wyniki, dochodzimy do następujących praktycznie ważnych wniosków:

Wielkość $c_1 = 2c_v + g$, nazwana w przepisach dla żel.-betonu w różnych krajach (niewłaściwie) „współdziałającą szerokością płyty“, zależy w przypadku bardzo wielkiego odstępu zębów w porównaniu do ich rozpiętości b głównie od tejże rozpiętości, od stosunku sztywności zginania zębra i płyty, oraz od sposobu obciążenia i położenia rozpatrywanego przekroju. Bezpośredni wpływ grubości zębra g tkwi jedynie w powyższem praktycznem określeniu wielkości $c_1 = 2c_v + g$, a wpływ wysoko-

ści żebra gra rolę tylko pośrednio, o ile sztywność żebra od tej wysokości zależy. Oprócz tego jest współdziałająca szerokość płyty zależna jeszcze od stosunku podłużnego do poprzecznego uzbrojenia płyty. Najsilniejszym jest wpływ rozpiętości, albowiem we wszelkich warunkach okazuje się c prawie dokładnie proporcjonalnie względem rozpiętości b . Mianowicie jest

$$(205. I) \quad c_v = (\lambda + \mu) \nu = \nu \frac{b}{\pi} \left(1 + \sqrt{\frac{\mathcal{A}_1}{\mathcal{A}_2}} \right),$$

jeżeli

$$\nu = c_v : c_v'$$

oznacza liczbowy współczynnik, zależny od sposobu obciążenia, od położenia przekroju i od stosunku sztywności przy zginaniu żebra do płyty. W szczególnym zaś przypadku równego uzbrojenia w obu kierunkach głównych ($\mathcal{A}_1 = \mathcal{A}_2$) mamy:

$$(205^*) \quad c_v = \nu \frac{2}{\pi} b = \sim 1,91 \nu \frac{b}{3}^1$$

¹ Cytowana na wstępie praca inż. Eggenschwylera A. zajmuje się wyznaczeniem współdziałającej szerokości płyty c_v w przypadku obciążenia rozłożonego równomiernie na całej rozpiętości b belki T z materiału równokierunkowego, przy dowolnym wymiarze l (poprzeczna całkowita szerokość belki $= g + 2l$). W granicznym przypadku $l = \infty$ dochodzi Eggenschwyler do wartości c_v około cztery razy mniejszej od wartości wynikającej z powyższego wzoru, ale wystarcza rzut oka na wykres rozkładu naprężeń normalnych σ_v (według naszego znakowania), aby stracić zaufanie do tego rozwiązania. Ten wykres bowiem składa się z dwu linii łańcuchowych, przecinających się na płaszczyźnie symetrii belki pod kątem tem ostrzejszym, że większe jest l , co by wskazywało na nagły spadek wartości naprężenia σ_v od żebra w kierunku doń prostopadłym. Taki zaś spadek jest widocznie wykluczony i krzywa naprężeń nie może mieć załomów. Łatwo natomiast się przekonać, że temu ostatniemu warunkowi czyni zadość podane powyżej wyrażenie (201. I) dla σ_v ; w szczególności jest $\frac{\partial \sigma_v}{\partial x} = 0$ dla $x = 0$.

Jak się zdaje, zabrał się Eggenschwyler do opracowania kwestyi rozkładu naprężeń w szerokich stopkach belek T pod wpływem pięknych doświadczeń z belkami płytowymi żel.-betonowymi, jakie wykonali Bach i Graf, Mitt. u. Forschungsarb. Zesz. 90 i 91, r. 1910, nie zwróciwszy przytem jednak uwagi na dziwny błąd popełniony przez wymienionych autorów przy interpre-

Wpływ względnej sztywności żebra jest w przypadku równomiernego obciążenia liniowego całego

tacyi tych doświadczeń! Czytamy mianowicie w odnośnej publikacyi (str. 19), że zniszczenie płyty w belkach 5-go szeregu doświadczeń (o górnej szerokości 100 cm., wysokości żebra 25 cm. i grubości żebra 18 cm.), narażonych w środkowej trzeciej części rozpiętości 300 cm. na czyste zginanie, nie nastąpiło wskutek ściskania, lecz wskutek ścinania(!) w pionowej płaszczyźnie przylegania płyty do żebra. Otóż to jest najoczywistszą nieprawdą, albowiem przy czystym zgięciu naprężenia ścinające tak w tych przekrojach jakoteż w przekrojach poprzecznych wcale się pojawić nie mogą. — Pęknięcia wskazujące na zniszczenie ściskanej płyty, przebiegały dokładnie równoległe do kierunku ciśnięć, jak to obserwowano przy wielu próbach czystego śgiskania, skoro np. przez smarowanie (F ö p p l) usunięto zakłócający wpływ cisańcych płyt prasy. Podłużne szczeliny powstałe w płycie, objaśniają się przeto naturalnie zbyt wielkimi ciśnieniami, a tylko pozostaje jeszcze wytłumaczyć dla czego te szczeliny ukazały się w miejscu połączenia płyty z żebrzem jedynie w przypadku największej stosowanej szerokości belki (100 cm.), jakkolwiek dokładne pomiary wykazały, że i przy tej szerokości był rozkład ciśnięć w skrajnej warstwie płyty bardzo jednostajny. Przy bacznej przyjrzeniu się objawom zniszczenia na belce Nr 394 (Fig. 38 do 47 cytowanej publikacyi), widzimy, że pierwotna przyczyna oddzielenia przyległych do żebra części płyty tkwi przecież w naprężeniach ścinających, których jednakoż należy szukać tam, gdzie występuje siła poprzeczna. Znajdujemy ją zaraz niedaleko od środka belki, w obu przekrojach obciążonych siłami skupionemi P , P , i w samej rzeczy tam, w miejscu, gdzie ściana żebra łączy się ze spodnią ścianą płyty za pośrednictwem wąskiej ukośnej ściany, ścinającej wklęsłą krawędź, pojawiają się, przy obciążeniu $P=14.000$ kg. pierwsze pochyłe pęknięcia (Fig. 38). Te pęknięcia wkraczają później, w miarę wzrostu obciążenia, coraz dalej w środkową część belki i orientują się tutaj odpowiednio do zmiany kierunku ciśnięć głównych na równoległe do osi belki, tak, iż już w niewielkiej odległości od obciążonych przekrojów stają się równoległe do podłużnych „włókien“ belki. Skoro tylko pęknięcia z obu stron połączyły się w jedną szczelinę podłużną, widoczną u spodu belki na fig. 41, doznaje miejsce połączenia płyty z żebrzem znacznego osłabienia i rozpoczyna się zniszczenie płyty przez podłużne pęknięcia, widoczne na jej górnej powierzchni (fig. 45). Na pytanie, dlaczego ten obraz zniszczenia nie pojawił się w innych szeregach doświadczeń, przy szerokościach belki 48 i 75 cm., a niezmiennych innych wymiarach, odpowiedź łatwa: Prostu dlatego, ponieważ omawiane naprężenia ścinające musiały w tych belkach wypaść znacznie mniejsze i naprężenia cisańce w środkowej części belki osiągnęły wcześniej wielkość niebezpieczną przy wzroście obciążenia. Jakoż istotnie doświadczenia wykazały praktycznie równe wartości krańcowych ciśnięć „łamiących“ σ , w betonie dla belek o 75 i 100 cm. szerokości (w ten sam sposób uzbrojonych), jakkolwiek

żebra, jakoteż równomiernego obciążenia powierzchniowego całej płyty, praktycznie bez znaczenia, ale w innych przypadkach obciążenia gra ten wpływ rolę tem ważniejszą, im obciążenie jest bardziej skupione. Przy najniekorzystniejszym rodzaju obciążenia przez siłę skupioną w środku żebra, może wielkość c_v , stosownie do stosunku sztywności żebra i płyty, zmniejszyć się mniej więcej o 15 do 22% w porównaniu do wartości, odpowiadającej równomiernemu obciążeniu całej płyty. Tę wartość nazwiemy dla krótkości normalną. Większe zmniejszenie normalnej wartości wskutek skupienia obciążenia odpowiada słabszym żebrom i na odwrót.

To wszystko odnosi się do niebezpiecznego przekroju w środku żebra.

Wpływ uzbrojenia płyty wychodzi na jaw z wzorów (205). Wzmocnienie uzbrojenia w kierunku X , t. j. prostopadle do żebra zwiększa współdziałającą szerokość płyty; odwrotnie działa wzmocnienie uzbrojenia równoległego do żebra.

Jeżeli te wyniki teoretycznego badania porównamy z odpowiednimi punktami urzędowych przepisów różnych krajów, dyktowanymi po największej części praktycznym czuciem autorów, to widzimy zaraz, że można znaleźć tylko jedną regułę, wspólną dla większości owych przepisów, która się da po części naukowo uza-

zachodziła tak wybitna różnica w obrazach zniszczenia belek o węższych i szerszych płytach.

Eggenschwyler rozpatrywał praktycznie ważny przypadek zgięcia pod równomiernie rozłożonym obciążeniem, zakładając, że do „przeniesienia“ naprężeń normalnych z żebra na płytę są potrzebne naprężenia ścinające (poziome), chociaż już sam przypadek czystego zgięcia poucza, że taki sam rozkład naprężeń normalnych powstaje w przekroju poprzecznym belki i bez naprężeń ścinających. Zaznaczywszy mimochodem błędność tego zapatrywania, trzeba jednak przyznać, że w tym przypadku myśl jest słuszna i pewne, aczkolwiek nieznaczące naprężenia ścinające powstaną w płaszczyznach pionowych dzielących płytę od żebra przy ogólnem zginaniu. Rozwiązanie, podane w niniejszej pracy pod postacią wzorów (201) prowadzi także do pewnych (poziomych) naprężeń ścinających w tych płaszczyznach (o ile nie zachodzi przypadek czystego zginania). Inaczej jednak ma się rzecz z przyjęciem przez Eggenschwylera parabolicznego rozkładu tych naprężeń, niemającym żadnego uzasadnienia.

sadzić. Ta reguła poleca mianowicie jako „współdziałającą szerokość“ $c_1 = 2c_v + g$ brać w rachubę co najwyżej pewną oznaczoną część rozpiętości b ; w szczególności było przepisane przed r. 1915 w Prusiech, Rosyi, Wirtembergii, na Węgrzech etc. $\frac{1}{3} b$ a w Szwajcaryi pierwiej $\frac{1}{4} b$, od r. 1915 $\frac{1}{5} b$ jako wyższa granica. To zgadza się o tyle z naszymi teoretycznymi wywodami, o ile obrano rozpiętość b za wielkość miarodajną. Rzecz dziwna, że inaczej postąpiono przy układaniu przepisów austriackich, a także najnowszych niemieckich z r. 1915. W każdym razie tak ta, jakoteż inne reguły praktyczne, wykazują bardzo znaczne zboczenia od teoretycznych wzorów (205) i to na korzyść bardzo wysokiego stopnia pewności. Nic tedy dziwnego, że przy próbach obciążenia znajdują nieraz ugięcia nadspodziewanie małe w porównaniu do obliczonych według przepisów. Z drugiej strony trzeba zwrócić uwagę, że przepisy nie suponują żadnego obliczenia momentów zgięcia M_1 i M_2 podług teorii płyt i raczej zdążają do tego, aby bardzo dotychczas niedokładną znajomość rzeczywistego stanu napięcia pokryć ostrożnem zmniejszeniem współdziałającej szerokości płyty. W każdym razie należy pamiętać, że momenty zginające płyty M_1 w miejscu połączenia z żebrzem mogą w pewnych warunkach osiągnąć dość wysokie wartości ujemne, mianowicie wtedy, gdy sztywność żebra, jakoteż stosunek $\bar{B}_1 : \bar{B}_2$ obu sztywności zginania płyty stają się odpowiednio wielkie. Tu widać z równań (115), (133) i z dołączonej do nich dyskusyi. W tym przypadku możnaby na pełne teoretyczne współdziałanie płyty liczyć tylko wtedy, gdy w tem miejscu, albo ciągnięcia w betonie nie przekraczają dopuszczalnej granicy, albo też uzbrojenie w kierunku X zapewnia ścisły związek żebra z płytą.

Inne odnośne reguły i przepisy, że np. $c_1 = 2c_v + g$ wolno co najwyżej przyjąć równe 20-krotnej grubości płyty (Szwajcaryja i Wirtembergia przed r. 1915), albo, że c_1 ma być nie większe od 8-krotnej grubości żebra g (Austria i Niemcy od r. 1915), lub wreszcie, że c_1 nie powinno być większe od 5-krotnej wysokości żebra (Węgry), względnie 4-krotnej wysokości żebra (Niemcy od roku 1915), nie mogą, jak z powyższego wynika, być naukowo uzasadnione i stanowią z tego powodu po największej części tylko balast, tamujący niepotrzebnie swobodę ruchów projektującego inżyniera. Także i ów punkt austriackich przepisów, pozwa-

lający na uwzględnienie współdziałania płyty tylko przy jej grubości $h > 6$ cm. ona nie ma właściwie naukowej podstawy¹.

Przy tej sposobności wypada podnieść, że byłoby do życzenia w interesie postępu w każdej dziedzinie sztuki inżynierskiej, aby urzędowe przepisy nie wnikały zbyt w szczegóły obliczenia statycznego, a w szczególności, aby nie ustanawiały obowiązujących reguł w kwestyach, dla których dopiero oczekujemy jako tako gruntownego naukowego zbadania. Subiektywne zapatrywanie osobistości, której powierzono opracowanie przepisów, narzuca się w ten sposób nie rzadko ogółowi technicznemu, i mijają lata, zanim dowolny, nieuzasadniony pomysł zniknie z przepisów. Z pośród zestawionych w „Betonkalender“ z r. 1916 przepisów dla żel.-betonu są, jak się zdaje, tylko francuskie wolne od tego zarzutu.

§ 22. Przybliżone rozwiązanie w przypadku wielu żeber równoodległych. Porównanie z oficjalnymi przepisami.

Zajmiemy się teraz kwestyą współdziałającej szerokości płyty w ogólniejszym przypadku wielu jednakowych żeber w równych odstępach, które już traktowaliśmy częściowo w § 19. Obrawszy

¹ Pewien cel praktyczny tych przepisów można upatrywać w tem, że one ujmują niebezpieczne naprężenia ścinające w kątach między płytą a żebrami w pewne umiarkowane granice; atoli ten cel da się osiągnąć lepiej i racjonalniej przez obniżenie rachunkowych (t. zn. obliczonych z grubsza przy najprostszym, choć nieraz od prawdy dalekiem, założeniu równomiernego rozkładu) naprężeń ścinających dla płyt z żebrami.

Albowiem podczas gdy naprężenia ścinające są rozłożone równomiernie w poziomych przekrojach zwykłej belki prostokątnej, to u belek płytowych ma się rzecz inaczej i im ostrzejsze jest przejście od bocznej ściany żebra do spodniej ściany płyty (wkłęsa krawędź belki), tembardziej nierównomiernie rozłoży się w tem miejscu odpowiadająca część siły ścinającej.

O ile zaś tego rodzaju przepisy mają na oku zapewnienie konstrukcyjnej jednolitości (Monolität) belki płytowej, to należy je raczej zastąpić ogólniejszymi i żądać przedewszystkiem, aby na współdziałanie płyty liczone tylko wówczas, gdy żebro wraz z płytą jest betonowane razem (bez przerw między betonowaniem żebra a betonowaniem płyty).

Zresztą nie ma się czego obawiać dysproporcji między poprzecznymi wymiarami żebra a grubością płyty, jeżeli tylko sama płyta podlega należytemu obliczeniu.

osie symetrii prostokątnego pola płyty pomiędzy dwoma sąsiednimi żebrami za osie współrzędnych i przedstawimy rozkład naprężeń σ_y wzdłuż żeber, t. zn. dla $x = \pm \frac{a}{2}$ szeregiem trygonometrycznym

$$(206) \quad (\sigma_y)_{x=\pm \frac{a}{2}} = \sum_n c_n \cos \frac{n\pi y}{b}, \quad (n=1, 3, 5, \dots)$$

dowodziemy łatwo, że funkcja naprężeń

$$(207) \quad \varphi = \sum_n \frac{c_n}{n^2} \cdot \frac{1}{\mu_{an} - \lambda_{an}} \left[\mu^3 \frac{Ch \frac{nx}{\mu}}{Sh \frac{na}{2\mu}} - \lambda^3 \frac{Ch \frac{nx}{\lambda}}{Sh \frac{na}{2\lambda}} \right] \cos \frac{n\pi y}{b}$$

uczyni zadość równaniu różniczkowemu (196), skoro λ i μ mają poprzednie znaczenie (z rów. 200), a dla skrócenia oznaczymy

$$\lambda_{an} = \lambda \operatorname{Cth} \frac{na}{2\lambda}, \quad \mu_{an} = \mu \operatorname{Cth} \frac{na}{2\mu}.$$

Różniczkowanie funkcji φ daje następujące wyrażenia dla naprężeń

$$(208) \quad \left\{ \begin{array}{l} \sigma_x = - \sum_n c_n \frac{\pi^2}{b^2} \frac{1}{\mu_{an} - \lambda_{an}} \left[\mu^3 \frac{Ch \frac{nx}{\mu}}{Sh \frac{na}{2\mu}} - \lambda^3 \frac{Ch \frac{nx}{\lambda}}{Sh \frac{na}{2\lambda}} \right] \cos \frac{n\pi y}{b}, \\ \sigma_y = \sum_n \frac{c_n}{\mu_{an} - \lambda_{an}} \left[\mu \frac{Ch \frac{nx}{\mu}}{Sh \frac{na}{2\mu}} - \lambda \frac{Ch \frac{nx}{\lambda}}{Sh \frac{na}{2\lambda}} \right] \cos \frac{n\pi y}{b}, \end{array} \right.$$

¹ W przypadku $\mu = \lambda = \frac{b}{\pi}$ przybiera wyrażenie dla σ_y postać:

$$(208. II) \quad \sigma_y = \sum_{n=1, 3, 5, \dots} 2c_n \frac{\left(Sh \frac{n\pi a}{2b} + \frac{n\pi a}{2b} Ch \frac{n\pi a}{2b} \right) Ch \frac{n\pi x}{b} \frac{n\pi x}{b} Sh \frac{n\pi a}{2b} Sh \frac{n\pi x}{b}}{Sh \frac{n\pi a}{b} + \frac{n\pi a}{b}} \cos \frac{n\pi y}{b}$$

$$(208) \quad \tau = - \sum_n c_n \frac{\pi}{b} \frac{1}{\mu_{an} - \lambda_{an}} \begin{vmatrix} Ch \frac{nx}{\mu} & Ch \frac{nx}{\lambda} \\ Sh \frac{na}{2\mu} & Sh \frac{na}{2\lambda} \end{vmatrix} \sin \frac{n\pi y}{b}$$

Jak widać, spełniają się warunki krańcowe: $\sigma_x = 0$, $\sigma_y = 0$ dla $y = \pm \frac{b}{2}$; tak samo przybiera σ_y dla $x = \pm \frac{a}{2}$ wartość (206)

jak być powinno; natomiast dla $x = \pm \frac{a}{2}$ nie znikają σ_x i τ . Na podstawie tych samych rozważań, co przy traktowaniu szczególnego przypadku $a = \infty$, można drugie z rów. (208) uważać za dobre przybliżone rozwiązanie kwestyi rozkładu naprężeń σ_y , jakkolwiek odpowiadająca funckya naprężeń nie wszystkie warunki krańcowe zadowala. Do wyznaczenia jednostronnie współdziałającej szerokości płyty c_y , służy teraz równanie:

$$(209) \quad c_y (\sigma_y)_{x=\pm \frac{a}{2}} = \int_0^{\frac{a}{2}} \sigma_y dx$$

Ponieważ $|\sigma_y| < |\sigma_y|_{x=\pm \frac{a}{2}}$ dla $0 < |x| < \frac{a}{2}$, więc z tego równania musi wypaść $c_y < \frac{a}{2}$; ale różnica $\frac{a}{2} - c_y$ zdąża przy zmniejszeniu odstepu żeber szybko do granicy zero, jak się zaraz pokaże. Po wstawieniu wyrażenia dla σ_y w równanie (209), otrzymamy:

$$(210) \quad c_y = \frac{\sum_n c_n \frac{\mu^2 - \lambda^2}{\mu_{an} - \lambda_{an}} \cos \frac{n\pi}{b} y}{\sum_n c_n \cos \frac{n\pi}{b} y}$$

W przypadku obciążenia, traktowanym w § 19, będą współczynniki c_n proporcjonalne względem odpowiadających współczynników wzoru (170) dla momentów, t. zn. względem wielkości:

$$\frac{(n_1)}{n^3} (1 - \omega_n) = \frac{(n_1)}{n^3} \cdot \frac{2 \beta^2 - \alpha^2}{\beta_{an} - \alpha_{an}} + \frac{(n_2)}{(n_1)} \cdot \frac{q'}{q} \cdot \frac{2 \beta^2 - \alpha^2}{\frac{B^*}{B_2} - 2c + \frac{2 \beta^2 - \alpha^2}{n \beta_{an} - \alpha_{an}}}$$

Należałoby przeto wyznaczyć c z równania:

$$(211) \quad c_v = \frac{\sum_n \frac{1}{n^4} \cdot \frac{\mu^2 - \lambda^2}{\mu_{an} - \lambda_{an}} \cdot \frac{2\beta^2 - \alpha^2}{n\beta_{an} - \alpha_{an}} (n_1)q + (n_2)q'}{\frac{B^*}{B_2} - 2c + \frac{2\beta^2 - \alpha^2}{n\beta_{an} - \alpha_{an}}} \cos \frac{n\pi}{b} y$$

$$\frac{\sum_n \frac{1}{n^3} \cdot \frac{2\beta^2 - \alpha^2}{n\beta_{an} - \alpha_{an}} (n_1)q + (n_2)q'}{\frac{B^*}{B_2} - 2c + \frac{2\beta^2 - \alpha^2}{n\beta_{an} - \alpha_{an}}} \cos \frac{n\pi}{b} y$$

W przypadku

$$\mu = \lambda = \frac{b}{\pi}$$

(kiedy jednocześnie jest $\alpha_1 = \alpha_2$) należy tutaj zastąpić

$$\frac{\mu^2 - \lambda^2}{\mu_{an} - \lambda_{an}}$$

wyrażeniem

$$2 \frac{b}{\pi} \cdot \frac{Ch \frac{n\pi a}{b} - 1}{Sh \frac{n\pi a}{b} + \frac{n\pi a}{b}}$$

(podobnie jak we wzorze 174. II). To wyrażenie można jeszcze napisać w postaci:

$$2 \frac{b}{\pi} \cdot \frac{1}{\left(1 + \frac{n\pi a}{2b} Cth \frac{n\pi a}{2b}\right) Cth \frac{n\pi a}{2b} - \frac{n\pi a}{2b}}$$

W wyrażeniu (211) są oba szeregi bardzo silnie zbieżne, o ile obciążenie nie jest zbyt skupione. Zatrzymawszy tylko pierwszy wyraz w każdym z obu szeregów, mamy w pierwszym przybliżeniu:

$$(211a) \quad c_v \sim c'_v = \frac{\mu^2 - \lambda^2}{\mu Cth \frac{a}{2\mu} - \lambda Cth \frac{a}{2\lambda}}$$

względnie przy $\lambda = \mu = \frac{b}{\pi}$:

$$(211b) \quad c'_v = \frac{2b}{\pi} \frac{Ch \frac{\pi a}{b} - 1}{Sh \frac{\pi a}{b} + \frac{\pi a}{b}}$$

Przy $a = \infty$ przeistacza się równanie (211a) w $c'_v = \lambda + \mu$, przy bardzo małym a zbliża się c'_v do granicy $\frac{a}{2}$, jak to widać z rozwinięcia:

$$c'_v = \frac{a}{2} \frac{\mu^2 - \lambda^2}{1 + \frac{1}{2!} \left(\frac{a}{2\mu}\right)^2 + \frac{1}{4!} \left(\frac{a}{2\mu}\right)^4 + \dots} - \lambda^2 \frac{1 + \frac{1}{2!} \left(\frac{a}{2\mu}\right)^2 + \dots}{1 + \frac{1}{3!} \left(\frac{a}{2\mu}\right)^3 + \frac{1}{5!} \left(\frac{a}{2\mu}\right)^5 + \dots}$$

Z powiększeniem a rośnie stale i c'_v , jednakże coraz wolniej i zbliża się asymptotycznie do granicy $\lambda + \mu$ dla $a = \infty$. Przyjmąwszy np. $\mathcal{C}_1 = \mathcal{C}_2$ a więc $\lambda = \mu$, znajdziemy według (211b):

| | | | | | | | |
|---------------|-------|-------|-------|-------|-------|-------|----------|
| dla $a : b =$ | 0,5 | 0,75 | 1 | 2 | 3 | 4 | ∞ |
| $c'_v : a =$ | 0,495 | 0,484 | 0,459 | 0,310 | 0,212 | 0,159 | 0 |
| $c'_v : b =$ | 0,247 | 0,363 | 0,459 | 0,620 | 0,635 | 0,637 | 0,637 |

Według tego możemy się już zorientować, kiedy mniej więcej staje się c'_v dostrzegalnie mniejszem od $\frac{a}{2}$. Ponieważ u płyt żel.-betonowych można z wystarczającym przybliżeniem przyjąć $\lambda = \mu$, więc dostrzegalnej różnicy między c'_v a $\frac{a}{2}$ należy się spodziewać dopiero przy $a > \frac{1}{2}b$, założywszy, że obciążenie jest rozłożone dość równomiernie.

Jeżeli przeto odległość żeber $a \leq \frac{b}{2}$, to można w przypadku równomiernego obciążenia płyty lub żeber przyjąć $c'_v = \frac{a}{2}$, a więc $c_1 = g + a$. Współdziała-

jąca szerokość płyty c_v okazuje się w tych warunkach praktycznie niezależną od rozpiętości b i dopiero gdy $a > \frac{b}{2}$, uwydatnia się zależność c_v od b , która przechodzi powoli, przy bardzo wielkich wartościach a w prostą proporcjonalność.

Na tem wypadnie na razie poprzestać i odłożyć szczegółową dyskusję wzoru dla c sz do chwili, kiedy stanie się możliwe porównanie z wynikami doświadczeń¹.

Na zakończenie niniejszego paragrafu zauważymy jeszcze, że, jak się zdaje, francuskie i rosyjskie przepisy żel.-betonowo są jedynymi, które prawie ogólnie zalecają brać w rachubę $c_v < \frac{a}{2}$ w rozpatrywanym przypadku. Te przepisy pozwalają mianowicie przyjąć

¹ Oprócz doświadczeń prof. Melana z r. 1910 (znanych niestety autorowi tylko z krótkiej wzmianki inż. Polivki w Beton u. Eisen z roku 1916) oraz interesujących doświadczeń prof. Dra Saligera R., „Versuche über die Verteilung einer Linienbelastung in einer Rippenplatte“, Arm. Beton, r. 1912, str. 361, nie napotkał autor dotąd prac doświadczalnych, któreby się nadawały do sprawdzenia wyników powyższych teoretycznych wywodów, a i spożytkowanie doświadczeń Saligera udaremnia zmienna grubość i zbyt mała szerokość płyty. Przytoczone powyżej doświadczenia „ad hoc“ Bacha i Grafa także nie dają się użyć do tego celu, z powodu zbyt małej szerokości płyty. Mimo to jednak te doświadczenia dostarczają dość ważnej podpory dla naszej teorii, przez stwierdzenie pomiarami, że nawet u najszerszych badanych płyt (szerokość bez żebra 82 cm., rozpiętość 300 cm.) był ubytek ciśnienia od żebra ku brzegom zewnętrznym znikomo mały (bo niedostrzegalny). Według wywodów Eggenschwylera (w poprzednio cytowanej pracy) musiałby spadek naprężeń normalnych σ_n być w tych warunkach już bardzo wyraźnym i łatwym do zmierzenia, podczas gdy nasza teoria daje w przypadku równych żeber o odległości w świetle 82 cm. i rozpiętości $b = 300$ cm. ubytek tylko około $\frac{1}{6}\%$ [według wzoru (208. II) z wartościami współczynników e_n , proporcjonalnymi względem odpowiadających wartości współczynników wzoru (170) dla momentów zginających żebra]. Taki ubytek nie dał się oczywiście dostrzec przy doświadczeniach. Dopiero przy dwa razy większej szerokości płyty można by oczekiwać na pewno doświadczalnego stwierdzenia ubytku naprężeń na brzegach płyty.

W przyszłym doświadczalnym badaniu kwestyi współdziałania płyty należałoby stosować zrazu objekty z materiału równokierunkowego i podlegającego prawu Hooke'a (szkło, żelazo zlewne i t. p.), potem przejść do czystego betonu z uzbrojeniem tylko w żebrach, a dopiero na koniec badać uzbrojone na krzyż płyty z żebrami.

$c_v = \frac{a}{2}$ tylko wtedy, gdy odstęp żeber w świetle, t. j. a , jest mniejszy od $1\frac{1}{2}$ -krotnej szerokości żebra g ; zalecają zaś przyjmować przy większym odstepie żeber

$$c_v + \frac{g}{2} = \frac{3}{8}(a + g),$$

albo

$$c_v = \frac{3}{8}a - \frac{1}{8}g$$

z ograniczającym warunkiem dodatkowym

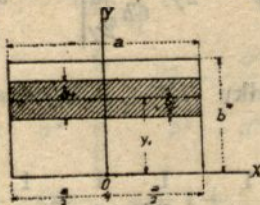
$$c_v + \frac{g}{2} \leq \frac{b}{6}.$$

Chociaż podstawowa myśl tej reguły ma widocznie coś wspólnego z teoretycznymi wynikami niniejszej pracy, to z drugiej strony jest jasnym, że i ona, podobnie jak odpowiadające reguły innych urzędowych przepisów, posuwa niepotrzebnie ostrożność zbyt daleko.

VI. Uprozczone ściśle rozwiązanie zagadnienia płyty prostokątnej dokoła swobodnie podpartej.

§ 23. Przypadek równomiernego obciążenia. Tablica dla praktycznych zastosowań w przypadku $\eta = 1$.

Sposób przedstawiony w § 17 można zastosować do tego, aby w miejsce rozwiązania, otrzymanego w § 11 w postaci szeregu



Rys. 23

podwójnie nieskończonego, znaleźć stosunkowo niewielkim trudem inne, wyrażone zwykłym szeregiem nieskończonym. Przyjmijmy

równomierne obciążenie na prostokątnym pasku płyty, ograniczonym dwiema prostymi równoległymi do brzegów a (rys. 23). Przy użyciu rozwiązania (89.I) dla płyty nieskończenie długiej znajdujemy podobnie jak w zadaniu paragrafu 17, gdy oś X -ów schodzi się z jednym z brzegów a , a oś Y -ów oba te brzegi połowi:

$$(212. I) \quad \zeta = \frac{4qb^4}{\pi^5 \bar{B}_2} \sum_{n=1,2,3,\dots} \frac{(n, b_1, y_1)}{n^5} \left[1 - \frac{\beta^2}{\beta^2 - \alpha^2} \cdot \frac{Ch \frac{nx}{\beta}}{Ch \frac{na}{2\beta}} + \frac{\alpha^2}{\beta^2 - \alpha^2} \cdot \frac{Ch \frac{nx}{\alpha}}{Ch \frac{na}{2\alpha}} \right] \sin \frac{n\pi y}{b}$$

Tutaj oznacza y_1 rzędną linii środkowej obciążonego paska o szerokości b_1 , a dla skrócenia wprowadzono, jak pierwej w § 12 symbol:

$$(n, b_1, y_1) = \sin \frac{n\pi b_1}{2b} \cdot \sin \frac{n\pi y_1}{b}.$$

Taką postać ma równanie powierzchni ugięcia dla przypadku I ($H^2 > \bar{B}_1 \bar{B}_2$).

W II-gim przypadku ($H^2 = \bar{B}_1 \bar{B}_2$, $\alpha = \beta = \gamma$) przekształca się to równanie na następujące:

$$(212. II) \quad \zeta = \frac{4qb^4}{\pi^5 \bar{B}_2} \sum_{n=1,2,3,\dots} \frac{(n, b_1, y_1)}{n^5} \left[1 + \frac{nx}{2\gamma} \frac{Sh \frac{nx}{\gamma}}{Ch \frac{na}{2\gamma}} - \left(1 + \frac{na}{4\gamma} Tgh \frac{na}{2\gamma} \right) \frac{Ch \frac{nx}{\gamma}}{Ch \frac{na}{2\gamma}} \right] \sin \frac{n\pi y}{b},$$

W III-im przypadku ($H^2 < \bar{B}_1 \bar{B}_2$) znajdujemy przez podstawienie:

$$\frac{1}{\alpha} = \frac{1}{\alpha'} + i \frac{1}{\beta'}, \quad \frac{1}{\beta} = \frac{1}{\alpha'} - i \frac{1}{\beta'}$$

we wzorze (212.I):

$$(212. III) \quad \zeta = \frac{4qb^4}{\pi^5 \bar{B}_2} \sum_{n=1,2,3,\dots} \frac{(n, b_1, y_1)}{n^5} \left(1 - A_n \operatorname{Ch} \frac{nx}{\alpha'} \cos \frac{nx}{\beta'} + \right. \\ \left. + B_n \operatorname{Sh} \frac{nx}{\alpha'} \sin \frac{nx}{\beta'} \right) \sin \frac{n\pi y}{b}$$

ze skróconemi oznaczeniami:

$$(212a) \quad \left\{ \begin{aligned} A_n &= \frac{\frac{1}{2} \left(\frac{\beta'}{\alpha'} - \frac{\alpha'}{\beta'} \right) \operatorname{Sh} \frac{na}{2\alpha'} \sin \frac{na}{2\beta'} + \operatorname{Ch} \frac{na}{2\alpha'} \cos \frac{na}{2\beta'}}{\operatorname{Sh}^2 \frac{na}{2\alpha'} + \cos^2 \frac{na}{2\beta'}} \\ B_n &= \frac{\frac{1}{2} \left(\frac{\beta'}{\alpha'} - \frac{\alpha'}{\beta'} \right) \operatorname{Ch} \frac{na}{2\alpha'} \cos \frac{na}{2\beta'} - \operatorname{Sh} \frac{na}{2\alpha'} \sin \frac{na}{2\beta'}}{\operatorname{Sh}^2 \frac{na}{2\alpha'} + \cos^2 \frac{na}{2\beta'}} \end{aligned} \right.$$

Mianownik tych wyrażeń da się jeszcze przedstawić w postaci:

$$\operatorname{Ch}^2 \frac{na}{2\alpha'} - \sin^2 \frac{na}{2\beta'} = \frac{1}{2} \left(\operatorname{Ch} \frac{na}{\alpha'} + \cos \frac{na}{\beta'} \right)$$

Dla momentów, sił poprzecznych i reakcyj podporowych otrzymujemy w I przypadku następujące wzory:

$$(213. I) \quad \left\{ \begin{aligned} M_1 &= \frac{4qb^2}{\pi^3} \cdot \frac{\bar{B}_1}{\bar{B}_2} \sum_{n=1,2,3,\dots} \frac{(nb_1 y_1)}{n^3} \left[\frac{1}{m_2} + \frac{b^2 - \beta^2}{\beta^2 - \alpha^2} \cdot \frac{\operatorname{Ch} \frac{nx}{\beta}}{\operatorname{Ch} \frac{na}{2\beta}} - \right. \\ &\quad \left. - \frac{b^2 - \alpha^2}{\beta^2 - \alpha^2} \cdot \frac{\operatorname{Ch} \frac{nx}{\alpha}}{\operatorname{Ch} \frac{na}{2\alpha}} \right] \sin \frac{n\pi y}{b}, \\ M_2 &= \frac{4qb^2}{\pi^3} \sum_n \frac{(nb_1 y_1)}{n^3} \left[1 - \frac{\beta^2 - b^2}{\beta^2 - \alpha^2} \cdot \frac{\operatorname{Ch} \frac{nx}{\beta}}{\operatorname{Ch} \frac{na}{2\beta}} + \right. \\ &\quad \left. + \frac{\alpha^2 - b^2}{\beta^2 - \alpha^2} \cdot \frac{\operatorname{Ch} \frac{nx}{\alpha}}{\operatorname{Ch} \frac{na}{2\alpha}} \right] \sin \frac{n\pi y}{b}, \end{aligned} \right.$$

$$(213. I) \left\{ \begin{aligned} D &= \frac{4qb^2}{\pi^2} \cdot \frac{2C}{B_2} \sum_n \frac{(nb_1y_1)}{n^2} \cdot \frac{b}{\pi(\beta^2 - \alpha^2)} \left[\beta \frac{Sh \frac{nx}{\beta}}{Ch \frac{na}{2\beta}} - \right. \\ &\quad \left. - \alpha \frac{Sh \frac{nx}{\alpha}}{Ch \frac{na}{2\alpha}} \right] \cos \frac{n\pi y}{b}. \end{aligned} \right.$$

$$(214. I) \left\{ \begin{aligned} V_1 &= -\frac{4qb^2}{\pi^2} \sum_n \frac{(nb_1y_1)}{n^2} \left[\eta_1 \frac{Sh \frac{nx}{\beta}}{Ch \frac{na}{2\beta}} + \frac{\varepsilon_1}{2\alpha} \frac{Sh \frac{nx}{\alpha}}{Ch \frac{na}{2\alpha}} \right] \sin \frac{n\pi y}{b}, \\ V_2 &= \frac{4qb}{\pi^2} \sum_n \frac{(nb_1y_1)}{n^2} \left[1 + \varepsilon_2 \frac{Ch \frac{nx}{\alpha}}{Ch \frac{na}{2\alpha}} - \eta_2 \frac{Ch \frac{nx}{\beta}}{Ch \frac{na}{2\beta}} \right] \cos \frac{n\pi y}{b}. \end{aligned} \right.$$

Pomocnicze wielkości ε_1 , η_1 , ε_2 , η_2 mają tutaj to samo znaczenie, co w równaniach (93. I).

$$(215. I) \left\{ \begin{aligned} (R_1)_{x=\frac{a}{2}} &= -\frac{4bq^2}{\pi^2} \sum_n \frac{(nb_1y_1)}{n^2} \left(\frac{\varepsilon'_1}{2\alpha} Tgh \frac{na}{2\alpha} + \frac{\eta'_1}{2\beta} Tgh \frac{na}{2\beta} \right) \sin \frac{n\pi y}{b} \\ (R_2)_{y=0} &= -\frac{4qb}{\pi^2} \sum_n \frac{(nb_1y_1)}{n^2} \left[1 + \varepsilon'_2 \frac{Ch \frac{nx}{\alpha}}{Ch \frac{na}{2\alpha}} - \eta'_2 \frac{Ch \frac{nx}{\beta}}{Ch \frac{na}{2\beta}} \right] \\ (R_2)_{y=b} &= -\frac{4qb}{\pi^2} \sum_n \frac{(-1)^{n-1}(nb_1y_1)}{n^2} \left[1 + \varepsilon'_2 \frac{Ch \frac{nx}{\alpha}}{Ch \frac{na}{2\alpha}} - \eta'_2 \frac{Ch \frac{nx}{\beta}}{Ch \frac{na}{2\beta}} \right] \end{aligned} \right.$$

Wchodzące w powyższe równania parametry ε'_1 , η'_1 , ε'_2 , η'_2 mają znowu dawniejsze znaczenie z § 14 (rów. 94. I):

$$(216. I) \hat{R}_{\frac{a}{2}, a} = \hat{R}_{-\frac{a}{2}, 0} = \frac{4qb^2}{\pi^2} \cdot \frac{4C}{B_2} \sum_n \frac{(nb_1y_1)}{n^2} \cdot \frac{b}{\pi} \cdot \frac{1}{\beta^2 - \alpha^2} \left(\beta Tgh \frac{na}{2\beta} - \alpha Tgh \frac{na}{2\alpha} \right),$$

$$(216. I) \quad \hat{R}_{\frac{a}{2}, b} = \hat{R}_{\frac{a}{2}, 0} = \frac{4qb^2}{\pi^3} \cdot \frac{4C}{\bar{B}_2} \sum \frac{(-1)^{n-1} (n b_1 y_1)}{n^3} \cdot \frac{b}{\pi} \cdot \frac{1}{\beta^2 - \alpha^2} \left(\beta Tgh \frac{na}{2\beta} - \alpha Tgh \frac{na}{2\alpha} \right);$$

$$(217. I) \quad \left\{ \begin{aligned} (\bar{R}_1)_{a-\frac{a}{2}} &= -\frac{4qb^3}{\pi^4} \sum \frac{[1 + (-1)^{n-1}](n b_1 y_1)}{n^3} \left(\frac{\epsilon'_1 Tgh \frac{na}{2\alpha}}{2\alpha} + \frac{\eta'_1 Tgh \frac{na}{2\beta}}{2\beta} \right), \\ (\bar{R}_2)_{y=0} &= -\frac{4qb}{\pi^2} \sum \frac{(n b_1 y_1)}{n^2} \left(a + \frac{2\alpha}{n} \epsilon'_1 Tgh \frac{na}{2\alpha} - \frac{2\beta}{n} \eta'_2 Tgh \frac{na}{2\beta} \right), \\ (\bar{R}_2)_{y=b} &= -\frac{4qb}{\pi^2} \sum_{n=1,2,3,\dots} \frac{(-1)^{n-1} (n b_1 y_1)}{n^2} \left(a + \frac{2\alpha}{n} \epsilon'_2 Tgh \frac{na}{2\alpha} - \frac{2\beta}{n} \eta'_2 Tgh \frac{na}{2\beta} \right) \end{aligned} \right.$$

Wzór dla całkowitej reakcyi brzegów b można jeszcze napisać w następującej prostszej postaci:

$$(217. Ia) \quad \bar{R}_1 = -\frac{4qb^3}{\pi^4} \sum_{n=1,3,5,\dots} \frac{(n b_1 y_1)}{n^3} \left(\frac{\epsilon'_1 Tgh \frac{na}{2\alpha}}{\alpha} + \frac{\eta'_1 Tgh \frac{na}{2\beta}}{\beta} \right)$$

Do sprawdzenia ostatnich wzorów można użyć oczywistego warunku równowagi sił zewnętrznych:

$$2\bar{R}_1 + (\bar{R}_2)_{y=0} + (\bar{R}_2)_{y=b} + 2\hat{R}_{\frac{a}{2}, 0} + 2\hat{R}_{\frac{a}{2}, b} + qab_1 = 0$$

Jakoż zważywszy, że z powodu znaczenia pomocniczych wielkości α i β (rów. 70) zachodzi związek

$$\frac{\alpha^2 \pi^2}{b^2} \bar{B}_1 + \frac{b^2}{\alpha^2 \pi^2} \bar{B}_1 = 2H = \frac{\bar{B}_1}{m_2} + \frac{\bar{B}_2}{m_1} + 4C,$$

przekonywamy się łatwo, że powyższemu równaniu warunkowemu czynią istotnie zadość wyrażenia (216. I) i (217. I).

Otrzymane wzory łatwo zastosować do praktycznie ważnego przypadku szczególnego, kiedy równomierne obciążenie pokrywa całą płytę. W tym celu trzeba tylko podstawić $y_1 = \frac{b}{2}$ i $b_1 = b$.

Wskutek tego będzie $(n b_1 y_1) = \left(\sin \frac{n\pi}{2}\right)^2$, czyli znika dla parzystego n , a dla nieparzystego n przybiera wartość 1. Kładąc przeto we wzorach

$$(n b_1 y_1) = 1 \quad \text{i} \quad n = 1, 3, 5, \dots$$

dochodzimy do odpowiadających wzorów dla równomiernego całkowitego obciążenia.

Przejdziemy teraz do formuł II-go przypadku. Znalezione równanie powierzchni ugięcia (212.II) różni się od odpowiadającego równania dla płyty równokierunkowej tylko tem, że tutaj mamy

\bar{B}_2 zamiast \bar{B} i $\gamma = \frac{b}{\pi} \sqrt{\frac{\bar{B}_1}{\bar{B}_2}}$ zamiast $\frac{b}{\pi}$. Zastąpiwszy odwrotnie w równaniu dla płyty równokierunkowej wielkości a , x , \bar{B} , odpowiednio przez

$$a \sqrt{\frac{\bar{B}_2}{\bar{B}_1}}, \quad x \sqrt{\frac{\bar{B}_2}{\bar{B}_1}} \quad \text{i} \quad \bar{B}_2$$

uzyskamy napowrót postać (212.II). Rolę stosunku $a : b$ gra teraz sprowadzony stosunek boków

$$\varepsilon = \frac{a}{b} \sqrt{\frac{\bar{B}_2}{\bar{B}_1}}$$

Wyrażenia dla wielkości statycznych przedstawiają się zatem w następującej ogólnej postaci, gdy oznaczymy przez μ_{11} , μ_{22} , ... te bezwymiarowe funkcyje zmiennych $\frac{x}{a}$, $\frac{y}{b}$ i ε , które nie zmieniają swej wartości przy przejściu do płyty nierównokierunkowej (w rozpatrywanym przypadku: $H^2 = \bar{B}_1 \bar{B}_2$):

$$(I) \quad \begin{cases} M_1 = \left(\mu_{11} \sqrt{\frac{\bar{B}_1}{\bar{B}_2}} + \mu_{22} \frac{1}{m_2} \frac{\bar{B}_1}{\bar{B}_2} \right) q b^2 = \left(\mu_{11} + \mu_{22} \frac{1}{m_2} \sqrt{\frac{\bar{B}_1}{\bar{B}_2}} \right) \frac{q a^2}{\varepsilon^2}, \\ M_2 = \left(\mu_{22} + \mu_{11} \frac{1}{m_1} \sqrt{\frac{\bar{B}_2}{\bar{B}_1}} \right) q b^2, \\ D = \mu_{12} \frac{2C}{\bar{B}_2} \sqrt{\frac{\bar{B}_2}{\bar{B}_1}} \cdot q b^2 = \mu_{12} \frac{2C}{\bar{B}_1} \sqrt{\frac{\bar{B}_1}{\bar{B}_2}} \cdot \frac{q a^2}{\varepsilon^2}, \end{cases}$$

$$(I) \quad \begin{cases} V_1 = \left[\mu_{111} + \mu_{123} \left(\frac{1}{m_2} + \frac{2C}{\bar{B}_1} \right) \sqrt{\frac{\bar{B}_1}{\bar{B}_2}} \right] \frac{qa}{\varepsilon} = \left[\mu_{111} \sqrt{\frac{\bar{B}_1}{\bar{B}_2}} + \right. \\ \quad \left. + \mu_{122} \left(\frac{1}{m_2} + \frac{2C}{\bar{B}_1} \right) \sqrt{\frac{\bar{B}_1^3}{\bar{B}_2^3}} \right] qb, \\ V_2 = \left[\mu_{222} + \mu_{112} \left(\frac{1}{m_1} + \frac{2C}{\bar{B}_2} \right) \sqrt{\frac{\bar{B}_2}{\bar{B}_1}} \right] qb. \end{cases}$$

Funkcye

$$\mu_{111}, \mu_{222}, \mu_{122}, \mu_{112}, \mu_{222}, \mu_{112}, \mu_{123};$$

są tutaj odpowiednio proporcjonalne względem ilorazów różniczkowych:

$$\frac{\partial^2 \zeta}{\partial x^2}, \frac{\partial^2 \zeta}{\partial y^2}, \frac{\partial^2 \zeta}{\partial x \partial y}, \frac{\partial^3 \zeta}{\partial x^3}, \frac{\partial^3 \zeta}{\partial y^3}, \frac{\partial^3 \zeta}{\partial x^2 \partial y}, \frac{\partial^3 \zeta}{\partial x \partial y^2},$$

co tłumaczy użyte wskaźniki.

Dla zadania zajmującego nas obecnie znajdziemy łatwo przez różniczkowanie równania (212. II):

$$(213. II) \quad \begin{aligned} \mu_{11} &= \frac{2}{\pi^3} \sum_{n=1,2,3,\dots} \frac{(n b_1 y_1)}{n^2} \frac{\frac{\pi \varepsilon}{2} Tgh \frac{n \pi \varepsilon}{2} Ch \frac{n \pi \varepsilon}{a} \frac{x}{a} - \frac{\pi \varepsilon x}{a} Sh \frac{n \pi \varepsilon}{a} \frac{x}{a}}{Ch \frac{n \pi \varepsilon}{2}} \sin \frac{n \pi y}{b}, \\ \mu_{22} &= \frac{4}{\pi^3} \sum \frac{(n b_1 y_1)}{n^3} \left\{ 1 + \frac{n \pi \varepsilon}{2} \cdot \frac{x}{a} \frac{Sh \frac{n \pi \varepsilon}{a} \frac{x}{a}}{Ch \frac{n \pi \varepsilon}{2}} - \right. \\ &\quad \left. - \left(1 + \frac{n \pi \varepsilon}{4} Tgh \frac{n \pi \varepsilon}{2} \right) \frac{Ch \frac{n \pi \varepsilon}{a} \frac{x}{a}}{Ch \frac{n \pi \varepsilon}{2}} \right\} \sin \frac{n \pi y}{b}, \\ \mu_{12} &= \frac{4}{\pi^3} \sum \frac{(n b_1 y_1)}{n^2} \left\{ \left(\frac{1}{n} + \frac{\pi \varepsilon}{2} Th \frac{n \pi \varepsilon}{2} \right) \frac{Sh \frac{n \pi \varepsilon}{a} \frac{x}{a}}{Ch \frac{n \pi \varepsilon}{2}} - \right. \\ &\quad \left. - \frac{\pi \varepsilon}{a} \cdot \frac{Ch \frac{n \pi \varepsilon}{a} \frac{x}{a}}{Ch \frac{n \pi \varepsilon}{2}} \right\} \cos \frac{n \pi y}{b}; \end{aligned}$$

$$\begin{aligned}
 \mu_{111} &= \frac{2}{\pi^2} \sum (n b_1 y_1) \left\{ \pi \varepsilon \frac{x}{a} \frac{\text{Ch } n\pi \varepsilon \frac{x}{a}}{\text{Ch } \frac{n\pi \varepsilon}{2}} + \right. \\
 &\quad \left. + \left(\frac{1}{n} - \frac{\pi \varepsilon}{2} \text{Th } \frac{n\pi \varepsilon}{2} \right) \frac{\text{Sh } n\pi \varepsilon \frac{x}{a}}{\text{Ch } \frac{n\pi \varepsilon}{2}} \right\} \sin \frac{n\pi y}{b}, \\
 u_{122} &= \frac{2}{\pi^2} \sum \frac{(n b_1 y_1)}{n} \left\{ \pi \varepsilon \frac{x}{a} \frac{\text{Ch } n\pi \varepsilon \frac{x}{a}}{\text{Ch } \frac{n\pi \varepsilon}{2}} - \right. \\
 (214. \text{II}) \quad &\quad \left. - \left(\frac{1}{n} + \frac{\pi \varepsilon}{2} \text{Th } \frac{n\pi \varepsilon}{2} \right) \frac{\text{Sh } n\pi \varepsilon \frac{x}{a}}{\text{Ch } \frac{n\pi \varepsilon}{2}} \right\} \sin \frac{n\pi y}{b}, \\
 u_{222} &= \frac{4}{\pi^2} \sum \frac{(n b_1 y_1)}{n^2} \left\{ 1 + \frac{n\pi \varepsilon}{2} \frac{x}{a} \frac{\text{Sh } n\pi \varepsilon \frac{x}{a}}{\text{Ch } \frac{n\pi \varepsilon}{2}} - \right. \\
 &\quad \left. - \left(1 + \frac{n\pi \varepsilon}{4} \text{Th } \frac{n\pi \varepsilon}{2} \right) \frac{\text{Ch } n\pi \varepsilon \frac{x}{a}}{\text{Ch } \frac{n\pi \varepsilon}{2}} \right\} \cos \frac{n\pi y}{b}, \\
 \mu_{112} &= \frac{2}{\pi^2} \sum \frac{(n b_1 y_1)}{n} \frac{\frac{\pi \varepsilon}{2} \text{Th } \frac{n\pi \varepsilon}{2} \text{Ch } n\pi \varepsilon \frac{x}{a} - \frac{\pi \varepsilon}{a} \text{Sh } n\pi \varepsilon \frac{x}{a}}{\text{Ch } \frac{n\pi \varepsilon}{2}} \cos \frac{n\pi y}{b}
 \end{aligned}$$

Do obliczenia całkowitych reakcyj każdego z prostych brze-
gów płyty będą jeszcze potrzebne następujące całki:

$$\begin{aligned}
 \bar{\mu}_{111} &= \int_0^b \mu_{111} dy = \frac{2}{\pi^2} b \sum \frac{(n b_1 y_1) [1 + (-1)^{n-1}]}{n^2} \left\{ \pi \varepsilon \frac{x}{a} \frac{\text{Ch } n\pi \varepsilon \frac{x}{a}}{\text{Ch } \frac{n\pi \varepsilon}{2}} + \right. \\
 (217. \text{IIa}) \quad &\quad \left. + \left(\frac{1}{n} - \frac{\pi \varepsilon}{2} \text{Th } \frac{n\pi \varepsilon}{2} \right) \frac{\text{Sh } n\pi \varepsilon \frac{x}{a}}{\text{Ch } \frac{n\pi \varepsilon}{2}} \right\}
 \end{aligned}$$

$$\begin{aligned}
 \mu_{122} &= \int_0^a \mu_{122} dy = \frac{2}{\pi^2} b \sum \frac{(n b_1 y_1) [1 + (-1)^{n-1}]}{n^2} \left\{ \pi h \frac{Ch \frac{n \pi \varepsilon}{2} \frac{x}{a}}{Ch \frac{n \pi \varepsilon}{2}} \right. \\
 &\quad \left. - \left(\frac{1}{n} + \frac{\pi \varepsilon}{2} Th \frac{n \pi \varepsilon}{2} \right) \frac{Sh \frac{n \pi \varepsilon}{2} \frac{x}{a}}{Ch \frac{n \pi \varepsilon}{2}} \right\}, \\
 (217. \text{IIa}) \quad \mu_{222} &= \int_{-\frac{a}{2}}^{+\frac{a}{2}} \mu_{222} dx = \frac{2}{\pi^2} a \sum \frac{(n, b_1 y_1)}{n^2} \left[3 - \frac{6}{n \pi \varepsilon} Th \frac{n \pi \varepsilon}{2} - \right. \\
 &\quad \left. - Th^2 \frac{n \pi \varepsilon}{2} \right] \cos \frac{n \pi y}{b}, \\
 \mu_{112} &= \int_{-\frac{a}{2}}^{+\frac{a}{2}} \mu_{112} dx = \frac{2}{\pi^2} a \sum \frac{(n b_1 y_1)}{n^2} \left[-1 + \frac{2}{n \pi \varepsilon} Th \frac{n \pi \varepsilon}{2} + \right. \\
 &\quad \left. + Th^2 \frac{n \pi \varepsilon}{2} \right] \cos \frac{n \pi y}{b}.
 \end{aligned}$$

Jak już powyżej zauważyliśmy, należy w przypadku całkowitego równomiernego obciążenia podstawić w powyższych wzorach:

$$(n b_1 y_1) = 1 \quad \text{i} \quad n = 1, 3, 5, \dots$$

Dla środka płyty otrzymujemy w tym przypadku:

$$(212. \text{IIa}) \quad f = (\zeta)_{0, \frac{b}{2}} = \frac{q b^4}{B_2} \cdot \frac{4}{\pi^5} \sum \frac{(-1)^{\frac{n-1}{2}}}{n^5} \left[1 - \frac{1 + \frac{n \pi \varepsilon}{4} Th \frac{n \pi \varepsilon}{2}}{Ch \frac{n \pi \varepsilon}{2}} \right] = \psi \cdot \frac{q b^4}{B_2}$$

$$(213. \text{IIa}) \quad \mu_{11} = \frac{\varepsilon}{\pi^2} \sum \frac{(-1)^{\frac{n-1}{2}}}{n^2} \cdot \frac{Th \frac{n \pi \varepsilon}{2}}{Ch \frac{n \pi \varepsilon}{2}}$$

$$(213. \text{IIa}) \quad \mu_{22} = \frac{4}{\pi^3} \sum_{n=1}^{\infty} \frac{(-1)^{\frac{n-1}{2}}}{n^3} \left[1 - \frac{1 + \frac{n\pi\varepsilon}{4} \operatorname{Th} \frac{n\pi\varepsilon}{2}}{\operatorname{Ch} \frac{n\pi\varepsilon}{2}} \right] =$$

$$= \frac{1}{8} - \frac{4}{\pi^3} \sum_{n=1}^{\infty} \frac{(-1)^{\frac{n-1}{2}}}{n^3} \cdot \frac{1 + \frac{n\pi\varepsilon}{4} \operatorname{Th} \frac{n\pi\varepsilon}{2}}{\operatorname{Ch} \frac{n\pi\varepsilon}{2}}$$

Stąd wynika związek:

$$(213^*) \quad \mu_{11} + \mu_{22} = \frac{1}{8} - \frac{4}{\pi^3} \sum_{n=1}^{\infty} \frac{(-1)^{\frac{n-1}{2}}}{n^3} \cdot \frac{1}{\operatorname{Ch} \frac{n\pi\varepsilon}{2}},$$

który ułatwia obliczenie liczbowych wartości.

W środku brzegu $x = \frac{a}{2}$, t. j. w punkcie $\left(\frac{a}{2}, \frac{b}{2}\right)$ mają funkcyjne μ_{111} i μ_{122} następujące wartości:

$$\left. \begin{aligned} \mu_{111} &= -\frac{\varepsilon}{\pi} \sum_{n=1}^{\infty} \frac{(-1)^{\frac{n-1}{2}}}{n} \left[\frac{1}{\operatorname{Ch}^2 \frac{n\pi\varepsilon}{2}} + \frac{\operatorname{Th} \frac{n\pi\varepsilon}{2}}{\frac{n\pi\varepsilon}{2}} \right], \\ \mu_{122} &= -\frac{\varepsilon}{\pi} \sum_{n=1}^{\infty} \frac{(-1)^{\frac{n-1}{2}}}{n} \left[\frac{\operatorname{Th} \frac{n\pi\varepsilon}{2}}{\frac{n\pi\varepsilon}{2}} - \frac{1}{\operatorname{Ch}^2 \frac{n\pi\varepsilon}{2}} \right]. \end{aligned} \right\}$$

Między niemi zachodzi związek:

$$(214. \text{IIa}) \quad \left. \begin{aligned} \mu_{111} + \mu_{122} &= -\frac{4}{\pi^2} \sum_{n=1}^{\infty} \frac{(-1)^{\frac{n-1}{2}}}{n^2} \operatorname{Th} \frac{n\pi\varepsilon}{2}, \end{aligned} \right\}$$

Dalej znajdujemy

$$\left. \begin{aligned} \mu_{222} &= \frac{1}{2} - \frac{4}{\pi^2} \sum_{n=1}^{\infty} \frac{1}{n^2} \frac{1 + \frac{n\pi\varepsilon}{4} \operatorname{Th} \frac{n\pi\varepsilon}{2}}{\operatorname{Ch} \frac{n\pi\varepsilon}{2}}, \end{aligned} \right\}$$

$$\left. \begin{aligned} \mu_{112} &= \frac{\varepsilon}{\pi} \sum_{n=1}^{\infty} \frac{1}{n} \frac{\operatorname{Th} \frac{n\pi\varepsilon}{2}}{\operatorname{Ch} \frac{n\pi\varepsilon}{2}}, \end{aligned} \right\}$$

ze związkiem

$$(214. IIa) \quad \int_{x=0, y=0} (\mu_{222} + \mu_{112}) = \frac{1}{2} - \frac{4}{\pi^2} \sum \frac{1}{n^2} \cdot \frac{1}{Ch \frac{n\pi\varepsilon}{2}}$$

tudzież

$$(217. II) \quad \left\{ \begin{aligned} \bar{\mu}_{111} &= \int_{x=\frac{a}{2}}^b \mu_{111} dy = -\frac{2b\varepsilon}{\pi^2} \sum \frac{1}{n^2} \left[\frac{1}{Ch^2 \frac{n\pi\varepsilon}{2}} + \frac{Th \frac{n\pi\varepsilon}{2}}{n\pi\varepsilon} \right], \\ \bar{\mu}_{122} &= \int_{x=\frac{a}{2}}^b \mu_{122} dy = -\frac{2b\varepsilon}{\pi^2} \sum \frac{1}{n^2} \left[\frac{Th \frac{n\pi\varepsilon}{2}}{n\pi\varepsilon} - \frac{1}{Ch^2 \frac{n\pi\varepsilon}{2}} \right], \\ \bar{\mu}_{111} + \bar{\mu}_{122} &= -\frac{8b}{\pi^2} \sum \frac{1}{n^2} Th \frac{n\pi\varepsilon}{2}; \\ \bar{\mu}_{222} &= \int_{y=0}^{\frac{a}{2}} \mu_{222} dx = \frac{a}{2} - \frac{2a}{\pi^2} \sum \frac{1}{n^2} \left[3 \frac{Th \frac{n\pi\varepsilon}{2}}{n\pi\varepsilon} - \frac{1}{Ch^2 \frac{n\pi\varepsilon}{2}} \right], \\ \bar{\mu}_{112} &= \int_{y=0}^{\frac{a}{2}} \mu_{112} dx = \frac{2a}{\pi^2} \sum \frac{1}{n^2} \left[\frac{Th \frac{n\pi\varepsilon}{2}}{n\pi\varepsilon} - \frac{1}{Ch^2 \frac{n\pi\varepsilon}{2}} \right], \\ \bar{\mu}_{222} + \bar{\mu}_{112} &= \frac{a}{2} - \frac{8}{\pi^2} \cdot \frac{a}{\varepsilon} \sum \frac{1}{n^2} Th \frac{n\pi\varepsilon}{2}. \end{aligned} \right.$$

W rogach płyty jest

$$(216. Ia) \quad \int_{x=\frac{a}{2}, y=0} \mu_{12} = \frac{\varepsilon}{\pi^2} \sum \frac{1}{n^2} \left[\frac{Th \frac{n\pi\varepsilon}{2}}{n\pi\varepsilon} - \frac{1}{Ch^2 \frac{n\pi\varepsilon}{2}} \right]$$

Podług powyższych wzorów obliczono tablicę umieszczoną poniżej. Liczby tablicy będą w przybliżeniu ważne także w przypadkach I i III, o ile różnica $[H^2 - \bar{B}_1 \bar{B}_2]$ nie staje się zbyt wielką. Tablica pozwala wyrokować o stopniu dokładności formuł przybliżonych z § 10; podług niej można też sporządzić specjalne tablice

Tablica do obliczenia

| | strzałki ugięcia f w środku płyty | krajcowych wartości momentów zgięcia M_1 i M_2 w środku płyty | | największych wartości sił poprzecznych V_1 ; V_2 i reakcyj brzegów R_1 , R_2 | | całkowitych reakcyj | | | | naroznych reakcyj \bar{R} | | |
|--|-------------------------------------|---|------------|--|------------------------------------|---------------------------|-------------|------------------------------|------------------------------|-----------------------------|-----------------------------|--|
| | | | | w środku brzegu $b_1 (x = \frac{a}{2}, y = \frac{b}{2})$ | w środku brzegu $a (x = 0, y = 0)$ | \bar{R}_1 brzegów b , | | \bar{R}_2 brzegów a , | | | | |
| dla podanej w pierwszej rubryce wartości sprowadzonego stosunku boków $\varepsilon = \frac{a}{b} \sqrt{\frac{B_2}{B_1}} \geq 1$ płyty prostokątnej równomiernie całkowicie obciążonej i dokoła swobodnie podpartej w przypadku $H^2 = \bar{B}_1 \bar{B}_2$. | | | | | | | | | | | | |
| ε | ψ_{00} | μ_{11} | μ_{22} | $-\mu_{111}$ | $-\mu_{122}$ | μ_{222} | μ_{112} | $-\frac{\bar{\mu}_{111}}{b}$ | $-\frac{\bar{\mu}_{122}}{b}$ | $\frac{\bar{\mu}_{222}}{a}$ | $\frac{\bar{\mu}_{112}}{a}$ | μ_{12} dla $x = \frac{a}{2},$ $y = 0$ |
| | | dla $x = 0, y = \frac{b}{2}$ | | (dla $x = \frac{a}{2}, y = \frac{b}{2}$) | | dla $x = 0, y = 0$ | | dla $x = \frac{a}{2}$ | | dla $y = 0$ | | |
| 1 | 0,00406 | 0,0368 | 0,0368 | 0,219 | 0,119 | 0,219 | 0,119 | 0,157 | 0,093 | 0,157 | 0,093 | 0,0466 |
| 1,1 | 0,00485 | 0,0361 | 0,0445 | 0,215 | 0,131 | 0,247 | 0,113 | 0,155 | 0,101 | 0,176 | 0,092 | 0,0506 |
| 1,2 | 0,00564 | 0,0344 | 0,0523 | 0,210 | 0,143 | 0,273 | 0,107 | 0,151 | 0,109 | 0,193 | 0,091 | 0,0544 |
| 1,3 | 0,00638 | 0,0325 | 0,0595 | 0,205 | 0,152 | 0,296 | 0,101 | 0,148 | 0,115 | 0,210 | 0,088 | 0,0572 |
| 1,4 | 0,00705 | 0,0309 | 0,0661 | 0,202 | 0,159 | 0,316 | 0,095 | 0,146 | 0,119 | 0,226 | 0,085 | 0,0594 |
| 1,5 | 0,00772 | 0,0281 | 0,0728 | 0,199 | 0,164 | 0,335 | 0,089 | 0,145 | 0,122 | 0,241 | 0,081 | 0,0611 |
| 1,6 | 0,00830 | 0,0258 | 0,0784 | 0,196 | 0,169 | 0,354 | 0,081 | 0,143 | 0,125 | 0,254 | 0,078 | 0,0627 |
| 1,7 | 0,00883 | 0,0235 | 0,0838 | 0,194 | 0,172 | 0,370 | 0,074 | 0,142 | 0,127 | 0,267 | 0,075 | 0,0637 |
| 1,8 | 0,00931 | 0,0214 | 0,0884 | 0,193 | 0,175 | 0,385 | 0,067 | 0,141 | 0,129 | 0,279 | 0,072 | 0,0645 |
| 1,9 | 0,00974 | 0,0193 | 0,0927 | 0,191 | 0,178 | 0,398 | 0,061 | 0,139 | 0,131 | 0,289 | 0,069 | 0,0655 |
| 2 | 0,01013 | 0,0175 | 0,0965 | 0,189 | 0,181 | 0,410 | 0,055 | 0,138 | 0,133 | 0,299 | 0,066 | 0,0663 |
| 2,5 | 0,01150 | 0,0100 | 0,1100 | 0,188 | 0,183 | 0,453 | 0,031 | 0,137 | 0,134 | 0,338 | 0,054 | 0,0670 |
| 3 | 0,01223 | 0,0052 | 0,1173 | 0,187 | 0,185 | 0,476 | 0,017 | 0,136 | 0,135 | 0,365 | 0,045 | 0,0675 |
| 4 | 0,01282 | 0,0015 | 0,1231 | 0,186 | 0,186 | 0,492 | 0,006 | 0,136 | 0,136 | 0,398 | 0,034 | 0,0678 |
| 5 | 0,01297 | 0,0004 | 0,1245 | 0,186 | 0,186 | 0,499 | 0,001 | 0,136 | 0,136 | 0,419 | 0,027 | 0,0679 |
| ∞ | 0,01302 | 0,0000 | 0,1250 | 0,186 | 0,186 | 0,500 | 0,000 | 0,136 | 0,136 | 0,500 | 0,000 | 0,0679 |

$$\hat{R} = (\mu_{12})_{\frac{a}{2}, 0} \frac{4C}{\bar{B}_2} \sqrt{\frac{\bar{B}_2}{\bar{B}_1}} \cdot qb^2 = (\mu_{12})_{\frac{a}{2}, 0} \frac{4C}{\bar{B}_2} \sqrt{\frac{\bar{B}_2}{\bar{B}_1}} \cdot \frac{qab}{\varepsilon}$$

$$\bar{R}_2 = - \left[\frac{\bar{\mu}_{222}}{a} + \frac{\bar{\mu}_{112}}{a} \left(\frac{1}{m_1} + \frac{4C}{\bar{B}_2} \right) \sqrt{\frac{\bar{B}_2}{\bar{B}_1}} \right] qab$$

$$\bar{R}_1 = \left[\frac{\bar{\mu}_{111}}{b} + \frac{\bar{\mu}_{122}}{b} \left(\frac{1}{m_2} + \frac{4C}{\bar{B}_1} \right) \sqrt{\frac{\bar{B}_1}{\bar{B}_2}} \right] \frac{qab}{\varepsilon}$$

$$(R_2)_{max} = - \left[\mu_{222} + \mu_{112} \left(\frac{1}{m_1} + \frac{4C}{\bar{B}_2} \right) \sqrt{\frac{\bar{B}_2}{\bar{B}_1}} \right] qb$$

Odpowiadające wyrażenia dla $(V_1)_{max}$ i $(V_2)_{max}$ różnią się od podanych obok (pomijając znaki) tylko tem, że w nich jest $2C$ zamiast $4C$

$$(R_1)_{max} = \left[\mu_{111} + \mu_{122} \left(\frac{1}{m_2} + \frac{4C}{\bar{B}_1} \right) \sqrt{\frac{\bar{B}_1}{\bar{B}_2}} \right] \frac{qa}{\varepsilon}$$

$$M_2 = \left(\mu_{22} + \mu_{11} \frac{1}{m_1} \sqrt{\frac{\bar{B}_2}{\bar{B}_1}} \right) qb^2$$

$$M_1 = \left(\mu_{11} + \mu_{22} \frac{1}{m_2} \sqrt{\frac{\bar{B}_1}{\bar{B}_2}} \right) qa^2 \varepsilon^2.$$

$$f = \psi_{00} \frac{qb^4}{\bar{B}_2}$$

Obliczenie dokonywa się zapomocą następujących wzorów:

do praktycznego użytku, skoro z doświadczeń wyznaczymy wartości m_1 i m_2 , oraz związek między wielkościami H (względnie C), \bar{B}_1 i \bar{B}_2 .

Tak np. znajdujemy dla płyty o stosunku boków $a : b = 1,3$, obliczonej w przybliżeniu w § 10, następujące dokładne wartości (jeżeli przyjmiemy, jak tam, $\bar{B}_2 : \bar{B}_1 = 1,056$, a więc $\varepsilon = 1,3 \sqrt[4]{1,056} = 1,318$ i $m_1 = m_2 = 6$):

$$\psi = 0,0065, \quad M_{2max} = 0,066 qb^2, \quad M_{1max} = 0,041 qb^2$$

Z wzorów przybliżonych (27) i (29) wypada natomiast:

$$\psi = 0,0067, \quad M_{2max} = 0,072 qb^2, \quad M_{1max} = 0,047 qb^2,$$

t. zn. okrągło o

$$3\%, \quad 9\%, \quad 15\%$$

za wiele. Stopień przybliżenia można przeto uważać za zupełnie zadowalający tylko przy obliczeniu ugięć. Dla momentów są błędy wzorów przybliżonych już dość znaczne, ale przecież przy praktycznych obliczeniach wytrzymałości dopuszczalne, ponieważ idą na korzyść pewności. Atoli tego nie możnaby powiedzieć o rozkładzie reakcyj podporowych, wobec czego wypada je wyznaczać zawsze na podstawie dokładnego rozwiązania.

Już z analitycznych wywodów dla przypadku $a = \infty$ (§ 14) można było widzieć, że wartość M_1 w środku płyty nie musi być największą dla całej płyty. W przypadku bardzo wielkiej długości płyty znaleźliśmy mianowicie, że na jej osi podłużnej w odległości

$$d = \sim \frac{b \sqrt[4]{\frac{\bar{B}_1}{\bar{B}_2}}}{\pi \sqrt{\frac{\bar{B}_2}{\bar{B}_1}}} \cdot \frac{\sqrt{\frac{\bar{B}_2}{\bar{B}_1}} + \frac{1}{m_2}}{\sqrt{\frac{\bar{B}_2}{\bar{B}_1}} - \frac{1}{m_2}}$$

od krótkiego boku b występuje maximum momentu zginającego M_1 , które może być znacznie większe od krańcowej wartości w środku płyty. Z powyższego rozwiązania dla ogólniejszego przypadku dowolnego ε wynika teraz, że w miarę zmniejszania się ε , miejsce największej wartości momentu $M'_1 = \mu_{11} \frac{qa^2}{e^2}$ oddala się po-

woli od krótkiego boku b , a następnie zbliża się szybko do środka płyty osiągając go przy wartości $\varepsilon \approx 1,3$. Dla $\frac{1}{1,3} < \varepsilon < 1,3$ zachodzi największa wartość M_1' w środku płyty. Wszystkim innym wartościom ε (a więc większym od 1,3, lub mniejszym od 1:1,3 nie odpowiada w środku płyty maximum, lecz minimum momentu M_1' .

Podobnie będzie się przedstawiać rzecz i dla rzeczywistego momentu zgięcia M_1 , jednakowoż odpowiadające rachunki są o wiele uciążliwsze, wobec czego przeprowadzono obliczenie przybliżone tylko dla „momentu zastępczego“ M_1' , jako głównej części rzeczywistego momentu M_1 . Według tego obliczenia, miejsce największego momentu M_1' (a zarazem miejsce największej wartości krzywizny $\frac{\partial^2 \zeta}{\partial x^2}$ w środkowym podłużnym przekroju płyty) porusza się w przypadku $\bar{B}_1 = \bar{B}_2$ między dwoma punktami, odległymi od krótkiego boku o

$$d \approx 0,32 b \quad \text{i} \quad d \approx 0,65 b,$$

skoro stosunek ε zmienia się od wartości ∞ do 1,3. Dla

$$\frac{1}{1,3} < \varepsilon < 1,3 \quad \text{wynosi ta odległość} \quad \frac{a}{2}.$$

Prócz tego znajdujemy za pomocą wielkiej liczbowej tablicy niniejszego §-u, oraz małej tablicy na końcu § 14, przy założeniu $\bar{B}_1 = \bar{B}_2$, $m_1 = m_2 = 6$ (dla betonu):

| | | | | | | |
|-----|----------------------------|------------------|------------------|------------------|------------------|------------------|
| dla | $\varepsilon =$ | 1 | 1,1 | 1,2 | 1,3 | ∞ |
| | $\frac{M_{1,max}}{qb^2} =$ | $\frac{1}{23,3}$ | $\frac{1}{23,0}$ | $\frac{1}{23,2}$ | $\frac{1}{23,6}$ | $\frac{1}{28,7}$ |
| | | (0,0429) | (0,0435) | (0,0431) | (0,0423) | (0,0348) |

Największa wartość M_1 zmienia się przeto w dość ciasnych granicach, gdy przy danej szerokości płyty b rośnie jej długość a od $a = b$ do $a = \infty$. Wartościami końcowymi są:

$$M_1 = \frac{1}{23,0} qb^2 \quad \text{dla} \quad a = 1,1 b \quad \text{i}$$

$$M_1 = \frac{1}{28,7} qb^2 \quad \text{dla} \quad a = \infty \quad (\text{praktycznie dla } a \geq 3b)$$

O prawdziwości powyższych wyników łatwo się przekonać na podstawie wyrażenia dla μ_{111} (rów. 214. II). To wyrażenie jest proporcjonalne względem ilorazu różniczkowego $\frac{\partial^2 \zeta}{\partial x^2}$, a jego znak rozstrzyga o tem, czy krzywizna $\frac{\partial^2 \zeta}{\partial x^2}$ (a zarazem M_1') rośnie, czy też maleje. Dla $y = \frac{b}{2}$, t. zn. na podłużnej osi płyty przybiera to wyrażenie przy całkowitem obciążeniu i dla bardzo małych wartości x postać:

$$\mu_{111} = -\frac{2}{\pi^2} \frac{\pi \varepsilon x}{a} \sum_{n=1,3,5,\dots}^{n-1} \frac{(-1)^{\frac{n-1}{2}}}{n} \cdot \frac{2 - \frac{n\pi\varepsilon}{2} Tgh \frac{n\pi\varepsilon}{2}}{Ch \frac{n\pi\varepsilon}{2}}$$

i staje się widocznie zerem dla $x=0$. Dla $x > 0$ wypadają też ujemne wartości μ_{111} , dopóki ε jest mniejsze od $\varepsilon_k \approx 1,3$. Wtedy odpowiada wartości $x=0$ maximum $\frac{\partial^2 \zeta}{\partial x^2}$, a zarazem osiąga M_1' największość w środku płyty. Dla $\varepsilon > \varepsilon_k$ staje się μ_{111} dodatniem, krzywizna $\frac{\partial^2 \zeta}{\partial x^2}$ rośnie przeto z początku z odległością od środka płyty, aby z boku osiągnąć maximum.

§ 24. Przypadek ciężaru skupionego w dowolnym punkcie płyty.¹

Ciężar skupiony P w punkcie (x_1, y_1) płyty będziemy pojmować jako granicę liniowego poprzecznego obciążenia $q'b_1$ (rys. 24), gdy b_1 maleje a jednocześnie q' rośnie nieskończenie tak, że

$$\lim_{b_1 \rightarrow 0, q' \rightarrow \infty} q'b_1 = P$$

¹ W przytoczonych we wstępie licznych pracach poświęconych teorii płyt prostokątnych z materiału równokierunkowego zajmowano się tylko szczególnym przypadkiem obciążenia skupionego w środku płyty, a mimo to otrzymywano wzory bez porównania zawilsze od tych, jakie wynikają z ogólnych rozwiązań niniejszego paragrafu, po podstawieniu

$$\bar{B}_1 = \bar{B}_2 = \bar{B}, \quad m_1 = m_2 = m \text{ itd.}$$

pozostaje skończonem. Przy użyciu rozwiązania (84.I) w (§ 13, ust. a) dla płyty nieskończenie długiej znajdujemy za pomocą metody podanej w § 17 następujące równania powierzchni ugięcia,



Rys. 24.

jeżeli brzegi płyty, schodzące się w jednym rogu obierzemy za osie współrzędnych i oznaczymy $a - x_1 = x_2$:

$$(218.I)^1 \left\{ \begin{aligned} \zeta_I &= \frac{4q'b^4}{\pi^5 \bar{B}_2 (\beta^2 - \alpha^2)} \sum_{n=1,2,3,\dots} \frac{(nb_1 y_1)}{n^4} \left(\beta \frac{Sh \frac{nx_2}{\beta}}{Sh \frac{na}{\beta}} Sh \frac{nx}{\beta} - \right. \\ &\quad \left. - \alpha \frac{Sh \frac{nx_2}{\alpha}}{Sh \frac{na}{\alpha}} Sh \frac{nx}{\alpha} \right) \sin \frac{n\pi y}{b}, \\ \zeta_{II} &= \frac{4q'b^4}{\pi^5 \bar{B}_2 (\beta^2 - \alpha^2)} \sum_{n=1,2,3,\dots} \frac{(nb_1 y_1)}{n^4} \left(\beta \frac{Sh \frac{nx_1}{\beta}}{Sh \frac{na}{\beta}} Sh \frac{n(a-x)}{\beta} - \right. \\ &\quad \left. - \alpha \frac{Sh \frac{nx_1}{\alpha}}{Sh \frac{na}{\alpha}} Sh \frac{n(a-x)}{\alpha} \right) \sin \frac{n\pi y}{b}. \end{aligned} \right.$$

Czytelnik zechce także porównać pierwszą moją próbę przybliżonego rozwiązania dla przypadku obciążenia mimośrodowego płyty równokierunkowej, ogłoszoną w pracy: „O wytrzymałości płyty prostokątnej“, Przegląd techniczny 1914.

¹ Wynik przedstawiony na posiedzeniu paryskiej Akademii 1 marca 1920 w nocie p. t. Théorie rationelle des hourdis en béton armé...

Wszystkie wielkości odnoszące się do obszaru I-go, t. j. dla $x \leq x_1$ i do obszaru II, t. j. dla $x \geq x_1$, oznaczać będziemy w dalszym ciągu wskaźnikami I i II.

Ze znalezionych równań powierzchni ugięcia wypływają następujące wyrażenia dla momentów zginających i t. d.:

$$(219. I) \left\{ \begin{aligned} M_1' &= \frac{4q'b^2}{\pi^3(\beta^2 - \alpha^2)} \cdot \frac{\bar{B}_1}{\bar{B}_2} \sum_{n=1,2,3,\dots} \frac{(nb_1y_1)}{n^2} \left\{ \alpha \left(\frac{b^2}{\pi^2 \alpha^2} - \frac{1}{m_2} \right) \frac{Sh \frac{nx_2}{\alpha}}{Sh \frac{na}{\alpha}} Sh \frac{nx}{\alpha} \right. \\ &\quad \left. - \beta \left(\frac{b^2}{\pi^2 \beta^2} - \frac{1}{m_2} \right) \frac{Sh \frac{nx_2}{\beta}}{Sh \frac{na}{\beta}} Sh \frac{nx}{\beta} \right\} \sin \frac{n\pi y}{b}, \end{aligned} \right.$$

$$(219. I) \left\{ \begin{aligned} M_1'' &= \frac{4q'b^2}{\pi^3(\beta^2 - \alpha^2)} \cdot \frac{\bar{B}_1}{\bar{B}_2} \sum_{n=1,2,3,\dots} \frac{(nb_1y_1)}{n^2} \left\{ \alpha \left(\frac{b^2}{\pi^2 \alpha^2} - \frac{1}{m_2} \right) \frac{Sh \frac{nx_1}{\alpha}}{Sh \frac{na}{\alpha}} Sh \frac{n(a-x)}{\alpha} \right. \\ &\quad \left. - \beta \left(\frac{b^2}{\pi^2 \beta^2} - \frac{1}{m_2} \right) \frac{Sh \frac{nx_2}{\beta}}{Sh \frac{na}{\beta}} Sh \frac{n(a-x)}{\beta} \right\} \sin \frac{n\pi y}{b} \end{aligned} \right.$$

$$(220. I) \left\{ \begin{aligned} M_2' &= \frac{4q'b^2}{\pi^3(\beta^2 - \alpha^2)} \sum_{n=1,2,3,\dots} \frac{(nb_1y_1)}{n^2} \left\{ \alpha \left(\frac{1}{\pi^2 m_1} \cdot \frac{b^2}{\alpha^2} - 1 \right) \frac{Sh \frac{nx_2}{\alpha}}{Sh \frac{na}{\alpha}} Sh \frac{nx}{\alpha} \right. \\ &\quad \left. - \beta \left(\frac{1}{\pi^2 m_1} \cdot \frac{b^2}{\beta^2} - 1 \right) \frac{Sh \frac{nx_2}{\beta}}{Sh \frac{na}{\beta}} Sh \frac{nx}{\beta} \right\} \sin \frac{n\pi y}{b}, \end{aligned} \right.$$

$$(220. I) \left\{ \begin{aligned} M_2'' &= \frac{4q'b^2}{\pi^3(\beta^2 - \alpha^2)} \sum_{n=1,2,3,\dots} \frac{(nb_1y_1)}{n^2} \left\{ \alpha \left(\frac{1}{\pi^2 m_1} \cdot \frac{b^2}{\alpha^2} - 1 \right) \frac{Sh \frac{nx_1}{\alpha}}{Sh \frac{na}{\alpha}} Sh \frac{n(a-x)}{\alpha} \right. \\ &\quad \left. - \beta \left(\frac{1}{\pi^2 m_1} \cdot \frac{b^2}{\beta^2} - 1 \right) \frac{Sh \frac{nx_1}{\beta}}{Sh \frac{na}{\beta}} Sh \frac{n(a-x)}{\beta} \right\} \sin \frac{n\pi y}{b} \end{aligned} \right.$$

$$\begin{aligned}
 D^I &= \frac{4q'b^3}{\pi^4(\beta^2 - \alpha^2)} \cdot \frac{2C}{\bar{B}_2} \sum \frac{(nb_1 y_1)}{n^2} \left\{ \frac{Sh \frac{nx_2}{\alpha}}{Sh \frac{na}{\alpha}} Ch \frac{nx}{\alpha} - \right. \\
 &\quad \left. - \frac{Sh \frac{nx_2}{\beta}}{Sh \frac{na}{\beta}} Ch \frac{nx}{\beta} \right\} \cos \frac{n\pi y}{b}, \\
 D^{II} &= - \frac{4q'b^3}{\pi^4(\beta^2 - \alpha^2)} \cdot \frac{2C}{\bar{B}_2} \sum \frac{(nb_1 y_1)}{n^2} \left\{ \frac{Sh \frac{nx_1}{\alpha}}{Sh \frac{na}{\alpha}} Ch \frac{n(a-x)}{\alpha} - \right. \\
 &\quad \left. - \frac{Sh \frac{nx_1}{\beta}}{Sh \frac{na}{\beta}} Ch \frac{n(a-x)}{\beta} \right\} \cos \frac{n\pi y}{b}
 \end{aligned}
 \tag{221. I}$$

$$\begin{aligned}
 V_1^I &= \frac{4q'b^2}{\pi^3(\beta^2 - \alpha^2)} \cdot \frac{\bar{B}_1}{\bar{B}_2} \sum \frac{(nb_1 y_1)}{n} \left\{ \left(\frac{b^2}{\pi^2 \alpha^2} - \frac{1}{m_2} - \right. \right. \\
 &\quad \left. \left. - \frac{2C}{\bar{B}_1} \right) \frac{Sh \frac{nx_2}{\alpha}}{Sh \frac{na}{\alpha}} Ch \frac{nx}{\alpha} - \left(\frac{b^2}{\pi^2 \beta^2} - \frac{1}{m_2} - \frac{2C}{\bar{B}_1} \right) \frac{Sh \frac{nx_2}{\beta}}{Sh \frac{na}{\beta}} Ch \frac{nx}{\beta} \right\} \sin \frac{n\pi y}{b} \\
 V_1^{II} &= - \frac{4q'b^2}{\pi^3(\beta^2 - \alpha^2)} \cdot \frac{\bar{B}_1}{\bar{B}_2} \sum \frac{(nb_1 y_1)}{n} \left\{ \left(\frac{b^2}{\pi^2 \alpha^2} - \frac{1}{m_2} - \right. \right. \\
 &\quad \left. \left. - \frac{2C}{\bar{B}_1} \right) \frac{Sh \frac{nx_1}{\alpha}}{Sh \frac{na}{\alpha}} Ch \frac{n(a-x)}{\alpha} - \left(\frac{b^2}{\pi^2 \beta^2} - \frac{1}{m_2} - \frac{2C}{\bar{B}_1} \right) \frac{Sh \frac{nx_1}{\beta}}{Sh \frac{na}{\beta}} Ch \frac{n(a-x)}{\beta} \right\} \sin \frac{n\pi y}{b}
 \end{aligned}
 \tag{222. I}$$

(223. I)

$$\begin{aligned}
 V_2^I &= \frac{4q'b^3}{\pi^4(\beta^2 - \alpha^2)} \sum \frac{(nb_1y_1)}{n} \left| \frac{1}{\alpha} \left(\frac{2C}{\bar{B}_2} + \frac{1}{m_1} - \frac{\pi^2\alpha^2}{b^2} \right) \frac{Sh \frac{nx_2}{\alpha}}{Sh \frac{na}{\alpha}} \frac{Sh nx}{\alpha} \right. \\
 &\quad \left. - \frac{1}{\beta} \left(\frac{2C}{\bar{B}_2} + \frac{1}{m_1} - \frac{\pi^2\beta^2}{b^2} \right) \frac{Sh \frac{nx_2}{\beta}}{Sh \frac{na}{\beta}} \frac{Sh nx}{\beta} \right| \cos \frac{n\pi y}{b}, \\
 V_2^{II} &= \frac{4q'b^3}{\pi^4(\beta^2 - \alpha^2)} \sum \frac{(nb_1y_1)}{n} \left| \frac{1}{\alpha} \left(\frac{2C}{\bar{B}_2} + \frac{1}{m_1} - \frac{\pi^2\alpha^2}{b^2} \right) \frac{Sh \frac{nx_2}{\alpha}}{Sh \frac{na}{\alpha}} \frac{Sh^{n(a-x)}}{\alpha} \right. \\
 &\quad \left. - \frac{1}{\beta} \left(\frac{2C}{\bar{B}_2} + \frac{1}{m_1} - \frac{\pi^2\beta^2}{b^2} \right) \frac{Sh \frac{nx_2}{\beta}}{Sh \frac{na}{\beta}} \frac{Sh^{n(a-x)}}{\beta} \right| \cos \frac{n\pi y}{b}.
 \end{aligned}$$

(224. I)

$$\begin{aligned}
 R_1^I &= \frac{4q'b^2}{\pi^3(\beta^2 - \alpha^2)} \frac{\bar{B}_1}{\bar{B}_2} \sum \frac{(nb_1y_1)}{n} \left| \left(\frac{b^2}{\pi^2\alpha^2} - \frac{1}{m_2} - \frac{4C}{\bar{B}_1} \right) \frac{Sh \frac{nx_2}{\alpha}}{Sh \frac{na}{\alpha}} \right. \\
 &\quad \left. - \left(\frac{b^2}{\pi^2\beta^2} - \frac{1}{m_2} - \frac{4C}{\bar{B}_1} \right) \frac{Sh \frac{nx_2}{\beta}}{Sh \frac{na}{\beta}} \right| \sin \frac{n\pi y}{b}, \\
 R_1^{II} &= \frac{4q'b^2}{\pi^3(\beta^2 - \alpha^2)} \frac{\bar{B}_1}{\bar{B}_2} \sum \frac{(nb_1y_1)}{n} \left| \left(\frac{b^2}{\pi^2\alpha^2} - \frac{1}{m_2} - \frac{4C}{\bar{B}_1} \right) \frac{Sh \frac{nx_1}{\alpha}}{Sh \frac{na}{\alpha}} \right. \\
 &\quad \left. - \left(\frac{b^2}{\pi^2\beta^2} - \frac{1}{m_2} - \frac{4C}{\bar{B}_1} \right) \frac{Sh \frac{nx_1}{\beta}}{Sh \frac{na}{\beta}} \right| \sin \frac{n\pi y}{b}
 \end{aligned}$$

(225 . I)

$$\begin{aligned}
 (R_2^I)_{y=0} &= -\frac{4q'b^3}{\pi^4(\beta^2-\alpha^2)} \sum_n \frac{(nb_1y_1)}{n} \left| \frac{1}{\alpha} \left(\frac{4C}{\bar{B}_2} + \frac{1}{m_1} - \frac{\pi^2\alpha^2}{b^2} \right) \frac{Sh \frac{nx_2}{\alpha}}{Sh \frac{na}{\alpha}} Sh \frac{nx}{\alpha} - \right. \\
 &\quad \left. - \frac{1}{\beta} \left(\frac{4C}{\bar{B}_2} + \frac{1}{m_1} - \frac{\pi^2\beta^2}{b^2} \right) \frac{Sh \frac{nx_2}{\beta}}{Sh \frac{na}{\beta}} Sh \frac{nx}{\beta} \right| \\
 (R_2^I)_{y=b} &= -\frac{4q'b^3}{\pi^4(\beta^2-\alpha^2)} \sum_n \frac{(nb_1y_1)}{n} (-1)^{n-1} \left| \frac{1}{\alpha} \left(\frac{4C}{\bar{B}_2} + \frac{1}{m_1} - \frac{\pi^2\alpha^2}{b^2} \right) \frac{Sh \frac{nx_2}{\alpha}}{Sh \frac{na}{\alpha}} Sh \frac{nx}{\alpha} - \right. \\
 &\quad \left. - \frac{1}{\beta} \left(\frac{4C}{\bar{B}_2} + \frac{1}{m_1} - \frac{\pi^2\beta^2}{b^2} \right) \frac{Sh \frac{nx_2}{\beta}}{Sh \frac{na}{\beta}} Sh \frac{nx}{\beta} \right| \\
 (R_2^{II})_{y=0} &= -\frac{4q'b^3}{\pi^4(\beta^2-\alpha^2)} \sum_n \frac{(nb_1y_1)}{n} \left| \frac{1}{\alpha} \left(\frac{4C}{\bar{B}_2} + \frac{1}{m_1} - \frac{\pi^2\alpha^2}{b^2} \right) \frac{Sh \frac{nx_2}{\alpha}}{Sh \frac{na}{\alpha}} Sh \frac{n(a-x)}{\alpha} - \right. \\
 &\quad \left. - \frac{1}{\beta} \left(\frac{4C}{\bar{B}_2} + \frac{1}{m_1} - \frac{\pi^2\beta^2}{b^2} \right) \frac{Sh \frac{nx_2}{\beta}}{Sh \frac{na}{\beta}} Sh \frac{n(a-x)}{\beta} \right| \\
 (R_2^{II})_{y=b} &= -\frac{4q'b^3}{\pi^4(\beta^2-\alpha^2)} \sum_n \frac{(nb_1y_1)(-1)^{n-1}}{n} \left| \frac{1}{\alpha} \left(\frac{4C}{\bar{B}_2} + \frac{1}{m_1} - \frac{\pi^2\alpha^2}{b^2} \right) \frac{Sh \frac{nx_2}{\alpha}}{Sh \frac{na}{\alpha}} Sh \frac{n(a-x)}{\alpha} - \right. \\
 &\quad \left. - \frac{1}{\beta} \left(\frac{4C}{\bar{B}_2} + \frac{1}{m_1} - \frac{\pi^2\beta^2}{b^2} \right) \frac{Sh \frac{nx_2}{\beta}}{Sh \frac{na}{\beta}} Sh \frac{n(a-x)}{\beta} \right|
 \end{aligned}$$

(226. I)

$$\begin{aligned}
 \bar{R}_1' &= \frac{4q'b^3}{\pi^4(\beta^2 - \alpha^2)} \cdot \frac{\bar{B}_1}{\bar{B}_2} \sum \frac{(nb_1y_1)[1 + (-1)^{n-1}]}{n^2} \left\{ \frac{b^2}{\pi^2\alpha^2} - \frac{1}{m_2} \right. \\
 &\quad \left. - \frac{4C}{\bar{B}_1} \frac{Sh \frac{nx_2}{\alpha}}{Sh \frac{na}{\alpha}} - \left(\frac{b^2}{\pi^2\beta^2} - \frac{1}{m_2} - \frac{4C}{\bar{B}_1} \right) \frac{Sh \frac{nx_2}{\beta}}{Sh \frac{na}{\beta}} \right\} \\
 \bar{R}_1'' &= \frac{4q'b^3}{\pi^4(\beta^2 - \alpha^2)} \cdot \frac{\bar{B}_1}{\bar{B}_2} \sum \frac{(nb_1y_1)[1 + (-1)^{n-1}]}{n^2} \left\{ \frac{b^2}{\pi^2\alpha^2} - \frac{1}{m_2} \right. \\
 &\quad \left. - \frac{4C}{\bar{B}_1} \frac{Sh \frac{nx_1}{\alpha}}{Sh \frac{na}{\alpha}} - \left(\frac{b^2}{\pi^2\beta^2} - \frac{1}{m_2} - \frac{4C}{\bar{B}_1} \right) \frac{Sh \frac{nx_1}{\beta}}{Sh \frac{na}{\beta}} \right\} \\
 (\bar{R}_2)_{y=0} &= \frac{4q'b^3}{\pi^4(\beta^2 - \alpha^2)} \sum \frac{(nb_1y_1)}{n^2} \left\{ \pi^2 \frac{\beta^2 - \alpha^2}{b^2} - \left(\frac{1}{m_1} - \frac{\pi^2\alpha^2}{b^2} + \right. \right. \\
 &\quad \left. \left. + \frac{4C}{\bar{B}_2} \right) \frac{Sh \frac{nx_1}{\alpha} + Sh \frac{nx_2}{\alpha}}{Sh \frac{na}{\alpha}} + \left(\frac{1}{m_1} - \frac{\pi^2\beta^2}{b^2} + \frac{4C}{\bar{B}_2} \right) \frac{Sh \frac{nx_1}{\beta} + Sh \frac{nx_2}{\beta}}{Sh \frac{na}{\beta}} \right\} \\
 (\bar{R}_2)_{y=b} &= \frac{4q'b^3}{\pi^4(\beta^2 - \alpha^2)} \sum \frac{(nb_1y_1)(-1)^{n-1}}{n^2} \left\{ \pi^2 \frac{\beta^2 - \alpha^2}{b^2} - \left(\frac{1}{m_1} - \frac{\pi^2\alpha^2}{b^2} + \right. \right. \\
 &\quad \left. \left. + \frac{4C}{\bar{B}_2} \right) \frac{Sh \frac{nx_1}{\alpha} + Sh \frac{nx_2}{\alpha}}{Sh \frac{na}{\alpha}} + \left(\frac{1}{m_1} - \frac{\pi^2\beta^2}{b^2} + \frac{4C}{\bar{B}_2} \right) \frac{Sh \frac{nx_1}{\beta} + Sh \frac{nx_2}{\beta}}{Sh \frac{na}{\beta}} \right\};
 \end{aligned}$$

$$\begin{aligned}
 \hat{R}_{0,0} &= \frac{4q'b^3}{\pi^4(\beta^2 - \alpha^2)} \cdot \frac{4C}{\bar{B}_2} \sum \frac{(nb_1y_1)}{n^2} \left| \frac{Sh \frac{nx_2}{\beta}}{Sh \frac{na}{\beta}} - \frac{Sh \frac{nx_2}{\alpha}}{Sh \frac{na}{\alpha}} \right|, \\
 \hat{R}_{a,0} &= \frac{4q'b^3}{\pi^4(\beta^2 - \alpha^2)} \cdot \frac{4C}{\bar{B}_2} \sum \frac{(nb_1y_1)}{n^2} \left| \frac{Sh \frac{nx_1}{\beta}}{Sh \frac{na}{\beta}} - \frac{Sh \frac{nx_1}{\alpha}}{Sh \frac{na}{\alpha}} \right|, \\
 \hat{R}_{a,b} &= \frac{4q'b^3}{\pi^4(\beta^2 - \alpha^2)} \cdot \frac{4C}{\bar{B}_2} \sum \frac{(nb_1y_1)(-1)^{n-1}}{n^2} \left| \frac{Sh \frac{nx_1}{\beta}}{Sh \frac{na}{\beta}} - \frac{Sh \frac{nx_1}{\alpha}}{Sh \frac{na}{\alpha}} \right|, \\
 \hat{R}_{0,b} &= \frac{4q'b^3}{\pi^4(\beta^2 - \alpha^2)} \cdot \frac{4C}{\bar{B}_2} \sum \frac{(nb_1y_1)(-1)^{n-1}}{n^2} \left| \frac{Sh \frac{nx_2}{\beta}}{Sh \frac{na}{\beta}} - \frac{Sh \frac{nx_2}{\alpha}}{Sh \frac{na}{\alpha}} \right|.
 \end{aligned}
 \tag{227. I}$$

Ostatnie dwie grupy wzorów sprawdzono jeszcze za pomocą warunku równowagi sił zewnętrznych. Wszystkie są oczywiście ważne dla przypadku I-go ($H^2 > \bar{B}_1 \bar{B}_2$). W II-gim przypadku wybierają równania powierzchni ugięcia następującą postać:

$$\begin{aligned}
 \zeta_r &= \frac{2q'b^4}{\pi^5 \bar{B}_2 \gamma} \sum_{n=1,2,3,\dots} \frac{(nb_1y_1)}{n^4} \left[1 + \frac{na}{\gamma} Cth \frac{na}{\gamma} - \frac{nx_2}{\gamma} Cth \frac{nx_2}{\gamma} - \right. \\
 &\quad \left. - \frac{nx}{\gamma} Cth \frac{nx}{\gamma} \right] \frac{Sh \frac{nx_2}{\gamma}}{Sh \frac{na}{\gamma}} \frac{Sh \frac{nx}{\gamma}}{\gamma} \sin \frac{n\pi y}{b}, \\
 \zeta_{II} &= \frac{2q'b^4}{\pi^5 \bar{B}_2 \gamma} \sum_{n=1,2,3,\dots} \frac{(nb_1y_1)}{n^4} \left[1 + \frac{na}{\gamma} Cth \frac{na}{\gamma} - \frac{nx_1}{\gamma} Cth \frac{nx_1}{\gamma} - \right. \\
 &\quad \left. - \frac{n(a-x)}{\gamma} Cth \frac{n(a-x)}{\gamma} \right] \frac{Sh \frac{nx_1}{\gamma}}{Sh \frac{na}{\gamma}} \frac{Sh \frac{n(a-x)}{\gamma}}{\gamma} \sin \frac{n\pi y}{b}.
 \end{aligned}
 \tag{218. II}$$

Skoro w szczególnym przypadku $x_1 = x_2 = \frac{a}{2}$, $y_1 = \frac{b}{2}$, t. z. n.

obciążenie działa w środku płyty, to w tem miejscu należy się spodziewać największego ugięcia f . Wtedy daje każde z obu równań (218. II):

$$(228) \quad f = \frac{2q'b^4}{\pi^5 \bar{B}_2 \gamma} \sum_{n=1,2,3,\dots} \frac{\sin \frac{n\pi b_1}{2b} \left(\sin \frac{n\pi}{2} \right)^2}{n^4} \cdot \frac{1}{2} \frac{Sh \frac{na}{\gamma} - \frac{na}{\gamma}}{Ch \frac{na}{\gamma} + 1} =$$

$$= \frac{q'b^4}{\pi^5 \bar{B}_2 \gamma} \sum_{n=1,3,5,\dots} \frac{\sin \frac{n\pi b_1}{2b}}{n^4} \frac{Sh \frac{na}{\gamma} - \frac{na}{\gamma}}{Ch \frac{na}{\gamma} + 1},$$

• względnie w przypadku siły skupionej P :

$$(229) \quad f = \frac{Pb^3}{2\pi^4 \bar{B}_2 \gamma} \sum_{n=1,3,5,\dots} \frac{1}{n^5} \frac{Sh \frac{na}{\gamma} - \frac{na}{\gamma}}{Ch \frac{na}{\gamma} + 1}$$

W szczególności otrzymujemy dla płyty kwadratowej i równokierunkowej:

$$\left(a = b, B_1 = \bar{B}_2 = \bar{B}, \gamma = \frac{b}{\pi} \right):$$

$$(230) \quad f = \frac{Pb^2}{2\pi^3 \bar{B}} \left[\frac{Sh \pi - \pi}{Ch \pi + 1} + \frac{1}{3^3} \frac{Sh 3\pi - 3\pi}{Ch 3\pi + 1} + \frac{1}{5^3} \frac{Sh 5\pi - 5\pi}{Ch 5\pi + 1} + \dots \right]$$

Z tego szeregu wystarczają cztery wyrazy, aby obliczyć strzałkę ugięcia z dokładnością 0,1%. Z obliczenia wypada:

$$f \approx \frac{1}{86,5} \frac{Pa^2}{\bar{B}},$$

czyli dokładnie to samo, co znaleźliśmy poprzednio z rozwiązania w postaci szeregu podwójnie nieskończonego (§ 11, rów. 50a).

Gdy obciążenie kwadratowej płyty składa się z ciężarów skupionych w środkach szesnastu pól kwadratowych, na jakie podzielono płytę w doświadczeniach „Niemieckiego Wydziału żel.-betonowego“, to strzałka ugięcia w środku płyty oblicza się podług schematu:

$$f = 4f' + 8f'' + 4f'''$$

Tutaj oznaczają f' , f'' i f''' te części ugięcia, które odpowiadają ciężarowi skupionemu $P_1 = \frac{1}{16} P$ w punkcie płyty $x_1 = y_1 = \frac{5}{8} a$, względnie $x_1 = \frac{5}{8} a$, $y_1 = \frac{7}{8} a$ i $x_1 = y_1 = \frac{7}{8} a$. Przy założeniu $a = b$, $\bar{B}_1 = \bar{B}_2 = \bar{B}$, tudzież $\lim_{(b_1=0)} q'b_1 = P_1$, znajdujemy z wzoru (218. II):

$$f' = \frac{P_1 a^2}{2\pi^3 \bar{B}} \sum_{n=1, 3, 5, \dots}^{n-1} \frac{(-1)^2 \sin \frac{5}{8} n\pi}{n^3} \left(1 + n\pi \operatorname{Cth} n\pi - \frac{3}{8} n\pi \operatorname{Cth} \frac{3}{8} n\pi - \right. \\ \left. - \frac{n\pi}{2} \operatorname{Cth} \frac{n\pi}{2} \right) \frac{\operatorname{Sh} \frac{3}{8} n\pi}{\operatorname{Ch} \frac{n\pi}{2}},$$

$$f'' = \frac{P_1 a^2}{2\pi^3 \bar{B}} \sum_{n=1, 3, 5, \dots}^{n-1} \frac{(-1)^2 \sin \frac{7}{8} n\pi}{n^3} \left(1 + n\pi \operatorname{Cth} n\pi - \frac{3}{8} n\pi \operatorname{Cth} \frac{3}{8} n\pi - \right. \\ \left. - \frac{n\pi}{2} \operatorname{Cth} \frac{n\pi}{2} \right) \frac{\operatorname{Sh} \frac{3}{8} n\pi}{\operatorname{Ch} \frac{n\pi}{2}},$$

$$f''' = \frac{P_1 a^2}{2\pi^3 \bar{B}} \sum_{n=1, 3, 5, \dots}^{n-1} \frac{(-1)^2 \sin \frac{7}{8} n\pi}{n^3} \left(1 + n\pi \operatorname{Cth} n\pi - \frac{n\pi}{8} \operatorname{Cth} \frac{n\pi}{8} - \right. \\ \left. - \frac{n\pi}{2} \operatorname{Cth} \frac{n\pi}{2} \right) \frac{\operatorname{Sh} \frac{n\pi}{8}}{\operatorname{Ch} \frac{n\pi}{2}}.$$

Najwyżej 5 wyrazów z powyższych szeregów wystarcza, aby obliczyć strzałkę ugięcia z dokładnością około 0,1%. Takie obliczenie dało

$$f = 0,00465 \frac{Pa^3}{\bar{B}} = \frac{1}{215} \frac{Pa^3}{\bar{B}},$$

jeżeli $P = 16 P_1$, oznacza całkowite obciążenie.

W trzecim przypadku ($H^2 < \bar{B}_1 \bar{B}_2$) otrzymamy na koniec po wprowadzeniu znanych już wielkości α' , β' i nowych L_n i M_n , określonych równaniami:

$$(218a) \left\{ \begin{aligned} L_n &= Ch \frac{na}{\alpha'} \sin \frac{na}{\beta'} \left(\frac{1}{\alpha'} Sh \frac{nx_2}{\alpha'} \cos \frac{nx_2}{\beta'} + \frac{1}{\beta'} Ch \frac{nx_2}{\alpha'} \sin \frac{nx_2}{\beta'} \right) - \\ &- Sh \frac{na}{\alpha'} \cos \frac{na}{\beta'} \left(\frac{1}{\alpha'} Ch \frac{nx_2}{\alpha'} \sin \frac{nx_2}{\beta'} - \frac{1}{\beta'} Sh \frac{nx_2}{\alpha'} \cos \frac{nx_2}{\beta'} \right), \\ M_n &= Sh \frac{na}{\alpha'} \cos \frac{na}{\beta'} \left(\frac{1}{\alpha'} Sh \frac{nx_2}{\alpha'} \cos \frac{nx_2}{\beta'} - \frac{1}{\beta'} Ch \frac{nx_2}{\alpha'} \sin \frac{nx_2}{\beta'} \right) + \\ &+ Ch \frac{na}{\alpha'} \sin \frac{na}{\beta'} \left(\frac{1}{\alpha'} Ch \frac{nx_2}{\alpha'} \sin \frac{nx_2}{\beta'} + \frac{1}{\beta'} Sh \frac{nx_2}{\alpha'} \cos \frac{nx_2}{\beta'} \right); \end{aligned} \right.$$

następujące równanie dla obszaru I płyty ($x \leq x_1$):

$$(218. III) \quad \zeta_I = \frac{2q'b^4}{\pi^5 B_2} \cdot \frac{\alpha'^2 + \beta'^2}{\alpha'\beta'} \sum_{n=1,2,3,\dots} \frac{(nb_1 y_1)}{n^4}.$$

$$\frac{L_n Sh \frac{nx}{\alpha'} \cos \frac{nx}{\beta'} - M_n Ch \frac{nx}{\alpha'} \sin \frac{nx}{\beta'}}{Sh^2 \frac{na}{\alpha'} + \sin^2 \frac{na}{\beta'}} \sin \frac{n\pi y}{b}$$

Odpowiadające równanie dla $x \geq x_1$ powstaje z powyższego, jeżeli zastąpimy x_2 przez x_1 i x przez $(a-x)$. Dla kontroli uciążliwego rachunku użyto przejścia do przypadku II.

Zaniechawszy na razie rozwinięcia wzorów dla momentów i t. d. na podstawie równań powierzchni ugięcia w II-gim i III-cim przypadku, zaznaczmy tylko, że przejście od odpowiadających formuł I-go przypadku jest jeszcze żmudniejsze, aniżeli wyprowadzenie wprost z równań (218. II) i (218. III).

§ 24a, Porównanie z doświadczeniami „Niemieckiego Wydziału żel.-betonowego“.

Jak już zaznaczono w odsyłaczu na końcu wstępu, trzeba przy porównaniu wzorów teoretycznych z wynikami doświadczeń, uwzględnić dość liczne wpływy, pomijane zwykle, gwoi prostoty, przy wywodzie tychże wzorów, albowiem te wpływy mogą w pewnych warunkach zmienić dość znacznie obliczane wielkości.

Pominięcie tych wpływów może łatwo doprowadzić do lekceważenia teorii przez jednostronnych badaczy doświadczalnych, albo

do błędnej interpretacji doświadczeń przez niektórych teoretyków. Jaskrawego przykładu tego ostatniego przypadku dostarcza artykuł prof. Hagera w „Beton u. Eisen“ z r. 1916, omawiający doświadczenia z płytami „Niemieckiego Wydziału żel.-betonowego“. Znajduje się tam ustęp, który w dosłownym tłumaczeniu brzmi: „Obliczone ugięcia w środku płyty zgadzają się z pomierzonymi przez Bacha, jeżeli obrac stosunek $n = 7,3 (E_s : E_p)$, wyznaczony dla tego betonu przy małych naprężeniach i liczbę zwężenia poprzecznego (Poisson'a) $m = 1,44$ (?) do $2,79$ “. Usiłując w łatwy sposób pogodzić zupełnie rachunek z pomiarem, prześlepił tutaj widocznie autor podstawowy fakt nauki o sprężystości, według którego m nie może być mniejszem od 2, gdyż inaczej byłoby proste rozciąganie (wzgl. ściskanie) połączone z ubytkiem (wzgl. przyrostem) objętości materiału, co, jak wiadomo, z góry należy wykluczyć. Ten „lapsus“ wskazuje jeszcze na to, że przy całej staranności i dokładności, jaka cechuje wymienione doświadczenia, zaniechano niestety wyznaczenia liczby Poisson'a dla materiału płyt, grającej w teorii tak doniosłą rolę i przez to utrudniono dokładne porównanie wielkości obserwowanych z obliczonymi teoretycznie. Drugą trudność, jaką napotykamy przy porównywaniu wyników niniejszej teoretycznej pracy z doświadczeniami „Niem. Wydziału żel.-betonowego“, stanowi prawie równa sztywność zginania w obu głównych kierunkach wszystkich badanych płyt. To ma wprawdzie ten skutek, że do porównania wystarczają tylko uproszczone wzory dla szczególnego przypadku $\bar{B}_1 = \bar{B}_2$, ale za to nie można sprawdzić teoretycznie określonego a praktycznie ważnego i interesującego wpływu różnicy obu uzbrojeń na stan odkształcenia i napięcia płyty.

Mimo to nastroczają dostarczone daty doświadczalne taką obfitość naukowego materiału, iż jego wyczerpujące opracowanie zajmie sporo czasu. Umieszczone tutaj rozważania i porównania ograniczają się do rzeczy najważniejszych i dotyczą zaledwie drobnej części bogatego materiału doświadczalnego.

Jakkolwiek nie ma zasadniczych trudności, aby przeprowadzić porównanie także w przypadku obciążenia, przedstawionym na rys. 2 sprawozdania N. W. Ž. (t. zn. w ośmiu miejscach dookoła środka płyty), to jednak, pozostawiając na razie ten przypadek na boku, zwrócimy się do praktycznie najważniejszego przypadku obciążenia rozłożonego równomiernie, które zastąpiono w przybliżeniu

przez 16 (u płyt kwadratowych), względnie 24 (u płyt prostokątnych o stosunku boków $a:b=3:2$) i 32 (u płyt prostokątnych o stosunku boków 2:1) równych ciężarów skupionych.

Ta okoliczność, że przy analogicznem zastąpieniu równomiernego obciążenia belki przez 4 równe siły, moment zginający w środku nie ulega zmianie, jeszcze oczywiście nie dowodzi, że tak samo ma się rzecz z płytą wszechstronnie podpartą. Już u belki zachodzi przy tem zmiana strzałki ugięcia, a mianowicie zamiast wartości

$$f = \frac{5}{384} \frac{Pl^3}{EI}$$

otrzymujemy przy obciążeniu czterema siłami $\frac{P}{4}$:

$$f = \frac{5,125}{384} \frac{Pl^3}{EI};$$

czyli o 2,5% więcej. Dla płyty kwadratowej znaleziono właśnie powyżej w przypadku 16 równych sił o wielkości $\frac{P}{16}$ (dla $\bar{B}_1 = \bar{B}_2 = \bar{B}$):

$$f = 0,00465 \frac{Pa^2}{\bar{B}},$$

podczas gdy odpowiadający współczynnik liczbowy w przypadku obciążenia rozłożonego w sposób ciągły (ob. tabl. w § 23) równa się

$$0,00406$$

Różnica osiąga teraz już około 14,5%, ulegnie jednak niewątpliwie dość znacznej redukcji, jeżeli uwzględnimy, że siły skupione przenosiły się przez kołowe pola o średnicy 90 mm. Można by to obliczyć, przynajmniej z wielkiem przybliżeniem, na podstawie otrzymanych wzorów, jednakże zaniechamy tego, ponieważ inne wpływy, nie dające się określić tak dokładnie, mogą nawet zaślaniać sobą powyższą różnicę.

Wszystkie wpływy dają się podzielić na dwie grupy, stosownie do tego, czy one, jak powyższy, działają zwiększająco na strzałkę ugięcia, momenty i t. d., czy też zmniejszają te wielkości. Do pierwszej grupy należy oprócz

Ia) skupienia obciążenia na 16-stu polach kołowych, jeszcze

Ib) podatność prostych podporowych,

Ic) podniesienie rogów płyty z powodu braku wymaganego przez teorię podparcia rogów od góry,

Id) zmniejszenie E_b (modułu wydłużenia dla betonu), szczególnie przy małych naprężeniach, wskutek wzmocnienia uzbrojenia przez ciasniej ułożone pręty, co utrudnia należyte zbitcie betonu i

Ie) zmniejszenie E_b ze wzrostem naprężeń.

Do drugiej grupy zaliczymy przedewszystkiem:

IIa) konieczne wystawanie brzegów płyty poza proste podporowe,

IIb) zmniejszanie się liczby Poisson'a m przy wzroście naprężeń, a nadto przy większych ugięciach:

IIc) przeszkody wzajemnego zbliżenia się równoległych brzegów przy uginaniu się płyty,

IId) pewien, co prawda, mały ubytek rozpiętości wskutek zastosowanego podparcia stałymi wałkami i

Ile) zmniejszenie momentów zginających z powodu ciężaru własnego płyty przez ciężar własny jej wystających części.

Wpływ IIb w iloczynie $\frac{m^2}{m^2-1} E_b = E'_b$ jest pokryty przeważającym wpływem Ie. Wpływ IIc byłby dostrzegalnym tylko przy cienkich płytach i wielkich ugięciach. Wpływ IId jest zapewne zawsze nieznaczny. Za to decydujące znaczenie może mieć wpływ IIa, albowiem podług przybliżonego rachunku w § 10, strzałka ugięcia i momenty zmniejszają się wskutek wystawiania płyty w stosunku 1: $\left(1 + \frac{m-1}{m} \cdot \frac{\Delta F}{a^2}\right)$, jeżeli ΔF oznacza wielkość wystającego pola, a a rozpiętość kwadratowej płyty. W omawianych doświadczeniach było $\Delta F = 2,1^2 - 2^2 = 0,41 \text{ m}^2$, a więc przyjąwszy wartość m między 8 a 5 (Kleinlogel), otrzymujemy jako wartość odpowiadających współczynników zmniejszenia:

$$1:1,09 \quad \text{i} \quad 1:1,08.$$

Co się tyczy wpływu Ile, to można go łatwo ocenić wpro-

wadzając do rachunku nie całkowity ciężar własny płyty jako rozłożony równomiernie, lecz tylko ciężar środkowej prostokątnej części płyty o długości $a - 2\Delta a$ i szerokości $b - 2\Delta b$. Przytem oznacza Δa i Δb , jak poprzednio, odpowiadające szerokości wystających skrawków płyty.

Jak się zdaje, wpływ ten wystarcza właśnie do skompensovania w znacznej części wpływów Ia i Ib. Pozostawałoby tedy jeszcze rozpatrzyć bliżej wpływy Ic, d, e i IIb. Co się tyczy wpływu Ic, to należy się spodziewać, że będzie najwybitniejszym u płyt kwadratowych, a musi obniżyć się znacznie u płyt prostokątnych o wielkiej wartości stosunku $a : b$. Dla $a : b = 2$ będzie ten wpływ zapewne już bardzo nieznacznym. W Id widzimy jedyny wpływ, usuwający się z pod teoretycznej oceny, a stwierdzony dopiero doświadczalnie. Wpływy Ic i IIb były wogóle znane z dawniejszych doświadczeń nad rozciąganiem i ściskaniem betonu; ale do naszego porównania z doświadczeniami nad płytami będzie najlepiej użytkować dane znalezione wprost dla materiału płyt. W ten sposób znajdujemy na podstawie wyników na str. 25 sprawozdania, dla modułu wydłużeń sprężystych przy rozciąganiu betonu (w kilogr./cm²):

$$E_{b_n} = 321000 - 3465 \cdot \sigma,$$

jako przybliżoną formułę interpolacyjną. Stąd wypada stosunek modułu wydłużenia betonu do takiegoż modułu żelaza (2 100 000):

$$1 : n_n = 0,1529 - 0,00165 \sigma$$

Podobnie otrzymujemy z wyników doświadczeń nad ściskaniem (str. 28 sprawozdania) dla średniego modułu sprężystego skrócenia:

$$E_{b_s} = 297300 - 608,1 \sigma$$

$$1 : n_s = 0,1416 - 0,00029 \sigma$$

Obadwa wzory dla E_b przedstawiają średnią wartość modułu wydłużenia w przedziale naprężeń 0 do σ .

Ubytek liczby Poisson'a m (dla betonu) można, na podstawie doświadczeń Kleinlogel'a przedstawić w przybliżeniu wzorem:

$$m = 2 + \frac{480}{\sigma + 60}$$

Przy pomocy powyższych wzorów interpolacyjnych obliczono następującą tablicę pomocniczą:

| | | | | | | | | |
|---|---|-------|-------|-------|-------|-------|-------|----------------------|
| σ | = | 0 | 5 | 10 | 15 | 20 | 25 | kg/cm ² . |
| $\frac{E'_{bs}}{1000}$ | = | 321,0 | 303,7 | 286,4 | 269,0 | 251,7 | 234,4 | " |
| $\frac{E'_{bd}}{1000}$ | = | 297,3 | 294,3 | 291,2 | 288,2 | 285,1 | 282,1 | " |
| m | = | 10 | 9,38 | 8,86 | 8,40 | 8,00 | 7,65 | |
| $\frac{E'_{bs}}{1000} = \frac{m^2}{m^2-1} \cdot \frac{E'_{bs}}{1000}$ | = | 324,2 | 307,2 | 290,1 | 272,9 | 255,7 | 238,4 | kg/cm ² |
| $\frac{E'_{bd}}{1000} = \frac{m^2}{m^2-1} \cdot \frac{E'_{bd}}{1000}$ | = | 300,3 | 297,7 | 295,0 | 292,4 | 289,7 | 287,0 | " |
| $\frac{1}{2} \frac{E'_{bs} + E'_{bd}}{1000} = \frac{E'_s}{1000}$ | = | 312,2 | 302,4 | 292,5 | 282,6 | 272,7 | 262,7 | " |
| n_s | = | 6,54 | 6,92 | 7,33 | 7,80 | 8,34 | 8,96 | |
| n_a | = | 7,06 | 7,13 | 7,21 | 7,28 | 7,36 | 7,44 | |

Po tem przygotowaniu weźmiemy pod uwagę zestawienie 19 dla seryi doświadczeń z płytami kwadratowymi według rys. 5 sprawozdania, obciążonemi według rys. 3. Dla trzech płyt tej seryi znajdujemy następujące średnie wartości:

| | |
|---|----------------------------|
| Grubość płyty | $h = 12,13$ cm, |
| Podwójna szerokość wystających skrawków | $2\Delta a = 10,12$ " |
| Całkowite pole płyty | $F = 4,414$ m ² |
| Pole wystającej części | $\Delta F = 0,414$ " |
| Ciężar własny | $G = 1271$ kg. |

Ciężar własny skutecznej środkowej części o polu

| | |
|---|--------------------------------|
| $(2,0 - 0,1012)^2 = 3,605$ m ² | $G_1 = 1038$ kg |
| Średnica | $d = 0,717$ cm |
| i pole przekroju prętów uzbrojenia | $f_j = 0,4038$ cm ² |
| Grubość betonu pod prętami | $e = 1,7$, wzgl. 1,0 cm |
| Odstęp prętów | $t = 9,3$ " 10,0 cm |

Stosownie do tego wypadają dla sprowadzonych momentów

bezwładności w I fazie, odniesionych do 1 cm. szerokości przekroju (według wzoru 16) następujące formuły:

$$I_1 = 148,73 + \frac{195,5(n-1)}{279,4+n-1}, \quad I_2 = 148,73 + \frac{269,7(n-1)}{300,4+n-1}$$

Wartości, wynikające z tych wzorów przy odpowiadających wielkościach skrajnego ciągnięcia σ , zawiera tablica umieszczona tuż niżej.

Za n wstawiono przytem w przybliżeniu wartości n , z powyższej tablicy:

| $\sigma = 0$ | 5 | 10 | 15 | 20 | 25 | kg/cm ² |
|-----------------------------------|--------|--------|--------|--------|--------|--------------------|
| $I_1 = 152,53$ | 152,79 | 153,06 | 153,38 | 153,73 | 154,10 | cm ³ |
| $I_2 = 153,61$ | 153,94 | 154,30 | 154,70 | 155,15 | 155,65 | " |
| $\frac{1}{2}(I_1 + I_2) = 153,07$ | 153,36 | 153,68 | 154,04 | 154,44 | 154,87 | " |

Ponieważ odpowiadające wartości I_1 i I_2 różnią się od siebie niewiele, a wskutek tego sprowadzony stosunek boków ε rozpatrywanych płyt kwadratowych zbacza bardzo mało od 1, więc w dalszych rachunkach można tak I_1 , jakoteż I_2 zastąpić w przybliżeniu średnią arytmetyczną

$$I' = \frac{1}{2}(I_1 + I_2).$$

Teraz nasuwa się pytanie, jak obliczyć w przybliżeniu sztywność zginania płyty (w fazie I) B' , ażeby uwzględnić w możliwie prosty sposób zmienność modułu wydłużenia betonu. Z kilku najprostszych przypuszczeń, jakie zrobiono na próbie, nadało się najlepiej przyjęcie

$$B' = E_{\text{w}}' I'$$

Oznaczywszy przez z_0 odległość osi obojętnej od środka wysokości przekroju, przez $W = \frac{I'}{h - z_0}$ moduł przekroju odniesiony do

dolnej warstwy skrajnej, a przez $M = W \cdot \sigma$ odpowiadający moment zgięcia, mamy

| dla $\sigma =$ | 0 | 5 | 10 | 15 | 20 | 25 kg/cm ² |
|--|-------|--------|-------|--------|-------|-----------------------|
| $\frac{B'}{1000} = \frac{E'_b I'}{1000} =$ | 49625 | 47112 | 44583 | 42037 | 39490 | 36922 kg cm |
| $z_0 =$ | 0,09 | 0,10 | 0,11 | 0,12 | 0,13 | 0,15 cm |
| $W =$ | 25,64 | 25,73 | 25,83 | 25,93 | 26,04 | 26,15 cm ² |
| $M = W\sigma =$ | 0 | 128,65 | 258,3 | 388,95 | 520,8 | 653,7 kg. |

Teorya daje dla momentu zgięcia w środku płyty kwadratowej i równokierunkowej, obciążonej równomiernie, wzór:

$$M = 0,0368 \left(1 + \frac{1}{m}\right) qa^2$$

Skoro tutaj wstawimy powyższe wartości M , jakoteż odpowiadające wartości m i rozwiążemy równanie względem $qa^2 = P$, to wypada jako całkowite obciążenie:

$$P = 0, 3158, 6306, 9445, 12580, 15706, \text{ kg.}$$

Zważywszy, że w doświadczeniach nie można było mierzyć działania ciężaru własnego, należy to działanie wyłączyć, odejmując od powyższych wartości 1038 kg. A zatem ciągnięciem skrajnym o rachunkowej wartości

$$\sigma = 5 \quad | \quad 10 \quad | \quad 15 \quad | \quad 20 \quad | \quad 25 \text{ kg/cm}^2$$

odpowiada obciążenie, jakie należy umieścić na płycie, o wielkości:

$$P = 2120 \quad | \quad 5268 \quad | \quad 8407 \quad | \quad 11542 \quad | \quad 14668 \text{ kg.}$$

Naprężenia skrajne i sztywności zginania, odpowiadające obciążeniom $P = 3000, 6000, \dots$ kg., stosowanym rzeczywiście w doświadczeniach, wyznaczymy teraz, przy uwzględnieniu ciężaru własnego płyty, przez prostą interpolację. W ten sposób otrzymamy:

| | | | | | | |
|---------------------|-------|-------|-------|-------|-------|--------------------|
| dla $P =$ | 3000 | 6000 | 9000 | 12000 | 15000 | kg |
| $\sigma =$ | 6,40 | 11,17 | 15,94 | 20,73 | 25,53 | kg/cm ² |
| $\frac{B'}{1000} =$ | 46404 | 43987 | 41558 | 39115 | — | kg cm |

Obliczywszy teraz strzałkę ugięcia według teoretycznego wzoru:

$$f = 0,00406 \frac{Pa^2}{B},$$

znajdziemy

$$\begin{array}{c|c|c|c} \text{dla } P = & 3000 & 6000 & 9000 & 12000 \text{ kg} \\ f = & 0,0105 & 0,0222 & 0,0352 & 0,0498 \text{ cm} \end{array}$$

podczas gdy odpowiadające średnie wartości ugięć, mierzonych w środku płyty, wynoszą, według zestawienia 19:

$$f = 0,0108 \mid 0,0240 \mid 0,0383 \mid 0,0550 \text{ cm.}$$

Stąd

| | | | |
|---|------|------|------|
| $\frac{f \text{ mierz.}}{f \text{ teor.}} = 1,03$ | 1,08 | 1,08 | 1,10 |
|---|------|------|------|

Ze względu na dokładność pojedynczych pomiarów, podaną w sprawozdaniu na 0,001 cm., jakoteż na znaczne zboczenia wartości modułu wydłużenia betonu poszczególnej płyty, względnie seryi płyt, od średniej wartości, wprowadzonej do rachunku, można powyższy wynik uważać za wcale dobre potwierdzenie wzorów teoretycznych, co prawda, dla obciążeń mniejszych od obciążeń rysujących płytę, t. j. takich, przy których się pojawiają pęknięcia w betonie rozciągany. Powyżej obciążenia rysującego nie należy oczywiście spodziewać się takiej zgodności teorii z pomiarami ugięcia, albowiem w tych warunkach sztywność zginania środkowej części płyty, znajdującej się już w fazie II, różni się znacznie od sztywności reszty, pozostającej jeszcze w fazie I. Płyta uzbrojona działa wówczas mniej więcej tak, jak płyta równokierunkowa, której odpowiadająca część środkowa jest znacznie cieńsza od reszty, przyczem granica obu obszarów płyty o wielkiej i małej sztywności zginania zmienia się ze wzrostem obciążenia. Ten fakt, że mierzone sztrzałki ugięcia przewyższają nieco obliczone, możnaby wobec przytoczonych licznych wpływów, tłumaczyć w różny sposób; byłoby jednakże przedwczesnem szukać już teraz objaśnienia dla tych zboczeń, przed rozpatrzeniem i porównaniem jeszcze paru innych seryi doświadczeń. Weźmiemy przeto pod uwagę jeszcze trzy serye, a mianowicie drugą seryę płyt kwadratowych (zestawienie l. 16 omawianego sprawozdania), następnie seryę płyt prostokątnych o stosunku boków 3:2 (zest. l. 29 spraw.) i nakoniec seryę płyt prostokątnych o stosunku boków 2:1 (zest. 30 spraw.).

Serya doświadczeń według zestawienia l. 16 w sprawozdaniu Bacha i Grafa.

Płyty kwadratowe według rys. 1 ($a = b = 2m$), obciążone według rys. 3 sprawozdania. Średnie wartości wymiarów i wielkości z nich obliczonych są następujące:

Grubość płyty $h = 12,2$ cm.
 Podwójna szerokość wystającego skrawka . . . $2\Delta a = 10,05$ cm.
 Całkowite pole płyty $F = 2,1005^2 = 4,412$ m²
 Pole wystającej części $\Delta F = 0,412$ m²
 Ciężar własny płyty $G = 1282$ kg.

Ciężar własny „skutecznej“ środkowej części płyty o polu
 $(2 - 0,1005)^2 = 3,608$ m² $G_1 = 1049$ kg
 Średnica $d = 0,715$ cm.
 i pole przekroju prętów uzbrojenia $f_j = 0,4015$ cm²
 Grubość betonu pod prętami $e = 1,7$, wzgl. 1,0 cm.
 Odstęp prętów $t = 10,0$ cm.

Na podstawie tych danych, oraz wartości stałych sprężystych, określonych powyżej, obliczono, tak samo, jak w poprzednim przypadku następujące wielkości:

$$I_1' = 151,32 + \frac{199,4(n-1)}{303,8+n-1}, \quad I_2' = 151,32 + \frac{274,4(n-1)}{303,8+n-1}$$

| dla $\sigma =$ | 0 | 5 | 10 | 15 | 20 | 25 | kg/cm ² |
|--|--------|--------|--------|--------|--------|--------|--------------------|
| I_1' | 154,89 | 155,14 | 155,40 | 155,71 | 156,05 | 156,41 | cm ³ |
| I_2' | 156,24 | 156,58 | 156,95 | 157,36 | 157,82 | 158,33 | „ |
| $I' = \frac{1}{2}(I_1' + I_2')$ | 155,56 | 155,86 | 156,18 | 156,53 | 156,93 | 157,37 | „ |
| $\frac{E_{bs} I'}{1000} = \frac{B'}{1000}$ | 53233 | 47881 | 45309 | 42717 | 40127 | 37517 | kg cm |
| $z_0 = 0,079$ | 0,085 | 0,092 | 0,099 | 0,105 | 0,112 | | cm |
| $W = 25,84$ | 25,91 | 26,00 | 26,08 | 26,18 | 26,28 | | cm ² |
| $M = W\sigma =$ | 0 | 129,55 | 260,00 | 391,20 | 523,60 | 657,00 | kg |
| $P =$ | 0 | 3181 | 6349 | 9501 | 12650 | 15790 | „ |

Po odjęciu $G_1 = 1049$ kg pozostaje:

| $P =$ | — | 2132 | 5300 | 8452 | 11601 | 14741 | kg |
|---------------------|---|--------|--------|--------|--------|---------------------|--------------------|
| $P =$ | | 3000 | 6000 | 9000 | 12000 | 15000 | kg |
| $\sigma =$ | | 6,37 | 11,11 | 15,87 | 20,63 | 25,41 | kg/cm ² |
| $\frac{B'}{1000} =$ | | 47176 | 44734 | 42266 | 39798 | 37303 | kg cm |
| f teor. = | | 0,0103 | 0,0218 | 0,0346 | 0,0490 | 0,0653 | cm |
| f mierz. = | | 0,0097 | 0,0229 | 0,0355 | 0,0522 | 0,0740 ¹ | cm |

| | | | | | |
|--|------|------|------|------|------|
| $\frac{f \text{ mierz.}}{f \text{ teor.}} =$ | 0,94 | 1,05 | 1,03 | 1,06 | 1,13 |
|--|------|------|------|------|------|

Serya doświadczeń według zestawienia l. 29.

Płyty prostokątne według rys. 15 ($a = 3m$, $b = 2m$), obciążone według rys. 35 „sprawozdania. Średnie wartości wymiarów i wielkości z nich obliczonych są następujące:

| | |
|--|----------------------------|
| Grubość płyty | $h = 12,13$ cm |
| Podwójna szer. wystającego skrawka $2\Delta a = 10,13$, $2\Delta b = 10,00$ „ | |
| Całkowite pole płyty | $F = 6,513$ m ² |
| Pole wystającej części | $\Delta F = 0,513$ „ |
| Ciężar własny | $G = 1883$ kg |

Ciężar „skutecznej“ środkowej części płyty o polu

| | |
|---|--------------------------------|
| $(3 - 0,1013)(2 - 0,1) = 5,5075$ m ² | $G_1 = 1595$ kg |
| Średnica | $d = 0,695$ cm |
| i pole przekroju prętów uzbrojenia | $f_j = 0,3794$ cm ² |
| Grubość betonu pod prętami | $e = 1,7$, wzgl. 1,0 cm |
| Odstęp prętów | $t = 10,0$ cm |

¹ Ta liczba odnosi się tylko do jednej płyty, ponieważ w dwu innych płytach seryi powstały już przedtem pęknięcia, co spowodowało silne zwiększenie ugięcia.

Stąd:

$$I_1 = 148,73 + \frac{195,5(n-1)}{319,7+n-1}, \quad I_2 = 148,73 + \frac{269,7(n-1)}{319,7+n-1}$$

| Dla $\sigma =$ | 0 | 5 | 10 | 15 | 20 | 25 kg/cm ² |
|--|--------|-----------------|--------|--------|--------|------------------------|
| $I_1 =$ | 152,06 | 152,29 | 152,53 | 152,80 | 153,12 | 153,48 cm ⁴ |
| $I_2 =$ | 153,32 | 153,63 | 153,97 | 154,35 | 154,78 | 155,28 " |
| $\varepsilon = \frac{a}{b} \sqrt{\frac{I_2}{I_1}} =$ | 1,503 | (średnio 1,504) | | | | 1,505 |
| $\frac{E'_s I'_2}{1000} = \frac{B'_2}{1000} =$ | 52466 | 47195 | 44667 | 42122 | 39578 | 37019 kg cm |
| $z_0 =$ | 0,09 | 0,10 | 0,11 | 0,12 | 0,13 | 0,15 cm |
| $W_2 =$ | 25,68 | 25,78 | 25,88 | 25,99 | 26,10 | 26,25 cm ² |
| $W_2 \sigma = M_2 =$ | 0 | 128,9 | 258,8 | 389,8 | 522,0 | 656,3 kg |

Według tablicy z § 23 odpowiada średniej wartości $\varepsilon = 1,504$:

$$M_2 = \left(0,0730 + \frac{1}{m} \sqrt{\frac{B_2}{B_1}} 0,0280 \right) qb^2,$$

a zatem dla

| $\sigma =$ | 5 | 10 | 15 | 20 | 25 kg/cm ² |
|----------------------|--------|--------|--------|--------|-----------------------|
| $\frac{M_2}{qb^2} =$ | 0,0760 | 0,0762 | 0,0764 | 0,0765 | 0,0767 |
| $abq =$ | 2544 | 5094 | 7657 | 10240 | 12840 kg |

Po odjęciu $G_1 = 1595$ kg pozostaje

| $P =$ | 949 | 3499 | 6062 | 8645 | 11245 kg |
|--|--------|--------|--------|--------|--------------------|
| $P =$ | 3000 | 6000 | 9000 | 12000 | kg |
| $\sigma =$ | 9,02 | 14,88 | 20,68 | 26,45 | kg/cm ² |
| $\frac{E'_s I'_2}{1000} = \frac{B'_2}{1000} =$ | 45162 | 42183 | 39230 | 36277 | kg cm |
| $q =$ | 0,05 | 0,10 | 0,15 | 0,20 | kg/cm ² |
| $f = 0,00774 \frac{qb^4}{B_2} =$ | 0,0137 | 0,0294 | 0,0473 | 0,0683 | cm. |
| f mierz. = | 0,0117 | 0,0267 | 0,0437 | 0,0620 | " |

| | | | |
|---|------|------|------|
| $\frac{f \text{ mierz.}}{f \text{ teor.}} = 0,85$ | 0,91 | 0,92 | 0,91 |
|---|------|------|------|

Serya doświadczeń z zestawienia 30.

Płyty prostokątne według rys 16 ($a = 4$, $b = 2m$), obciążone według rys. 36 sprawozdania. Średnie wartości dat doświadczalnych są następujące.

| | |
|---|-----------------------------------|
| Grubość płyty | $h = 12,13$ cm |
| Podwójna szer. wystających skrawków $2\Delta a = 10,3$; $2\Delta b = 10,17$ cm | |
| Całkowite pole | $F = 8,623$ m ² |
| Pole wystającej części | $\Delta F = 0,623$ m ² |
| Ciężar własny | $G = 2481$ kg |

Ciężar „skutecznej” środkowej części o polu

| | |
|--|--------------------------------|
| $(4 - 0,103)(2 - 0,1017) = 7,398$ m ² | $G_1 = 2129$ kg |
| Średnica | $d = 0,692$ cm |
| i pole przekroju prętów uzbrojenia | $f_j = 0,3761$ cm ² |
| Grubość betonu pod prętami | $e = 1,7$, wzgl. 1,0 cm |
| Odstęp prętów | $t = 10,0$ cm |

Stąd

$$I_1 = 148,73 + \frac{195,5(n-1)}{322,5+n-1}, \quad I_2 = 148,73 + \frac{269,7(n-1)}{322,5+n-1}$$

| | | | | | | |
|----------------|--------|--------|--------|--------|--------|------------------------|
| Dla $\sigma =$ | 0 | 5 | 10 | 15 | 20 | 25 kg/cm ² |
| $I_1 =$ | 152,03 | 152,26 | 152,50 | 152,76 | 153,08 | 153,44 cm ³ |
| $I_2 =$ | 153,28 | 153,59 | 153,92 | 154,30 | 154,72 | 155,22 „ |

$$\varepsilon = \frac{a}{b} \sqrt[4]{\frac{I_2}{I_1}} = 2,006 \text{ (średnio)}$$

| | | | | | | |
|-----------------------|-------|-------|-------|-------|-------|-----------------------|
| $\sigma =$ | 0 | 5 | 10 | 15 | 20 | 25 kg/cm ² |
| $\frac{B_2'}{1000} =$ | 52453 | 47182 | 44653 | 42108 | 39562 | 37005 kg cm |
| $W_2 =$ | 25,67 | 25,77 | 25,87 | 25,98 | 26,11 | 26,25 cm ² |
| $M_2 =$ | 0 | 128,9 | 258,7 | 389,7 | 522,2 | 656,2 kg |

Według tablicy z § 23 odpowiada (średniej) wartości $\varepsilon = 2,006$:

$$M_2 = \left(0,0967 + 0,0174 \frac{1}{m} \sqrt{\frac{B_2}{B_1}} \right) qb^2,$$

a zatem dla:

| | | | | | |
|----------------------|--------|--------|--------|--------|-----------------------|
| $\sigma =$ | 5 | 10 | 15 | 20 | 25 kg/cm ² |
| $\frac{M_2}{qb^2} =$ | 0,0986 | 0,0987 | 0,0988 | 0,0989 | 0,0990 |
| $abq =$ | 2614 | 5242 | 7889 | 10560 | 13257 kg |

Po odjęciu $G_1 = 2129$ kg pozostaje

| | | | | | |
|--|-----|--------|--------|------|--------------------------|
| $P =$ | 485 | 3113 | 5760 | 8431 | 11128 kg |
| $P =$ | — | 4000 | 8000 | — | 12000 kg |
| $\sigma =$ | — | 11,68 | 19,19 | — | 26,62 kg/cm ² |
| $\frac{B_2}{1000} =$ | — | 43798 | 39974 | — | 36177 kg cm |
| $f = 0,01015 \frac{qb^4}{B_2} =$ | — | 0,0185 | 0,0406 | — | 0,0673 cm |
| f mierz. = | — | 0,0145 | 0,0342 | — | 0,0598 „ |
| $\frac{f \text{ mierz.}}{f \text{ teor.}} =$ | — | 0,784 | 0,842 | — | 0,888 |

Przy łącznym rozpatrywaniu wyników końcowych powyższych porównań, uderza przedewszystkiem ten fakt, że stosunek f mierz. : f teor. ubywa ze wzrostem ε . To wskazuje wyraźnie na wybitną rolę takich wpływów grupy I, które dla płyt kwadratowych są najsilniejsze, a maleją z powiększeniem ε . Tę własność posiadają istotnie wpływy Ia i Ic, albowiem po pierwsze skutek skupienia obciążenia w środkach częściowych kwadratów zwiększa się strzałka płyty kwadratowej o 14,5%, a płyty prostokątnej bardzo długiej tylko o 2,5%; powtóre zaś, wpływ swobodnego podniesienia się rogów znika oczywiście dla płyt bardzo długich, jakkolwiek u płyt mało różniących się postacią od kwadratu musi być dość silnym.

Obu tym wpływom można przeciwstawić tylko wystawianie brzegów płyty (wpływ IIa), ono bowiem mniejsza strzałkę ugięcia badanych płyt kwadratowych okrągiło o 8,5%. Ale ten wpływ może tylko częściowo skompensować oba poprzednie i jeszcze dość dużo pozostaje, aby objaśnić ubytek wartości f mierz. : f teor. z powiększeniem ε . Lepsza zgodność wartości obliczonych i mierzonych dałaby się nadto osiągnąć przez odpowiednie zwiększenie sztywności zginania płyty. To było nawet do przewidzenia, gdyż sztywność zginania musi zależeć od wartości modułu wydłużenia we wszystkich włóknach, a nie tylko od jednej wartości, odpowiadającej skrajnemu włóknu, która wskutek tego musi być mniejszą od sprowadzonej pośredniej wartości, jaką należałoby wprowadzić w rachunek. Jest wątpliwem, czyby się opłacało tę sprawę rozpatrywać bliżej już teraz, dopóki ważny wpływ swobodnego podniesienia rogów nie da się dokładniej wyznaczyć.

Z tegoż samego powodu zrezygnujemy na razie z wyczerpującego sprawdzania wzorów teoretycznych dla momentów, zwracając jednak uwagę czytelnika na odnośne proste a piękne studjum prof. Mörsch'a (Deutsche Bauz., Mitteil. 1916, Nr 3), który z omawianych doświadczeń „Niemieckiego Wydziału Żel.-betonowego“ wprowadził wzór

$$M = \frac{qa^2}{21,76}$$

dla największego momentu zginającego płyty kwadratowej (przy największem obciążeniu). Ten wynik da się łatwo sprowadzić do znakomitej formalnej zgodności z wzorem teoretycznym, skoro przyjmiemy $m = 4$. Wtedy bowiem

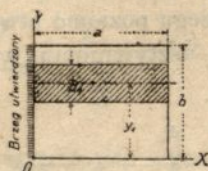
$$M = 0,0368 \left(1 + \frac{1}{m}\right) qa^2 = 0,046 qa^2 = \frac{qa^2}{21,74}$$

Nie wolno jednakże stąd wysnuwać wniosku, że przy najwyższych naprężeniach betonu staje się $m = 4$, albowiem przy wyprowadzeniu powyższej wartości współczynnika 1:21,76 nie uwzględniono wpływów, poprzednio omawianych.

VII. Płyta prostokątna, jednym brzegiem utwierdzona, a innymi swobodnie podparta i płyta dokoła utwierdzona.

§ 25. Ścisłe rozwiązanie w przypadku utwierdzenia jednego brzegu b i swobodnego podparcia pozostałych brzegów płyty.

Sposobem podanym w § 17 znajdujemy, podobnie jak w zadaniu §-u 23, dla przedstawionego na rysunku 25 przypadku róż-



Rys 25.

wnomiernego obciążenia prostokątnego paska płyty o szerokości b_1 , następujące równanie powierzchni ugięcia:

$$231. I) \quad \zeta = \frac{4qb^4}{\pi^6 \bar{B}_2} \sum_{n=1,2,3,\dots} \frac{(nb_1y_1)}{n^5} \left[1 - \frac{\beta^2}{\beta^2 - \alpha^2} \cdot \frac{Ch \frac{nx}{\beta}}{Ch \frac{na}{\beta}} + \frac{\alpha^2}{\beta^2 - \alpha^2} \cdot \frac{Ch \frac{nx}{\alpha}}{Ch \frac{na}{\alpha}} \right. \\ \left. - \vartheta_n \left\{ \beta \left(Th \frac{na}{\beta} Ch \frac{nx}{\beta} - Sh \frac{nx}{\beta} \right) - \alpha \left(Th \frac{na}{\alpha} Ch \frac{nx}{\alpha} - Sh \frac{nx}{\alpha} \right) \right\} \right] \sin \frac{n\pi y}{b}$$

Przytem oznacza:

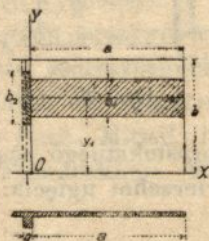
$$(nb_1y_1) = \sin \frac{n\pi}{2} \frac{b_1}{b} \sin \frac{n\pi y_1}{b}, \\ (231. a) \quad \vartheta_n = \frac{1 - \frac{\beta^2}{\beta^2 - \alpha^2} \cdot \frac{1}{Ch \frac{na}{\beta}} + \frac{\alpha^2}{\beta^2 - \alpha^2} \cdot \frac{1}{Ch \frac{na}{\alpha}}}{\beta Th \frac{na}{\beta} - \alpha Th \frac{na}{\alpha}}$$

Łatwo się przekonać, że powyższe wyrażenie dla ζ czyni za-

dość tak równaniu różniczkowemu powierzchni ugięcia, jakoteż warunkom krańcowym

$$\left(\frac{\partial \zeta}{\partial x}\right)_{x=0} = 0, \quad (\zeta)_{x=0} = 0, \quad (\zeta)_{x=a} = 0, \quad (\zeta)_{y=0} = 0, \quad (\zeta)_{y=b} = 0.$$

Znalezione rozwiązanie da się oczywiście także zastosować do przypadku płyty prostokątnej dokoła swobodnie podpartej, a nadto podpartej w linii środkowej, jeżeli tę linię obierzemy zaś oś Y -ów, i zastąpimy a przez $\frac{a}{2}$. Gdy wielkości \mathcal{P}_n uważamy za nieoznaczone parametry, to rozwiązanie zatrzymuje ważność i w przypadku sprężystej podatności brzegu poziomo utwierdzonego $x = 0$, względnie w przypadku płyty usztywnionej w środku żebrem (rys. 26).



Rys. 26.

W tym ostatnim przypadku otrzymujemy następujące wyrażenie dla całkowitej energii potencjalnej płyty z żebrem o długości $2a + g$ i szerokości b :

$$(232) \quad L_t = \int_0^a \int_0^b \left[\bar{B}_1 \left(\frac{\partial^2 \zeta}{\partial x^2} \right)^2 + \bar{B}_2 \left(\frac{\partial^2 \zeta}{\partial y^2} \right)^2 + \left(\frac{\bar{B}_1}{m_2} + \frac{\bar{B}_2}{m_1} \right) \frac{\partial^2 \zeta}{\partial x^2} \cdot \frac{\partial^2 \zeta}{\partial y^2} + 4C \left(\frac{\partial^2 \zeta}{\partial x \partial y} \right)^2 \right] dx dy + \frac{1}{2} \int_0^b (B^* - 2\bar{B}_2 c) \left(\frac{\partial^2 \zeta}{\partial y^2} \right)_{x=0}^2 dy.$$

Zaś dla pracy sił zewnętrznych mamy wyrażenie:

$$(233) \quad L_n = \int_0^a \int_{v_1 - \frac{b_1}{2}}^{v_1 + \frac{b_1}{2}} q \zeta dx dy + \frac{1}{2} \int_{v_1 - \frac{b_2}{2}}^{v_1 + \frac{b_2}{2}} q' (\zeta)_{x=0} dy,$$

jeżeli żebro dźwiga nadto liniowe równomierne obciążenie $q'b_2$ między rzędnymi $y = y_1 - \frac{b_2}{2}$ i $y = y_1 + \frac{b_2}{2}$.

Ponieważ próba wyznaczenia parametrów ϑ_n w ogólniejszym przypadku rozbiła się o beznadziejną rozwlekłość rachunku, więc poprzestaniemy na wyprowadzeniu wzorów dla wielkości statycznych. Wprowadziwszy oznaczenia skracające:

$$(234a) \quad \left\{ \begin{aligned} (\alpha, \vartheta_n) &= \frac{\alpha^2}{\beta^2 - \alpha^2} \cdot \frac{1}{Ch \frac{na}{\alpha}} + \alpha \vartheta_n Th \frac{na}{\alpha} \\ (\beta, \vartheta_n) &= \frac{\beta^2}{\beta^2 - \alpha^2} \cdot \frac{1}{Ch \frac{na}{\beta}} + \beta \vartheta_n Th \frac{na}{\beta} \end{aligned} \right.$$

otrzymujemy dla momentu zgięcia M_1 wyrażenie:

$$(234.I) \quad M_1 = -\frac{4qb^2}{\pi^3} \cdot \frac{\bar{B}_1}{\bar{B}_2} \sum_{n=1,2,3,\dots} \frac{(nb_1 y_1)}{n^3} \left[\left(\frac{b^2}{\pi^2 \alpha^2} - \frac{1}{m_2} \right) \left((\alpha, \vartheta_n) Ch \frac{nx}{\alpha} - \alpha \vartheta_n Sh \frac{nx}{\alpha} \right) - \left(\frac{b^2}{\pi^2 \beta^2} - \frac{1}{m_2} \right) \left((\beta, \vartheta_n) Ch \frac{nx}{\beta} - \beta \vartheta_n Sh \frac{nx}{\beta} \right) - \frac{1}{m_2} \right] \sin \frac{n\pi y}{b}$$

To wyrażenie znika dla $x = a$, jak być powinno, a dla $x = 0$ przybiera największą wartość ujemną, a mianowicie:

$$(235.I) \quad (M_1)_{x=0} = -\frac{4qb^2}{\pi^3} \cdot \frac{\bar{B}_1}{\bar{B}_2} \sum_n \frac{(nb_1 y_1)}{n^3} \left[\left(\frac{b^2}{\pi^2 \alpha^2} - \frac{1}{m_2} \right) (\alpha, \vartheta_n) - \left(\frac{b^2}{\pi^2 \beta^2} - \frac{1}{m_2} \right) (\beta, \vartheta_n) - \frac{1}{m_2} \right] \sin \frac{n\pi y}{b}$$

W szczególnym przypadku bardzo długiej płyty ($a = \infty$) przeistacza się powyższy wzór na odpowiedni wzór (115) w § 15, o czym łatwo się przekonać, zważywszy, że widocznie

$$\lim_{a \rightarrow \infty} (\alpha, \vartheta_n) = \alpha \vartheta_n \quad \text{i} \quad \lim_{a \rightarrow \infty} \vartheta_n = \frac{1}{\beta - \alpha} \quad \bullet$$

Dla momentu zginającego M_2 wypada wyrażenie:

$$(236. I) \quad M_2 = \frac{4qb^2}{\pi^2} \sum_{n=1,2,3,\dots} \frac{(nb_1 y_1)}{n^3} \left[1 + \left(1 - \frac{1}{m_1} \frac{b^2}{\pi^2 \alpha^2} \right) \left\{ (\alpha, \vartheta_n) Ch \frac{nx}{\alpha} - \right. \right. \\ \left. \left. - \alpha \vartheta_n Sh \frac{nx}{\alpha} \right\} - \left(1 - \frac{1}{m_1} \frac{b^2}{\pi^2 \beta^2} \right) \left\{ (\beta, \vartheta_n) Ch \frac{nx}{\beta} - \beta \vartheta_n Sh \frac{nx}{\beta} \right\} \right] \sin \frac{n\pi y}{b}$$

które również znika dla $x = a$. Dalej znajdujemy:

$$(237. I) \quad D = \frac{4qb^2}{\pi^2} \cdot \frac{2C}{\bar{B}_2} \sum_n \frac{(nb_1 y_1)}{n^3} \left[\frac{b}{\pi \alpha} \left\{ \alpha \vartheta_n Ch \frac{nx}{\alpha} - (\alpha, \vartheta_n) Sh \frac{nx}{\alpha} \right\} - \right. \\ \left. - \frac{b}{\pi \beta} \left\{ \beta \vartheta_n Ch \frac{nx}{\beta} - (\beta, \vartheta_n) Sh \frac{nx}{\beta} \right\} \right] \cos \frac{n\pi y}{b}$$

$$(238. I) \quad V_1 = \frac{4qb}{\pi^2} \cdot \frac{\bar{B}_1}{\bar{B}_2} \sum_n \frac{(nb_1 y_1)}{n^2} \left[b \left(\frac{2C}{\bar{B}_1} + \frac{1}{m_2} - \frac{b^2}{\pi^2 \beta^2} \right) \left\{ \beta \vartheta_n Ch \frac{nx}{\beta} - \right. \right. \\ \left. \left. - (\beta, \vartheta_n) Sh \frac{nx}{\beta} \right\} - \frac{b}{\alpha} \left(\frac{2C}{\bar{B}_1} + \frac{1}{m_2} - \frac{b^2}{\pi^2 \alpha^2} \right) \left\{ \alpha \vartheta_n Ch \frac{nx}{\alpha} - (\alpha, \vartheta_n) Sh \frac{nx}{\alpha} \right\} \right] \sin \frac{n\pi y}{b}$$

$$(239. I) \quad V_2 = \frac{4qb}{\pi^2} \sum_n \frac{(nb_1 y_1)}{n^2} \left[1 + \left\{ 1 - \frac{b^2}{\pi^2 \alpha^2} \left(\frac{2C}{\bar{B}_2} + \frac{1}{m_1} \right) \right\} \left\{ (\alpha, \vartheta_n) Ch \frac{nx}{\alpha} - \right. \right. \\ \left. \left. - \alpha \vartheta_n Sh \frac{nx}{\alpha} \right\} - \left\{ 1 - \frac{b^2}{\pi^2 \beta^2} \left(\frac{2C}{\bar{B}_2} + \frac{1}{m_1} \right) \right\} \left\{ (\beta, \vartheta_n) Ch \frac{nx}{\beta} - \beta \vartheta_n Sh \frac{nx}{\beta} \right\} \right] \cos \frac{n\pi y}{b}$$

$$(240. I) \quad (R_1)_{x=0} = -\frac{4q}{\pi} (\alpha + \beta) \sum_n \frac{(nb_1 y_1)}{n^2} (\beta - \alpha) \vartheta_n \sin \frac{n\pi y}{b}$$

$$(241. I) \quad (R_1)_{x=a} = \frac{4qb}{\pi^2} \cdot \frac{\bar{B}_1}{\bar{B}_2} \sum_n \frac{(nb_1 y_1)}{n^2} \left[b \left(\frac{4C}{\bar{B}_1} + \frac{1}{m_2} - \frac{b^2}{\pi^2 \beta^2} \right) \left\{ \beta \vartheta_n Ch \frac{na}{\beta} - \right. \right. \\ \left. \left. - (\beta, \vartheta_n) Sh \frac{na}{\beta} \right\} - \frac{b}{\alpha} \left(\frac{4C}{\bar{B}_1} + \frac{1}{m_2} - \frac{b^2}{\pi^2 \alpha^2} \right) \left\{ \alpha \vartheta_n Ch \frac{na}{\alpha} - (\alpha, \vartheta_n) Sh \frac{na}{\alpha} \right\} \right] \sin \frac{n\pi y}{b}$$

(242. I)

$$(R_2)_{y=0} = -\frac{4qb}{\pi^2} \sum_n \frac{(nb_1 y_1)}{n^2} \left[1 + \left\{ 1 - \frac{b^2}{\pi^2 \alpha^2} \left(\frac{4C}{\bar{B}_2} + \frac{1}{m_1} \right) \right\} \left\{ (\alpha, \vartheta_n) Ch \frac{nx}{\alpha} - \right. \right. \\ \left. \left. - \alpha \vartheta_n Sh \frac{nx}{\alpha} \right\} - \left\{ 1 - \frac{b^2}{\pi^2 \beta^2} \left(\frac{4C}{\bar{B}_2} + \frac{1}{m_1} \right) \right\} \left\{ (\beta, \vartheta_n) Ch \frac{nx}{\beta} - \beta \vartheta_n Sh \frac{nx}{\beta} \right\} \right]$$

(243. I)

$$(R_2)_{y=0} = \frac{4qb}{\pi^2} \sum_n \frac{(-1)^n (nb_1 y_1)}{n^2} \left[1 + \left\{ 1 - \frac{b^2}{\pi^2 \alpha^2} \left(\frac{4C}{\bar{B}_2} + \frac{1}{m_1} \right) \right\} \left\{ (\alpha, \vartheta_n) Ch \frac{nx}{\alpha} - \right. \right. \\ \left. \left. - \alpha \vartheta_n Sh \frac{nx}{\alpha} \right\} - \left\{ 1 - \frac{b^2}{\pi^2 \beta^2} \left(\frac{4C}{\bar{B}_2} + \frac{1}{m_1} \right) \right\} \left\{ (\beta, \vartheta_n) Ch \frac{nx}{\beta} - \beta \vartheta_n Sh \frac{nx}{\beta} \right\} \right]$$

$$(244. I) \quad (\bar{R}_1)_{x=0} = -\frac{4qb(\alpha + \beta)}{\pi^2} \sum_n \frac{[1 + (-1)^{n-1} (nb_1 y_1)]}{n^2} (\beta - \alpha) \vartheta_n$$

$$(245. I) \quad (\bar{R}_1)_{x=0} = \frac{4qb^2}{\pi^4} \cdot \frac{\bar{B}_1}{\bar{B}_2} \sum_n \frac{[1 + (-1)^{n-1} (nb_1 y_1)]}{n^2} \left[\frac{b}{\beta} \left(\frac{4C}{\bar{B}_1} + \frac{1}{m_2} - \right. \right. \\ \left. \left. - \frac{b^2}{\pi^2 \beta^2} \right) \left\{ \beta \vartheta_n Ch \frac{na}{\beta} - (\beta, \vartheta_n) Sh \frac{na}{\beta} \right\} - \frac{b}{\alpha} \left(\frac{4C}{\bar{B}_1} + \frac{1}{m_2} - \frac{b^2}{\pi^2 \alpha^2} \right) \left\{ \alpha \vartheta_n Ch \frac{na}{\alpha} - \right. \right. \\ \left. \left. - (\alpha, \vartheta_n) Sh \frac{na}{\alpha} \right\} \right] \sin \frac{n\pi y}{b}$$

$$(246. I) \quad (\bar{R}_2)_{y=0} = -\frac{4qab}{\pi^2} \sum_n \frac{(nb_1 y_1)}{n^2} \left[1 - \frac{1}{n} \frac{(\beta^2 - \alpha^2) \vartheta_n}{a} + \frac{1}{n} \cdot \frac{\alpha}{a} \left\{ 1 - \right. \right. \\ \left. \left. - \frac{b^2}{\pi^2 \alpha^2} \left(\frac{4C}{\bar{B}_2} + \frac{1}{m_1} \right) \right\} \left\{ (\alpha, \vartheta_n) Sh \frac{na}{\alpha} - \alpha \vartheta_n Ch \frac{na}{\alpha} \right\} - \frac{1}{n} \cdot \frac{\beta}{a} \left\{ 1 - \frac{b^2}{\pi^2 \beta^2} \left(\frac{4C}{\bar{B}_2} + \right. \right. \right. \\ \left. \left. \left. + \frac{1}{m_1} \right) \right\} \left\{ (\beta, \vartheta_n) Sh \frac{na}{\beta} - \beta \vartheta_n Ch \frac{na}{\beta} \right\} \right]$$

$$(247. I) \quad (\bar{R}_2)_{y=0} = \frac{4qab}{\pi^2} \sum_n \frac{(-1)^n (nb_1 y_1)}{n^2} \left[1 - \frac{1}{n} \frac{(\beta^2 - \alpha^2) \vartheta_n}{a} + \frac{1}{n} \cdot \frac{\alpha}{a} \left\{ 1 - \right. \right. \\ \left. \left. - \frac{b^2}{\pi^2 \alpha^2} \left(\frac{4C}{\bar{B}_2} + \frac{1}{m_1} \right) \right\} \left\{ (\alpha, \vartheta_n) Sh \frac{na}{\alpha} - \alpha \vartheta_n Ch \frac{na}{\alpha} \right\} - \frac{1}{n} \cdot \frac{\beta}{a} \left\{ 1 - \frac{b^2}{\pi^2 \beta^2} \left(\frac{4C}{\bar{B}_2} + \right. \right. \right. \\ \left. \left. \left. + \frac{1}{m_1} \right) \right\} \left\{ (\beta, \vartheta_n) Sh \frac{na}{\beta} - \beta \vartheta_n Ch \frac{na}{\beta} \right\} \right]$$

$$(248. I) \quad \hat{R}_{n,0} = \frac{4qb^2}{\pi^3} \cdot \frac{4C}{\bar{B}_2} \sum_n \frac{(nb_1 y_1)}{n^3} \left[\frac{b}{\pi \alpha} \left\{ \alpha \vartheta_n Ch \frac{na}{\alpha} - (\alpha, \vartheta_n) Sh \frac{na}{\alpha} \right\} - \right. \\ \left. - \frac{b}{\pi \beta} \left\{ \beta \vartheta_n Ch \frac{na}{\beta} - (\beta, \vartheta_n) Sh \frac{na}{\beta} \right\} \right]$$

$$(249. I) \quad \hat{R}_{a,b} = -\frac{4qb^2}{\pi^3} \cdot \frac{4C}{B_2} \sum_n \frac{(-1)^n (nb_1 y_1)}{n^3} \left[\frac{b}{\pi a} \left\{ \alpha \vartheta_n Ch \frac{na}{\alpha} - \right. \right. \\ \left. \left. - (\alpha, \vartheta_n) Sh \frac{na}{\alpha} \right\} - \frac{b}{\pi \beta} \left\{ \beta \vartheta_n Ch \frac{na}{\beta} - (\beta, \vartheta_n) Sh \frac{na}{\beta} \right\} \right]$$

Dla sprawdzenia ostatnich formuł dobrze jest zastosować oczywisty warunek równowagi:

$$(\bar{R}_1)_{x=0} + (\bar{R}_1)_{x=a} + (\bar{R}_2)_{y=0} + (\bar{R}_2)_{y=b} + \Sigma \hat{R} + qab_1 = 0$$

Że znalezione powyżej wartości czynią istotnie zadość temu warunkowi, łatwo okazać, uwzględniając związek identyczny:

$$\frac{b^2}{\pi^2} \cdot \frac{\bar{B}_1}{\bar{B}_2} \left(\frac{4C}{\bar{B}_1} + \frac{1}{m_2} - \frac{b^2}{\pi^2 \beta^2} \right) - \beta^2 \left\{ 1 - \frac{b^2}{\pi^2 \beta^2} \left(\frac{4C}{\bar{B}_2} + \frac{1}{m_1} \right) \right\} = \frac{b^2}{\pi^2} \cdot \frac{4C}{\bar{B}_2}$$

W powyższej postaci możnaby znalezione wzory stosować oczywiście nie tylko w przypadku sztywnego podparcia utwierdzonego brzegu, lecz także w ogólniejszym przypadku podatności tego brzegu, gdyby udało się znaleźć odpowiadające wyrażenie dla ϑ_n , np. za pomocą metody Ritz'a. Określone równaniem (231a) wartości ϑ_n są naturalnie ważne tylko dla sztywnego podparcia.

To wszystko odnosiło się do przypadku I ($H^2 > \bar{B}_1 \bar{B}_2$). Weale uciążliwe przejście do odpowiadających wzorów obu innych przypadków idzie stosunkowo najprędzej, gdy najpierw znajdziemy odpowiadający wzór III-go przypadku ($H^2 < \bar{B}_1 \bar{B}_2$) zapomocą podstawienia:

$$\frac{1}{\alpha} = \frac{1}{\alpha'} + \frac{i}{\beta'}, \quad \frac{1}{\beta} = \frac{1}{\alpha'} - \frac{i}{\beta'}$$

a stąd przez przyjęcie $\beta' = \infty$ ($\alpha = \beta = \gamma = \frac{b}{\pi} \sqrt{\frac{\bar{B}_1}{\bar{B}_2}}$) wyprowadzimy wzór dla przypadku II. Tą drogą znalezione następujące postaci równania powierzchni ugięcia.

W przypadku II ($H^2 = \bar{B}_1 \bar{B}_2$)

$$(231. II) \quad \zeta = \frac{4qb^4}{\pi^3 \bar{B}_2} \sum_{n=1,2,3,\dots} \frac{(nb_1 y_1)}{n^3} \left[1 - \left(1 + C_n \frac{nx}{\gamma} \right) Ch \frac{nx}{\gamma} + \right. \\ \left. + \left(C_n + C'_n \frac{nx}{\gamma} \right) Sh \frac{nx}{\gamma} \right] \sin \frac{n\pi y}{b}$$

z oznaczeniem:

$$(231. b)^1 \left\{ \begin{aligned} C_n &= \frac{Ch \frac{2na}{\gamma} + 1 - 2Ch \frac{na}{\gamma} - \frac{na}{\gamma} Sh \frac{na}{\gamma}}{Sh \frac{2na}{\gamma} - \frac{2na}{\gamma}}, \\ C'_n &= \frac{Sh \frac{2na}{\gamma} - Sh \frac{na}{\gamma} - \frac{na}{\gamma} Ch \frac{na}{\gamma}}{Sh \frac{2na}{\gamma} - \frac{2na}{\gamma}}. \end{aligned} \right.$$

¹ Stąd wynikają następujące związki między C i C' pożyteczne w dalszych rachunkach:

$$\begin{aligned} C'_n Ch \frac{na}{\gamma} - C_n Sh \frac{na}{\gamma} &= \frac{1}{2}, \\ (1 - C'_n) Sh \frac{na}{\gamma} - \frac{1}{2} \frac{na}{\gamma} &= \frac{\left(Sh \frac{na}{\gamma} - \frac{na}{\gamma} \right)^2}{Sh \frac{2na}{\gamma} - \frac{2na}{\gamma}}, \\ C'_n Sh \frac{na}{\gamma} - C_n Ch \frac{na}{\gamma} &= \frac{\left(Ch \frac{na}{\gamma} - 1 \right)^2}{Sh \frac{2na}{\gamma} - \frac{2na}{\gamma}}, \\ \frac{3}{2} a - \frac{\gamma}{n} \left\{ 2C_n \left(1 - Ch \frac{na}{\gamma} \right) + (1 + C'_n) Sh \frac{na}{\gamma} \right\} &= a - \\ - \frac{\gamma}{n} \left\{ 2C'_n + \frac{\left(Sh \frac{na}{\gamma} - \frac{na}{\gamma} \right)^2 + 2 \left(Ch \frac{na}{\gamma} - 1 \right)^2}{Sh \frac{2na}{\gamma} - \frac{2na}{\gamma}} \right\} & \\ Sh \frac{na}{\gamma} \left(1 + C_n \frac{na}{\gamma} - 3C'_n \right) + Ch \frac{na}{\gamma} \left(2C_n - C'_n \frac{na}{\gamma} \right) &= \\ = \frac{2 \left(Ch \frac{na}{\gamma} - 1 \right)^2 - \left(Sh \frac{na}{\gamma} - \frac{na}{\gamma} \right)^2}{Sh \frac{2na}{\gamma} - \frac{2na}{\gamma}} & \end{aligned}$$

a w przypadku III ($H^2 < \bar{B}_1 \bar{B}_0$):

$$(231. III) \quad \zeta = \frac{4qb^4}{\pi^3 \bar{B}_2} \sum_{n=1,2,3,\dots} \frac{(nb_1 y_1)}{n^5} \left[1 - Ch \frac{nx}{\alpha'} \cos \frac{nx}{\beta'} + \alpha' D_n Sh \frac{nx}{\alpha'} \cos \frac{nx}{\beta'} - \right. \\ \left. - \beta' D_n Ch \frac{nx}{\alpha'} \sin \frac{nx}{\beta'} + D_n Sh \frac{nx}{\alpha'} \sin \frac{nx}{\beta'} \right] \sin \frac{n\pi y}{b},$$

z oznaczeniami:

(231c)

$$D_n = \frac{Ch \frac{2na}{\alpha'} + \cos \frac{2na}{\beta'} - 2 Ch \frac{na}{\alpha'} \cos \frac{na}{\beta'} - \left(\frac{\beta'}{\alpha'} - \frac{\alpha'}{\beta'} \right) Sh \frac{na}{\alpha'} \sin \frac{na}{\beta'}}{\alpha' Sh \frac{2na}{\alpha'} - \beta' \sin \frac{2na}{\beta'}} \\ D'_n = \frac{\beta' Sh \frac{2na}{\alpha'} + \alpha' \sin \frac{2na}{\beta'} - \left(\frac{\beta'}{\alpha'} + \frac{\alpha'}{\beta'} \right) \left(\beta' Ch \frac{na}{\alpha'} \sin \frac{na}{\beta'} + \alpha' Sh \frac{na}{\alpha'} \cos \frac{na}{\beta'} \right)}{\alpha' Sh \frac{2na}{\alpha'} - \beta' \sin \frac{2na}{\beta'}}$$

Jako próba rachunku posłużyły przytem warunki krańcowe:

$$(\zeta)_{x=0} = (\zeta)_{x=a} = 0$$

Różniczkowanie równania (231 : II) prowadzi do następujących wyrażeń dla funkcji μ_{11} , μ_{22} , ... wprowadzonych w § 23:

(250. II)

$$\mu_{11} = \frac{4}{\pi^3} \sum \frac{(nb_1 y_1)}{n^3} \left[\left(C_n - C_n \frac{nx}{\gamma} \right) Sh \frac{nx}{\gamma} + \left(1 + C_n \frac{nx}{\gamma} - 2C_n \right) Ch \frac{nx}{\gamma} \right] \sin \frac{n\pi y}{b} \\ \mu_{22} = \frac{4}{\pi^3} \sum \frac{(nb_1 y_1)}{n^3} \left[1 - \left(1 + C_n \frac{nx}{\gamma} \right) Ch \frac{nx}{\gamma} + \left(C_n + C_n \frac{nx}{\gamma} \right) Sh \frac{nx}{\gamma} \right] \sin \frac{n\pi y}{b} \\ \mu_{12} = \frac{4}{\pi^3} \sum \frac{(nb_1 y_1)}{n^3} \left[\left(1 + C_n \frac{nx}{\gamma} - C_n \right) Sh \frac{nx}{\gamma} - C_n \frac{nx}{\gamma} Ch \frac{nx}{\gamma} \right] \cos \frac{n\pi y}{b};$$

(251. II)

$$\mu_{111} = \frac{4}{\pi^3} \sum \frac{(nb_1 y_1)}{n^2} \left[\left(1 + C_n \frac{nx}{\gamma} - 3C_n \right) Sh \frac{nx}{\gamma} + \left(2C_n - C_n \frac{nx}{\gamma} \right) Ch \frac{nx}{\gamma} \right] \sin \frac{n\pi y}{b} \\ \mu_{122} = -\frac{4}{\pi^3} \sum \frac{(nb_1 y_1)}{n^2} \left[\left(1 + C_n \frac{nx}{\gamma} - C_n \right) Sh \frac{nx}{\gamma} - C_n \frac{nx}{\gamma} Ch \frac{nx}{\gamma} \right] \sin \frac{n\pi y}{b}$$

(251. II)

$$\mu_{222} = \frac{4}{\pi^2} \sum \frac{(nb_1 y_1)}{n^2} \left[1 - \left(1 + C_n \frac{nx}{\gamma} \right) Ch \frac{nx}{\gamma} + \left(C_n + C_n' \frac{nx}{\gamma} \right) Sh \frac{nx}{\gamma} \right] \cos \frac{n\pi y}{b},$$

$$u_{112} = \frac{4}{\pi^2} \sum \frac{(nb_1 y_1)}{n^2} \left[\left(1 + C_n \frac{nx}{\gamma} - 2C_n' \right) Ch \frac{nx}{\gamma} + \left(C_n - C_n' \frac{nx}{\gamma} \right) Sh \frac{nx}{\gamma} \right] \cos \frac{n\pi y}{b}$$

Stąd wynika dalej

$$\begin{aligned} \bar{\mu}_{111} &= \int_0^b \mu_{111} dy = \frac{4b}{\pi^2} \sum \frac{(nb_1 y_1) [1 + (-1)^{n-1}]}{n^3} \left[\left(1 + C_n \frac{nx}{\gamma} - \right. \right. \\ &\quad \left. \left. - 3C_n' \right) Sh \frac{nx}{\gamma} + \left(2C_n - C_n' \frac{nx}{\gamma} \right) Ch \frac{nx}{\gamma} \right], \\ \bar{\mu}_{122} &= \int_0^b \mu_{122} dy = -\frac{4b}{\pi^2} \sum \frac{(nb_1 y_1) [1 + (-1)^{n-1}]}{n^3} \left[\left(1 + C_n \frac{nx}{\gamma} - \right. \right. \\ &\quad \left. \left. - C_n' \right) Sh \frac{nx}{\gamma} - C_n' \frac{nx}{\gamma} Ch \frac{nx}{\gamma} \right], \\ (252. II) \quad \bar{\mu}_{222} &= \int_0^a \mu_{222} dx = \frac{4}{\pi^2} \sum \frac{(nb_1 y_1)}{n^2} \left[a - \frac{\gamma}{n} \left\{ 2C_n + \right. \right. \\ &\quad \left. \left. + \frac{\left(Sh \frac{na}{\gamma} - \frac{na}{\gamma} \right)^2 + 2 \left(Ch \frac{na}{\gamma} - 1 \right)^2}{Sh \frac{2na}{\gamma} - \frac{2na}{\gamma}} \right\} \right] \cos \frac{n\pi y}{b}, \\ \bar{\mu}_{112} &= \int_0^a \mu_{112} dx = \frac{4\gamma}{\pi^2} \sum \frac{(nb_1 y_1)}{n^3} \frac{\left(Sh \frac{na}{\gamma} - \frac{na}{\gamma} \right)^2}{Sh \frac{2na}{\gamma} - \frac{2na}{\gamma}} \cos \frac{n\pi y}{b}. \end{aligned}$$

Teraz obliczymy dla kontroli całkowite reakcje brzegów, tudzież siły narożne \bar{h} i znajdujemy najpierw dla utwierdzonego brzegu $x=0$:

$$\begin{aligned} (244. II) \quad (\bar{R}_1)_{x=0} &= - \left[\frac{\bar{\mu}_{111}}{b} + \frac{\bar{\mu}_{122}}{b} \left(\frac{1}{m_2} + \frac{4C}{\bar{B}_1} \right) \sqrt{\frac{\bar{B}_1}{\bar{B}_2}} \right]_{x=0} \frac{qab}{\varepsilon} = \\ &= - \frac{4}{\pi^2} qab \sum \frac{(nb_1 y_1) [1 + (-1)^{n-1}]}{n^2} \frac{\gamma}{na} \cdot 2C_n, \end{aligned}$$

ponieważ $\bar{\mu}_{122}$ znika dla $x=0$. Dla przeciwległego poziomo swobodnie podpartego brzegu $x=a$ wypada z (252. II):

(245. II)

$$(\bar{\mu}_{111})_{x=a} = -\frac{4b}{\pi^3} \sum (nb_1 y_1) \frac{[1+(-1)^{n-1}]}{n^3} \cdot \frac{2\left(Ch \frac{na}{\gamma} - 1\right)^2 - \left(Sh \frac{na}{\gamma} - \frac{na}{\gamma}\right)^2}{Sh \frac{2na}{\gamma} - \frac{2na}{\gamma}}$$

$$(\bar{\mu}_{122})_{x=a} = -\frac{4b}{\pi^3} \sum (nb_1 y_1) \frac{[1+(-1)^{n-1}]}{n^3} \cdot \frac{\left(Sh \frac{na}{\gamma} - \frac{na}{\gamma}\right)^2}{Sh \frac{2na}{\gamma} - \frac{2na}{\gamma}}$$

$$(\bar{R}_1)_{x=a} = \left[\frac{\bar{\mu}_{111}}{b} + \frac{\bar{\mu}_{122}}{b} \left(\frac{1}{m_2} + \frac{4C}{B_1} \right) \sqrt{\frac{\bar{B}_1}{B_2}} \right]_{x=a} \cdot \frac{qab}{\varepsilon}$$

Dla poziomo swobodnie podpartego brzegu $y=0$ jest

(246. II)

$$(\bar{\mu}_{222})_{y=0} = \frac{4}{\pi^2} \sum (nb_1 y_1) \left[a - \frac{\gamma}{n} \left\{ 2C_n + \frac{\left(Sh \frac{na}{\gamma} - \frac{na}{\gamma}\right)^2 + 2\left(Ch \frac{na}{\gamma} - 1\right)^2}{Sh \frac{2na}{\gamma} - \frac{2na}{\gamma}} \right\} \right],$$

$$(\bar{\mu}_{112})_{y=0} = \frac{4\gamma}{\pi^2} \sum (nb_1 y_1) \frac{\left(Sh \frac{na}{\gamma} - \frac{na}{\gamma}\right)^2}{Sh \frac{2na}{\gamma} - \frac{2na}{\gamma}}$$

$$(\bar{R}_2)_{y=0} = - \left[\frac{\bar{\mu}_{222}}{a} + \frac{\bar{\mu}_{112}}{a} \left(\frac{1}{m_1} + \frac{4C}{B_2} \right) \sqrt{\frac{\bar{B}_2}{B_1}} \right]_{y=0} qab$$

Tak samo znajdujemy dla swobodnie poziomo podpartego brzegu $y=b$, według wzorów (252. II):

(247. II)

$$(\bar{\mu}_{222})_{y=b} = \frac{4}{\pi^2} \sum (nb_1 y_1) \frac{(-1)^n}{n^2} \left[a - \frac{\gamma}{n} \left\{ 2C_n + \frac{\left(Sh \frac{na}{\gamma} - \frac{na}{\gamma}\right)^2 + 2\left(Ch \frac{na}{\gamma} - 1\right)^2}{Sh \frac{2na}{\gamma} - \frac{2na}{\gamma}} \right\} \right],$$

(247. II)

$$(\bar{\mu}_{112})_{y=b} = \frac{4\gamma}{\pi^2} \sum \frac{(nb_1 y_1)(-1)^n}{n^3} \cdot \frac{\left(Sh \frac{na}{\gamma} - \frac{na}{\gamma}\right)^2}{Sh \frac{2na}{\gamma} - \frac{2na}{\gamma}}$$

$$(\bar{R}_2)_{y=b} = \left[\frac{\bar{\mu}_{112}}{a} + \frac{\bar{\mu}_{112}}{a} \left(\frac{1}{m_1} + \frac{4C}{B_2} \right) \sqrt{\frac{B_2}{B_1}} \right]_{y=0} qab.$$

Dla narożnych reakcyj wypadają nakoniec wartości:

$$\hat{R}_{0,0} = \hat{R}_{0,b} = 0,$$

$$(248. II) \hat{R}_{ab} = \left[\frac{4}{\pi^2} \sum \frac{(nb_1 y_1)}{n^2} \cdot \frac{\gamma}{na} \cdot \frac{\left(Sh \frac{na}{\gamma} - \frac{na}{\gamma}\right)^2}{Sh \frac{2na}{\gamma} - \frac{2na}{\gamma}} \right] \frac{4C}{B_2} \sqrt{\frac{B_2}{B_1}} \cdot qab,$$

$$(249. II) \hat{R}_{ab} = \left[\frac{4}{\pi^2} \sum \frac{(nb_1 y_1)(-1)^{n-1}}{n^2} \cdot \frac{\gamma}{na} \cdot \frac{\left(Sh \frac{na}{\gamma} - \frac{na}{\gamma}\right)^2}{Sh \frac{2na}{\gamma} - \frac{2na}{\gamma}} \right] \frac{4C}{B_2} \sqrt{\frac{B_2}{B_1}} \cdot qab.$$

Nietrudno się przekonać, że uzyskane wzory czynią identycznie zadość warunkom równowagi sił zewnętrznych.

W przypadku całkowitego równomiernego obciążenia wypadnie w powyższych wzorach przyjąć:

$$(nb_1 y_1) = 1 \quad \text{i} \quad n = 1, 3, 5, \dots$$

Wtedy staje się powierzchnia ugięcia oczywiście symetryczną względem płaszczyzny $y = \frac{b}{2}$. Najniższe punkty przekrojów Y powierzchni ugięcia leżą na krzywej

$$(253. II) \zeta = \frac{4qb^4}{\pi^5 B_2} \sum_{n=1,3,5,\dots}^{n-1} \frac{(-1)^{\frac{n-1}{2}}}{n^5} \left[1 - \left(1 + C_n \frac{nx}{\gamma}\right) Ch \frac{nx}{\gamma} + \right. \\ \left. + \left(C_n + C_n \frac{nx}{\gamma}\right) Sh \frac{nx}{\gamma} \right].$$

Dla wyznaczenia strzałki ugięcia trzeba przeto rozwiązać najpierw równanie przestępne:

$$\sum_{n=1,3,5,\dots} \frac{(-1)^{\frac{n-1}{2}}}{n^4} \left[C_n \frac{nx}{\gamma} \operatorname{Ch} \frac{nx}{\gamma} - \left(1 + C_n \frac{nx}{\gamma} - C_n' \right) \operatorname{Sh} \frac{nx}{\gamma} \right] = 0,$$

które powstaje z warunku $\frac{\partial \zeta}{\partial x} = 0$. Pierwiastek x_1 rzeczywisty tego równania jest funkcją sprowadzonego stosunku boków

$$\varepsilon = \frac{a}{b} \sqrt[4]{\frac{B_2}{B_1}} = \frac{a}{\pi \gamma}$$

i jest widocznym, że jego wartość leży między

$$a - \frac{1 + \sqrt{33}}{16} a = 0,5785 a$$

a $0,5 a$. Pierwsza wartość odpowiada granicznemu przypadkowi bardzo małego ε a druga drugiemu granicznemu przypadkowi płyty nieskończenie długiej ($\varepsilon = \infty$). W pierwszym bowiem granicznym przypadku uginają się środkowe skrawki X płyty dokładnie tak samo, jak analogicznie podparta i obciążona belka, w drugim zaś jest krzywizna linii ugięcia środkowego skrawka X widocznie znikomo mała na wielkiej długości po obu stronach środka. Z tego wynika, że z praktycznie wystarczającą dokładnością można obliczać strzałkę ugięcia podług przybliżonego wzoru:

$$f \sim \sim (\zeta)_{x=\frac{a}{2}, y=\frac{b}{2}}$$

Ta przybliżona wartość będzie w najgorszym przypadku mniej niż o 4% za małą. Ugięcie bowiem odpowiadającej belki o rozpiętości a i linii ugięcia

$$\zeta = \frac{1}{48} \frac{qa^4}{EI} \left(3 - 5 \frac{x}{a} + 2 \frac{x^2}{a^2} \right) \frac{x^2}{a^2}$$

wynosi dla $x = \frac{a}{2}$:

$$\zeta = \frac{1}{192} \frac{qa^4}{EI},$$

zaś dla $x = \frac{15 - \sqrt{33}}{16} a = 0,5785 a$.

$$\zeta = \frac{1}{185} \frac{qa^4}{EI} = f.$$

Otóż ta druga wartość jest od pierwszej tylko około 3,8% większą.

O wiele jeszcze dokładniejszą wartość przybliżoną strzałki ugięcia można znaleźć wstawiając w rów. (253. II) wartość interpolacyjną

$$x = (0,5 + 0,0785 e^{-\varepsilon}) a,$$

to wyrażenie bowiem przeistacza się w granicznych przypadkach $\varepsilon = 0$ i $\varepsilon = \infty$ na

$$x = 0,5785 a, \text{ względnie } x = 0,5 a.$$

Jeszcze uciążliwszem jest wyznaczenie największego dodatniego momentu zgięcia, zważywszy jednak, że ujemne momenty utwierdzenia osiągają bezwątpienia o wiele większe wartości, zadowolimy się obliczeniem tych ostatnich. Wzory (250. II) dają:

$$(\mu_{11})_{x=0} = \frac{4}{\pi^3} \sum_{n=1,3,5,\dots} \frac{1}{n^3} (1 - 2C'_n) \sin \frac{n\pi y}{b}, \quad (\mu_{22})_{x=0} = 0.$$

Stąd wypadają największe wartości momentów utwierdzenia w środku brzegu stwierdzonego (dla $y = \frac{b}{2}$):

$$(254. II) \left\{ \begin{aligned} M_{1max} &= -\frac{4}{\pi^3} qb^2 \sqrt{\frac{\bar{B}_1}{\bar{B}_2}} \sum_{n=1,3,5,\dots} \frac{2C'_n - 1}{n^3} (-1)^{\frac{n-1}{2}}, \\ M_2 &= -\frac{4}{\pi^3} qb^2 \frac{1}{m_1} \sqrt{\frac{\bar{B}_2}{\bar{B}_1}} \sum_{n=1,3,5,\dots} \frac{2C'_n - 1}{n^3} (-1)^{\frac{n-1}{2}} \end{aligned} \right.$$

W granicznym przypadku bardzo długiej płyty ($a = \infty$) staje się $\lim C'_n = 1$, a znalezione wartości momentów przeistaczają się na następujące:

$$(255. II) \quad M_{1max} = -\frac{1}{8} qb^2 \sqrt{\frac{\bar{B}_1}{\bar{B}_2}}, \quad M_2 = -\frac{1}{8} qb^2 \frac{1}{m_1} \sqrt{\frac{\bar{B}_2}{\bar{B}_1}}$$

W drugim granicznym przypadku bardzo krótkiej płyty

($b = \infty, \gamma = \infty$) znajdujemy łatwo przy pomocy rozwinięć na szeregi funkcji hyperbolicznych Sh i Ch :

$$\lim (2C_p' - 1) = \frac{1}{8} \frac{n^2 a^2}{\gamma^2} + \text{wyższe potęgi wielkości } \frac{1}{\gamma}.$$

A zatem:

$$(256. II) \quad M_{1max} = -\frac{1}{8} q a^2; \quad M_2 = \frac{1}{m_1} \sqrt{\frac{B_2}{B_1}} M_{1max}.$$

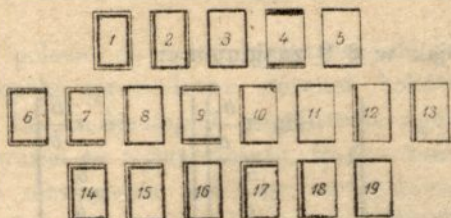
Pierwszy wynik był od razu do przewidzenia, ponieważ w tym granicznym przypadku muszą skrawki X środkowej części płyty ulegać zgięciu walcowemu. Momenty zginające M_1 rozkładają się przeto w tych skrawkach dokładnie tak samo, jak w analogicznie podpartej i obciążonej belce.

§ 26. Dziewiętnaście możliwych prostych sposobów ustalenia obwodu płyty prostokątnej. Zagadnienie płyty dokoła utwierdzonej. Przybliżone wzory interpolacyjne.

Ilość możliwych sposobów podparcia prostokątnej płyty jest dość znaczna, nawet gdy się ograniczymy do przypadków jednorodnego podparcia każdego poszczególnego brzegu i pominiemy przypadki podparcia rogów w jednym punkcie. Ten ostatni rodzaj podparcia ma oczywiście praktyczne znaczenie tylko w połączeniu z podparciem brzegów belkami, które nazwiemy *krawężnikami* (Randträger); dlatego rozwiązania, które tej okoliczności nie uwzględniają, nie budzą praktycznego zainteresowania. Ze względu na to, że jeden, dwa, lub trzy brzegi płyty mogą być także zupełnie swobodne (przy odpowiednim podparciu lub utwierdzeniu pozostałych brzegów), wypada 19 statycznie możebnych przypadków ustalenia, które uzmysławia rysunek 27. Brzegi swobodne, podparte i utwierdzone są na nim odróżnione odpowiednio linią cienką, grubszą i podwójną. Wszystkie możliwe przypadki, które wypływają jako kombinacje brzegów swobodnych, podpartych i utwierdzonych, dadzą się podzielić na następujące trzy grupy:

1) Grupa podwójnie symetryczna. Z sześciu możliwych przypadków tej grupy odpada oczywiście przypadek czterech brzegów wolnych i pozostają przypadki 1 do 5 (rys. 27).

2) Grupa pojedynczo symetryczna. Z dziewięciu możebnych kombinacyj tej grupy trzeba wyłączyć połączenie jednego brzegu podpartego z trzema swobodnymi, jako statycznie niedopuszczalne; pozostają więc przypadki 6 do 13.



Rys. 27.

3) Grupa niesymetryczna obejmuje sześć przypadków a mianowicie 14 do 19, atoli trzy ostatnie przypadki 17, 18 i 19 nie mogą liczyć na praktyczne zastosowanie.

Z pośród pozostałych praktycznie ważnych przypadków ustalenia od 1 do 16-stego traktowano w niniejszej pracy przypadki 2, 3 i 8.

Rozwiązania dla tych trzech przypadków dały się wyprowadzić z odpowiadających rozwiązań dla nieskończonej długiej płyty, podłużnymi brzegami swobodnie podpartej. Odnośna metoda zawodzi w innych przypadkach. Kilka jeszcze przypadków można załatwić zapomocą przyjęcia Lévy'ego, ta droga nie prowadzi jednakże do celu w prostym przypadku utwierdzenia wszystkich czterech brzegów (rys. 27, 1), którym teraz się zajmujemy. On należy do grupy tych najważniejszych praktycznie przypadków 1, 2, 3, 6, 8 i 14, w których nie ma brzegów swobodnych.

Do rozwiązania przybliżonego możnaby dojść na podobnej drodze, jaką obraliśmy w § 10 dla płyty dokoła swobodnie podpartej. Odpowiadające trygonometryczne wyrażenie dla powierzchni ugięcia

$$(257) \quad \zeta = \frac{f}{4} \left(1 - \cos \frac{2\pi x}{a} \right) \left(1 - \cos \frac{2\pi y}{b} \right)$$

zastosował, jak się zdaje, najpierw prof. H. Lorenz do płyty równokierunkowej, obciążonej środkowo symetrycznie. To równanie

odnosi się do brzegów płyty jako osi współrzędnych i czyni widocznie zadość warunkom krańcowym:

$$\zeta = 0 \text{ dla } x = 0, \text{ albo } x = a; y = 0 \text{ albo } y = b \text{ i}$$

$$\frac{\partial \zeta}{\partial x} = 0 \text{ dla } x = 0, \text{ albo } x = a; \frac{\partial \zeta}{\partial y} = 0, \text{ dla } y = 0,$$

albo $y = b$.

Podobnie jak w § 9 znajdujemy:

$$f = \frac{qa_1 b_1}{\pi^4} \cdot \frac{ab}{H} \cdot \frac{\left| 1 + \frac{\sin \pi \frac{a_1}{a}}{\pi \frac{a_1}{a}} \right| \left| 1 + \frac{\sin \pi \frac{b_1}{b}}{\pi \frac{b_1}{b}} \right|}{3 \frac{b^2}{a^2} \cdot \frac{\bar{B}_1}{H} + 3 \frac{a^2}{b^2} \cdot \frac{\bar{B}_2}{H} + 2}$$

(258) albo

$$f = \frac{1}{3\pi^4} q \frac{a_1}{a} \frac{b_1}{b} \frac{b^4}{\bar{B}_2} \cdot \frac{\left| 1 + \frac{\sin \pi \frac{a_1}{a}}{\pi \frac{a_1}{a}} \right| \left| 1 + \frac{\sin \pi \frac{b_1}{b}}{\pi \frac{b_1}{b}} \right|}{1 + \frac{2}{3} \frac{\eta}{\varepsilon^2} + \frac{1}{\varepsilon^4}}$$

z dawniejszemi skröceniami: $\varepsilon = \frac{a}{b} \sqrt[4]{\frac{\bar{B}_2}{\bar{B}_1}}$, $\eta = \frac{H}{\sqrt{\bar{B}_1 \bar{B}_2}}$, gdy obciążenie jest równomiernie rozłożone na prostokącie $a_1 b_1$, współśrodkowym z obwodem płyty. To wyrażenie daje w szczególnym przypadku płyty równokierunkowej ($\bar{B}_1 = \bar{B}_2 = H = \bar{B}$, $a_1 = a$, $b_1 = b$)

$$\text{dla } \varepsilon = \frac{a}{b} = \quad 1 \quad \frac{10}{7} \quad 2 \quad \infty$$

$$f: \frac{qb^4}{\bar{B}} = 0,00128 \quad 0,00218 \quad 0,00278 \quad 0,00342$$

zamiast odpowiadających dokładnych wartości (podług A. Nádaí'a):

$$0,00127 \quad 0,00208 \quad 0,00249 \quad 0,00260$$

Przybliżone wartości dla strzałki ugięcia są więc za wielkie odpowiednio o mniej więcej

1 5 12 31%.

a wzór

$$(258a) \quad f = \frac{qb^4}{3\pi^4 \bar{B}_2} \cdot \frac{1}{1 + \frac{2}{3} \frac{\eta}{\varepsilon^2} + \frac{1}{\varepsilon^4}}$$

można wogóle polecić do celów praktycznych jako dostatecznie przybliżony, dopóki sprowadzony stosunek boków ε leży między granicami 1 a 1,5. O ile stopień przybliżenia ogólniejszego wzoru (258) można uważać za wystarczający, trudno rozstrzygnąć wobec braku ścisłego rozwiązania nawet w szczególnym przypadku równokierunkowości materiału. Pewną orientację w tej kwestyi umożliwi rozpatrzenie tej powierzchni obciążenia, dla której wyrażenie (257) przedstawia dokładnie odpowiadającą powierzchnię ugięcia. Wstawiamy przeto to wyrażenie w równanie różniczkowe powierzchni ugięcia i otrzymujemy:

$$(259) \quad p = 4\pi^4 f \left[\left(\frac{\bar{B}_1}{a^4} + \frac{\bar{B}_2}{b^4} + \frac{2H}{a^2 b^2} \right) \cos \frac{2\pi x}{a} \cos \frac{2\pi y}{b} - \frac{\bar{B}_1}{a^4} \cos \frac{2\pi x}{a} - \frac{\bar{B}_2}{b^4} \cos \frac{2\pi y}{b} \right]$$

jako szukane równanie powierzchni obciążenia. Nazwiemy ją dla krótkości „teoretyczną powierzchnią obciążenia”. Jej równanie przybiera w szczególnym przypadku płyty kwadratowej i równokierunkowej ($a=b$, $\bar{B}_1=\bar{B}_2=H=\bar{B}$) postać:

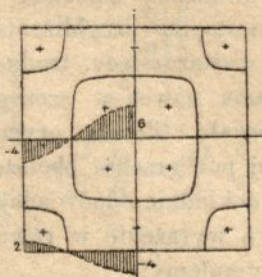
$$(259a) \quad p = 4\pi^4 \frac{\bar{B}f}{a^4} \left(4 \cos \frac{2\pi x}{a} \cos \frac{2\pi y}{a} - \cos \frac{2\pi x}{a} - \cos \frac{2\pi y}{a} \right)$$

Łatwo się przekonać, że p nie jest na całej płycie dodatnie, jak to było w analogicznym rozwiązaniu dla płyty dokoła swobodnie podpartej. Teraz powierzchnia obciążenia składa się środkowej części dodatniej (rysunek 28), otoczonej dokoła obszarem obciążenia powierzchniowego ujemnego. W otoczeniu rogów płyty staje się obciążenie znowu dodatniem. Względne wartości p są na rysunku zanotowane w kilku wybitnych punktach. Poniższa zaś tabliczka zawiera spólrzędne pewnej liczby punktów linii zerowych:

$$\frac{x}{a} = 0 \quad 0,1 \quad 0,166 \quad 0,191 \quad 0,196 \quad 0,250 \quad 0,3 \quad 0,333 \quad 0,4 \quad 0,5$$

$$\frac{y}{a} = 0,196 \quad 0,191 \quad 0,166 \quad 0,1 \quad 0 \quad 0,250 \quad 0,228 \quad 0,223 \quad 0,219 \quad 0,218$$

Na pierwszy rzut oka jest niespodzianką, że przybliżone rozwiązanie daje w tych warunkach tak dokładne wartości dla strzałki



Rys. 28.

ugięcia płyty całkowicie równomiernie obciążonej; zważywszy jednak, że większe rzędne ujemne teoretycznej powierzchni obciążenia są skupione około środków brzegów, rozumiemy jasno, że ich wpływ na ugięcie środkowej części płyty może być tylko nieznacznym. Z tego powodu mamy prawo przypuszczać, że wzór (258) dostarczy także wtedy dość dokładnych wartości dla strzałki ugięcia, gdy dane obciążenie jest równomiernie rozłożone na współśrodkowym prostokącie $a_1 b_1$, o ile liczby stosunkowe $a_1 : a$ i $b_1 : b$ nie mają wartości ani zbyt małych, ani też zbyt różniących się od siebie, a zarazem spełnia się warunek

$$1 \leq \frac{a}{b} \sqrt{\frac{\bar{B}_2}{\bar{B}_1}} \leq 1,5.$$

W granicznym przypadku ciężaru skupionego w środku wypada z wzoru (258) z pewnością za mała wartość strzałki ugięcia. Błąd będzie zapewne tego samego rzędu, co odpowiadający błąd wzoru (27) w § 10 dla płyty swobodnie podpartej. Ten ostatni wzór daje dla $a=b$, $\bar{B}_1 = \bar{B}_2 = H = \bar{B}$.

$$f = \frac{1}{\pi^4} \frac{Pa^2}{\bar{B}} = 0,01027 \frac{Pa^2}{\bar{B}},$$

podczas gdy według ścisłego wzoru (50) wypada współczynnik 0,01156, a więc około 13%, większy.

Zważywszy teraz, że

$$\lim_{a_1 \rightarrow 0} \frac{\sin \pi \frac{a_1}{a}}{\pi \frac{a_1}{a}} = 1,$$

widzimy, że skupienie całkowitego obciążenia prostokątnej płyty dokoła utwierdzonej w jej środku powiększa strzałkę ugięcia więcej niż 4-krotnie, jeżeli sprowadzony stosunek boków ε nie wiele zbacza od 1.

Inaczej ma się rzecz, gdy chcemy przyjęte wyrażenie (257) zastosować do znalezienia przybliżonych wartości dla momentów utwierdzenia i reakcyj podporowych. Jest bowiem rzeczą jasną, że momenty utwierdzające, które odpowiadają naszej teoretycznej powierzchni obciążenia, muszą w każdym razie tak silnie zbaczać od szukanych wartości, że trudno się spodziewać nawet grubego przybliżenia. W samej rzeczy daje dokładniejsze obliczenie w przypadku całkowitego równomiernego obciążenia płyty równokierunkowej dwie skrajne wartości momentów zgięcia, a największa wartość ujemnego momentu M_2 w środku brzegu podłużnego a jest około 2 razy większa od największej wartości dodatniego momentu M_2 w środku płyty. Natomiast przyjęte wyrażenie (257) prowadzi do prawie równej wielkości obu powyższych wartości momentów.

Ale i przez uogólnienie przyjętego wyrażenia (257) w postaci:

$$(257a) \quad \zeta = \sum_r \sum_s A_{rs} \left(1 - \cos \frac{2r\pi x}{a}\right) \left(1 - \cos \frac{2s\pi y}{b}\right), \quad (r, s = 1, 2, 3)$$

użytej przez p. M. Mesnager'a w połączeniu z metodą Ritz'a¹ nie zyskujemy nic, albowiem niezależnie od wielkości współczynników A_{rs} ($r, s = 1, 2, 3, \dots$) pozostaje widocznie

$$\left(\frac{\partial^2 \zeta}{\partial x^2}\right)_{x=0} = - \left(\frac{\partial^2 \zeta}{\partial x^2}\right)_{x=\frac{a}{2}} \quad \text{i} \quad \left(\frac{\partial^2 \zeta}{\partial y^2}\right)_{y=0} = - \left(\frac{\partial^2 \zeta}{\partial y^2}\right)_{y=\frac{b}{2}},$$

co prowadzi znowu do tego samego stosunku obu skrajnych war-

¹ C. R. 1916, T. 163, p. 661.

tości momentów. Temu zaś wynikowi można przeciwstawić fakt znany z elementarnej teorii zgięcia, że momenty utwierdzające w poprzecznych skrawkach nieskończenie długiej płyty posiadają dokładnie podwójną wartość największego momentu dodatniego w środku tychże skrawków. Już to samo wystarcza, aby każde rozwiązanie postaci (257a) uznać za błędne, atoli nietrudno też dowieść, że to rozwiązanie nie czyni zadość równaniu różniczkowemu powierzchni ugięcia. Mamy tu przed sobą pouczający przykład, który nawołuje do pewnej ostrożności przy zastosowaniu metody Ritz'a. Spełnienie warunków krańcowych przez każdy poszczególny wyraz podwójnej sumy przyjętego ogólnego wyrażenia:

$$\zeta = \sum_r \sum_s A_{rs} \varphi_r(x) \psi_s(y)$$

jest konieczne, ale jeszcze nie wystarczające, aby ta suma (przyjawszy, że wyznaczamy współczynniki A_{rs} według metody Ritz'a) przy rosnących liczbach porządkowych r i s zdołała w granicy do szukanego rozwiązania równania różniczkowego powierzchni ugięcia. Ma to oczywiście związek z kwestyą rozwijalności szukaney funkcji ζ na szereg funkcji $\varphi_r \psi_s$; w naszych jednak zadaniach można obejść analityczne trudności tego rodzaju, wstawiając następujące po sobie przybliżone rozwiązania w wyrażenie różniczkowe

$$\bar{B}_1 \frac{\partial^4 \zeta}{\partial x^4} + 2H \frac{\partial^4 \zeta}{\partial x^2 \partial y^2} + \bar{B}_2 \frac{\partial^4 \zeta}{\partial y^4} = p$$

i przekonywując się, czy to wyrażenie zdąży do zera ze wzrostem liczby wyrazów w rozwiązaniu przybliżonem.

Przy pomocy wyrażenia przyjętego przez samego Ritz'a można teoretycznie posunąć dokładność obliczenia dowolnie daleko, a stopień zbieżności jego metody nie pozostawiałby wówczas nic do życzenia; atoli ta żmudna droga nadaje się tylko do obliczeń liczbowych i mogłaby dla płyt nierównokierunkowych mieć praktyczne zastosowanie tylko w II-gim przypadku ($H^2 = \bar{B}_1 \bar{B}_2$), ponieważ wtedy wszelkie wyniki teoretyczne, znalezione dla płyty równokierunkowej, dają się przenieść na płytę prostokątnie nierównokierunkową. Gdy jednak zależy nam na ogólnych i prostych wzorach przybliżonych dla przypadku całkowitego równomiernego obciążenia, to, jak się zdaje, najkorzystniej przyjąć wyrażenie

$$(260) \quad \zeta = 256 f \frac{x^2}{a^2} \left(1 - \frac{x}{a}\right)^2 \frac{y^2}{b^2} \left(1 - \frac{y}{b}\right)^2$$

dla powierzchni ugięcia. Ono wypływa z łatwo nasuwającej się myśli, że linia ugięcia środkowego przekroju płyty $x = \frac{a}{2}$ przechodzi dla bardzo wielkiego a w linię ugięcia belki

$$\zeta = \frac{ql^4}{24 EI} \cdot \frac{x^2}{a^2} \left(1 - \frac{x}{a}\right)^2.$$

Nowe wyrażenie czyni widocznie zadość warunkom krańcowym, a odpowiadająca teoretyczna powierzchnia obciążenia ma w szczególnym przypadku równokierunkowości materiału płyty ($\bar{B}_1 = \bar{B}_2 = H = \bar{B}$) równanie:

$$(261) \quad p = \frac{24 \cdot 256 f}{\bar{B}} \left[\frac{1}{b^4} \cdot \frac{x^2}{a^2} \left(1 - \frac{x}{a}\right)^2 + \frac{1}{a^4} \cdot \frac{y^2}{b^2} \left(1 - \frac{y}{b}\right)^2 + \frac{1}{6a^2b^2} \left(1 - \frac{6x}{a} + \frac{6x^2}{a^2}\right) \left(1 - \frac{6y}{b} + \frac{6y^2}{b^2}\right) \right]$$

Na podstawie niżej umieszczonej tabliczki wartości $\bar{B}p/256 f$ można nabrać wyobrażenia o postaci teoretycznej powierzchni obciążenia. I ta powierzchnia posiada

| $\frac{\bar{B}p}{256 f}$ | $\frac{x}{a} = 0$ | 0,1 | 0,2 | 0,3 | 0,4 | 0,5 |
|--------------------------|-------------------|-------|-------|-------|--------|--------|
| $\frac{y}{a} = 0$ | 4,000 | 2,229 | 0,774 | 0,018 | -0,378 | -0,500 |
| $\frac{y}{a} = 0,25$ | 0,344 | 0,808 | 1,438 | 2,032 | 2,446 | 2,594 |
| $\frac{y}{a} = 0,5$ | -0,500 | 0,774 | 2,034 | 3,078 | 3,762 | 4,000 |
| $\nu = \nu$ | 4,000 | 1,249 | 1,235 | 2,387 | 3,539 | 4,000 |

obszary ujemne dookoła środków boków prostokątnego konturu płyty, lecz te obszary są nieznaczne w porównaniu do takichże obszarów odpowiadających formule trygonometrycznej (257). Oprócz tego jest

rozkład obciążenia w obszarze dodatnim o wiele równomierniejszy. Już z tego powodu spodziewamy się, że założenie (260) dostarczy o wiele lepszych wartości przybliżonych dla momentów zginających.

Z warunku równości energii potencjalnej płyty i pracy sił zewnętrznych wynika teraz jako przybliżona wartość strzałki ugięcia f :

$$(262) \quad f = \frac{7}{2048} \frac{qb^4}{B_2} \cdot \frac{1}{1 + \frac{4}{7} \frac{\eta}{\varepsilon^2} + \frac{1}{\varepsilon^4}}$$

przyczem, jak poprzednio, oznacza ε sprowadzony stosunek boków, a η charakterystykę płyty. Ten wzór daje w szczególnym przypadku płyty kwadratowej równokierunkowej:

$$f = \frac{49}{36864} \frac{qa^4}{B} = 0,00133 \frac{qa^4}{B},$$

podeczas gdy z dokładniejszego obliczenia wypada

$$f = 0,00127 \frac{qa^4}{B}$$

Powyższa przybliżona wartość jest więc około 5% za duża, co dla wielu praktycznych celów można jeszcze uważać za dopuszczalne. Ten błąd rośnie jednak z wartością $\varepsilon \geq 1$ i osiąga w granicznym przypadku $\varepsilon = \infty$ prawie 31%. Pod tym względem ustępuje nowe rozwiązanie przybliżone dawniejszemu (258a); atoli rzecz się ma inaczej, gdy przystąpimy do obliczenia momentów zginających.

Różniczkując (260) znajdujemy:

$$\frac{\partial^2 \zeta}{\partial x^2} = 256 f \frac{2}{a^2} \left(1 - \frac{6x}{a} + \frac{6x^2}{a^2} \right) \frac{y^2}{b^2} \left(1 - \frac{y}{b} \right)^2,$$

$$\frac{\partial^2 \zeta}{\partial y^2} = 256 f \frac{x^2}{a^2} \left(1 - \frac{x}{a} \right)^2 \cdot \frac{2}{b^2} \left(1 - \frac{6y}{b} + \frac{6y^2}{b^2} \right),$$

a stąd wypadają dla miarodajnych momentów zgięcia w punktach $\left(\frac{a}{2}, 0\right)$ i $\left(\frac{a}{2}, \frac{b}{2}\right)$ następujące wartości przybliżone:

$$(263) \begin{cases} (M_1)_{\frac{a}{2}, 0} = -\frac{32}{m_2} \cdot \frac{B_1 f}{b^2}, & (M_2)_{\frac{a}{2}, 0} = -32 \frac{\bar{B}_2 f}{b^2} \\ (M_1)_{\frac{a}{2}, \frac{b}{2}} = \frac{16 \bar{B}_1 f}{a^2} \left(1 + \frac{1}{m_2} \frac{a^2}{b^2}\right), & (M_2)_{\frac{a}{2}, \frac{b}{2}} = \frac{16 \bar{B}_2 f}{b^2} \left(1 + \frac{1}{m_1} \frac{b^2}{a^2}\right). \end{cases}$$

W szczególnym przypadku płyty kwadratowej i równokierunkowej otrzymamy dla środka boku

$$M_2 = -0,0426 qa^2,$$

t. j. około 13% mniej, niż dokładniejsza wartość

$$-0,0488 qa^2 = -0,195 q \left(\frac{a}{2}\right)^2,$$

znaleziona przez A. Nádái'a na podstawie przyjęcia Ritz'a. Inni autorowie, którzy opracowywali to zadanie, znajdują nieco większe współczynniki, jak np. 0,0510 (Galjerkin) i 0,0512 (Hencky).

Za to w środku płyty mamy

$$M_1 = M_2 = 0,0213 \left(1 + \frac{1}{m}\right) qa^2,$$

zamiast dokładnej wartości

$$0,0177 \left(1 + \frac{1}{m}\right) qa^2,$$

wyznaczonej prawie zgodnie przez wszystkich trzech przytoczonych autorów. Teraz jest wartość przybliżona mniej więcej o 20% za wielka, a ten błąd rośnie z powiększeniem liczby stosunkowej ε . W szczególności jest w granicznym przypadku $\varepsilon = \infty$

$$(M_2)_{\frac{a}{2}, 0} = -2 (M_2)_{\frac{a}{2}, \frac{b}{2}},$$

a więc dokładnie jak być powinno; zaś

$$(M_2)_{y=0} = -0,109 qb^2,$$

czyli około 30% więcej od dokładnej wartości

$$-\frac{1}{12} qb^2 = -0,833 qb^2$$

Przyjęte wyrażenie (260) okazuje się, jak widać, wcale przy-

datnem do ustawienia formuł przybliżonych dla praktycznego użytku. Te formuły dają się jeszcze znacznie ulepszyć zapomocą współczynników interpolacyjnych, które można obliczyć podług dokładniejszego rozwiązania dla szczególnego przypadku równokierunkowego materiału płyty. Należy się spodziewać, że otrzymane tym sposobem wzory nie ucierpią wiele na dokładności w najogólniejszym przypadku ($H^2 \geq \bar{B}_1 \bar{B}_2$), dopóki stosunek $H^2 : \bar{B}_1 \bar{B}_2$ zbacza niewiele od 1.

We wzorze dla strzałki ugięcia wystarcza postać

$$c' + \frac{c''}{\epsilon}$$

współczynnika interpolacyjnego w przedziale $1 \leq \epsilon \leq \infty$. Przyjmąwszy ją znajdujemy wzór interpolacyjny:

$$(264) \quad f = \frac{0,001 \left(2,6 + \frac{2}{3} \frac{1}{\epsilon} \right) \cdot \frac{qb^4}{\bar{B}_2}}{1 + \frac{4}{7} \frac{\eta}{\epsilon^2} + \frac{1}{\epsilon^4}}$$

Ażeby ocenić błąd tej ulepszonej formuły przybliżonej, porównamy liczby, jakie ona daje dla różnych wartości ϵ w szczególnym przypadku $\bar{B}_1 = \bar{B}_2 = H = \bar{B}$ z dokładniejszymi liczbami znalezionymi już pierwszej dla tego przypadku. Według dokładniejszego rachunku wypada

| | | | | |
|------------------------------|---------|-----------------|---------|------------------|
| dla $\epsilon =$ | 1 | $\frac{1}{0,7}$ | 2 | ∞ |
| $f : \frac{qb^4}{\bar{B}} =$ | 0,00127 | 0,00208 | 0,00249 | 0,00260 (Nádai), |

podczas gdy przybliżony wzór (264) daje odpowiednie wartości:

| | | | |
|---------|---------|---------|---------|
| 0,00127 | 0,00202 | 0,00243 | 0,00260 |
|---------|---------|---------|---------|

opatrzone błędami nie większemi od 3%.

Jeszcze lepszą zgodność dla powyższego szeregu wartości ϵ daje wzór:

$$(264. a) \quad f = \frac{0,00260 + \frac{0,00103}{\epsilon} - \frac{0,00036}{\epsilon^2}}{1 + \frac{4}{7} \frac{\eta}{\epsilon^2} + \frac{1}{\epsilon^4}} \cdot \frac{qb^4}{\bar{B}_2}$$

z którego wypadają wartości różniące się najwyżej o $\frac{1}{8}\%$ od przytoczonych dokładnych.

Przy wzorze dla największego momentu utwierdzenia okazała się również bardzo dogodną postać współczynnika interpolacyjnego:

$$c' + \frac{c''}{\varepsilon} + \frac{c'''}{\varepsilon^2}$$

Zakładając ją znajdujemy:

$$(265) \quad (M_2)_{\frac{a}{2}, 0} = \frac{0,0833 + \frac{0,0122}{\varepsilon} + \frac{0,0300}{\varepsilon^2}}{1 + \frac{4}{7} \cdot \frac{\eta}{\varepsilon^2} + \frac{1}{\varepsilon^4}} \cdot qb^2$$

Stąd wypada w szczególnym przypadku płyty równokierunkowej przy

| | | | | |
|-----------------------|--------|--------|--------|----------|
| $\varepsilon =$ | 1 | 1,5 | 2 | ∞ |
| $-\frac{M_2}{qb^2} =$ | 0,0488 | 0,0721 | 0,0804 | 0,0833, |

a zatem prawie zupełnie zgodnie z następującymi liczbami wyjętymi z monografii Nádái'a:

| | | | |
|--------|---------------------|--------|--------|
| 0,0488 | 0,0723 ¹ | 0,0803 | 0,0833 |
|--------|---------------------|--------|--------|

Największy dodatni moment zgięcia M_2 w środku płyty da się przedstawić z praktycznie wystarczającym przybliżeniem wzorem:

$$(266) \quad (M_2)_{\frac{a}{2}, \frac{b}{2}} = \frac{0,0417 + \frac{0,003 \varepsilon}{0,8 + (\varepsilon - 1)^4}}{1 + \frac{4}{7} \frac{\eta}{\varepsilon^2} + \frac{1}{\varepsilon^4}} \left(1 + \frac{1}{m_1} \frac{b^2}{a^2}\right) qb^2$$

Porównanie współczynnika liczbowego, przez który trzeba tutaj pomnożyć wyrażenie $\left(1 + \frac{1}{m_1} \frac{b^2}{a^2}\right) qb^2$, z odpowiadającymi liczbami dokładniejszych obliczeń Galjerkina dla przypadku płyty równokierunkowej, daje (przy założeniu $\bar{B}_1 = \bar{B}_2 = H = \bar{B}$) dla:

¹ Interpolowane.

| $\varepsilon =$ | 1 | 1,5 | 2 | ∞ |
|-------------------|--------|--------|--------|-----------------------------|
| według Galjerkina | 0,0176 | 0,0325 | 0,0374 | 0,0417 ($= \frac{1}{24}$) |
| według wz. (266) | 0,0177 | 0,0323 | 0,0373 | 0,0417 |

Odpowiadające liczby różnią się nie więcej, jak o 0,6%. Nie trzeba jednak zapominać, że we wzorze (266) dla momentu tkwi liczba m_1 , a *przytoczone Galjerkinowskie wartości odpowiadają przyjęciu: $m = \frac{10}{3}$. Ażeby wzór przybliżony nie ucierpiał na dokładności nawet przy bardzo różnych wartościach liczby m_1 , rozłożymy wyrażenia dla momentów zgięcia podług schematu:

$$(267) \begin{cases} M_1 = -\bar{B}_1 \left(\frac{\partial^2 \zeta}{\partial x^2} + \frac{1}{m_2} \frac{\partial^2 \zeta}{\partial y^2} \right) = M'_1 + \frac{1}{m_2} \frac{\bar{B}_1}{\bar{B}_2} M'_2, \\ M_2 = -\bar{B}_2 \left(\frac{\partial^2 \zeta}{\partial y^2} + \frac{1}{m_1} \frac{\partial^2 \zeta}{\partial x^2} \right) = M'_2 + \frac{1}{m_1} \frac{\bar{B}_2}{\bar{B}_1} M'_1 \end{cases}$$

Wielkości

$$(267a) \quad M'_1 = -\bar{B}_1 \frac{\partial^2 \zeta}{\partial x^2} \quad \text{i} \quad M'_2 = -\bar{B}_2 \frac{\partial^2 \zeta}{\partial y^2}$$

mają znaczenie pewnych momentów zastępczych, które określimy w następujący sposób: Zastąpiwszy skrawki X i skrawki Y płyty belkami o sztywności zginania \bar{B}_1 , względnie \bar{B}_2 , przyjmiemy, że osie tych belek zakrzywiają się dokładnie tak samo, jak osie odpowiadających skrawków; wtedy zgięciu belek odpowiadają momenty M'_1 względnie M'_2 . Z przybliżonego rozwiązania (260) wynika dla środka płyty:

$$(268) \begin{cases} M'_1 = \frac{16\bar{B}_1 f}{a^2} = \frac{7}{128} \frac{1}{\varepsilon^2} \sqrt{\frac{\bar{B}_1}{\bar{B}_2}} \cdot \frac{qb^2}{1 + \frac{4}{7} \frac{\eta}{\varepsilon^2} + \frac{1}{\varepsilon^4}}, \\ M'_2 = \frac{16\bar{B}_2 f}{b^2} = \frac{7}{128} \cdot \frac{qb^2}{1 + \frac{4}{7} \frac{\eta}{\varepsilon^2} + \frac{1}{\varepsilon^4}}, \end{cases}$$

W szczególnym przypadku równokierunkowości materiału płyty, daje dokładniejszy rachunek (Galjerkina) dla:

| $\varepsilon =$ | 1 | 1,5 | 2 | ∞ |
|-----------------|----------|-----------|-----------|----------|
| $M'_1 : qb^2 =$ | 0,0176 | 0,00963 | 0,00245 | 0,0000 |
| | (0,0213) | (0,01675) | (0,01134) | (0,0000) |
| $M'_2 : qb^2 =$ | 0,0176 | 0,0338 | 0,0393 | 0,0417 |
| | (0,0213) | (0,0377) | (0,0454) | (0,0547) |

Liczby w nawiasach pochodzą z przybliżonych wzorów (268). Przy użyciu tych dat obliczono współczynniki interpolacyjne dla wyrażeń (268) i tak powstały wzory:

$$(267a) \quad \begin{cases} M_1 = \frac{0,0659}{1,35 + (1,57\varepsilon - 1)^4} \sqrt{\frac{\bar{B}_1}{\bar{B}_2}} \cdot \frac{qb^2}{1 + \frac{4}{7} \frac{\eta}{\varepsilon^2} + \frac{1}{\varepsilon^4}} \\ M_2 = \left[0,0417 + \frac{0,00237 \varepsilon^2}{0,657 + (\varepsilon - 1)^4} \right] \cdot \frac{qb^2}{1 + \frac{4}{7} \frac{\eta}{\varepsilon^2} + \frac{1}{\varepsilon^4}} \end{cases}$$

W przypadku równokierunkowości materiału płyty dają te wzory wartości, które się różnią od dokładnych najwyżej o kilka dziesiątych %. Tej samej dokładności należy się oczywiście spodziewać i w ogólniejszym przypadku, gdy $H = \bar{B}_1 \bar{B}_2$.

DODATEK DO § 23.

Przybliżone wzory interpolacyjne do obliczenia płyty prostokątnej dokoła swobodnie podpartej i całkowicie równomiernie obciążonej.

Tą samą drogą co w § 26 znajdujemy dla strzałki ugięcia:

$$(269) \quad f = \frac{0,013 + \frac{0,0073 \varepsilon}{1,3 + \varepsilon^2}}{1 + 2 \frac{\eta}{\varepsilon^2} + \frac{1}{\varepsilon^4}} \cdot \frac{qb^4}{\bar{B}_2}$$

a dla obu zastępczych momentów w środku płyty:

$$(270) \quad \begin{aligned} M_1 &= \frac{17,2 \sqrt{\frac{\bar{B}_1}{\bar{B}_2}} \cdot qb^2}{(\varepsilon^4 + 8,5\varepsilon^2 + 107) \left(\varepsilon^2 + 2\eta + \frac{1}{\varepsilon^2} \right)} = \frac{17,2 qa^2}{(\varepsilon^4 + 8,5\varepsilon^2 + 107) (\varepsilon^4 + 2\varepsilon^2\eta + 1)} \\ M_2 &= \frac{0,125 + \frac{0,19 \varepsilon}{3\varepsilon^2 - 2,83\varepsilon + 8,4}}{1 + \frac{2\eta}{\varepsilon^2} + \frac{1}{\varepsilon^4}} \cdot qb^2 \end{aligned}$$

Dokładność powyższych wzorów jest ta sama, co odpowiadających wzorów w § 26.

TREŚĆ

| | Strona |
|---|--------|
| Wstęp | 1 |
| I. Ogólna teoria. | |
| § 1. Proste zgięcie belki i płyty | 11 |
| § 2. Ogólne czyste zgięcie elementu płyty | 14 |
| § 3. Skręcenie elementu płyty | 16 |
| § 4. Energia potencjalna (wewnętrzna praca odkształcenia) wygiętej płyty | 19 |
| § 5. Siły poprzeczne i równanie różniczkowe powierzchni ugięcia | 21 |
| § 6. Warunki krańcowe. Płyty z blachy falistej, żel.-betonowe stropy żebrowane i kraty belkowe | 23 |
| § 7. Warunki stosowalności dotychczasowych rozwiązań równania różniczkowego płyty równokierunkowej. Ścisłejsze traktowanie zagadnienia krat belkowych. Trudności przy zastosowaniu ogólnej teorii do płyt żel.-betonowych | 28 |
| II. Płyta prostokątna swobodnie podparta na całym obwodzie. | |
| § 8. Ścisłe rozwiązanie w przypadku obciążenia sinusowego | 33 |
| § 9. Przybliżone rozwiązanie w przypadku obciążenia równomiernie rozłożonego. Zwiększenie odporności płyty wskutek wystawiania poza linie podporowe | 38 |
| § 10. Jeszcze o trudnościach przy stosowaniu wzorów teoretycznych do płyt żel.-betonowych. Warunki powstania ujemnych momentów zginających i narożnych reakcji. Krytyka urzędowych przepisów i niektórych wzorów | 48 |
| § 11. Ścisłe ogólne rozwiązanie | 56 |
| III. Płyta bardzo długa na równoległych brzegach swobodnie podparta. | |
| § 12. Działanie liniowego obciążenia w przekroju o kierunku szerokości płyty. Zasięg działania obciążenia. Ważna różnica w zachowaniu się płyty w przypadku $\eta > 1$ i $\eta < 1$. Ograniczenie ważności twierdzenia M. Mesnager'a do przypadku $\eta > 1$. Działanie ciężarów skupionych | 65 |
| § 13. Rozwiązanie kilku jeszcze przypadków praktycznego znaczenia | 82 |
| § 14. Działania obciążenia równomiernie rozłożonego w pobliżu krótkich boków, również swobodnie podpartych | 86 |

| | Strona |
|---|--------|
| § 15. Działanie obciążenia równomiernie rozłożonego w pobliżu krótkich boków doskonale utwierdzonych | 100 |
| § 16. Działanie jednego żebra poprzecznego w przypadku, gdy po jego obu stronach płyta rozciąga się stosunkowo daleko | 107 |

IV. Płyta prostokątna brzegami podłużnymi a poziomo podparta i utwierdzona brzegami poprzecznymi b .

| | |
|---|-----|
| § 17. Nowy sposób rozwiązywania pewnej grupy zagadnień płyt prostokąt. | 119 |
| § 18. Rozwiązanie w przypadku zupełnego utwierdzenia i stałego podparcia brzegów poprzecznych. Porównanie z wynikami pewnej reguły praktycznej | 122 |
| § 19. Rozwiązanie w przypadku zupełnego utwierdzenia i sprężystego podparcia brzegów poprzecznych, a zarazem częściowe rozwiązanie zagadnienia płyty żebrowej | 133 |

V. Kwestya współdziałania płyty w belce płytowej.

| | |
|---|-----|
| § 20. Funkcya naprężeń w zagadnieniu tarczy prostokątnie nierównokierunkowej | 151 |
| § 21. Przybliżone rozwiązanie w przypadku jednego żebra poprzecznego w płycie bardzo długiej. Krytyczne oświetlenie oficjalnych przepisów co do współdziałającej szerokości płyty | 155 |
| § 22. Przybliżone rozwiązanie w przypadku wielu żeber równoodległych. Porównanie z oficjalnymi przepisami | 175 |

VI. Uprozczone ściśle rozwiązanie zagadnienia płyty prostokątnej dokoła swobodnie podpartej.

| | |
|--|-----|
| § 23. Przypadek równomiernego obciążenia. Tablica dla praktycznych zastosowań w przypadku $\eta = 1$ | 181 |
| § 24. Przypadek ciężaru skupionego w dowolnym punkcie płyty | 191 |
| § 24a. Porównanie z doświadczeniami „Niem. Wydz. Żel.-betonowego“ | 206 |

VII. Płyta prostokątna, jednym brzegiem utwierdzona, a innymi swobodnie podparta i płyta dokoła utwierdzona.

| | |
|---|-----|
| § 25. Ściśle rozwiązanie w przypadku utwierdzenia jednego brzegu b i swobodnego podparcia pozostałych brzegów płyty | 221 |
| § 26. Dziewiętnaście możliwych prostych przypadków ustalenia obwodu płyty prostokątnej. Zagadnienie płyty dokoła utwierdzonej. Przybliżone wzory interpolacyjne | 234 |

Dodatek do § 23.

| | |
|---|-----|
| Przybliżone wzory interpolacyjne do obliczenia płyty prostokątnej dokoła swobodnie podpartej i całkowicie równomiernie obciążonej | 247 |
|---|-----|

100
101
102
103
104
105
106
107
108
109
110
111
112
113
114
115
116
117
118
119
120
121
122
123
124
125
126
127
128
129
130
131
132
133
134
135
136
137
138
139
140
141
142
143
144
145
146
147
148
149
150
151
152
153
154
155
156
157
158
159
160
161
162
163
164
165
166
167
168
169
170
171
172
173
174
175
176
177
178
179
180
181
182
183
184
185
186
187
188
189
190
191
192
193
194
195
196
197
198
199
200



199
200
201
202
203
204
205
206
207
208
209
210
211
212
213
214
215
216
217
218
219
220
221
222
223
224
225
226
227
228
229
230
231
232
233
234
235
236
237
238
239
240
241
242
243
244
245
246
247
248
249
250
251
252
253
254
255
256
257
258
259
260
261
262
263
264
265
266
267
268
269
270
271
272
273
274
275
276
277
278
279
280
281
282
283
284
285
286
287
288
289
290
291
292
293
294
295
296
297
298
299
300



BIBLIOTEKA GŁÓWNA

4126

1950
1951
1952

BIBLIOTEKA GŁÓWNA

MAGAZYN

KOWALE